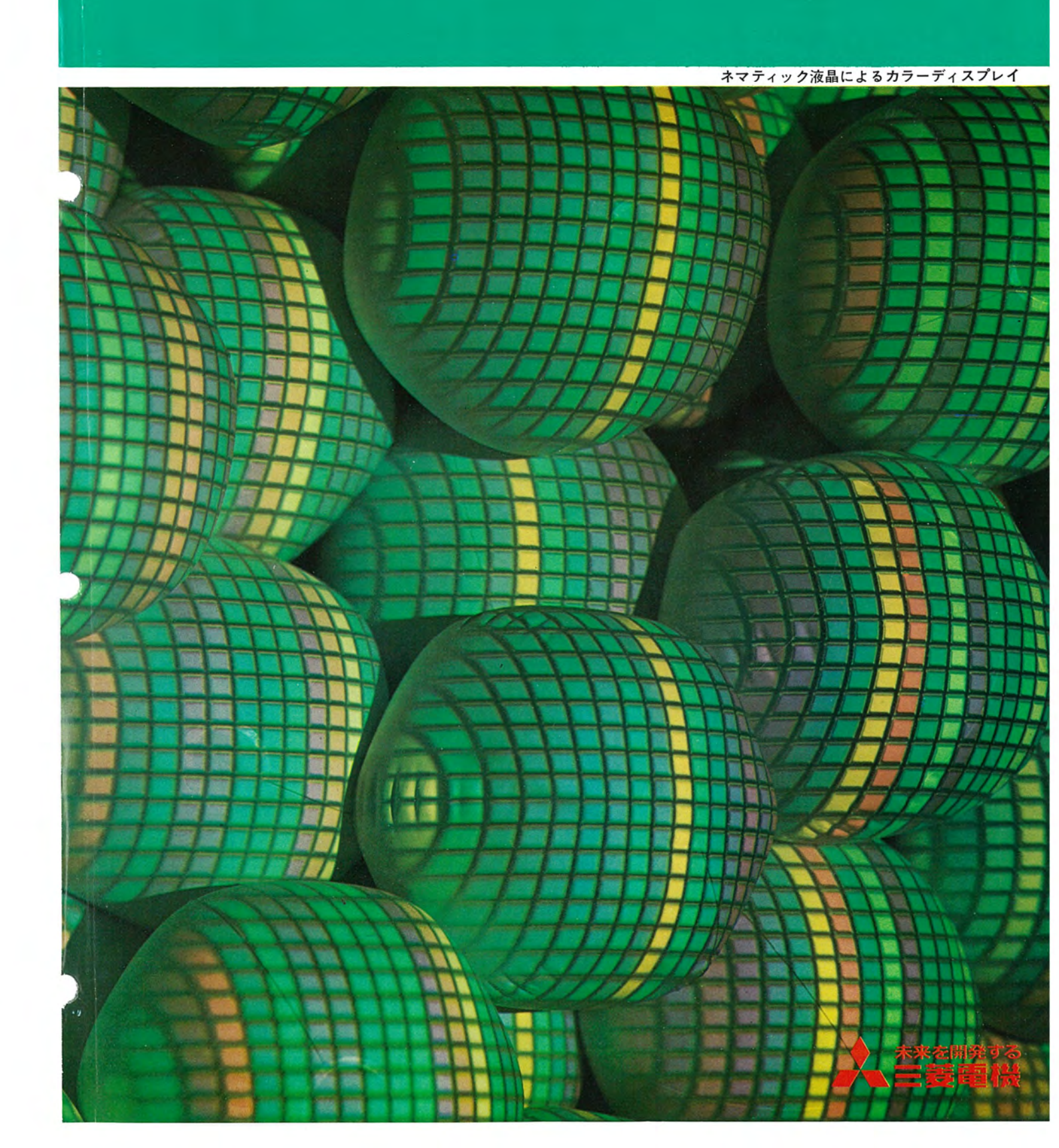
MITSUBISHI DENKI GIHO

Vol.47 November 1973

研究特集



昭和48年第47巻第11号

三菱電機技報



研 究 特 集

目 次

《特集論文》
超高速列車用 超電導電磁石およびクライオスタットの開発
高出力 CO ₂ レーザ永 井 治 彦・樋 口 隆 一・菱 井 正 夫・安 東 ※・秋 葉 稔 光…113
コルゲート円すいホーンアンテナ水 沢 丕 雄・武 田 文 雄・田 中 宏 和・別 段 信 一…113
電界効果型ネマティック液晶を用いたカラーディスプレイ技術内 田 裕 子・上 田 文 夫・新 居 宏 壬…114
有限要素法による構造解析のための自動データ作成法川 面 恵 司・荒 木 裕 子・中 村 正 人・南 久美子…114
凍結―融解による汚泥処理森 口 哲 雄・本 多 飯 一・松 尾 敏 治・難 波 敬 典…115
GaAs 液相エピタキシャル結晶・・・・・・・・ 三木秀二郎・大 坪 陸 之…115
低圧 TIG アークによる高速片面溶接法山 本 利 雄・島 田 - 弥…116
各種試験法による絶縁材料の耐トラッキング性平 林 庄 司・川 上 剛…117
カルシアーアルミナ系ガラスの封着性能河 原 一 雄・西 楽 隆 司・岡 本 礼 二…117
家電用接触機構部品の信頼性 長谷川知治・小 袋 勝 久…118
《普通論文》
シーケンス制御装置 MELSEC-310
シーケンス制御装置 MELSEC-710
三菱マイクロコントローラ MELMIC-100
《技術講座》
超音波探傷試験法(5)――超音波探傷の実際――その1 ····································
《新製品紹介》————————————————————————————————————
大形エアソースヒートボンブバッケージ PAH 形シリーズ
《ニュースフラッシュ》
製西電力(株) 姫路第二発電所納め 5 号 670,000 kVA タービン発電機運転開始・九州電力(株) 玄海発電所向け 625,000 kVA タービン
発電機完成
《特許と新案》 118
トランジスタ増幅器用保護装置・エレベータ出発管理方式・近接検出装置

《表 紙》-

表紙 1 ネマティック液晶によるカラーディスプレイ

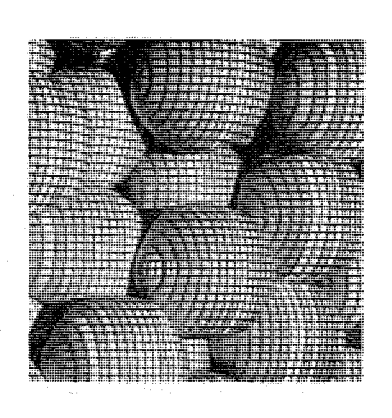
液晶は液体のように流動性がありながら、光学的には結晶のような性質を示す ものである。その中でネマティック液晶と呼ばれるものは最近、表示用材料とし て注目を浴びてきている。

表紙の写真は中研で開発された新しい液晶カラー表示(ネマティック液晶分子を一様に配向させ、その配向を電界で変化させることによって、そのみかけの複屈析性を制御し、カラーバターンの表示を行なう)技術を用いた表示例で音に合わせて色調の変化する格子状パターンを白い風船の壁に投写したもので、73エレクトロニクスショウに出展し、好評を博した。その他、装飾照明や大画面の文字表示装置、画像表示装置などへの応用が期待されている。

表紙 2 三菱シーケンサ MELSEC-310

表紙 3 三菱ポータブル超音波探傷器

表紙 4 三菱エレベータ



Vol. 47 No. 11 NOVEMBER 1973

MITSUBISHI DENKI GIHO



SPECIAL EDITION FOR RESEARCH AND DEVELOPMENT

CONTENTS

SPECIALLY COLLECTED PAPERS ————————————————————————————————————
Development of Superconducting Magnets and Cryostats for Magnetically Levitated High Speed Trains
High Power CO ₂ Laser
A Corrugated Conical Horn Antenna
A Color Display Using a Field Effect Type Nematic Liquid Crystal
A Study on Two-Dimensional Automatic Mesh Generation for Structural Analysis by a Finite Element Method
Sludge Freezing and Dewatering SystemT. Moriguchi • T. Honda • T. Matsuo • K. Nanba1153
GaAs Crystals Grown by Liquid Phase Epitaxy
High Speed-One Side TIG Arc Welding at Low Gas Pressure T. Yamamoto W. Shimada 1165
Tracking Resistance of Insulation Materials According to Various Test MethodsS. Hirabayashi • T. Kawakami1172
Sealability of Calcia-Alumina System Glass
Reliability of Electromechanical Components of Home Appliances
TECHNICAL PAPERS
Programmable Sequence Controllers MELSEC-310
N. Kubota • S. Nitta • Y. Ôno • H. Yamashita • O. Yamamoto • N. Ôno • T. Iwanaga • N. Yamasaki · · 1189
Programmable Sequence Controllers MELSEC-710······T. Iwanaga • I. Kataoka···1197
MITSUBISHI Micro Controllers MELMIC-100······M. Matsumura • S. Ito • K. Morimoto • H. Kagawa • K. Kondo···1203
TECHNICAL LECTURE
Ultrasonic Testing (5)
NEW PRODUCTS
NEWS FLASH 1214
PATENT AND UTILITY MODEL 1187

COVER:

Color Display by the use of Nematic Liquid Crystal

Liquid crystal has properties like ordinary crystal from the photometrical viewpoint that it has fluidity similar to liquid. Among those coming under the same classification, the one called nematic liquid crystal has been drawing attention as a display material. The illustration on the cover is a newly developed liquid crystal color display in the Central Research Laboratory of the Company. This operates to display color patterns through the technique of uniformly oriented nematic liquid crystal molecules which are changed of their orientation with electric field so as to control their apparent double refractivity.

The device projects on the wall of white baloon a latticed pattern that changes color according to sounds. This was exhibitted in the 1973 Electronic Show and gained public favor. Besides this performance, application is anticipated to decorative illumination, character display on a large picture and image display.

「三菱電機技報」アブストラクト

UDC 537.312.62:621.318.3:621.315.5

超高速列車用 超電導電磁石および クライオスタットの開発

大野栄一・岩本雅民・荻野 治・河村寿三・忍 正寿 三菱電機技報Vol.47·No.11·P1125~1129

現在、国鉄(JNR)では東京一大阪間の輸送需要の増大に対処するため、時速 500km/hの超高速鉄道の開発を進めている。これには、リニアモータと超電導磁気浮土という全く新しい技術の適用が考えられており、当社でもそれらの研究開発に積極的に取り組んでいる。

本文では、磁気浮主にとって核心となる超電導電磁石およびそれを内蔵する クライオスタットの技術的問題点を述べ、当社における高性能・実用クライオ スタットの開発段階につい て紹介する.

UDC 621.375.826.038.8

高出力CO2レーザ

永井治彦・樋口隆一・菱井正夫・安東 滋・秋葉稔光 三菱電機技報 Vol.47·No.11·P1130~1135

光軸、放電、流れの方向が近いに直角な構成の加工用CO2レーザを試作した。 CO2-N2-He混合気体の圧力26torr、流速60m/s、放電長80cmの下で、短時間で はあるが出力800W、効率7%が得られた、放電の下流側で測定した気体温度 は電流に比例し、電圧にはほぼ無関係である。

これらの測定結果と、2準位モデルに基づいたレート方程式の解析から、さらに高出力化を図る場合、電流を増大させるよりもむしる気体の圧力を上昇させ、飽和パラメータを増大させる方が有効であることが分った。また高出力化に際して生ずる問題点が指摘され、種々の物質の切断、溶接への応用について検討されている。

UDC 621.396.677 73

コルゲート円すいホーンアンテナ

水沢丕雄・武田文雄・田中宏和・別段信一

三菱電機技報 Vol.47·No.11·P1136~1140

コルゲート円すいホーンアンテナは内壁に軸対称に溝を設けたホーンであって、約1オクターブの周波数範囲にわたって、交さ偏波成分の少ない軸対称なビームをもち、低サイドローブをもつホーンである。したがって、このホーンはカセグレンアンテナの一次放射器や、集束伝送のロンチャとして有用である。

ここではこのホーンの放射特性が、コルゲート溝の寸法から決まる変数 χ およびホーンの開口径、長さ、観測距離から決まる変数 χ によって表わし得ることを示し、その変数を用いて放射特性を測べている。さらにこのホーンを実際に応用したアンテナについ て述べている。

UDC 548-144

電界効果型 ネマティック液晶を用いたカラーディスプレイ技術内田裕子・上田文夫・新居宏千

三菱電機技報 Vol.47·No.11·P1141~1146

現在実用化されている表示素子は放電管やCRTであるが、それらは最近のIC 化された電子回路とは適合しにくい欠点を持っている。従って新しい種々の関 体表示素子の開発が積極的に進められ、さらにそのカラー化が望まれるように なってきた

電界効果型ネマティック液晶を用いて新しい電極面処理を施すことにより、 従来実現が困難であった色相の一様性が優れたカラー表示技術を開発した。この液晶表示は応答速度が遅い、液晶セルの組立に高い精度の工作が要求される などの問題を残してはいる るという特徴を持っており、 新しいカラー表示、特に投写型の大画面ディスプレイへの応用が期待 される。 UDC 516.1:624.07:681.3

有限要素法による構造解析のための自動データ作成法 川面恵司・中村正人・荒木裕子・南久美子

三菱電機技報 Vol.47·No.11·P1147~1152

有限要素法により構造解析を行なう場合に多量のインプットデータを作成しなければならない。ここでは、このデータを電子計算機によって自動的に作成する方法、およびこの方法により作成したデータの作成状況について述べる。

UDC 628.3:621.58:621.56/59.561

凍結―融解による汚泥処理―

森口哲雄・本多敏一・松尾敏治・難波敬典

三菱電機技報 Vol.47·No.11·P1153~1158

現在、汚泥処理は焼却による燃焼処理法が多く使われているが、脱臭、脱硫など2次公害対策が問題で、最近は有害物質を含む汚泥はコンクリート 缶体につめて海洋投棄する例が多くなった。この方式は投棄するための処理費が高価であり、そのため処理汚泥量を少なくする必要がある。

汚泥を凍結後、厳解すると、汚泥園形分に含まれている水が脱水され、さら に粒子が祖大化され、汚泥量が苦しく減少すると共にる過比抵抗が極度に減少 するため簡単な脱水機で容易に汚泥の含水率を下げることができる。

ここでは連結脱水の原理、 各種汚泥の凍結脱水効果に関する研究と並行して、2トン/日の処理 能力をもつ装置を製作し実用化の検討をおこなった結果を報告する.

UDC 546.19:548.5

GaAs液相エピタキシャル結晶

三木秀二郎・大坪睦之

三菱電機技報 Vol.47·No.11·P1159~1164

近年、GaAs液相エピタキシャル成長技術は、各種マイクロ波デバイス製作に 欠かすことのできないものとなってきている。本論文ではGa溶液を用いたGa-As液相エピタキシャル成長技術について述べた。

最初に高純度エピタキシャル結晶を得るうえでの酸素の影響、成長温度およびGa 溶液の水素処理の影響について調べ、高純度 GaAs 結晶のドナー濃度を決めて いるのは酸素で、酸素の汚染を減少させ高純度結晶を得るには、Ga溶液の水素 処理がきわめて重要であることを明らかにした、次に n 形および P 形不純物を ドーピングした場合のエピ タキシャル層の性質について述べた、

UDC 621,791,016,75

低圧TIGアークによる高速片面溶接法

山本利雄・島田 弥

三菱電機技報 Vol.47·No.11·P1165~1171

片面溶接の高速化には、表ピードのアンダーカット防止および裏ピードの安定化が技術上の問題となる。表ピードのアンダーカットには、溶融池前面の固体面の存否が決め手となるが、著者らは低アークにおける微弱なプラズマ気流および高温の陰極域という観点から、低圧気中における溶融池現象の研究を行ない、溶融池内部の湯流れを制御して、正常ピード形成限界を著しく大電流・高速側に拡大した。

また裏ビードについても、低圧陰極域の特性を利用して、熱容量の大きい溶 離金属を媒介としてアーク 入熱を裏面に移行させ、裏面に低温の溶磁 金属を形成させることによ り、大気圧アークの場合より著しく裏ビー ドを安定化させることがで きた.

「三菱電機技報」アブストラクト

UDC 621.315.61.015.533:621.317.333.8

各種試験法による絶縁材料の耐トラッキング性

平林庄司・川上 剛

三菱電機技報 Vol.47·No.11·P1172~1176

有機材料を高電圧・屋外に適用する場合、環境条件の悪化に伴い、絶縁材料 の耐トラッキング性が重要になってきた。

本文では各種材料の耐トラッキング性試験法を比較検討した結果についてのへ、その結果良好な試験法であると考えられたDip Track試験法について、トラッキング発生時の表面温度を検討! この方法がエポキシ樹脂の化学構造から考えられるトラッキング性をよくx、現し、かつまた5年間の屋外暴露試験との対応も比較的良好であることを示した。



UDC 666.11:628.98

カルシアーアルミナ系ガラスの封着性能

河原一雄・西楽隆司・岡本礼二

三菱電機技報 Vol.47·No.11·P1177~1181

結晶化ガラスを用いる封着法はその他の方法に比べて比較的簡便である。カルシアーアルミナ系のガラスとその結晶化したガラスの諸特性を、密度・強度・熱膨張係数を測定し、結晶相を観察し、X線同折、示差熱分析を行なうことによって調べた。その結果封着条件の重要性を認識し得た。

ナトリウム蒸気に対する安定性については、ガラスの電気伝導度と侵食層の 厚さの測定より興味ある結果を得た、このガラスの適用例として高圧ナトリウムランプの発光管封着を行ない満足できるものであった。



UDC 621.3.06:621.316.5

家電用接触機構部品の信頼性

長谷川知治・小袋勝久

三菱電機技報 Vol.47·No.11·P1182~1186

家電品に使用される接触機構部品(Electromechanical Components) について、その重要性および家電部品の中における特異性について述べた。また、この部品の信頼性を確保する上で必要となる電気的接続上の種々の基礎的技術について述べた。

さらに、実際に検討した個々の部品(スイッチ・リレー・サーモスタット・コネクタ)における信頼性確認の実例をあげ、あわせてこれらの部品の現状と問題点について説明した。



UDC 621.316.71:681.326

シーケンス制御装置 MELSEC-310

久保田伸夫・仁田周一・大野陽吉・山下弘雄 山本 修・大野宣男・岩永俊之・山崎宣典

三菱電機技報 Vol.47·No.11·P1189~1196

近年、ブラント設備の大形化は著しく、制御も複雑になってきている。これにともないシーケンス制御の分野でも同様にシーケンス制御回路の規模は大形化複雑化の傾向にあり、シーケンス制御を遂行するシーケンス制御装置も新しい考えのものが要求されている。

従来シーケンス制御は電磁リレーや無接点リレーによるワイヤードロジックによって実現されていたが、最近ではここに紹介するシーケンサのごときプログラマブルなシーケンスコントローラによってシーケンス制御が行われている。 三菱電機では、永年にわた るシーケンス制御に関する豊富な経験から、シーケンサMELSEC-310を 開発し、順調なか(稼)動を得たので概略を UDC 621.316.7

シーケンス制御装置 MELSEC-710

岩永俊之・片岡猪三郎

三菱電機技報 Vol.47·No.11·P1197~1202

近年、自動化・省力化が盛んに行われているが、その制御装置として、プログラマブルなシーケンス制御装置が脚光をあびている。特に、設備の規模が大形化、複雑化してくると、従来のワイヤードロジック式に代って 信頼性・融通性・保守性の点から、この装置が有利である。

今回これらの要求を満足するはん(汎)用シーケンス制御装置として、MEL-SEC-710を製品化したので、その概要について説明する.



UDC 681.323-519

三菱マイクロコントローラ MELMIC-100

松村雅司・伊藤祐暢・森本克英・加川廣光・近藤耕一

三菱電機技報 Vol.47·No.11·P1203~1208

1970年代に入って、自動化・省力化の重要な手段として、はん(汎)用シーケンス制御装置 (Programmable Logic Controller) が注目され、種々の方式のものが開発・発展された。

マイクロコントローラMELMIC 100は、このような動きの初期の段階から 独自の手法で開発・製品化され、単なる入出力条件の組合せや順序制御・イン タロック制御だけでなく、簡単な算術演算やデータの記録も可能なはん用シー ケンス制御装置としてユニークな位置を占め、計算機制刷やワイヤードロジッ クによる制御とは異なった 新しい応用分野を開拓している。

UDC 534.8-8:681.89

超音波探傷試験法(5) 超音波探傷の実際―その I 河野勝善

三菱電機技報 Vol.47·No.11·P1209~1212

金属材料の内部欠陥を外部から超音波パルスを使って非破壊検査する超音波 探傷試験法は、最近、各方面で使用されるようになってきた。しかしながら、 探触子の特性については、まだ十分理解されていない面があり、その用途が最 適とは見られない場合が時折り見られる。

今回は、この場合に、いささかでも役立つよう探触子の選び方と使い方について述べたい



超高速列車用 超電導電磁石およびクライオスタットの開発

大野 栄一*・岩本 雅民*・荻 野 治** 河 村 寿 三***・忍 正 寿***

Development of Superconducting Magnets and Cryostats for Magnetically Levitated High Speed Trains

Central Research Laboratory Eiichi Ôno • Masatami Iwamoto • Osamu Ogino
Itami Works Toshimi Kawamura • Masatoshi Shinobu

The Japanese National Railways are now developing super-high speed trains to run at a speed of 500 km/h between Tokyo and Osaka to cope with the increase of traffic demands. The project will be realized by the application of entirely new technique what is called superconducting magnetic levitation. Mitsubishi participates in it positively by endevouring the study and development of the equipment.

This article describes superconducting magnets which form the heart of the engineering of magnetic levitation, and technical problems posed by cryostats contained in the setup, introducing the stages of working out them to ensure high performance and practical operation.

1. まえがき

経済・社会の発展に伴って、人々の移動はビジネスに、レジャーにと 急激な増大を示している。現在の東海道新幹線によって支えられている東京一大阪間の輸送需要は、とくにその傾向が強く、さらに全 国新幹線網の整備・拡充によって、この間に誘発される旅客を考えると、遠からず輸送の限界に達することが予測されている。

世界でも希有な人口ちゅう(稠)密地帯である, この東京一大阪間に必要な新しい高速大容量輸送機関として, 現在日本国有鉄道では超電導磁気浮上と, リニアモータの組み合せによる時速 500 km/h の超高速列車の開発を進めていることは周知のとおりである。

当社においても、リニアモータおよび磁気浮上技術を始めとして、その基本となる技術についての研究、開発を実施し、多くの成果を得ている(1)(2)。 今回は、超電導磁気浮上にとって中心となる クライオス タット に焦点をおいて、研究開発の一端を紹介することにしたい。

2. 浮上用クライオスタットの要点

超電導磁気浮上 システム の心蔵部は浮上用 クライオスタット である。高速で走行する車両の底部に装備された超電導 コイル はその強力な アンペア ターン によって、軌道面に磁界を発生すると共に、軌道面からの反作用電磁力をこの コイル に受け、 それを断熱支持構造を介して車体に伝達し、浮上させる。 したがって、この超電導 コイル を含む浮上用 クライオスタット 開発に際しての基本的な項目は下記となる。

- (1) 強力な アンペアターン を安定に発生する超電導 コイル
- (2) 液体 ヘリウム 温度の超電導 コイル に発生する浮上電磁力を常温の車体へ有効に伝達する断熱支持機構
 - (3) 熱侵入が少なくて、堅牢な低温容器としての クライオスタット
 - (4) 超電導 コイル を極低温に保つための冷却 システム

実際には、これら機器は車上に積載されるものであり、きりつめ た軽量化と共に、高い信頼性と安全性が要求される。

従来, 超電導マグネットは主として物理実験用に開発が進められて 来たため, 列車浮上のような一般使用に対してはとくに新しい考え 方による工学的検討に基づく開発が必要であろう。 以下にそれらの問題点の2,3について述べる。

2.1 超電導コイルの安定性と電流密度

軽い超電導 コイル を作るためには、電流密度を高くとり、使用線 材の量を少なくしたい。一方、安定性の増加、すなわち超電導破壊 を避けるためには一定限度以上の電流密度は危険となる。したがって コイル 電流密度の選択は最も基本的な問題といえる。 ここではその詳細な理論に立ち入ることは目的でないので、安定性に関する考え方について紹介することにしたい。

2. 1. 1 完全安定化 (Complete Stabilization)

完全安定化の考え方は、超電導体内においてflux jumpなどのじょう乱により、局部的に超電導消失が生じても、その間電流は周囲を取り巻く良導体(銅)に流れ、そこで発生する熱量は液体へリウムの冷却効果により奪い去られて、再び超電導性を回復するというものである。

したがって、完全安定化のためには、超電導線の銅量を多くし、 電流密度を下げ、かつ線材と液体へリウムとの直接接触による冷却効 果を大きくする コイル 構成が必要となる。

この原理による最大電流密度についても種々検討されているが、 例えば Lubell によれば大形マグネット に対しては理論的に

(平均電流密度)⁶= 定数/(蓄積 エネルギー) ·····(2.1) の関係が得られている⁽⁴⁾。

図 2. 1 には 式 (2.1) による限界と、現在までに実際に運転された超電導マグネットの実績限界 (1971年) を示す(4)。 これから、10 MJ以上の大形マグネットは、いずれも式 (2.1) で与えられる完全安定化の限界以下であるのに対し、 1 MJ以下の小形のものではより大きな電流密度が達成されていることがわかる。その根拠が次に述べる本質的安定の考え方による。

2. 1. 2 本質的安定化 (Intrinsic Stabilization)

本質的安定化は、超電導体内の不安定現象そのものを本質的に除去しようとする考え方である。これを具体化する線材としては、複合超電導線において、銅中に埋め込まれた超電導体の コアサイズを極

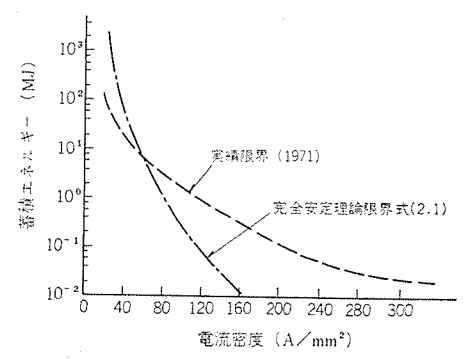


図 2.1 超電導 コイルの電流密度と蓄積 エネルギー Stored energy versus overall current density for superconducting magnets.

めて細くて数を増すと共に、線材全体にひねりを与えたツイストファイ ンマルチ 線が必須であり、逆にこの線材の製造技術の進歩が大きく貢献したものである。(表3.2 および図3.3 参照)

また、コイル成形に関しても、電磁力等による移動を防止するため、 エポキシ 固めするなど、完全安定の考えとはむしろ相反する対策をと る。これは不安定現象の発生防止に役立つことを目的とするからで ある。

この本質的安定化の考え方によれば、線材の銅量は少なくてよく、電流密度はかなり高くとることができ、著しい軽量化を達成することができる。また、浮上用マグネットの問題点の一つとされている交流損に対しても、銅量の減少はその中でのうず電流損を少なくする点で有利となる。

従来の実績としては図 2.1 にも示すように、とくに 100 kJ 以下の小形マグネットにおいてこの考え方に基づいて、200 A/mm² 以上も実証されている。浮上用マグネットは、エネルギーの点では 100 kJ のオーダであり、 200 A/mm² は達成可能な領域に入るが、 形状的には細長く、大きな電磁力を生じ、しかも高速走行する車両に設置されて、一般乗客と至近距離に置かれることなど難しい点も含むため、信頼性・安全性をも考慮しつつ、この新しい考え方を採り入れた開発を進めることが肝要である。

2.2 超断熱支持

浮上電磁力は液体 ヘリウム 温度の超電導 コイル に発生するから、これを支持する構造は、十分な機械強度を持つと同時にそれからの熱侵入を最小に抑える必要がある。

このための断熱支持材料としては、機械的強度(圧縮または引張)と熱伝達率の比の大きいものが良く、ナイロン線や ステンレス 線による 引張り支持方式や、 ファイバグラス 等による面支持方式、 中間的な カラム 支持方式などが提案されてきている。

我々は CSI と呼ぶ アルミ 蒸着 シート と ナイロン 系 ペーパ を組み合せ た多層断熱積層方式を開発し、すでにその実用性を確認している。 この方式によれば、浮上用 クライオスタット は、コイル、シールド 等を含む 低温部分と常温部分とを完全に一体構造化できるため、耐振動特性 にも特にすぐれ、堅牢で信頼性の高いものとなる点で、他の方式にない大きな特長をもつものである。

2.3 着脱励磁方式

上述のすぐれた断熱支持方式が開発されると, 25イオスタットの浸入熱量はかなり小さくなり、コイル 励磁用端子からの熱浸入が大きな比重を占めてくる。

 となった端子は除去してリード線からの熱浸入を完全に防止する方式が好ましいと考えられる。このためには低損失・高信頼度の永久電流スイッチおよび着脱式リード線の開発が中心となる。

以上の考察により 列車浮上用の モデルとして 実用 クライオスタット の 開発を当社においても具体的に進めているが、その内容については 次章に紹介する。

3. 浮上用クライオスタットの開発

ここでは当社における浮上用 クライオスタット の開発状況を、試作品 および実車用 モデルについてご紹介したい。

3. 1 軽量クライオスタット(超電導磁気浮上動特性 試験装置用) 軽量 クライオスタット は、超電導磁気浮上による超高速鉄道開発を促進するため、国鉄 鉄道技術研究所に設けられた超電導磁気浮上動特性試験に供するために、 当社が昭和 46 年度に製作した円板形(ドーナッ形) クライオスタット である。

3.1.1 超電導コイル

この クライオスタット に使用した超電導 マグネット は 図 3. 1 に示す形状で,略円形を 2 分割した扇状で図 3. 2 に液体 ヘリウム そう(槽)へ納めた状態を示す。またこの軽量 クライオスタット の主要要目は表 3. 1 のとおりである。

超電導 コイルには, 表 3.2 に示す三菱超電導線の中の MSW-36 を使用した。図 3.3 は,表 3.2 に示した超電導線の断面を示す。

コイル は各層ごとに巻型にそわせて扇形に巻線し、巻線中に各 ターン ごとに絶縁 テープ をはさみ込んで絶縁する方式とし、 線材には特に絶縁を施こさないで使用し、層ごとの絶縁は絶縁物の スペーサ を使

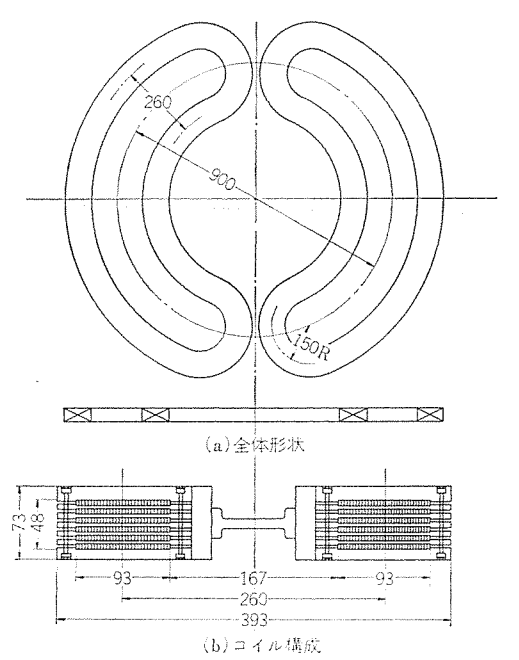


図 3.1 軽量 クライオスタット用 超電導 コイル の構成 Superconducting magnetic coil for light-weight cryostat.

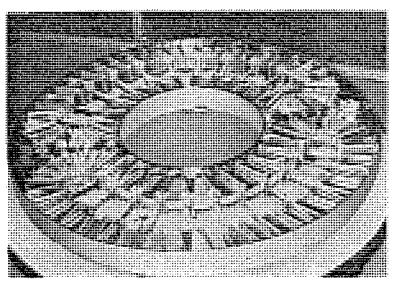
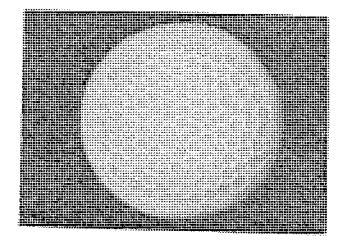
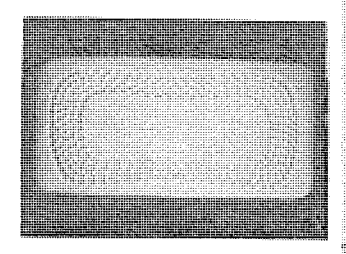


図 3. 2 軽量 クライオスタット 超電導 コイル 内部

Inner view of superconducting magnetic coil of light-weight cryostat.



(a) MSW-120



MSW-300

Cross section of Mitsubishi superconducting wire.

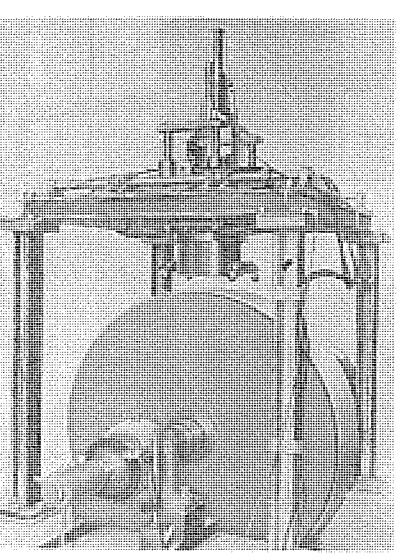


図 3.3 三菱超電導線材の断面 図 3.4 超電導磁気浮上動特性試験装置 Dynamic test equipment of superconducting magnetic levitation.

用した。このためコイルの冷却は完全なエッジクーリングが期待できる ものとなり、スペーサ間隔を適当に選ぶことにより、機械的にも十分 強固な超電導マグネットを製作することができた。

コイル は層間 スペーサ そう(挿)入部で、クライオスタットの LHe そうに 完全に固定するよう設計したため、コイルに発生する力はすべてLHe そうに伝達される構造となり、後述の CSI 断熱構造と合わせてすべ ての作用力をクライオスタットの真空そうに伝えることが可能となった。

3.1.2 クライオスタット

クライオスタットの構造は、 超電導 コイル を収容する ヘリウム そうと真 空そうの中間に液体窒素による中間熱 シールド 板より構成され、 ヘリ ウムそうと真空そうの間に CSI を用い断熱すると同時に、ヘリウムそ うの支持を行なっている。さらに CSI 層をほぼ2分する位置に 上 記熱シールド板をそう入する構造としている。

実験用の液体 ヘリウム 貯液そうは円周上の対称位置2ヵ所に円筒状 の タワー を設け、この上に パワーリード、安全弁などの サービス 用および 保安用付属品を取り付けた。

クライオスタット 材質は SUS 304 を使用したが大幅な軽量化に努めた ため, 当初計画重量 800 kg に対し完成重量 695 kg とすることがで きた。

この装置はすでに浮上試験にも成功し、200 kAT の励磁により、 浮上高さ50 mm を得ることができた。

完成品の外観は本誌 Vol. 46, 10月号(2)(1972年)に紹介し たとおりである。

3.2 動特性試験装置用 小形クライオスタット(5)

動特性試験装置は、昭和47年度運輸省補助金により当社が製作 したものである。この装置は超電導磁気浮上方式における動特性を 試験研究する目的で 360 km/h までの超高速試験ができるとともに シート 浮上、コイル 浮上の試験が可能なように製作された。

装置は図3.4 に示すように ドラム 形軌道, 小形 クライオスタット とそ の支持装置、 ドラム 駆動用電動機、および各々の電源装置より構成さ れている。本文では小形 クライオスタット について詳述する。この装置 用に作られた クライオスタット は、その目的に従って Ⅰ、ⅡおよびⅢの 3種類がある。(表 3.3 および図 3.5)

表 3.1 軽量 クライオスタットの要目 Specifications for light-weight cryostat.

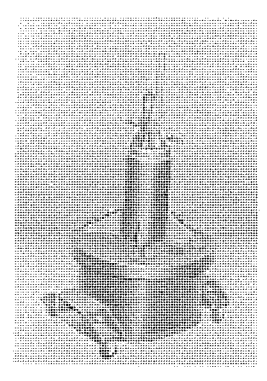
項	E	諧	元
得 上	カ	2,000 kg (SC, NC コイル	~中心問 130 mm)
つりあ	い高さ	40~50 mm (800 kg 荷重にお	いて)
超電導コイ	ル起磁力	200 kAT	
液体ヘリウ	ム消費量	(15 l/h (通電時) 10 l/h (非通電時	与)
断 熱	方 式	CSI+真空+LN:	2
クライオスタ	ット材質	SUS 304	
密積エネ	ルギー	55 (kJ)	
コイル最	大磁界	1.7 (Tesla) (at	1,000 A)

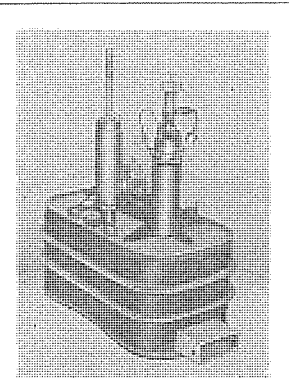
表 3.2 三菱超電導線材の仕様 Mitsubishi super-conducting wire.

	-					
	名	称	;	MSW-36	MSW-120	MSW-300
	組	Ŋ	Ē.	Nb-Ti-Ta	Nb-Ti-Ta	Nb-Ti-Ta
	寸	往	Į;	2.4×4.8	1 φ	1.8×3.6
	紫	線炎	Ŕ	36	121	305
	Сι	ratio		5.2	2.5	4.5
	ッ・	イスト		なし	20 mm(ピッチ)	32 mm(ピッチ)
	湖男 (at	電流 IC 30 kG)		3,000 A	600 A	1,500 A
	奖	用货	1	軽量クライオスタット	HCM モデル	PCM, HCM モデル
1						{

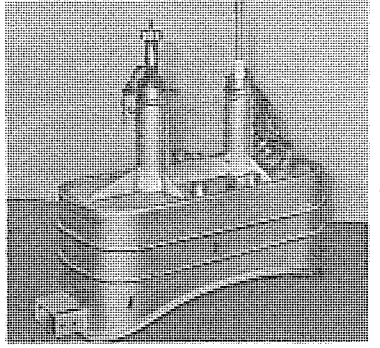
表 3.3 動特性試験装置用 クライオスタット の要目 Specifications of cryostats for dynamic levitation test.

	クライオスタット (1)	クライオスタット (Ⅱ)	クライオス タット (田)
コイル寸法 mm	150×150	150×150	150×450
超電導コイル アンペアターン kAT	150(max)	150(max)	150(max)
コ イ ル 数	1	2	1 .
クライオスタッ ト外形	W L H 240×240×500	W L H 240×420×520	W L H 240×550×540
クライオスタット 重量(コイル含む) kg	23.5	29.0	25.0
クライオスタット 材質	SUS 304	SUS 304	A 5052
	ステンレス鋼	ステンレス鋼	アルミニウム合金





(b) クライオスタットⅡ



(c) クライオスタットIII

図 3.5 動特性試験装置用 各種 クライオスタット の外観

Three kinds of cryostats for dynamic test equipment.

3.2.1 超電導コイル

この マグネット の特長は本質的安定化の考えに立って設計されたものである。使用した超電導線材は $0.5~\text{mm}\phi$ の 7_{P} 7_{P}

I, Ⅱ用の コイル は中心間 150 mm の正方形 コイルで(I)は1個, (Ⅱ)は2個 (N極, S極の1対) を取付けている。また, (Ⅲ)は150 mm×450 mm の長方形 クラ 形 コイルとしている。いずれも SUS 304 の コイル 巻わくに巻き, エポキシワニス を真空含浸して成形している。

この コイル の電流密度は平均 300 A/mm², 線材での電流 密度は 500 A/mm² に達している。このような高電流密度の超電導 コイル が 得られたのは, エポキシ 含浸により 超電導 コイル の ワイヤ ムーブメント を 阻止したこと, ツイスト した, ファインマルチ 線を使用し, 本質的安定化を計ったことによると考えられる。

3.2.2 クライオスタット

上記超電導マグネットを収納するクライオスタットは、いずれも特長のある設計を施してある。各クライオスタットに共通なことは、(i)CSI+真空断熱であること、(ii)へりウムそう底板をおう(凹)形とし、この部分にCSIを収容することで、クライオスタット底面と超電導コイル中心間を十分小さくするよう設計したことである。クライオスタット(I)はSUS 304の薄板を使用し、真空そうが上下に分割できる構造としている(図3.6)。一方クライオスタット(II)は完全溶接構造とした。また、クライオスタット(II)はすべてアルミニウム合金を使用し、完全溶接構造をとっている。熱侵入を防ぐため、タワー部のへりウムガスクーリングを強化した。

これらの クライオスタット の冷却は、 常温から低温の ヘリウムガス を用い、液体 ヘリウム の張込完了まで $1\sim 2$ 時間である。実験中の液体 ヘリウム 消費量は、 ほぼ 5 I/h で $30\sim 40$ 分間試験を継続すること ができた。

磁気浮上時の ダンピング 特性などの動特性については、当社におい

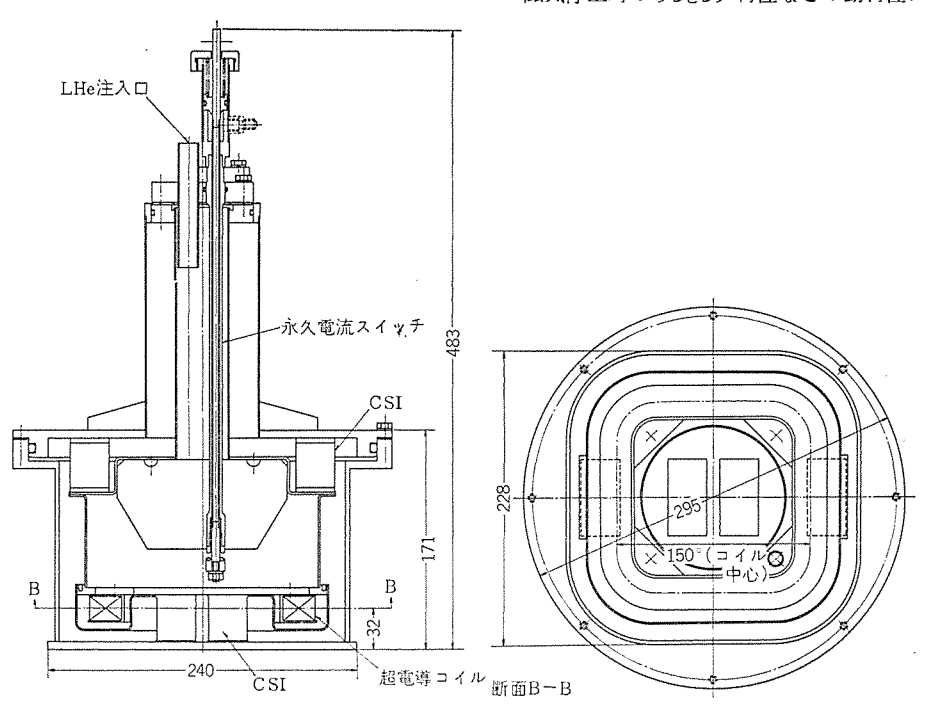


図 3.6 動特性試験装置用 クライオスタット I の構造 Structure of cryostat I for dynamic test equipment.

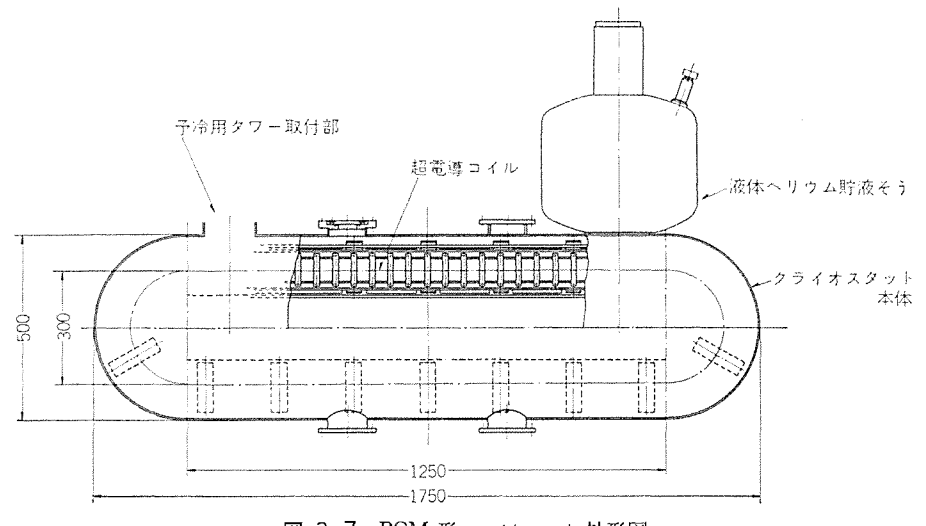


図 3.7 PCM 形 クライオスタット 外形図 Outline of PCM type cryostat.

表 3.4 浮上用 クライオスタット の試散計例 Designed values of cryostats for magnetic levitation.

	A	В	С
クライオスタット 寸法 (幅×長さ) ア ン ベ ア タ ー ン 全 重 量	0.3 m×2 m 250 kAT 225 kg	0.5 m×2 m 450 kAT 270 kg	0.3 m×2 m 250 kAT 90 kg
超 電 導 線 材 コ イ ル 電 流 密 度 クライオスタット構造	MSW-36 135 A/mm ² 扁平チューブ式	MSW-300 135 A/mm ² 扇 平 式	MSW-120 300 A/mm ² 扁 平 式

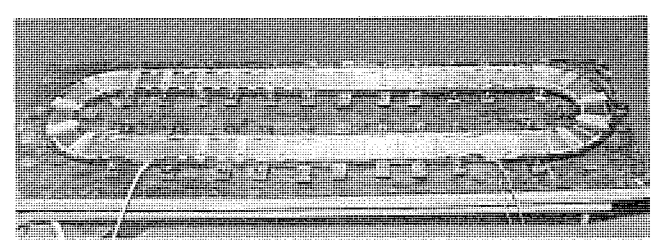


図 3.8 PCM 形 クライオスタット 超電導 コイル Superconductive magnetic coil for PCM cryostat.

て理論解析を行ない、 ダンピング 特性が、速度に大きく依存し、高速では絶対量は小さいが負の ダンピング 係数となることを明 らか に した⁽⁶⁾。

本試験装置を用いて, 300 km/h に至る高速時の浮上特性の実測を行なうとともに, 上記浮上時の ダンピング についても実証試験を行なっているが, 本論文では装置の説明を主としたため, 別の機会にゆずることにしたい。

3.3 PCM 形 実用クライオスタット

上記の各種 05イオスタット はいずれも実験装置用であるが、この P CM (Plactical Cryostat Model) 形 は実用車両に供することを想定して設計し現在製作中のもので、表 3.4 のA相当品である。 外形図は図 3.7 に示すとおりである。

我々がこの クライオスタット で目標としたこと は、『いかに小形軽量で、必要な機能を満足させ得るか』ということであり、可能な限りの限界設計を行なうことであった。

3.3.1 超電導コイル

超電導 コイル は**表 3**. 2 の MSW-300 を レーストラック 形に巻線し、前記軽量 クライオスタット と同様、層間絶縁と絶縁 スペーサ による絶縁方式とし、完全安定化としての最高電流密度の実現をねらった。

超電導 コイルを ヘリウム そうに納めた写真を図 3.8 に示す。

3. 3. 2 クライオスタット

クライオスタット は種々の形状が考えられるが、 薄肉構造で強度設計 上最適と考えられる円筒形断面を採用した。真空そう、ヘリウム そう ともに薄肉 ステンレス 鋼板 (SUS 304) を使用し、上記 CSI 断熱支持 層とあわせて、同心配置とすることにより、 軽量で剛性の高い クラ 1オスタット の設計が可能となった。

また、CSI のほぼ真中に中間熱 シールド 板を入れ ベーパーシールド により 熱侵入の減少を計った。 さらに、クライオスタット の厚さが 175 mm という 超薄形とすることができたことは、浮上時の空間 ギャップ を規

定した時の超電導 コイルの アンペアターン の減少が期待でき、その効果は大きく評価されるであろう。

3.4 改良形 実用クライオスタット

改良形 実用 クライオスタット は上記 PCM 形をさらに改良し、高性能で製作容易なものとしたもので 表 3.4 のBおよび Cに相当するものである。とくに断熱支持材に新材料を採用し、軽量化と、熱侵入の低減を計った点に特長がある。

HCM-I は $135~A/mm^2$ の電流密度で 450~kAT を PCM と同じ線材を用いて完全安定化の考えにより設計したものである。

HCM-II は本質的安定化の適用可能性の検証を目的とし、電流密度を 300 A/mm² という、この大きさのコイルにとっては画期的な高い値をねらって設計し、著しい軽量化を計ったもので、その成果が期待される。

との 2 種類の クライオスタット は, 昭和 48 年度 運輸省補助金を得て 試作中である。

4. む す び

超電導磁気浮上の中心機器となる超電導電磁石および クライオスタット の開発状況について紹介した。ここに述べたように、ツイストされた ファインマルチ 超電導線が開発され、超電導 コイル は従来に比べて格 段の安定性の増大を示し、実用化に明るい見通しを開いたといえる。また、進歩した コイル 成形法や、 各種超断熱支持材の採用による クライオスタット の合理的設計により、磁気浮上の必要とする軽量・薄肉形の偏平構造が実現されつつある。

超高速列車の実現までには、さらに多くの技術開発と試験・改良 が必要とされよう。国鉄を中心とした国家的計画のもとに、世界に 先がけて完成に到達せんことを祈りつつ筆をおく。

最後に、常日ごろご指導賜っている運輸省ならびに日本国有鉄道の関係者の方々、並びに クライオスタット の設計・製作・試験に協力いただいている社内関係各位に、心より感謝する次第である。

(昭和 48-9-6 受付)

参考文献

- (1) 浅越,新良,大野: 超高速鉄道の基礎研究,三菱電機技報,45, No. 4 (昭 46)
- (2) 大野, 岩本ほか: 超高速列車 磁気浮上方式の研究, 三菱電機 技報, 46, No. 10 (昭 47)
- (3) H. T. Coffey, F. Chilton and L. O. Hoppie: The Feasibility of Magnetically Levitated High Speed Ground Vehicles, FRA-10001 (Feb., 1972)
- (4) M. S. Lubell, State-of-the-art of Superconducting Magnets, Cryogenics (Oct., 1972) (April, 1973)
- (5) 大野,河村ほか:超電導磁気浮上 動特性試験装置,第 11 回 低温工学研究発表会,C 3-15 (昭 48-5)
- (6) 山田, 岩本ほか:誘導反発型 磁気浮上方式における磁気 ダンピング, 電気学会論文集B(昭 48-11 予定)

高出力CO。レーザ

永井治彦*・樋口隆一*・菱井正夫* 安東 滋**・秋葉 稔光**

High Power CO₂ Laser

Central Research Laboratory

Haruhiko Nagai • Takaichi Higuchi • Masao Hishii Shigeru Ando • Toshimitsu Akiba

A trial unit of high power CO₂ laser has been built for the purpose of material processing. It has three mutually perpendicular directions with a beam, a discharge and a gas flow. The CW maximum power of 800 W with an efficiency of 7 % is obtained under a condition of CO₂-N₂-He mixed gas pressure of 26 torr, the flow velocity of 60 m/s and the discharge length of 80 cm. It is made known that the gas temperature measured at the down stream of discharge region increases proportionally to the current, but is almost independent of the sustained voltage. An analysis of rate equations based on the model of two levels and experimental results reveal that a higher power is effectively obtained by raising the gas pressure that leads to increase the saturation parameter rather than by increasing the current.

Problems posed in delivering high power are specified; discussion is made on the application to cutting and welding of various materials.

1. まえがき

 CO_2 レーザ は効率が良く、各種の レーザの中で最も高い連続出力を発生する。最近特に高出力化が目ざましく、加工用熱源として応用できる範囲が広まりつつある。種々の物質の加工へ応用すれば、微小体積に大きな エネルギー を集中でき、高精度の切断、溶接を高速度で行なうことができる。また電子 ビーム と異なり、大気中での ビームの減衰が少なく、指向性も良いので、適当な光学系と数値制御技術との併用により任意の曲線、図形の裁断が能率良く行なわれるという期待がもたれる。

CO2 レーザ は励起方法の違いにより、放電励起 レーザ (EDL)、 ガス ダイナミックレーザ (GDL)、化学 レーザ (CL) の3種類に分けられる。いずれも他の レーザ にみられない高い連続出力を発生し得るが、GDL は他の二つに比べ、本質的に効率が1けた(桁)以上低く不経済である。また GDL および CL は大容量の真空 ポップを必要とする。実用的立場からながめると、小形化が可能で効率が高く、かつ励起方法の簡単な EDL が最もすぐれている。ことでは EDL、特に当所で試作した連続発振の EDL について述べる。

1964 年 Patel が CO_2 分子の振動回転準位間の ν -ザ 発振に成功したとき,出力は約 $1\,\mathrm{mW}$ であった $^{(1)}$ 。 その後 N_2 ,He を順次加えることにより出力は飛躍的に増大され, $106\,\mathrm{W}$ の出力を得ている $^{(2)}$ 。この ν -ザ は気体の温度上昇を拡散効果で押える,いわゆる水冷式,二重 f_{52} 、管形である。このような通常形の $CO_2\,\nu$ -ザでは放電長 $1\,\mathrm{m}$ 当り $50\sim70\,\mathrm{W}$ の出力しか得られず,たとえば $1\,\mathrm{kW}$ の連続出力を得ようとすれば, $20\,\mathrm{m}$ 近くの長さが必要となる。

装置の大形化をさけ、高出力を得ようとすれば、大きな放電電気入力に対して ν -ザ 出力が飽和あるいは減少するのを防ぐ工夫がなされなければならない。そこで次に考えられた方法が、混合気体を、拡散による上下準位にある CO_2 分子の減衰時間より十分短い時間内で放電領域を流し去る方法である。つまり、混合気体の使い捨てにより、共振器部に存在する気体の温度をより低い状態に保つ方法

である。共振器軸と流れの方向が同一の通常形 $CO_2 \nu$ -ザでとのような条件を満足するためには、ばくだいな排気装置を必要とし $^{(3)}$ 、実際的でない。同じように共振器軸と放電の方向が同一の場合は高電圧を必要とし、得策でない $^{(4)}$ 。共振器軸・放電・流れの方向の 3 軸の幾何学的構成についてはいくつかの異なった方法が採用されているが $^{(5)}$ $^{(6)}$, とこでは 3 軸が互いに直角な構成を採用した。

とのような高出力 CO_2 ν -ザ にとって最大の問題は放電の安定化である。 放電は励起効率の良い j_0 - 放電で行なわれなければならないが, 電気入力が大きくなると r-0 放電に移行しがちである。また ν -ザ 出力の飽和点を上昇させるためには圧力を高める必要があるが,高圧力下での j_0 - 放電の維持が特に困難である。 当所で試作した CO_2 ν -ザ i(i) は低圧力で動作させ,流れの効果で高出力を得ている。

2. 高出力化の原理

2.1 励起機構

CO₂ レーザ の励起機構はいまだ十分解明されたと言えず、 不明 な

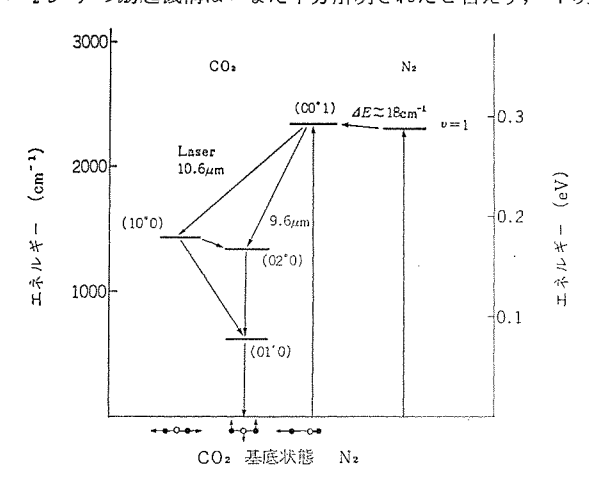


図 2. 1 レーザ 発振に関連した主な振動 エネルギー 準位 Main vibrational energy levels related to laser oscillation.

レーザ 発振はこの上下振動準位の回転準位間で行なわれ, 通常複数の回転準位間で発振する。 $9.6\,\mu m$ 線より $10.6\,\mu m$ 線の方が利得が高く, 高出力化には $10.6\,\mu m$ 線を利用する。下位準位(10^{00})の分子は,大部分(01^{10})準位を経て基底状態へ落ちる。(01^{10})準位は低い 1.4^{11} 状態にあるので, 基底状態の CO_2 分子はこの 準位へ熱的に容易に励起される。 この結果(10^{00})準位の 緩和時間を長くし,(00^{01}) $-(10^{00}$)間の分布数差が減少する。気体の温度が上昇すると レーザ 出力が飽和あるいは減少するのはこのためである。

通常形の CO_2 レーザでは f_{52} 管壁との衝突を通じて気体の 温度を下げているが、そのような拡散効果を利用する冷却方法にはおのずから限度がある。 CO_2 , N_2 のほかに大量の He を加えると、衝突により (01^{10}) 準位の CO_2 分子を緩和させる効果が大きいと言われている。

2.2 2 準位モデル(9)(10)

利得曲線が均一な広がり(homogeneous broadening) とみなせる $CO_2 \cup -$ ザでは、単位長当りの利得 g は式 (2.1) で表わされる。

$$g = \frac{g_0}{1 + III_0}$$
(2.1)

ただし、 g_0 は単位長当りの小信号利得 (光強度に対する不飽和利得)、I は平均の共振器内光強度、 I_S は飽和 \mathring{N} 5 $_{3-9}$ である。

一対の反射鏡のうち一方に 100 %の反射率のものを使用した場合, 発振の定常状態において式 (2.2) が成立する。

$$g \cdot (2L) = a + t \cdots (2.2)$$

ととで、L は放電長、a は共振器を1往復する間の損失、t は出力側反射鏡の透過率である。

 CO_2 レーザの出力 P_{out} は式 (2.1), (2.2) より

$$P_{\text{out}}=tI=tI_{S}\left(\frac{2g_{0}L}{a+t}-1\right)$$
 (2.3)

で表わされる。 つまり P_{out} は I_S に比例する。 g_0 は反転分布数に比例する量なので,混合気体の圧力が一定の場合,放電電流を増加すると大きくなるが,気体温度の上昇に伴ない,いずれ飽和する(後述するように,気体温度は放電電流に比例して上昇する)。しかし飽和時の ν -ザ出力 P_{out} は I_S の値に依存する。 I_S が大きければ大きいほど強い共振器内光強度の下でも高い利得を維持し, P_{out} は 増大する。

次に I_s の圧力依存性について考察する。 取り扱いを単純化する ため,発振遷移の上下 2 準位のみを考慮し,共振器部で流れ方向に は平均化された Rate Equation をたてると

$$\frac{\partial N_{u}}{\partial t} = R_{u} - \frac{N_{u}}{T_{u}} - (N_{u} - N_{l}) W_{st} + \frac{N_{u0} - N_{u}}{T_{ud}},$$

$$\frac{\partial N_{l}}{\partial t} = R_{l} - \frac{N_{l}}{T_{l}} + (N_{u} - N_{l}) W_{st} + \frac{N_{l0} - N_{l}}{T_{ld}},$$

$$T_{ud}^{-1} = T_{f}^{-1} + T_{ud}^{-1}_{ul} f_{f},$$

$$T_{ld}^{-1} = T_{f}^{-1} + T_{ld}^{-1}_{if},$$
(2.4)

 $T_f = l/v$,

 $W_{st} = \lambda^3 I/8\pi^2 hc \Delta v t_{sp}$

てとで,添字 u, l はそれぞれ上,下位準位を示し,N は分子数密度,R は流速が 0 の時単位時間当 9 励起される分子数密度, T_{u}^{-1} , T_{l}^{-1} は衝突緩和確率, T_{id}^{-1} ; T_{id}^{-1} ; は拡散による減衰確率, W_{st} は誘導放出の遷移確率, t_{sp}^{-1} は自然放出の遷移確率, Δv は 2° 0 トル線の幅, λ は波長,c は光速度,h は 5512 の定数, N_{10} 0 に は励起される前の分子数密度,L1 は流れ方向の放電領域の長さ,v は流速である。

利得gの計算式は

$$g = \frac{(N_u - N_l)h_\nu W_{sl}}{I}, \quad (\nu = c\lambda) \quad \cdots \qquad (2.5)$$

で表わされるので、式 (2.4), (2.5) より定常状態 $(\partial N_u/\partial t = \partial N_t/\partial t = 0)$ における g を式 (2.1) の形に導出すると

$$I_{S} \equiv \frac{8\pi^{2}hc\Delta_{\nu}t_{sp}\left(\frac{T_{u}T_{ud}}{T_{u}+T_{ud}}+\frac{T_{l}T_{ld}}{T_{l}+T_{ld}}\right)^{-1},}{g_{0} \equiv \frac{\lambda^{2}}{8\pi^{2}\Delta_{\nu}t_{sp}}\left(R_{u}\frac{T_{u}T_{ud}}{T_{u}+T_{ud}}-R_{l}\frac{T_{l}T_{ld}}{T_{l}+T_{ld}}\right)}$$
.....(2. 6)

となる。なお, $N_{u0} \ll N_u$, $N_{t0} \ll N_t$ として計算した。 $\Delta \nu$, T_u^{-1} , T_t^{-1} は圧力に比例するので, 圧力を上げた場合 g_0 の大きな増大は望めない。また電流を増大させた場合,気体温度の上昇に伴ない T_t が大きくなり,したがって g_0 の右辺第2項が大きくなり, g_0 は飽和する。以下 I_S に着目して話をすすめる。

混合気体を高速度で流す CO_2 レーザ の場合, T_{ud} if if if の効果は無視できるので, $T_{ud} \approx T_f$, $T_{ld} \approx T_f$ が成立する。 また流速を高め,新しい気体を次々に供給するか,パルス励起により気体の温度上昇を小さくおさえることができれば, $T_u \gg T_l$ が成立する。 $\Delta_V \equiv K_1 p$, $T_u^{-1} \equiv K_2 p$ (p: 気体の圧力)とおき, 各場合について検討する。

(1) $T_f \gg T_u$, T_l の場合

式 (2.6) より

(2) $T_u \ge T_f > T_l$ の場合

(3) $T_f \ll T_u$, T_l の場合

 $I_S \approx (8\pi^2 h ct_{sp}/\lambda^3) (K_1/2) p(v|l)$ (2.9) となる。v を大きくしすぎると,発振の立上り時間内に気体が共振器部を通過する状態が生ずる。

本報告の CO_2 ν -ザ は上述の(2)の場合に相当する。 v=60m/s, l=1 cm で低圧力の場合 $v/l\gg K_2p$ となり, I_S は v/l と p に比例する。高圧力になると $v/l\approx K_2p$ となり, I_S は p に対して放物線的に増大する。試作した ν -ザ の動作領域では主に v/l の効果で I_S を大きくしている。

3. 装置

図3.1 に共振器軸, 放電, 流れの方向が互いに直角な構成の連

続発振 CO_2 ν -ザの構成図を、図 3.2 (a) に装置全体(電源を除く)の写真を、図 3.2 (b) に放電部(共振器部)の写真を示す。 CO_2 - N_2 -He の混合気体が送風機 $(120\,\mathrm{m}^3/\mathrm{min})$ により ν -ザ 共振器部へ送られ、その後、水冷の熱交換器で冷却された後送風機の入口にもどる循環形の閉 ν -プ を形成している。 放電部を通過する流速は $60\,\mathrm{m/s}$ であり、 傾斜形の $7/\mathrm{J}_3$ 9 で測定された。 放電方向と流れの方向が直角な配置は前述の v/J の効果を大きくする役割を果すとともに、気体の分解を防止している。 放電長は約 $80\,\mathrm{cm}$, 共振器長は約 $1\,\mathrm{m}$ である。

共振器は2枚の反射鏡で形成されており、一方は ステンレス の基板 に金蒸着を施とした曲率 $20\,\mathrm{m}$ 、透過率O のものであり、他方は Ge

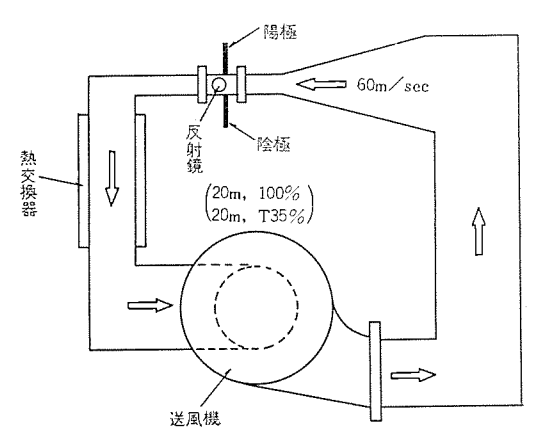
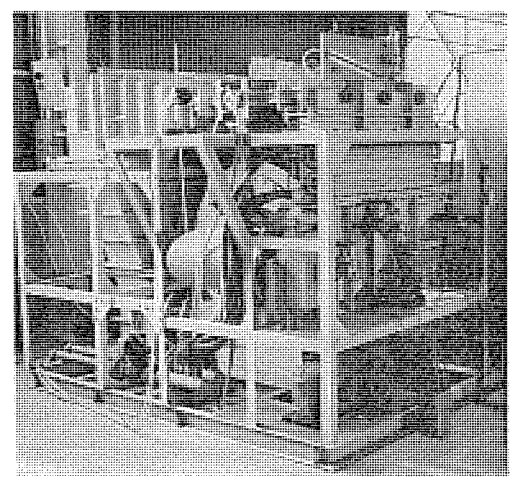
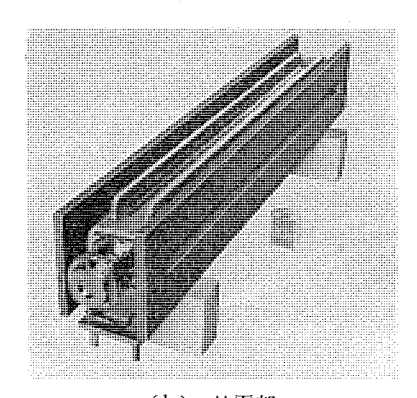


図 3.1 高出力連続発振 CO_{2 レー}ザの構成図 Schematic diagram of high power cw CO₂ laser system.



(a) 全 景



(b) 放電部 図 3.2 高出力連続発振 CO₂ レーザ 装置 High power cw CO₂ laser.

の基板に誘電体の多層膜 コーティングを施こした曲率 20 m, 透過率 35 %のものである。いずれも円周側面を水冷している。約 1 mの共振器に対し曲率 20 m の反射鏡を採用したのは モード 体積を大きくし、レーザ 出力を大きく取り出すためであるが、 それだけに反射鏡の 調整がきびしくなっている。後述するように共振器軸は放電軸より下流側へ約 1.5 cm ずらした状態が最適である。

陽極は直径 $2 \, \mathrm{mm}$ の M_0 の \mathcal{C}_{2} 電極 100 本を光軸にそって配列しており,実験では 1 本おきに約 50 本を使用した。安定抵抗はそれぞれ $2 \, \mathrm{k}\Omega$ である。対向して配置された陰極は,銅の塊に切り $2 \, \mathrm{k}\Omega$ である。対向して配置された円筒の穴(分割形,50 個)の内面を陰極面として使用している。 $2 \, \mathrm{cm}$ 放電から $2 \, \mathrm{cm}$ を行を抑制するため,陰極の冷却を十分行なうとともに,陰極表面の面積を大きくとり,電流密度の低減を図った hollow 形の陰極を採用している。電極間隔は約 $2 \, \mathrm{cm}$ である。

4. 特 性

4.1 放電特性

放電の電圧一電流特性を図 4.1 に示す。いわゆる グロー 放電域の特性を示しており、この時、安定な シャワー 状放電が観察される(図 4.2)。 測定された最石端の点は ァーク放電域への移行直前の測定点であり、 圧力が約 20 torr 以下(領域 A)では圧力とともに、 グロー放電で注入可能な電流が 増大する。 圧力が 20 torr 以上(領域 B)になると注入可能電流が減少し、注入可能な電気入力の最大値はほぼ一定(~12 kW)に保たれる。また、領域AとBの境界となる圧力は混合気体の成分、混合比等に依存することと、領域Bにおける

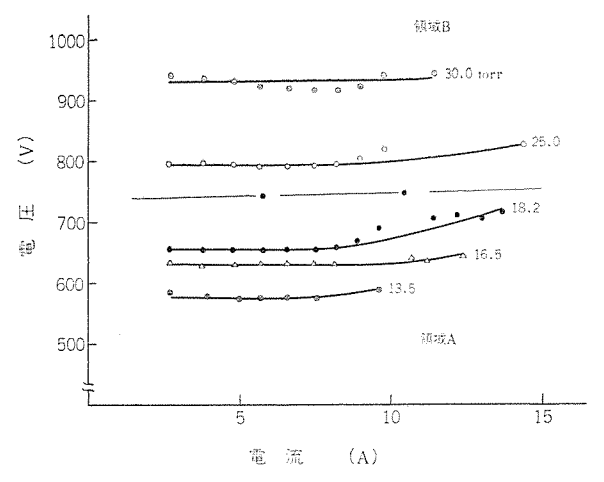


図 4.1 放電の電圧―電流特性 V-I curves of discharge.

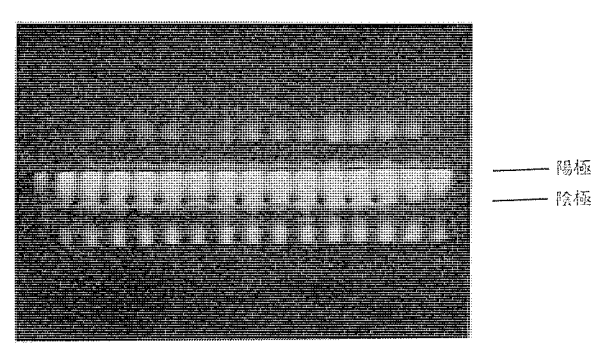


図 4.2 流れ方向からみた放電の写真 Photograph of discharge viewed from the direction of gas flow.

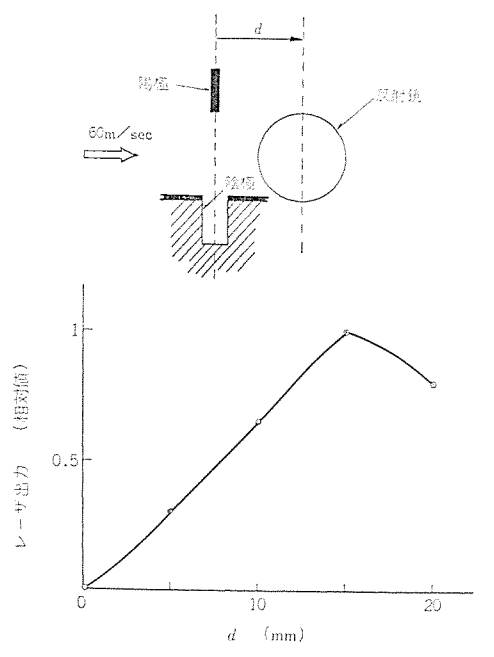


図 4.3 反射鏡の最適位置 Optimum position of reflectors.

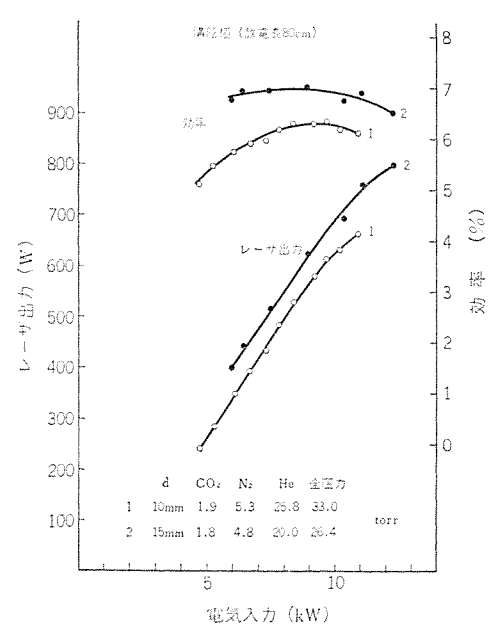


図 4.4 出力特性(潜形险極) Characteristics of output power (groov type cathode).

最大電気入力値は陰極の材質、形状、過度に依存することが明らか となった。

4.2 出力特性

図 4. 3 は陽極と陰極を結ぶ線から下流側へ光軸をずらした 時,各位置での ν -ず出力を測定した結果である。d (ずれの距離) が 15 mm で最大出力が得られ,d=0 では発振を観測できなかった。 この反射鏡の最適位置は,流れによる放電路のずれと, N_2 (v=1) から CO_2 (00^0 1) に zネルギー 伝達される時定数により決定される v0.

図 4.4 は溝形陰極を使用した場合の出力特性を示し、短時間ではあるが最高出力800 W, 効率7%が得られた。図 4.5 は分割陰極を使用した場合の出力特性を気体全圧力をパラメータにして測定した結果である。圧力は一定に保たれているので、横軸は電流の変化を示す。分割形の場合、各円筒陰極表面の2次電子放出係数のパラッキが問題であり、溝形より放電の安定性が劣る。レーザ出力は低い

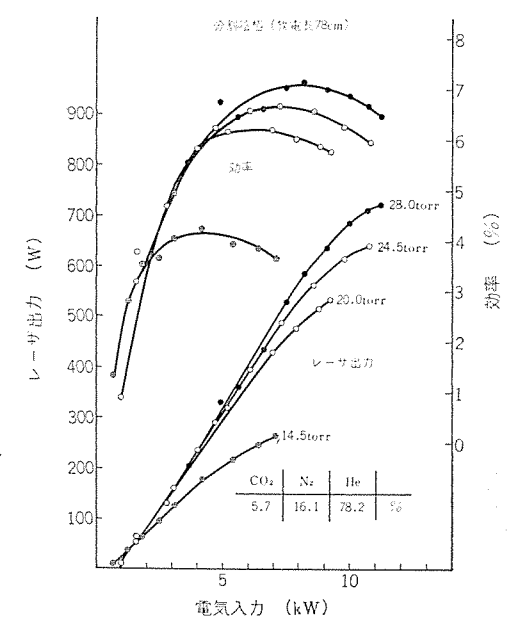


図 4.5 出力特性(分割形陰極) Characteristics of output power (array of cylindrical cathodes).

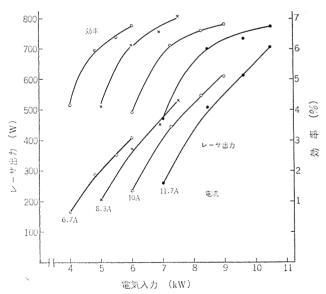


図 4.6 出力特性 (図 4.5 を書き換えた特性) Characteristics of output power (changed from Fig. 4.5).

電流範囲では電流に比例して増加するが、電流が大きくなると効率は減少し、レーザ出力に飽和がみられる。 これは後の気体温度の測定結果からも分るように、気体温度が電流に比例して上昇するからである。図 4.6 は電流をパラメータにして図 4.5 を書き換えたもので、 横軸は電圧の変化を意味する。レーザ出力は電圧に対しさらに比例して伸びる傾向にある。圧力を上げても気体温度の上昇はあまりみられず、飽和する傾向にある(参照図 4.8)ので、飽和パラメータが圧力とともに増加の傾向にあることを示している。

4.3 温度特性

出力特性と密接に関連するのが気体温度である。流れに直角な放電領域の断面積をAとすると、気体の温度上昇分 ΔT は次式で表わされる。

$$\varDelta T\!=\!\frac{760\,T_{in}}{273C_{P}A\rho_{0}}\cdot\frac{\eta P_{in}}{v\,p}\!\!\left[I\!-\!\exp\left(-\frac{l}{v\tau}\right)\right]$$

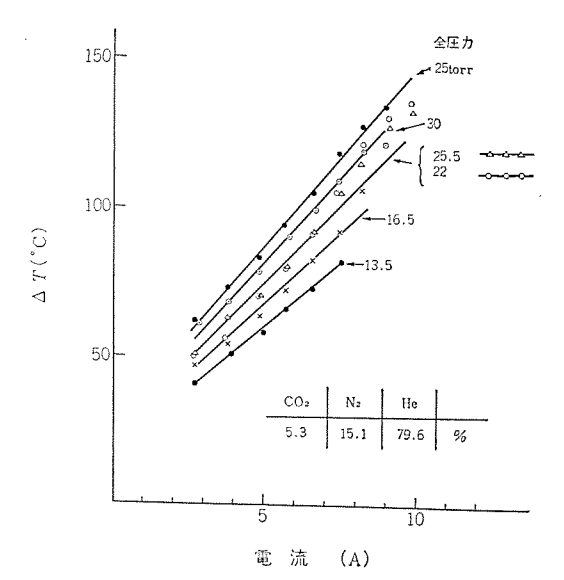


図 4.7 気体温度上昇分 ΔT の電流依存性 Dependence of the increase ΔT in gas temperature on discharge current.

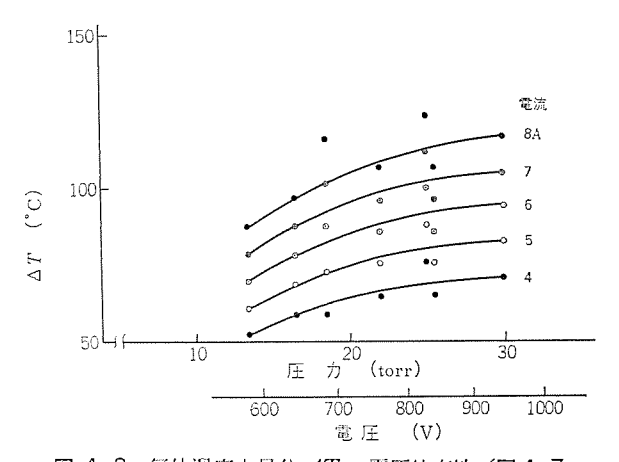


図 4.8 気体温度上昇分 ΔT の電圧依存性(図 4.7 を書き換えた特性) Dependence of the increase ΔT in gas temperature on sustained voltage (changed from Fig. 4.7).

図 4.7 は放電領域から下流側に約 15 cm 離れた 点 で 測定 した ΔT の電流依存性を示す。予期されたように ΔT は電流に比例して 増加する。図 4.8 は電流を パラ 3 にして図 4.7 を書き換えたものである。20 torr 以上では ΔT はほぼ一定である。

5. 高出力化と応用

5.1 高出力化の諸問題

CO₂ レーザの高出力化は装置の小形化と合せて考慮しなければ意味がない。単に出力を上げるだけならば現存の装置を大形化するか、あるいは何台も並べて増幅すれば達成される。小形化を図りつつ出力を上げるためには、グロー放電で単位体積あたりに注入できる電気入力を増大させる必要がある。そのためには、電流を増大させる方法と、圧力を上げて電圧を増大させる方法とが考えられる。2.2節

で検討したように、前者の方法は go を増大させることになるが、4.3節で指摘したとおり気体の温度は電流に比例して上昇する。したがってこの場合、気体の温度を一定に保つためには、電流の上昇に比例して流速を上げねば効果がない。流速が一定の場合、電流の上昇に対するレーザ出力の飽和現象は図 4.4, 4.5 に現われている。

一方圧力を上げる方法は I_S を増大させることになる。 低圧力領域では I_S , したがって ν -ザ 出力は圧力に比例して増大するが,高圧力領域では放物線的に増大する。この場合気体の温度は上昇しないので,流速を上げる必要もない。図 4.6 は電圧(すなわち圧力)の増大に対して, ν -ザ 出力が比例して上昇する様子を示している。しかし高気圧で σ - 放電を維持することが特にむずかしく, 今後に残された課題である。

次に改善しなければならないことは効率の問題である。一般に高速気体流形の効率は 5~10 % (5) (11) (12) で、通常形に比べて 5~10 % 低い。考えられる原因としては、高速気体流の下で誘導放出が行なわれているため、反転分布数をレーザ出力として取り出す効率が悪いこと、および通常形との放電条件の違いにより、電子のエネルギーが励起に最適な値からずれていることが上げられる。高速気体流形では通常形に比べ気体の温度上昇が低いので、発振遷移の下位準位に関しては良い条件にある。したがって上位準位の分布数に関係深い電子のエネルギーを種々の放電条件の下で測定し、励起に最適な放電条件を知る必要がある。

実際的な問題としては、特にレーザ出力が 1kW 以上になると、出力側反射鏡の材料が大きな問題となる。 Ge は常温近傍で 吸収係数が急激に上昇し、破壊しやすい。 GaAs は吸収係数の点では Ge よりはるかにすぐれているが、大きな直径のものが得られず、高価でもある。基板の材料とともに問題なのが、適当な反射率をもたせるための多層膜 コーティングで、熱応力による亀裂を生ずるおそれがある。これらの問題をさけるため、高速流形レーザを透過鏡を必要としない増幅器として使用したり、あるいは不安定共振器の研究が最近進められている。不安定共振器とは2枚の全反射鏡で透過損をゼロとし、回折損をきわめて大きくした共振器で、回折損をレーザ出力として取り出す。 通常のレーザ共振器では回折損をできるだけ小さくし、透過損をレーザ出力として取り出しているので、不安定共振器は正に正反対の考え方である。

5.2 応 用

高出力 $CO_2 \nu$ -ザの応用は種々考えられるが、最も身近で実現性の高い応用は加工であろう。 ν -ザによる加工の特長をあげると次のようになる。

- (1) ν -ザビー Δ の \exists tー ν - ν ト な性質のため、微小体積に大きな \exists \exists tー \exists tー を集中でき、微小加工が可能である。
- (2) 材料に対して機械的な接触が不要であるから、ドリル、カッターのようには摩滅しない。 かたくて ドリル を使えない物質に対しても有効である。
- (3) 電子 ビーム 加工と比べた場合、真空を要しないこと、 低価格であること等でまさるが、 反面、 金属面等での反射の大きいことが欠点である。

 度を突破する。また1章で述べたように、大気中での任意の曲線、 図形の裁断に対する可能性は電子 ビーム では得られないことである。 このように従来なし得なかった加工が可能になる。

具体的に $1 \,\mathrm{kW}$ 以内の加工となると,紙・木材・繊維・石英・ガラス・合成樹脂等の非金属物質の切断,あるいは薄手の金属の切断,溶接が対象となろう。加工の条件として材料の種類に応じて,材料の厚さ,切断あるいは溶接速度が存在し,高出力化により許容される範囲が広がっていく。たとえばレーザ出力 $800 \,\mathrm{W}$ で,厚さ $15 \,\mathrm{mm}$ の木材は $1.5 \,\mathrm{m/min}$,厚さ $2.3 \,\mathrm{mm}$ の冷間圧延鍋は $1.75 \,\mathrm{m/min}$,厚さ $3.3 \,\sim 7.5 \,\mathrm{mm}$ の $2.5 \,\mathrm$

一方材料の種類に応じて加工法の研究が必要であり,加工状態を知る必要がある。たとえば紙はきわめて容易に切断されるが,燃焼を防ぐため窒素を吹きつけながら切断する必要があり,金属は熱伝導率が大きいため,酸素を補助 ガス にしてその燃焼熱を利用すれば有効である。また合成繊維の切断は切り口が溶けて固まるので,刃物で切るのと違い,ほつれることがなく,一方合成樹脂では切断時に刺激臭が激しく,炭化の激しいものもある。

6. む す び

試作した横方向励起連続発振 CO_2 ν -ザ の高出力化の原理,構造,諸特性について述べた。 短時間であるが放電長 $80~\rm cm$ で $800~\rm W$ の出力が得られた。さらに高出力化を図る場合,圧力を上昇させ,飽和 $パラ_{J-9}$ $I_{\rm S}$ の増大を図ることが有効である。 その際, 高気圧における $J_{\rm OD}$ 放電の維持が最大の課題となる。 また当面の技術的問

題として,効率良い出力取り出し方法のほかに,励起に最適な放電 条件を確立する必要がある。

加工を応用の対象とした場合,レーザの出力に応じて用途を選別し、 材料の種類に応じて加工条件を明確にする必要がある。さらに 10 kW 以上の高出力では従来の ガス 切断、 プラズマ 切断、 アーク 溶接等 による加工法、あるいは電子 ビーム 溶接との比較を行ない、 差異を 明確にする必要がある。

参考文献

- (1) C. K. N. Patel: Phys. Rev. Letters 13, 617 (1964)
- (2) C. K. N. Patel, P. K. Tien and J. H. Mc-Fee: Appl. Phys. Letters 7, 290 (1965)
- (3) T. F. Deutsch, F. A. Horrigan and R. I. Rudko: Appl. Phys. Letters 15, 88 (1969)
- (4) A. J. Beaulieu: Appl. Phys. Letters 16, 504 (1970)
- (5) W. B. Tiffany, R. Targ and J. D. Foster: Appl. Phys. Letters 15, 91 (1969)
- (6) A. E. Hill: Appl. Phys. Letters 18, 194 (1971)
- (7) 樋口,永井,安東:第33回応用物理学会学術講演会(昭47 秋)
- (8) 永井,樋口,菱井,安東:第20回応用物理学関係連合講演会(昭48春)
- (9) 永井:超高温研究 10,55 (昭48)
- (10) 永井, 樋口, 菱井, 安東:電子通信学会, 光・量子 エレクトロニクス 研究会資料 OQE73-11 (昭 48-07)
- (11) H. J. Seguin and G. Sedgwick : Appl. Opt. 11, 745 (1972)
- (12) N. Ben-Yosef, E. Bin-Nun, F. Dothan and S. Yatsiv: J. Phys. E (Scientific Instr.) 4, 708 (1971)

コルゲート円すいホーンアンテナ

水沢 丕雄*·武田 文雄**·田中 宏和**·別段 信一***

A Corrugated Conical Horn Antenna

Kamakura Works

Motoo Mizusawa • Fumio Takeda • Hirokazu Tanaka
Communication Equipment Works Shinichi Betsudan

A corrugated conical horn antenna is a horn having grooves arranged symmetrically against the axis inside the wall. It provides a symmetrical beam against the axis with few cross-polarized components over a frequency range of an approximately one octave and with low sidelobes. This horn is useful as a primary radiator of Cassegrain antenna or as a launcher of beam waveguide. In this article it is denoted that the radiation characteristics are represented by a variable χ which is to be determined by the dimensions of corrugated grooves and by a variable t which is to be determined by the diameter of the horn aperture, the length and the distance of observation. These variables are used for the investigation of the radiation characteristics. In addition description is made on an antenna in which this horn is put into practical application.

1. まえがき

マイクロ 波帯での衛星通信回線や地上通信回線において用いられる カセグレンアンテナ においては、通常の円すい ホーン を一次放射器として 用いるのが普通である。しかし、この場合通常の円すい ホーンのビームが軸対称でないこと、サイドローブの高いことから、アンテナの 開口能率、サイドローブ、雑音温度などの性能におのずから限界が現れてくる。 このような限界を取り除くためには軸対称なビームをもち、 低サイドローブをもつ一次放射器が必要とされ、これまでにも複モードホーン(1)、誘電体装荷ホーン(2)など数多くの研究が行なわれてきた。 しかし、この二つのホーンは 広帯域性などの点で十分とはいえなかった。ここに述べるコルゲート 円すいホーンは、ホーンの内壁に軸対称に溝を設けたホーンであって、ほぼ1オクターブの帯域にわたって軸対称なビームと低サイドローブとをもつホーンを得ることができる。

コルゲート 円すいホーンに関する研究は偏波によって反射係数の変わらない壁面を用いるという着想による A. F. Kay の Scalar Feed(3) に始まり、その後、角すいホーンの低 サイドローブ 化(4)、コルゲート 導波管に近似したホーン内のモード解析(5)(6)、その解析をもとにした放射特性の解析(7)~(9)、および コルゲートモード 変換器(10)などの研究が行なわれている。ここでは コルゲート 円すい ホーン に対して、コルゲート 内壁の溝の深さ、ピッチ、幅によって決まる一つの媒介変数 x および ホーンの開口径、長さ、観測距離によって決まる媒介変数 t を導入し、この二つの媒介変数によってホーンの放射特性を明らかにしている。さらにこのホーンを実際に応用した衛星通信地球局用集束ビーム 給電 カセグレンアンテナ および地上中継用 ホーン 給電 カセグレンアンテナ について 述べる。

2. 理 論

2.1 ホーンの構成

コルゲート 円すい ホーンアンテナ は,図 2.1 に示すように,円形導波管,コルゲート 変換器, および コルゲート 円すいで構成される。 円形導波管 内を伝搬してきた TE_{11} モード の波は コルゲート 変換器によって コルゲート 導波管の EH_{11} モード の波に変換され, コルゲート 円すい内を伝搬して ホーン 開口から空間に放射される。 コルゲート 変換器としては,リング

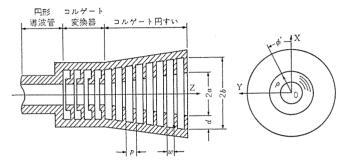


図 2. 1 コルゲート 円すい ホーンアンテナ A corrugated conical horn antenna.

装荷 コルゲート 導波管(10)を用いるのが有効で、 リング 装荷量を 漸次変 化させることにより 広帯域にわたる モード 変換が可能となる。 以下 ここでは モード 変換器の性能は良好なものと考える。

2. 2 開口分布

開口の振幅分布としては、 \hbar -ンの開き角が小さいとして コルゲート 円形導波管における電界分布を考え、位相分布すなわち開口における波面は 円すい \hbar -ンの頂点を中心とする 球面波と考えることができる。 コルゲート 円形導波管の電界分布は非常に複雑となる (6) が、 \hbar かりレンアンテナ の一次放射器のように、開口径 2a が自由空間波長 λ に比べ比較的大きい場合、管内波長 λ_0 は λ に近似的に等しいと考えることができ、さらに溝のピッチ μ が λ に比べ十分小さいとし、導波管内での横方向位相定数 μ ない。自由空間の位相定数 μ なおよび導波管内での位相定数 μ として、

$$k_0 = k^2 - \beta_0^2 > 0 - \cdots (2, 1)$$

であるとすると、基本 $\mathbf{E}-\mathbf{F}$ である $\mathbf{E}\mathbf{H}_{\mathbf{I}\mathbf{I}}$ モーF の波で励振した $\mathbf{h}-\mathbf{h}$ の開口の電界分布は、 主偏波成分 \mathbf{E}_x および交さ偏波成分 \mathbf{E}_y で表わして、

$$E_{X} = \frac{E_{0}}{1 - \gamma} \{J_{0}(\chi \rho') + \gamma J_{2}(\chi \rho') \cos 2 \phi'\}$$

$$E_{Y} = \frac{E_{0}}{1 - \gamma} \gamma J_{2}(\chi \rho') \sin 2 \phi'$$

$$(2. 2)$$

を得る⁽⁹⁾。ここで

$$\gamma = J_0(\chi)/J_2(\chi)$$

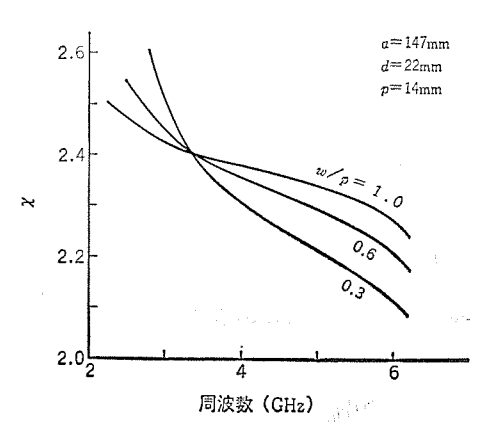


図 2.2 パラメータ x の周波数特性 Frequency characteristics of a parameter x.

$$\chi = k_0 a$$

$$\rho' = \rho/a$$

である。

式 (2.2) からわかるように、x のみが開口の振幅分布を決定する パラメータ となっている。x は y となっている。y は y に おっと 神秘での形状寸法、すなわち、内径 y に おっと y に y をもとにした境界条件から決る特性方程式を解くことによって、一義的に決る y の周波数特性の計算例を図 y 2、y に 示す。 導波管としての解析からホーンとして応用できるための y の範囲は、

$$\chi_1 \leq \chi \leq \chi_2 \cdots (2,3)$$

 $\chi_1 = 1.8412 : J_1'(\chi) = 0$ の最初の根 $\chi_2 = 2.4048 : J_0(\chi) = 0$ の最初の根

である。式(2.2)からもわかるように $J_0(x)=0$ となるとき,すなわち $x=x_2$ となるとき $\gamma=0$ となり,開口の振幅分布は軸対称となり,交さ偏波成分も t_0 となる。一方, $x=x_1$ となるとき電界分布は通常の円形導波管のそれと同一になる。結局,回転対称な開口分布を広帯域にわたって得るには x が x_2 の近傍の値をもち,周波数に対し平坦な特性をもつ $\neg uf_-$ ト壁を採用する必要がある。図 2.2 の例では w/p が 1 に近い方が良いことがわかる。

開口の位相分布は、 円すい ホーン の頂点を中心とする 球面と開口 平面との差と考え、ホーン の開き角が小さいとして。

$$\psi_a = \frac{\pi a^2}{\lambda l} \rho'^2 \dots (2.4)$$

とする(9)。ここで1はホーンの長さである。

2.3 放射電界

開口の振幅分布および位相分布が、式(2.2)および(2.4)で与えられ、放射電界を近軸に限るとすれば、図(2.3)に示す座標系において、放射電界の主偏波成分(2.4)を引きる。

$$E_{PX} = E_{P0} [I_0 + \gamma I_2 \cos 2 \phi]$$

$$E_{PY} = E_{P0} \gamma I_2 \sin 2 \phi$$

$$\cdots \cdots \cdots (2.5)$$

である⁽⁹⁾。ことで

$$\begin{split} E_{P0} &= j2\pi e^{-jk\tau}a^2E_0/\lambda\tau(1-\gamma) \\ I_n &= \int_0^1 J_n(\chi\rho')J_n(u\rho')e^{-j2\pi t\rho'^2}\rho'd\rho' \\ u &= ka\sin\theta \\ t &= \frac{a^2}{2\lambda} \left(\frac{1}{l} + \frac{1}{\tau}\right) \end{split}$$

である。とれらの式からわかるように、放射電界はx, u, t の パラメータで表わすことができる。ここでu は正規化された角度を示す変

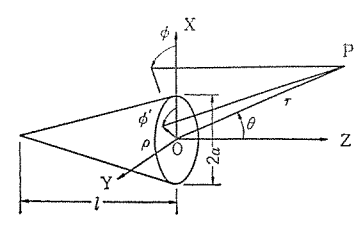


図 2.3 座標系 Coordinates.

数であり、t は $n-\upsilon$ の開口径、長さ、観測距離によって決まる変数である。

3. 放射特性

3.1 放射特性の解析

放射特性に及ぼす パラメータ χ 、t の効果を具体的に調べる。

(1) χの効果

(2) tの効果

理想的な コルゲートホーン, すなわち $x=x_2$ の場合の t を パラメ-9 とした放射 $パタ-\upsilon$ の例を図 3. 3 に示す。また $ホ-\upsilon$ の形状寸法および観測距離が決まった場合の周波数, すなわち t に対する $\ell-\iota$ 幅の変化および位相遅れを図 3. 4 に示す。この図で f_1 , λ_1 および U_{W1} は t=1 のときの周波数, 波長, および $\ell-\iota$ 幅である。また位相遅れは振幅 $\ell-\iota$ で, $\ell-\iota$ で, $\ell-\iota$ 個の変数で $\ell-\iota$ が大きくなるにしたがって, $\ell-\iota$ 幅, 位相とも一定の値に近づく。 広帯域にわたって一定の $\ell-\iota$ 幅, 一定の波面が必要な場合, 変数 t を大きくとればよく,

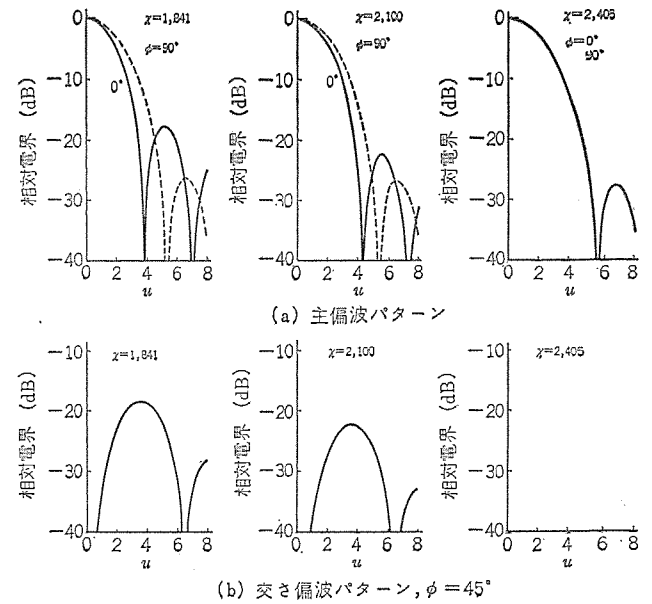


図 3.1 コルゲート 円錐 ホーン の放射 パターン Radiation patterns of corrugated conical horns.

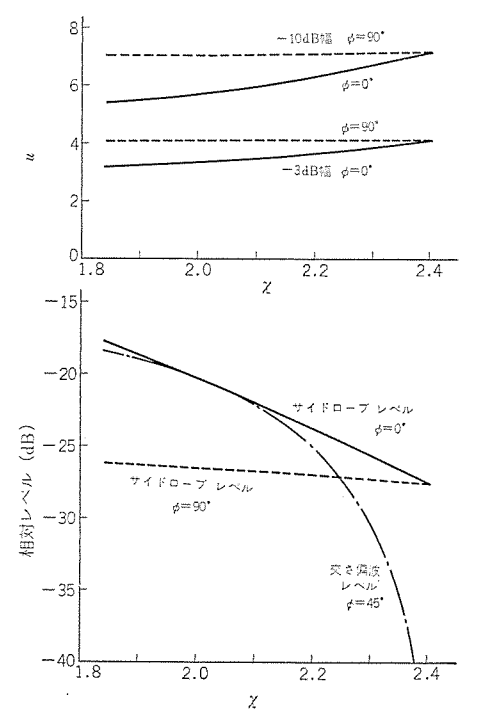


図 3.2 χ に対する放射特性 Radiation characteristics vs. χ .

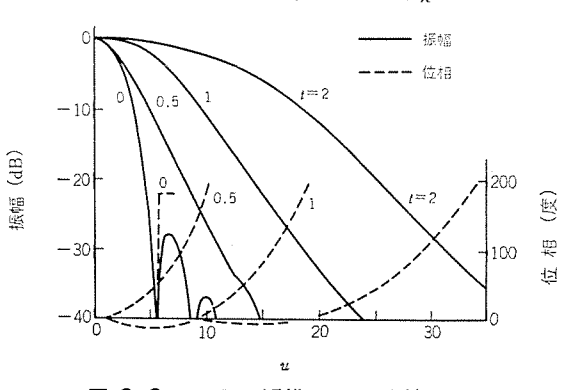


図 3.3 コルゲート 円錐 ホーン の放射 パターン Radiation patterns of corrugated conical horns.

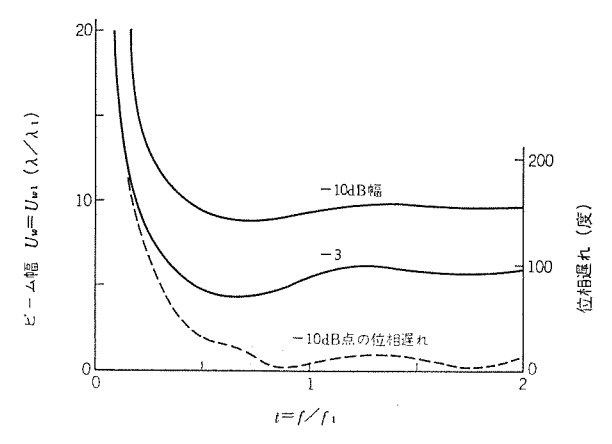


図 3.4 t に対する ピ―ム 幅および位相遅れ Beamwidths and phase lags vs. t.

図 3. 4 の結果から変数 t は最低周波数で 0.4 以上に選べばよいことがわかる。

3.2 実験例

衛星通信地球局用 カセグレンアンテナ の一次放射器として、 設計した 図 3.5 に示す コルゲート 円すい π ーン の模型実験を行なった。 とこで π ーン の寸法は 4 GHz で t が 0.4, 副反射鏡周辺照射 レベル が -20

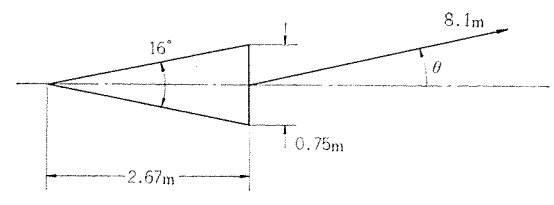


図 3.5 設計したホーンの寸法 Dimensions of the designed horn.

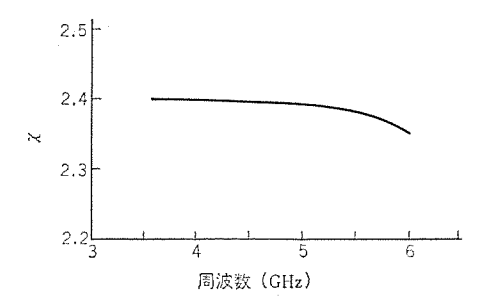


図 3.6 設計したホーンのχの周波数特性: Frequency characteristics of χ of the designed horn.

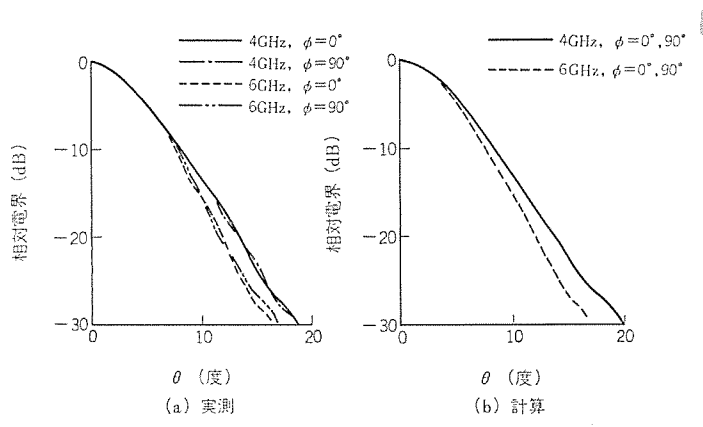


図 3.7 試作ホーンの放射パターン Radiation patterns of the corrugated conical horn.

dB となるよう設計してある。このとき $6\,\mathrm{GHz}$ での t は 0.6 となる。計算した x は図 3. 6 に示すとおりで,2.405 でほとんど一定の値を保っている。図 3. 7 には実測の放射 R_{S-2} を計算のものとともに示してある。 これらの結果より わかるように 4 および $6\,\mathrm{GHz}$ 帯にわたって軸対称で一定の E_{-L} 幅をもち,低 +7 F_{-D} の放射特性が得られている。

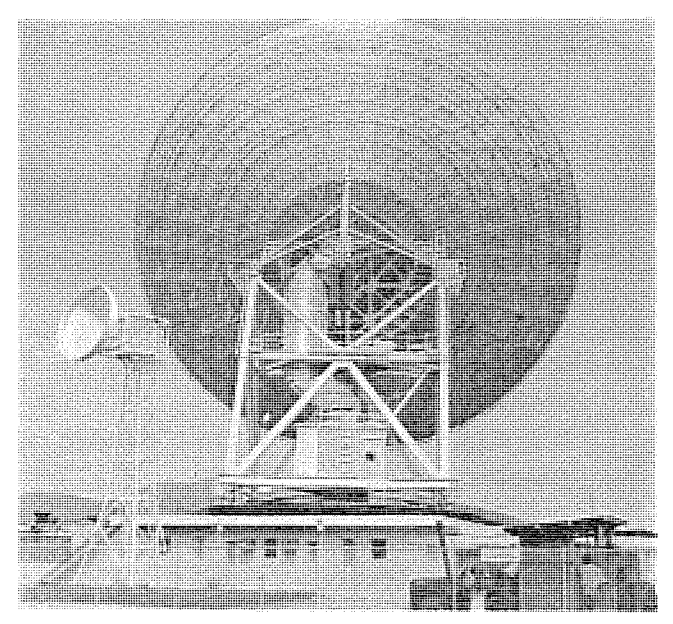
4. 応 用 例

4.1 衛星通信地球局アンテナ

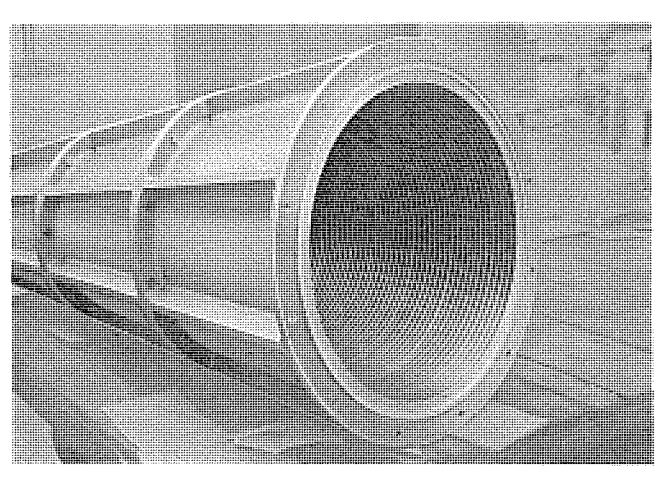
図 4. 1 は、一次放射系に集束伝送の技術を応用した集束 $\it E = \Delta$ 給電 カセグレンアンテナで、 衛星通信地球局用として 建設 された 開口径 $\it 32$ m の アンテナである $\it 510$ 。 $\it 50$ この一次放射系の $\it 50$ ホーン に、集束伝送に 適した軸対称で ガウス 形に近い $\it E = \Delta$ をもつ コルゲート 円すい $\it 50$ ホーン が 用いられている。 $\it 50$ スの使用により、 $\it 4$ も $\it 60$ 日本 帯域に わたって高性能の集束 $\it E = \Delta$ 給電 カセグレンアンテナが得られている。 図 4. 2 にはこの一次放射系の副反射鏡上での放射 $\it 100$ で $\it 50$ を、図 4. 3 には コルゲート 円すい $\it 50$ ホーン の インピーダンス 特性を示す。 $\it 50$ の アンテナの 利得および開口 能 率 は $\it 4$ GHz で $\it 61.5$ dB および $\it 80$ %、 $\it 6$ GHz で $\it 64.5$ dB および $\it 72$ % であり、 雑音温度は $\it 4$ GHz、 仰角 $\it 100$ で $\it 310$ % である。

4.2 地上中継回線アンテナ

コルゲート円すいホーンは低サイドローブであり、また交さ偏波特性が



(a) 背面よりみた アンテナ 外観



(b) コルゲートホーン

図 4. 1 衛星通信地球局用集束 ビーム 給電 カセグレンアンテナ A focused-beam feed Cassegrain antenna for satellite communication earth station.

良好なので、 直交二偏波の共用を目的とした地上中継回線用の カセグレンアンテナの一次放射器として有用である。図 4.4 はその カセグレンアンテナ の一例であり、正面方向で -40 dB 以上の交さ偏波識別度をもつものが得られている。このアンテナの開口径は 1.8 m である。図 4.5 には広角の包絡線 パターンの例を通常 ホーンの場合とともに示してある。コルゲート 円すい ホーン で給電したものは、ホーンの サイドローブが低いので良好な広角放射特性を示している。

5. む す び

コルゲート 円すい ホーンアンテナ において、コルゲート 内壁から決まる変数 x および ホーン の形状寸法と観測距離から決まる変数 t を導入して、その放射特性の周波数変化について調べた。広帯域にわたって軸対称な ビーム をもち、低 サイドローブ 特性をもたせるには x を 2.405 の近傍で、周波数に対し平たんな特性をもつように コルゲート 内壁寸法を設計する必要がある。また、広い周波数範囲にわたって一定のビーム 幅を得るには、変数 t の値を大きく選べばよく、最低周波数で 0.4 以上にする必要がある。以上の結果を考慮して、衛星通信地球局用に建設した集束 ビーム 給電 カセグレンアンテナ および地上中継回線用

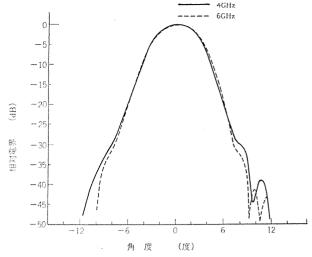
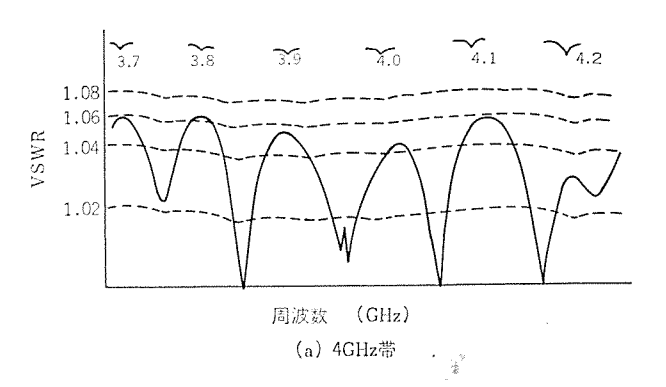


図 4.2 集束ビーム形 一次放射系の放射特性(実測値) Radiation pattern of focused-beam feed (measured data).



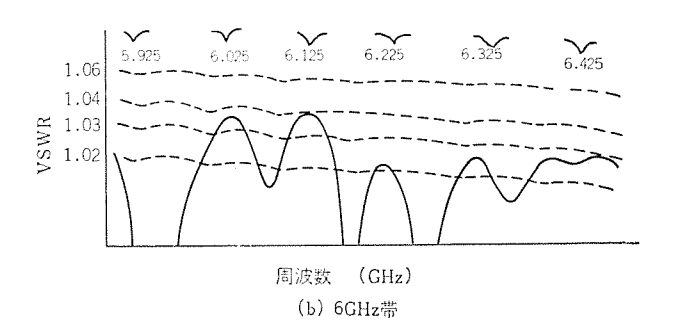


図 4.3 コルゲートホーン の インピーダンス Impedance of the corrugated horn.

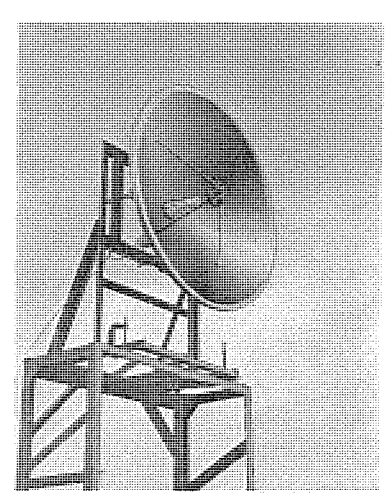


図 4.4 20 GHz 地上中継回線用 カセグレつアンテナ A Cassegrain antenna in the 20 GHz band for terrestrial relay links.

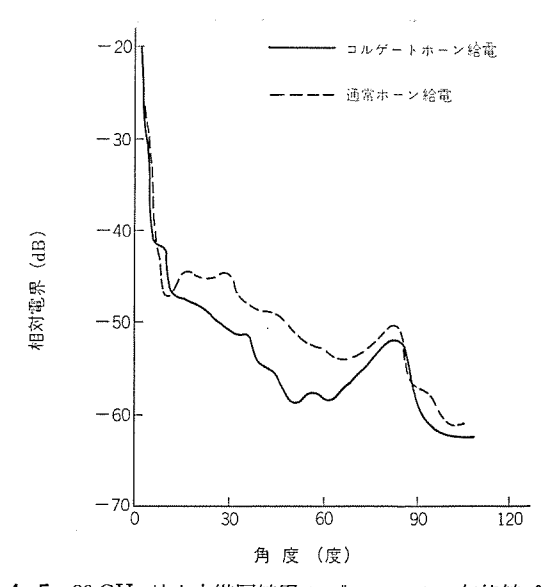


図 4.5 20 GHz 地上中継回線用 カセグレンアンテナ の 包絡線 パターン Envelopes of radiation fields of Cassegrain antenna for terrestrial relay links.

カセグレンアンテナ に コルゲート 円すい ホーン を応用し、 良好な特性を得る ことができた。 (昭48-9-3 受付)

参考文献

- (1) P. D. Potter: the microwave jour., 6, 6, 71 (1963).
- (2) 佐藤:電子通信学会論文誌, 54-B, 475 (昭 46).
- (3) A. F. Kay: TRG Science Report 5, AFCRL Project 4600, Contract no. AF 19(604)-8057.
- (4) R. E. Lawrie, L. Peters, Jr.: IEEE Trans., AP-14, 605 (1966).
- (5) G. H. Bryant: Proc. IEE, 116, 203(1969).
- (6) 武市,橋本,武田:電子通信学会 マイクロ 波研究会資料,MW 70-77(1971-02).
- (7) P. J. B. Clarricoats, P. K. Saha: Proc. IEE, 118, 1167 (1971).
- (8) P. J. B. Clarricoats, P. K. Saha: Proc. IEE, 118, 1177 (1971).
- (9) 水沢, 武田, 別段:電子通信学会論文誌, 56-B, 14 (昭 48).
- (10) Y. Takeichi, T. Hashimoto, F. Takeda: IEEE Trans., MTT-19, 947(1971).
- (11) 別段,青木,浦崎,水沢:電子通信学会 アンテナ 伝播研究会資料, AP 73-29(1973-06).

電界効果型ネマティック液晶を用いたカラーディスプレイ技術

内田 裕子*·上田 文夫*·新居 宏壬*

A Color Display Using A Field Effect Type Nematic Liquid Crystal

Central Research Laboratory

Yûko Uchida • Fumio Ueda • Hirotsugu Arai

Display devices now in practical use are made out of discharge tubes or Braun tubes, which, however, have a drawback of poor adaptability to recent electric circuits consisting of integrated circuits. Then, development has been positively tried with a variety of new solid state display devices, and further color effect is called for in their operation. By using a field effect type nematic liquid crystal for a new processing of the electrode surfaces, there has been worked out color display technique of excellent uniformity that was hard to realize in the past.

Although the liquid crystal display has a few problems left unsolved such as slow response and highly accurate workmanship required for the formation of the liquid crystal cell, its feature of being able to effect color display at low voltages to the extent of 6 V promises application to a new sphere, in particular to a large picture area of projection type.

1. まえがき

現在実用化されている表示装置としては、数字や文字の表示には 放電管やけい(蛍)光表示管が、また画像の表示には CRT (ブラウン 管)が主に使用されている。しかしながら電子回路の集積化ととも に、上記のような表示装置の欠点、すなわち占積率の大きなこと、 駆動電圧が高いこと、消費電力が大きいこと、表示パターンのひずみ などの改良が望まれるようになってきた。 そのため発光 ダイオード、 プラズマディスプレイ、EL、液晶など数多くの新しい表示装置の検討が行 なわれつつある。このような種々の材料の中で液晶は受動的な表示 用材料ではあるが、低電圧で動作するという特色を生かしてその実 用化が進められつつある。

一般に液晶は分子配列の様子によって、スメティック液晶、ネマティック液晶、コレステリック液晶にわけられるが、表示用として利用されているものは大部分後者の2種のものである。 このうち ネマティック液晶によるディスプレイは液晶による光の散乱を利用するもので、 液晶中の イオン 流れによる液晶分子配列のみだれに基づく動的散乱 モード (DSM) によるもの(1)であり、すでに時計や電子卓上計算機等の数字や文字の表示に応用されており、

- (i) 周囲の明るさに関係なく一定の コントラスト で表示できる。
- (ii) 動作電圧が $10\sim20~V$ と低く, さらに 消費電力が $100~\mu W/$ cm² と非常に小さい。
 - (iii) 薄形の大型表示装置が実現可能である。
 - (iv) パターン 設計に フレキシビリティ が大きい。

といったすぐれた特徴をもっている。

しかし一方, このような表示素子では,

- (i) 応答速度があまり速くない (数 ms~数十 ms)
- (ii) コントラスト が50:1程度で十分ではない。
- (iii) 寿命が 10,000 時間程度と幾分短い。
- (iv) カラー でない。

等の欠点があり, さらに今後の改良が望まれる。

液晶において色表示を行なう方法としては、 すでに ネマティック液晶に二色性色素を混ぜて行なう ゲストホスト 効果を利用する もの⁽²⁾,

コレステリック 液晶を用いる等の方法があるが、しかし前者では表示の 色が固定されること、後者では温度変化、電圧印加によって行なう が、寿命が短い、高電圧が必要である等の問題がある。

2. ネマティック液晶によるカラー表示の原理

液晶は一般に一軸結晶と同様の複屈折性を示すことはよく知られている。このような複屈折性物質に直線偏光を光学軸以外の方向から入射させるとだ(精)円偏光となり、この複屈折性物質を透過してきた光を検光子を通してとり出せば、ある特定の波長の光だけが選択的に得られることになる。

一般に ネマティック 液晶は細長い分子が長軸を一方方向にそろえて配列しており、その光学軸は分子の方向と一致している。ここに述べる ネマティック 液晶の カラー 表示においては、この分子配列を電界によって一様に傾けることにより、実質的に入射光に対する複屈折性を変化させ、交差偏光板を用いることによって、前述のような色変化を生じさせるものである。

しかし実際には ネマティック 液晶を狭いすき間をもつ サントイッチ 形 セル内にそら(挿)入した時、セルの壁面の影響を強くらけ、必ずしも広い領域に渡って一定方向に分子軸をそろえて配向するとは限らないし、またそのため、外力によって配向方向を一様に変えることは容易ではない。そのため、一様な色表示が困難となる。

従ってこの電気光学効果を得るには,一定方向の配列を得るような処理や液晶の選択⁽⁵⁾⁽⁶⁾が必要となる。

液晶 $t_{\rm IN}$ は図 2.1 に示すような構造で、液晶は ${\rm SnO_2}$ または ${\rm In_2}$ ${\rm O_3}$ の透明電極をつけた 2 枚の $f_{\rm DZ}$ 基板の間にはさまれて ${\rm shop}$ ${\rm theorem 1}$ その層厚は数 ${\rm theorem 1}$ から数十 ${\rm theorem 1}$ の ${\rm cheorem 2}$ によって定められている。

液晶は壁面に対して分子長軸を垂直にして配列しやす い MBBA

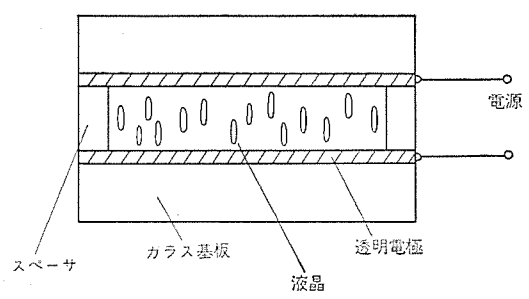


図 2.1 液晶セルの構造(断面) Liquid crystal cell (section).

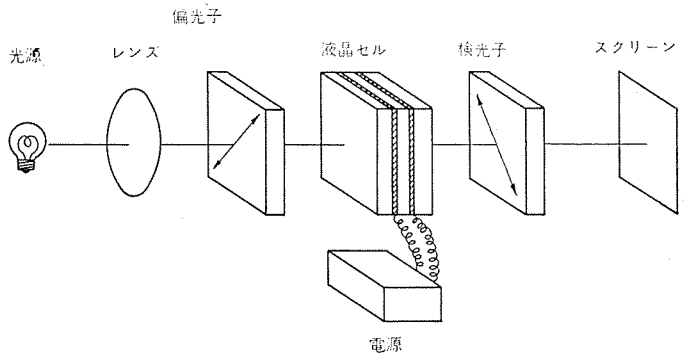


図 2.2 カラー表示装置の構成 Construction diagram of color display.

(N-(P-methoxy benzylidene)-P-n-butylaniline) に EBBA (N-(P-ethoxy benzylidene)-P-n-butylaniline) を混合したものを用い⁽⁷⁾,表示に用いる tu にはさらに,透明電極表面に SiO₂ 薄膜をつけることによって,電圧印加状態で分子配列の乱れを防ぐと共に分子の傾いてゆく方向を制御している。

原理的な装置の構成は図 2.2 に示すようなものである。 光源 からでた光は レンズ 系で平行光線になり、 偏光子によって直線偏光となって液晶 セル を通過して検光子に至る。液晶分子は上述のように分子長軸を壁面に対して直角になるようにして配列しており、この分子長軸方向に光軸があるので、この方向から入射した直線偏光は複屈折を受けず、そのまま液晶 セルを透過する。

検光子の偏光方向は偏光子とは直角になるように配置されている ため、液晶 セル を通過してきた光は検光子を通過できず、 スクリーン には光は到達しない。

MBBA および EBBA は動的散乱を利用した表示に用いられる液晶で、負の誘電異方性をもち、電気双極子 モーメント が分子長軸に対してほぼ直角方向を向いている。前述のように一様な分子配列をしている液晶に電圧が印加されると、(この場合、電界は分子長軸方向にかかる)電気双極子が電界方向に向うとするため、電界強度に応じてある一定の角度、分子長軸を電極面と直角方向から傾けることになる。このため電極面から入射した直線偏光は複屈折を受け、液晶層通過中にだ円偏光となり、その印加電圧の変化によってだ円偏光の様子が変化することになり、検光子を通過する光が生じ、さらに電圧によってその強度が変化することになる。

いま入射する直線偏光の偏光方向が液晶の光軸と ϕ の角度で入射した場合,検光子から透過してくる光の強度Iは,

$$I = I_0 \sin^2 2\phi \sin^2 \frac{\pi \Gamma}{\lambda}$$
 (2.1)

で表わされる。ことで、 I_0 は入射光強度、 λ はその波長、 Γ は 19 -デーション と呼ばれるもので、 液晶中を通過する二つの光線の 光学 的な距離の差を表わしている。

 Γ は液晶分子の長軸の光の進行方向に対する角度によって変化し、その分子長軸の方向は電圧によって変化するので、結局 Γ が電圧によって変化していることになる。 いま ϕ =45° とすると、 式 (2.1) から明らかなように Γ =N N (N は正の整数) を満した時には I=0 となり、検光子からの光は出てこないことになる。一方, Γ =N N (N は正の整数) を満した時には I0 となり、検光子からの光は出てこないことになる。一方、 Γ 0 I1/2) I2 の時には、I3 は最大となり、 波長I3 の光が検光子から透過してくる。 すなわち、電圧によって上記の条件を満たすようにI5 を変化させれば特定の波長の光の透過光強度を制御できることになり、もし光源が白色光であれば、ある特定の電圧である特定の波長の光が透過してくることになり、電圧を変化させることで透過する光の波長が選択できるようになり、色相の変調ができることになる。

3. 特性と検討

図 2.2 に示したような装置で液晶に MBBA と EBBA の混合物を用い、測定されたいくつかの特性について以下に述べる。

図 3. 1 は液晶層厚 6μ の $t\nu$ による透過光強度の電圧変化を 672 $m\mu$, $550 m\mu$, $450 m\mu$ の三種の波長の光に対して測定したものである。

図から明らかなように

- (i) 白色光源を用いれば、 電圧によって色相が変化する。 (単 色光源の場合は強度変調になる)
- (ii) 印加電圧が5~6Vの範囲で色相および強度を変化できること。
- (iii) 高い コントラスト を示すこと。(光源が He-Ne ν-ザの場合約 10⁴:1)
- (iv) 透過光開始電圧が比較的明確なしきい値をもつこと。 等の大きな特徴をもっている。

3.1 周波数依存性

このような特性は動的散乱が生じる電圧範囲外であれば、直流でも交流でも(パルスも含めて)、本質的に差はなく、正弦波による動作でも100kHz程度まで十分応答し、動的散乱モードのように数百Hz以上で急速に駆動電圧が高くなるといった問題は生じない。

図 3.2 は正弦波周波数を 100 Hz, 1 kHz, 10 kHz, 50 kHz と変化させた時の印加電圧と透過光強度の関係を示したものである。

周波数の増加とともに,幾分曲線の $\ell-2$ 位置は高電圧側に \mathfrak{D} つトしているが,その程度は非常にわずかである。 液晶層厚は \mathfrak{g}_{μ} ,光源には $He-Ne_{\nu}$ で用いて測定したものである。 $100\,Hz$ では, $7\,V$ 強で曲線は終っているが,これはこの付近で動的散乱が生じているためである。なお,このような分子配列は動的散乱によって乱されるが,電圧を下げれば再びもとの配列にもどり,動的散乱を生

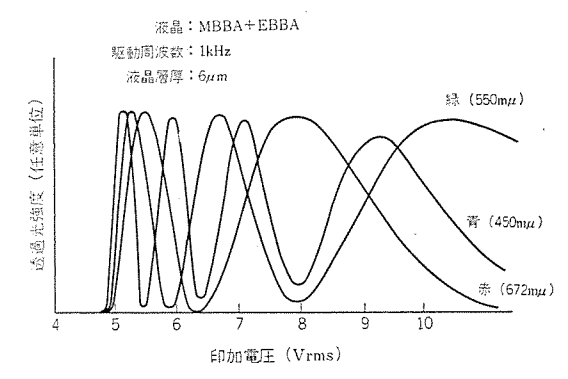


図 3.1 透過光強度の電圧変化 Transmitted optical intensity vs. AC voltage.

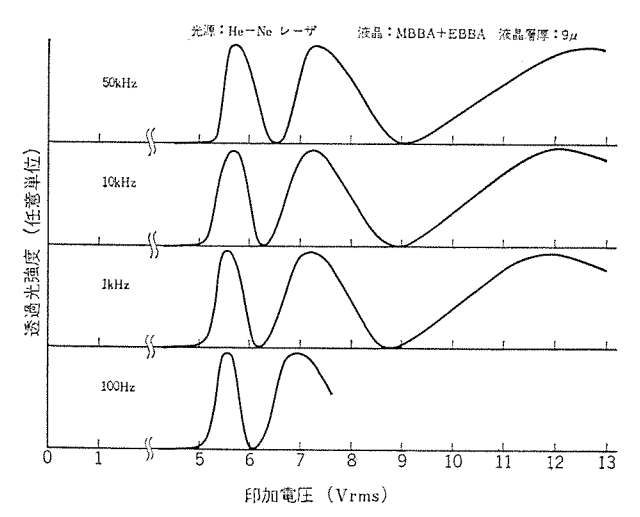


図 3.2 透過光強度の駆動周波数変化 Transmitted optical intensity vs. drive frequency

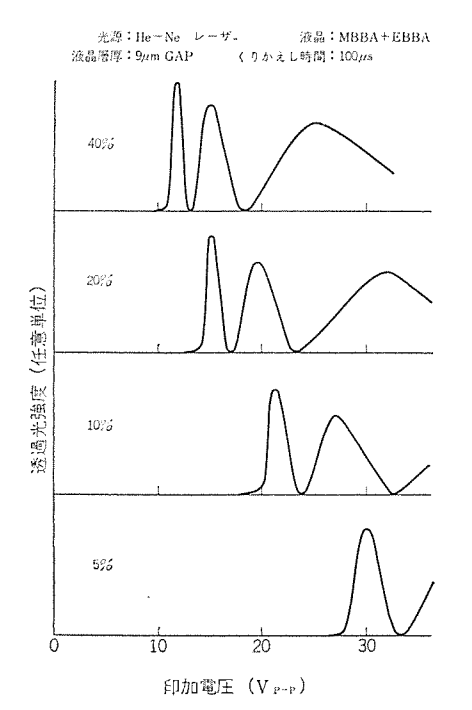


図 3.3 透過光強度のデューティ変化 Transmitted optical intensity vs. pulse duty.

じせしめたために色相変調ができなくなるといった問題はない。

なお、液晶 セル は容量性であるため、駆動回路からみれば、できるだけ低周波で駆動したほうが供給電力が少なくてすむ。そのためには動的散乱が生じないように液晶の不純物をできる限り除去することが望ましい⁽³⁾。

3.2 印加電圧波形による影響

September 1

前述のように、このような特性は直流でも交流でも(パルスも含めて)生じる。図 3.3 に DC パルスで種々の デューティにおける電圧と透過光強度の関係を測定した結果を示す。液晶層厚は 9μ で、光源には He-Ne ν -ザを用い、くり返し時間は 100μ s 一定にした。また、図 3.4 はこの測定結果を透過光が極大になる電圧(以下 ℓ -ク電圧とよび、低電圧側から順に第一 ℓ -ク、第二 ℓ -ク……と名づける)の デューティによる変化として表にしたものである。

各々の ℓ -2 電圧 V_{P-P} と f_{2} - f_{7} において, $\log V_{P-P}$ と $\log D$ の関係はほぼ -1/2 の傾きをもった直線で示される。DC $\mathcal{S}_{N/2}$ においては,

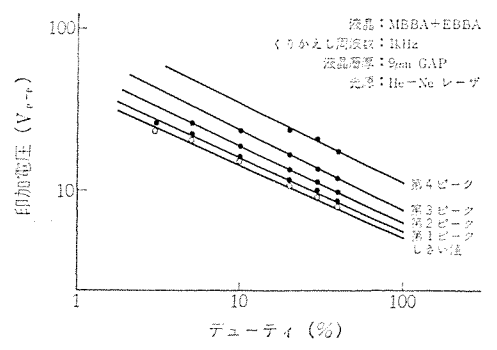


図 3.4 透過光 ピーク 電圧 (V_{P-P}) の デューティ 変化 Peak voltage vs. pulse duty.

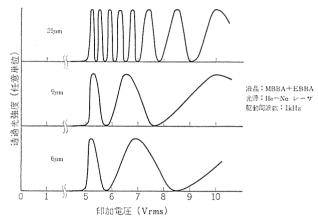


図 3.5 透過光強度の液晶層厚による変化 Transmitted optical intensity vs. cell gap.

$$V_{\rm rms} = \frac{1}{10} V_{\rm P-P} \sqrt{D} \qquad (3.1)$$

で示されることより、透過光強度がほぼ実効値により決定されることがわかる。各 ℓ -ク の実効電圧値 $V_{\rm rms}$ は正弦波における ℓ -ク の電圧値(実効値)ともほぼ一致しており、透過光強度特性の波形による影響はほとんど受けないことがわかる。

これらのことはマトリックスアドレス 方式の ディスプレイ において, パルス 変調を行なうのに非常に有利となる。ただし DC 印加の場合には, 液晶の分解や電極反応がおこり寿命が短くなるので, 実際の表示装置には AC を用いるほうが好ましい。

3.3 透過光強度一電圧特性の層厚依存性

透過光強度の式 (2.1) には層厚 d を含むため、透過光の層厚依存性が考えられる。図 3.5 にこれを示す。層厚 6 μ, 9 μ, 25 μ に対し、しきい電圧はほとんど変化はないが、それ以上の電圧での透過光の様子は層厚に強く依存している。このことは、電圧変化による色相変調において、色むらの原因となり、工作上、層厚に対して、きびしい精度が要求される。

3. 4 応答時間

電界効果型液晶での光学特性は、DSM を利用したものと同様、応答時間の遅いことが気づかわれる。図 3.6 は、100 Hz、10 kHz、100 kHz の正弦波で各ピーク電圧のパースト波形を加えた時の立上り、および立下りの応答時間を示したものである。周波数に対する依存性は小さく、立上りは印加電圧が高くなると早くなり、立下がりは印加電圧が高くなる程、分子の傾き角が大きくなるため、遅くなるものと考えられる。応答時間は各ピークによって異るが、0.1~28程度である。前述のように電圧変化に対する立上りと立下りの応答時間は逆の傾向があるが、第三ピーク付近の電圧で駆動すれば比較

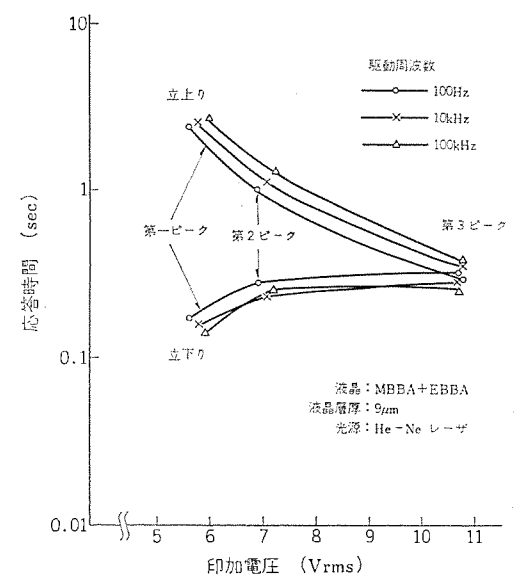


図 3.6 応答時間の印加電圧変化 Response time vs. applied AC voltage.

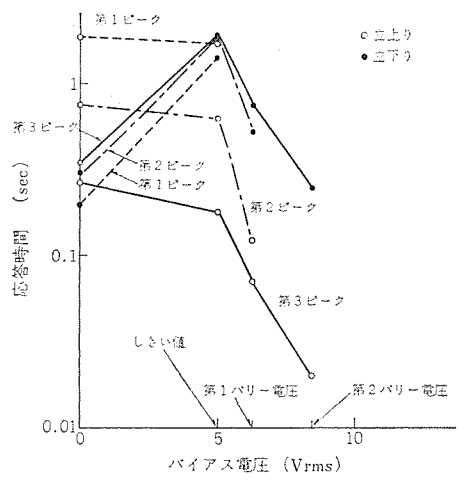


図 3.7 バイアス 電圧印加における応答時間の変化 Response time_vs. bias voltage.

的速い応答が得られることがわかる。

さらに、ここでは、ある特定波長の光を dark の状態から電圧を加えて取出しているが、この透過光強度の電圧依存性が明確なしきい値をもつこと、また、透過光がほぼ0となる谷をもつことを利用して、あらかじめバイアスとしてしきい値以下の電圧、あるいは、透過光が極小になる電圧(以下 バリー 電圧と呼び、 低電圧側から第一バリー、第二 バリー …… と名づける)をかけておき、それに適当な電圧を重量して、各ピークの電圧になるようにすれば、応答時間を短くすることができる。この場合の応答時間の変化を図3.7 に示す。横軸には バイアス 電圧として印加されるしきい電圧および バリー 電圧が示されている。この方法によって立下り時間はあまり改良されないが、立上り時間をかなり速くすることができる。この結果、第二バリー 電圧をあらかじめ印加しておき、ここから第三ピークまでの電圧を加えて、透過光を出せば、立上り約20 ms、立下り200 ms 程度まで応答時間をはやめることが可能である。

3.5 透過光スペクトル

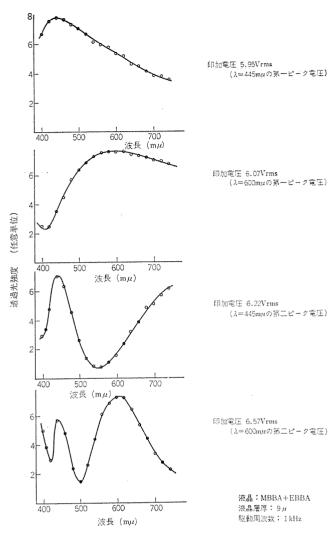


図 3.8 透 過 光 スペクトルの 電 圧 変 化 Spectral response vs. applied AC voltage.

圧を変化させる事により、色相変調が可能になる。図3.2では各 色の第一ピークは非常に接近しているので、 肉眼での色相変化は, 5 V 付近まで暗黒で、さらに電圧をあげることによって灰色一白色 ―オレンシー赤―青―緑―赤の順で変わっていく。図 3.8 に印加電圧 を 5.95, 6.07, 6.22, 6.57 V_{rms} と増加させていった時の透過光スペク トルを示す。各電圧は 445,600 mm の波長の透過光強度が第一,お よび第二ピークを示す電圧である。 これによれば比較的低い電圧印 加のものは非常に ブロード なスペクトルを示し、実際には白色光に近い ものになる。これに比し、比較的高い電圧印加のものになると、し だいに スペクトルは シャープ な形を示し、可視光の範囲で特定の波長域 の光を出すことが可能なことがわかる。さらに印加電圧を高くして いくと透過光 スペクトル は可視光の範囲でもいくつかの シャープ なピー クを生じることになり,再び透過光が白色光に近づいていく。従っ て純度のよい カラーを出すためには、 各波長における透過光特性の 第2または第3ピークあたりの電圧範囲で動作させることが, 望まし v.

3.6 温度依存性

実際に表示に用いる時、透過光強度および透過光色の温度に対する安定性が問題となる。ここで用いた MBBA と EBBA の混合液晶は公称 −10°C より 57°C の範囲で ネマティック 液晶相を示すものである。この透過光特性の温度による影響を 図 3.9 に示す。 この図は、 光源に He-Ne レーザを用い、ピーク 電圧およびしきい値の温度

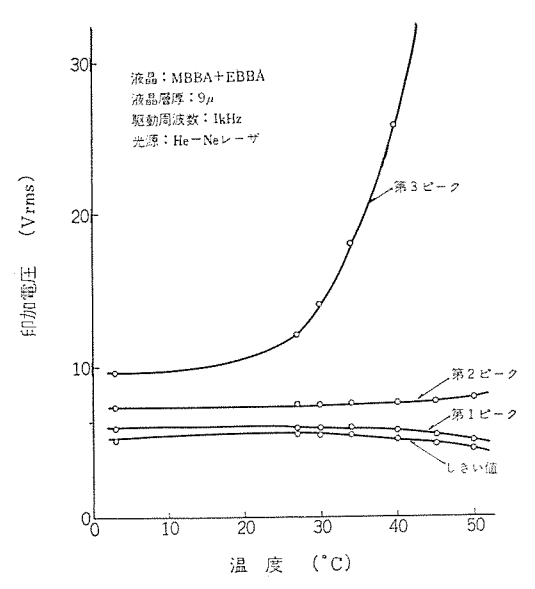


図 3.9 透過光ピーク電圧の温度変化 Peak voltage vs. temperature.

による変化を見たものである。しきい値, および第一 $\ell-2$ 電圧の 温度特性と,第二 $\ell-2$,および第三 $\ell-2$ 電圧の温度特性には,逆の傾向があり, 印加電圧が $10\,V$ 以上になるとその傾向がより顕著になり,原因は明らかでないが, 第三 $\ell-2$ 電圧は高温で著しく増加する。このため,高温で,透過光強度の減少,または色相の変化を起こさせる。しかし,第二 $\ell-2$ 電圧ぐらいまでならば, この場合, $0^\circ \sim 40^\circ \mathrm{C}$ の温度範囲で, $\ell-2$ 電圧の \mathfrak{d} 電圧の \mathfrak{d} 大は, 数%以下におさえられ,安定な動作を示すと思われる。

以上述べたように電界効果型 キマティック 液晶を用いた表示では,5~6 V の低電圧で光の強度変調,色相変調ができ,明確なしきい値をもち,高い コントラストを示す。 さらに透過光特性は印加電圧の実効値に依存し,高い周波数でも応答するといった特徴を示す。しかし,応答性が悪い,寿命があまり長くない(特に DC で用いると著しく劣化する)。 高温になると ピーク 電圧等の シフト がおこり 透過光強度,色相の変化をおこすといった欠点をもつ。

また透過光の色変化は層厚や電圧に、 大きく依存するため、 セルの製作においては液晶層厚のむらがなく、また電極において電圧の低下のないよう、できる限り低抵抗の電極を用いることが必要となる。解決すべき問題や工作上の技術的困難な点は多々あるが、このような点が改良されれば、カラー表示素子として有望なものではないかと考えられる。

4. 応 用

上記のように従来の表示素子ではなかったよう な ユニーク な 特 徴 を有すため、装飾照明、キャラクタ ディスプレイ 等へのさまざまな応用が 考えられる。以下、2、3の試作例について述べる。

4.1 固定パターンカラー表示

液晶 セルの電極形状を表示すべき パターンにしたもので、従来の D SM 方式の液晶 セルと本質的な差はない。 図 2.1に示したような簡単な システムで カラー 表示装置が実現できるのが大きな特徴である。例としては、 セグメント 方式による数字や文字の表示などが考えられる。図 4.1 は固定 パターン表示の一例で セルの大きさは 20×25 で約10 倍に拡大投写して表示したものである。三菱 マークの部分は赤、文字の部分は緑である。

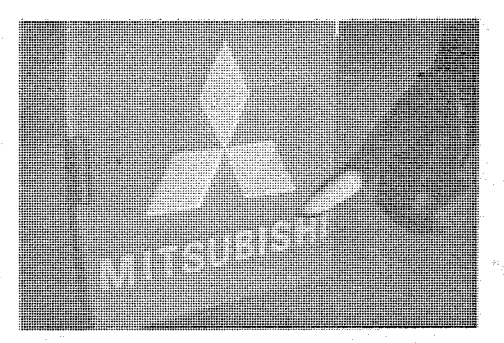


図 4.1 固定カラーパターン表示の例 An example of static color patern.

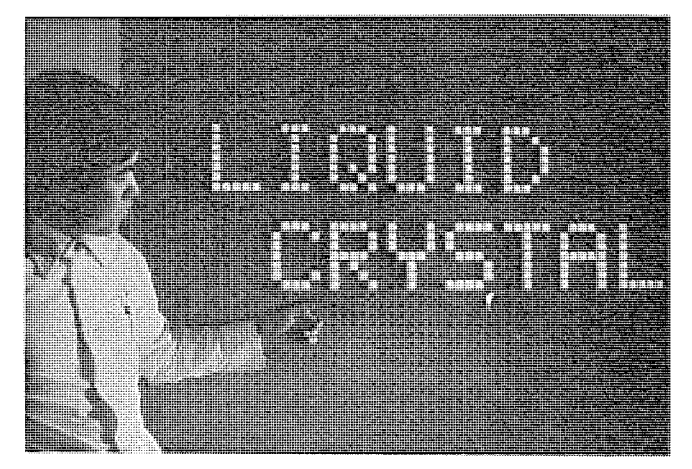


図 4.2 マトリックスアドレス による キャラクタ 表示の例 An example of matrix addressed character display

4.2 マトリックス アドレス表示

マトリックス表示によれば自由な グラフィック パターン や画像の表示が可能であるが、ことでは キャラクタ ディスプレイ 装置への例について述べる。この装置は 80 本の Y (走査) 電極、、160 本の X 電極をもつ素子を用いたもので 5×7 要素で アルファニューメリック 表示を線同時 アドレスで8 行×25 文字(200 文字)を同時に表示できるものである。 セル 寸法は 32 mm×64 mm である。旧来の方式による マトリックス アドレス を用いた場合、用いる表示素子が液晶素子に限らず被表示 パターン によっていわゆる クロストーク の様子が変化する、 パターン の縦方向成分だけが極端に明るくなったりする、表示 コントラスト が十分でないなど致命的な問題があった。

試作装置は全く新しく開発した実効的な クロストーク が全マトリックス 要素にわたって均一になるような クロストーク 均一化 マトリックス アドレス 方式を導入したものであり, さらにこの方式は表示 パターン の コントラスト が最高になるように, Y 電極電圧 パルス の Peak-Peak 値と X 電極電圧 パルス のそれを特定の関係に設定したものである (の)。 なお, このような方式を利用すれば、十分高い コントラストで 250 本×300 本程度の マトリックス 表示が可能という結果も得ており, これが実現されれば 1,000 文字程度の キャラクタディスプレイ ができることになる。図4.2 に, 上記最適化 クロストーク 均一化 マトリックス アドレス 方式による 文字表示の例を示す。印加電圧は Y電極電圧 パルス の Peak-Peak 値は約65 V, X電極のそれは 9 Vである。

4.3 装飾照明

電圧で透過光の色相を自由に変化させられることから装飾用としても ショーウインドウ や壁面の照明など種々の応用が考えられよう。 ここで示すのは 10×10 の マトリックス 電極構造の セル を用いて, オーディオアンプ の出力の大小に同調してその投写表示 パターン の形状 や 色彩

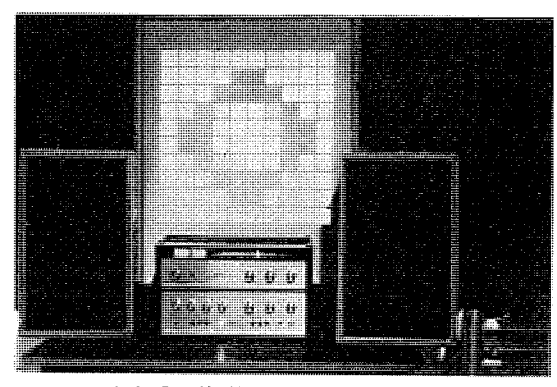


図 4.3 装飾ディスプレイの 例 An example of decorative display.

が変化するものである。非常に簡単な 52764 構成で視覚的に変化のある装飾 742704 が得られる。 図 4.3 は その表示 1890 の例を示す。

5. む す び

以上, 垂直配向電界効果型ネマティック液晶によるカラー表示の原理,特性, その応用などについて述べたが, 実用化のためには特性上まだ解決されねばならない問題があり, また技術的にも困難を伴う部分もあり, 今後さらに検討が必要である。しかし, 従来の材料では得られていないような低電圧での色相変調が可能であるという大きな特徴を持っており, その発展が大いに期待されるものである。

最後に、本実験に当り、液晶材料を御提供いただいた大日本塗料 (株)開発部の関係各位に厚くお礼申し上げると共に実験遂行に当り、協力いただいた当社 中央研究所、 有機物性 ヴループ および生産技術 研究所 自動機開発部の各位にお礼申し上げます。

(昭和 48-8-28 受付)

参考文献

- G. H. Heilmeier, L. A. Zanoni, L. A. Berton: Proc. IEEE, 56, 1662 (1968)
- (2) G. H. Heilmeier, L. A. Zanoni : Appl. Phys. Lett., 13, 91 (1968)
- (3) M. F. Schiekel, K. Fahrenshon: 1972 SID Simposium
- (4) R. A. Soref, M. J. Rafuse: J. A. P., 43, 2029 (1972)
- (5) T. Uchida, H. Watanabe, M. Wada : J. J. A. P., 11, 1559 (1972)
- (6) 女川, 宮下: 1972 (秋) 応物学会予稿集 315
- (7) H. Mailer, K. L. Likins, T. R. Taylor, J. L. Fergason: Appl. Phys. Lett., 18, 105 (1971)
- (8) M. S. Schiekel, K. Fahrenshon : Appl. Phys. Lett., 19, 391 (1971)
- (9) 上田, 新居:電子通信学会電子装置研究会資料,資料番号 ED72-64 (昭 48-2)

1146

UDC 516. 1:624.07:681.3

有限要素法による構造解析のための自動データ作成法

川面 恵司*·荒木 裕子* 中村 正人**·南 久美子**

A Study on Two-Dimensional Automatic Mesh Generation for Structural Analysis by A Finite Element Method

Mitsubishi Electric Corp., Central Research Laboratory Keishi Kawamo • Hiroko Araki Mitsubishi Research Institute Masahito Nakamura • Kumiko Minami

In the structural analysis by a finite method a good number of input data must be made. Herein are described a method of producing these data automatically with a digital computer and also a producing state of the data through this method. The feature of the method are given below.

1) By paying notice to practicability and trying to minimise the data to be used for the formation of the automatic data, the shapes of the continua as the object are limited to circular arcs and straight lines, 2) patterns of element division are made changeable at will in conformity to the shapes or stresses of the continua, and 3) not only the mesh generation but also the load condition and the boundary condition are devised to be formed automatically.

1. まえがき

近年,大形・高速の電子計算機の発達に伴い構造解析の一方法として,有限要素法が急速に発達し,国内外において盛んに研究され,また実用に供されている。有限要素法は一種の近似数値解析法であるが,在来のそれと異なり次のような特徴を有している。

板,かく(殻),三次元的な物体のような連続体をすべて多数の小さな構造的に簡単な要素に細分し、それらの各節点においてのみ互いに連結されている集合体に模擬する。力は各節点を通してのみ作用するとの仮定のもとで、各要素の変形様式をある簡単な形(変位関数)に定めて、各要素ごとに節点における力(節点力)とそれに対応する節点変位との関係式を求める。この関係式を連続体の形状にしたがって組立てることにより連続体全体にわたる関係式を定義し、これを解くことによって外荷重とそれに対応して生ずる各節点における変位を求め、さらに要素ごとの関係式と求められた各節点の変位から応力を求める。

ての解析法により、従来実際上解析が困難であった複雑な形状の 構造体の応力および変形を求めることが可能となったが、一方、こ のために複雑な連続体の形状、要素と節点の関係、境界条件、荷重 条件などを電子計算機に認識させるために、多重のインプットデータを 準備する必要が生じた。このデータの作成を人力で行なうとすれば 長時間にわたって多大の労力を課すばかりでなく、しばしば人はデータの作成ミスを犯すので所要の計算結果を得るまでに多くの日数 を要する場合が多い。このことから、極力少ないデータを基にして、 有限要素法による構造解析を行なうのに十分なデータを電子計算機 によって、自動的に作成するいわゆる「自動データ作成プログラム」を 開発することが実用上きわめて重要である。

この種の自動 データ作成法の研究ならびに実用化が盛んに行なわれるようになってきた。たとえば、二次元連続体に対する自動要素分割法について、J. L. Egenberg⁽¹⁾、C. Ō. Fredrick ら⁽²⁾、栖原ら⁽³⁾などの研究が報告されている。Egenberg の方法を含めほとんどの方法は、連続体をいくつかの部分に分割し、この部分ごとに要案分割

を行なう方法であるが、部分間で共有する辺の分割を等しくしなければならないため、要素分割の仕方がかなり制限される。Fredrickらの方法は、人力により連続体の内部および境界上に節点を作成し、この節点を基に、自動的に要素分割を行なわせる方法であるが、この場合には、節点の作成を人力に頼るためかなりの労力を要する。栖原らの方法は連続体をいくつかの部分に分割し、その周辺上に人力で節点を与え、また、要素が局部的に細かくあるいは粗く分割できるように個々の部分ごとに平均分割長さを与え、これらのデータに基づき乱数を用いて各部分の内部に節点を作り、さらに要素を作るものである。この方法によれば任意の形状の連続体について、無理のない要素分割パターンを作成することができるが、実用性に問題があるように思われる。

そとで、筆者らは実用性に留意して輪郭形状が円孤と直線とからなる二次元連続体について、有限要素法により構造解析を行ならのに必要な データ を作成する方法を検討し、プログラム 化を試みたので、ことに報告する。

2. 自動データ作成法

2.1 自動データ作成法の条件

自動 テータ 作成 プロクラム が具備していなければならない条件を つぎに列挙する。

- (1) 電子計算機による処理時間が短いこと。すなわち費用が安いこと。これは電子計算機を用いても,人力で直接 インプット データを作成するのに比べて,はるかに高価であれば実用的であると言えないからである。
 - (2) インプットデータが少量で、複雑でないこと。
- (3) 要素分割ばかりでなく、境界条件および荷重条件も自動的に作成し、これらの データを構造解析 プログラムへ、 ほとんど人が介入することなしに、容易に受け渡しできること。
- (4) 要素分割の粗密が容易に与えられること。有限要素法では 応力集中部では要素分布が密に、その他の部分では粗になるような 要素 パターンを作ることが重要であり、これが容易に行なわれること。

(5) 複雑な連続体に対して適用できること。

2.2 自動データ作成法の概要

前述の条件を十分に満足させるために、対象とする連続体の輪郭 形状は円孤と直線とからなる連続体に限り、また、要素の自動分割 ばかりでなく、境界条件および荷重条件の作成も自動的におこなえ るようにした。対象連続体の外形を上記のように制限することによ り、インプットデータを大幅に少量化することができる。しかも、実際 の構造の多くは外形が円孤と直線とから構成されているので、この 制限により、本方法の実用性はほとんど失なわれることはないであ ろう。

要素分割の粗密を容易に行なえる一方法として、要素の分布密度を定義する一つの単位としての要素の 集まり(以後これを PART と呼ぶことにする)を考え、対象連続体をこの PART 単位で分割し、要素分割はこの PART ごとに行なう方法が考えられる。文献(1)、(3)の方法を含め多くの自動分割法では、この方法を 採用しており、本方法でもこれを用いることにした。ただし、文献(3)の方法を除きいずれの方法も相隣りあう PART が共有する辺に沿っての要素の密度分布を等しく(共有する辺の要素分割数が両 PAR Tで等しい)しなければならないという制限がある。このため、要素分布の密度を局部的に変えることに不自由さがあった。本方法ではこの共有する辺に沿っての要素分布を二つの PART で独立に設定できるように工夫し、この不自由さをとり除いた。

自動分割と同時に、境界条件および荷重条件を自動的に作成するということは、文献(1)でもおこなっているが、インプットデータの与え方によっては、一つの節点に対して、二つ以上の境界条件が設定されてしまう場合がある。文献(1)はこの場合の処理が不十分であるが、本方法では同一節点に設定された境界条件の内容を分類し、一つの境界条件に設定しなおすとともに、インプットデータの矛盾をもチェックできるようにした。

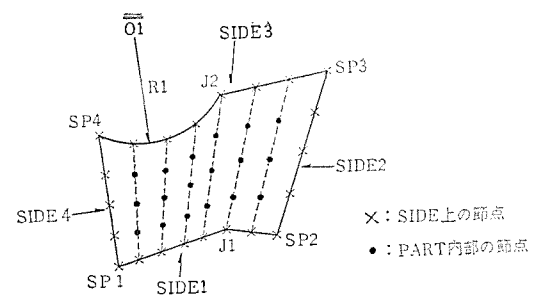
3. 自動要素分割のアルゴリズム

連続体の境界上および内部に節点を作成し番号づけを行ない, さ らに, この節点を基に三角形要素を作成し番号づけする一連の処理 を自動的に行なう作業を自動要素分割と呼ぶ。 この具体的 な プロセ ス は次のとおりである。

- (1) 連続体の全領域を幾つかの四辺形状の PART に分割し、 各 PART を構成する主要な点の座標 \vec{r} -g, ならびに各 PART の 各辺に対して要素分割数を与える。
- (2) (1) で与えた インプット データ に基づいて、 電算機が自動的 に各 PART の結合状態を調べ、連続体の形状を認識する。
- (3) 各 PART どとに、 インプット データ が指定した分割数に従って、電算機が自動的に PART に分割し、その境界上および内部に筋点を作り、節点番号を付す。
- (4) さらに、この節点に基づいて、自動的に各 PART ごとに 小さな四辺形状の部分を作り、さらに、これから三角形要素を作成 し番号を付す。

3.1 PART の定義

図 3. 1 (a) に示すように,各 PART ごとに四つの辺(以後これを SIDE と呼ぶ)を定義し,各 SIDE の始点(S_1 , …… S_4)の座標,形状変化点(J_1 , ……)の座標,SIDE のすべてあるいはその一部が円孤の場合には曲率半径(R_1 , ……),曲率中心(\overline{O}_1 , ……)の座標,ならびに各 SIDE の要素分割数を インブット データ で与える。



(a) 相手のPARTのSIDE分割数が等しいか多い場合



(b)相手のPARTのSIDE分割数が少ない場合

図 3.1 節点の作成 Node generation.

3.2 PART 結合状態の認識

電算機は インプットデータ に基づき、各 PART の各 SIDE について、 これの両端の 2 点(これは PART の相隣るふたつの始点である) の座標が他の PART の SIDE の両端の始点の座標と一致している かどうか調べ、また同時に、その SIDE に形状変化点があれば、そ れの一致性についても調べて、各 PART の結合状態を認識する。

3.3 節点の作成

節点の作成は,各 PART ごとに,まず,1) SIDE 上の節点の作成,ついで,2) この節点に基づいて PART 内部の節点を作成する過程よりなる。

3.3.1 SIDE 上の節点

各 SIDE は図 3. 1 に示すように、インブット データで 指定した分割数に等分し、この等分した点をもって境界上の節点とする。

本方法ではある SIDE が他の PART の SIDE と接しているとき,両者の SIDE 分割数が等しくない場合がおこるので,次のように処理することにする。すなわち,相手の SIDE の分割数がこの SIDE の分割数に等しいか,あるいは多い場合には指定どおりの分割数によって,相手の SIDE の分割数が少ない場合には相手の SIDE の分割数によって,この SIDE 上に節点を作ることにする。 図 3.1 にはこの境界上の節点を×印で示してある。

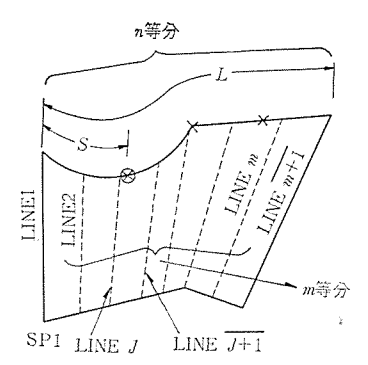
3.3.2 PART 内部の節点

PART 内部の節点は SIDE 1 上の節点とこれに相対応する SIDE 3 上の節点,(この節点は相手の SIDE の分割数に関係なく インブット データ で指示した分割数により作成した節点), を直線で結合して得られる線分を SIDE 2,4 の指定した分割数で等分割することに より得られる。この節点を図 3.1 に・印で示してある。

3.3.3 節点の番号づけ

次に述べる前処理により節点の番号づけ、および後述の要素の作 成および番号づけを効率よく行なえるようにする。

図3.2 に示すように、SIDE 2、SIDE 4 および内部の節点を作成するために利用した線分を LINE と呼び、この LINE を SIDE 4 側から SIDE 2 側に向け序列をつけ、PART 内のすべての節点をこのLINE 内に含める。図3.1(a)の場合はすべての節点を容易に



⊗:注目している節点 ×:SIDE 1 あるいは SIDE 3 上の節点

図 3.2 節点の分類 Node grouping.

LINE 上に含めることができるが、図 3.1 (b) の場合は次の操作を行なう。今、図 3.2 に示すように、この PART の SIDE 1, 3 の指定分割数が m 個で、SIDE 1 あるいは、SIDE 3 が実際には n 個で分割されており、SIDE 1 あるいは SIDE 3 の長さを n L、SIDE 1 の始点 SP 1 あるいは SIDE 4 の始点 SP 4 から SIDE 1 あるいは SIDE 3 上の任意の節点までの SIDE に沿って測った長さを n とする。このとき n S の値が次式

$$\frac{L}{m} \times J \leq S < \frac{L}{m} \times (J+1) \quad \dots (3.1)$$

を満足すれば、この節点は LINE J にあるとする。

節点の番号づけは LINE 1 から順次, SIDE 1 側から, SIDE 3 側 に向けて行なう。上述の番号づけと並行して, 各 PART について, 各 LINE ごとに LINE 上の 節点番号を格納した F-Jル を 作成 する。

3.3.4 要素の作成

要素の作成は、近接した四つの節点を選び四辺形を作る過程と、 この四辺形をふたつに分離してふたつの三角形要素を作る過程とからなる。

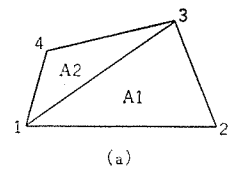
(1) 過程1

注目している節点 Ci を含む LINE とその次の LINE を選び、先の デーブル を用いてこの相隣るふたつの LINE 内の節点から Ci に最も近い 3 節点を選んで四辺形を作る。この Ci もこの デーブル を用いて順次選び出すことができる。Ci に対してふたつの節点しか 選べないことがあるが、この場合には直接三角形を作る。

(2) 過程2

四辺形を三角形に分割する方法として、偏平状の三角形*の生成(*有限要素法では演算精度の観点から、極端な鋭角をもつような偏平状の三角形要素を作らないようにする必要がある。)を避けるために、四辺形のふたつの対角線の長さを比較し、短い対角線について三角形を作成するいわゆる「対角線法」が一般に用いられているが、この方法はかならずしも万能でなく、本方法では次に述べる方法(以後これを「面積法」と呼ぶ)と「対角線法」と併用している。

「面積法」は分割されるふたつの三角形の面積比に関する後述の関係式を用いて、面積がほぼ等しくなるように分割する方法である。 三角形の面積は 図 3.3 に 示すように四つの頂点を反時計方向に採番した四辺形 □1234 から任意に番号順に選んだ 3 頂点から なる三角形 △ijkの面積として次式により定義する。



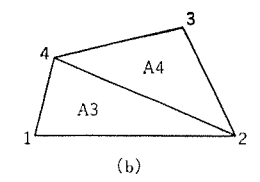


図 3.3 四 辺 形 の 三 角 形 要 素 分 割 例 Division of quadrilateral into triangular element.

$$A = \frac{1}{2} \begin{vmatrix} 1 & x_i & y_i \\ 1 & x_j & y_j \\ 1 & x_k & y_k \end{vmatrix}$$
 (3. 2)

今,図 3. 3 に示すように \Box 1234 を \triangle 123 と \triangle 134 お よ び \triangle 124 と \triangle 234 とに分割したとする。 A_1 , A_2 , A_3 , A_4 を との 四つの三角形の面積とすると, $A_1 \ge A_2$, $A_3 \ge A_4$ であれば面積比は 次式

$$1 \ge \frac{A_2}{A_1} > k \ge \frac{A_4}{A_3} > 0 \qquad (3.3)$$

$$1 \ge \frac{A_4}{A_2} > \frac{A_2}{A_3} > 0 \qquad (3.4)$$

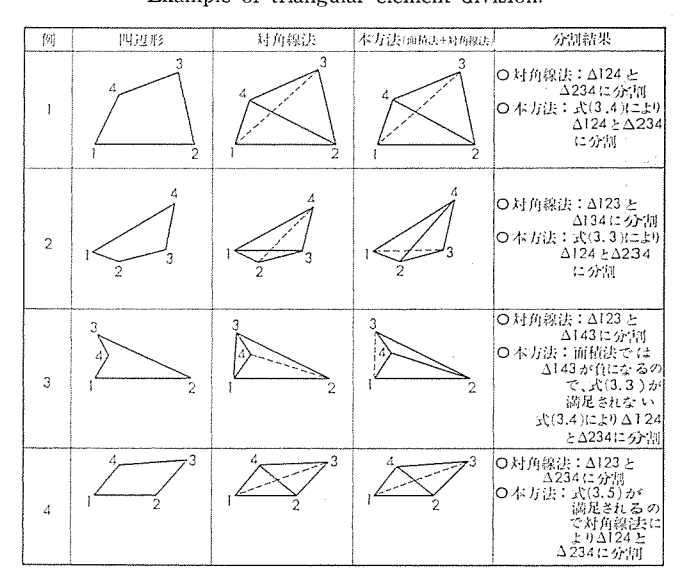
$$1 \ge \frac{A_4}{A_3} > k \ge \frac{A_2}{A_1} > 0 \quad \dots (3.4)$$

のいずれかを満足する。 A_1 と A_2 および A_3 と A_4 の大小関係が迎の場合には上式中の面積比はこれの逆数を用いる。ここで,k は 1 より小さな正の実数でこの値は適当に選定する。

「面積法」は式(3.3)を満足する場合に図3.3(a)の分割を,式(3.4)を満足する場合に図3.3(b)の分割を行なうように判定するが,式(3.5)を満足する場合には「面積法」で判定しないで,「対角線法」を用いて判定する。

本方法による分割例を「対角線法」と対比して表 3.1 に示す。 表より本方法が「対角線法」に比べ、すぐれていることがわかる。 とくに例題3のようにおう(凹)状の四辺形に対して「対角線法」は誤った要素分割を行なうことがある。

表 3.1 三角形要素分割例 Example of triangular element division.



4. 境界条件作成のアルゴリズム

4.1 境界条件の種類

境界条件あるいは強制変位 (Permanent set;変位量を指定する

場合)を構造体の境界上、あるいは内部の1点に対して与える場合 (以後これを点境界条件と呼ぶ)と、連続的に与える場合(これを連続境界条件と呼ぶ)について、境界条件を規定できるようにした。

点境界条件では インプット データ の座標値に最も近い節点を選び出し、この節点に対して、また連続境界条件では インプット データ で指定したふたつの点の座標値に最も近い位置にあるふたつの節点を選び出し、この2 節点を直線で結んだ線分上の節点に対して、境界条件あるいは強制変位量を与える。強制変位量が与えられる場合には、両端の変位量を与えることにより、上記線分上の変位量は変位分布が線形に変化するとして内そう(挿)法により求める。

4.2 支持条件の種類

点境界条件あるいは連続境界条件で選び出された節点は インプット データ の指示に従い 0-5 支持, ピン 支持のいずれかの境界条件が設定される。 ここでは図 4. 1 に示すように 0-5 支持は x方向の移動に対して自由であるが,y 方向の移動を拘束し, ピン 支持は x, y 方向の移動を拘束するという通常の意味以外に 0-5 支持は y方向の強制変位量 δ_y ,ピン 支持は x, y 方向の強制変位量 δ_x , δ_y を規定することもできるとする。 ここで O-XY は基準座標系,P-xy は境界条件のための局所座標系である。

4.3 境界条件が重なる場合の処理

上記の手法により境界条件を設定する際、同一節点に対して2個以上の境界条件が与えられる場合があるが、この場合には2個ずつ処理して、1個の境界条件に変換し、これを繰り返して最終的には1個の境界条件に設定しなおす。

2個の境界条件の組合せとして,(i)両者とも 0-5 支持,(ii)一方が 0-5 支持,他方が 0-5 支持,(iii)両者とも 0-5 支持,他方が 0-5 支持,(iii)両者とも 0-5 支持の場合,が考えられる。今,2個の境界条件を第 i 番目,第 i 番目とし, 0-5 本日で量を 0-5 を 0-5

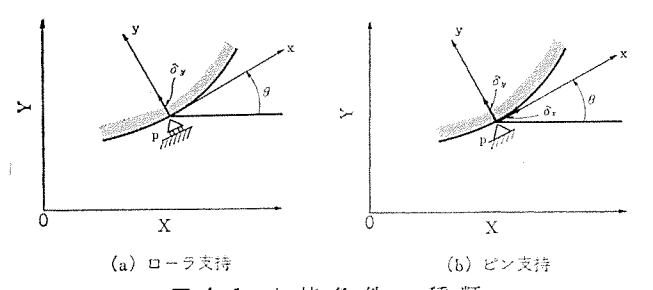


図 4.1 支持条件の種類 Kinds of support condition.

式を満足しないことは両境界条件式の設定値に矛盾があることを意味する。プログラムでは上式を境界条件のインプット データの チェック に利用している。

5. 荷重条件作成のアルゴリズム

5.1 集中荷重条件

インプット データ の座標値に最も近い節点を選び出し、この節点に集中荷重を与える。

5.2 分布荷重条件

インプット データ で指定した二つの点の座標値と分布荷重値を与えて、 これらの点に最も近い位置にある二つの節点を選び出し、この2節 点を結ぶ線分上の節点に対して、等価節点荷重を与える。

また、インプットデータで円孤の両端の座標、半径、中心の座標、分 布荷重値などを指定し、指定した円孤上の節点を選び出し、これに 等価節点力を与える。ここで、分布荷重値より等価節点力を求める 方法は文献(4)によった。

6. 試計算例

以上述べてきた方法に基づいて、自動 データ作成 プログラム を作成した。本方法の実用性を確めるためにこのプログラムにより、1) データの作成率、2) 処理時間、3) 要素分割状況、4) 境界条件、荷重条件の設定状況などについて試計算を実施した。ここで、データの作成率はこのプログラムのインプットデータのカード 枚数と アウトプットデータ (構造解析 プログラムのインプットデータ)のカード 枚数の比である。電算機は IBM 370/165、プロッタは CALCOMP 763/780、磁気 デープ 装置は IBM 3420-003を用いた。試験結果を表6.1に示す。本プログラムによりデータ量が約5~20倍程度生成され、また処理時間は約10~30 秒であって、構造解析のための演算時間に比べ、各計算例題においていずれも同程度、ないしはそれ以下であった。したがって、本プログラムを使用することによってデータ作成作業を 大幅に 軽減できるばかりでなく、データ作成費用は比較的安価におさえることができ

図 6.1 に示す連続体に対して図示のような PART 分割,境界条件,荷重条件をインプットした場合のプロッタの節点図,要素図,境界条件図および荷重条件図を図 6.2 に示す。また,図 6.3,6.4 はそれぞれ回転電気機器の回転子の部分,および圧力容器の部分のプロッタ 図を示す。付図は PART 分割図である。

これらの図より明らかなように、特に要素分割状況に不適当な簡所は認められず、本プログラムを正しく使用すれば、適切な自動要素分割が行なえる。

表 4.1 境界条件の変換 Transformation of boundary condition.

境界条件の組合せ	両境界条件の局所座標系の関係	変換された境界条件						
		支持の種類	xi 方向の初期変位量	yi 方向の初期変位量	条	件	式	
両省ともローラ支持	二つの座標系が一致している あるいは互いに180°傾いている	ローラ支持	自由	δγι	$\hat{o}_{\mathcal{Y}_i} = \hat{o}_{\mathcal{Y}_j} \cos(\theta_j - \theta_i)$			
	上記以外の場合	ピン支持	$-\delta y_j \sin(\theta_j - \theta_i)$	δυι				
一方がローラ支持 他 方 が ビ ン 支 持	ーラ支持 ピン支持 オペモの場合		$\delta_{,x_1}$	δуι	$ \begin{aligned} \delta x_i &= -\delta y_i \sin \theta \\ \delta y_i &= \delta y_i \cos \theta \end{aligned} $			
両者がピン支持	がピン支持 すべての場合		δ_{xi}	δυι	•	$(\theta_j - \theta_i) - \delta y_i$ si $(\theta_j - \theta_i) + \delta y_j$ si		

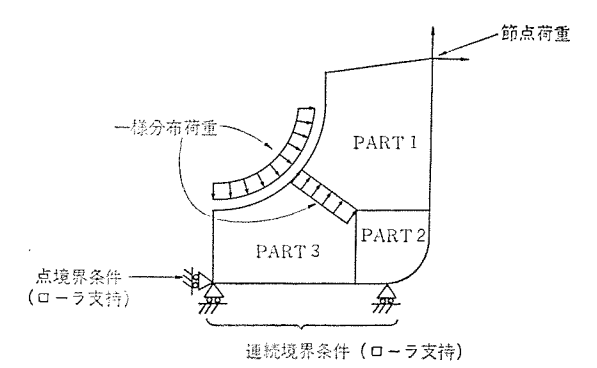
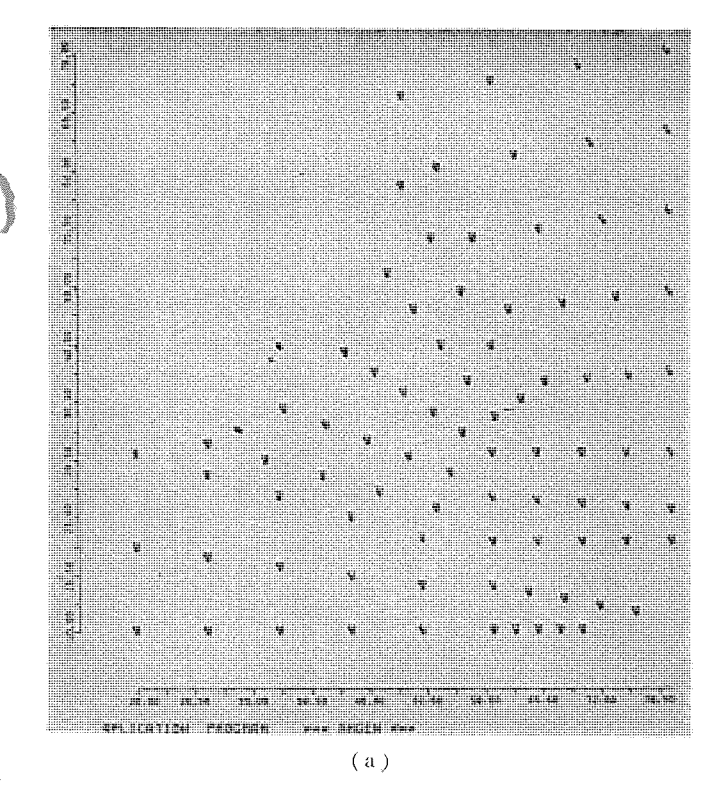


図 6.1 例 題 Test example.



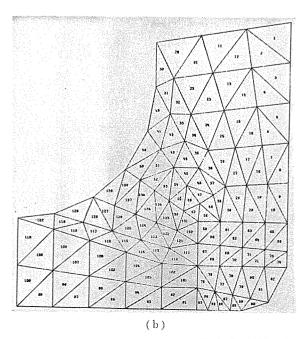
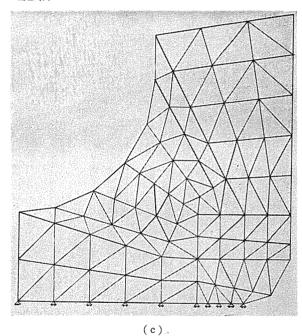


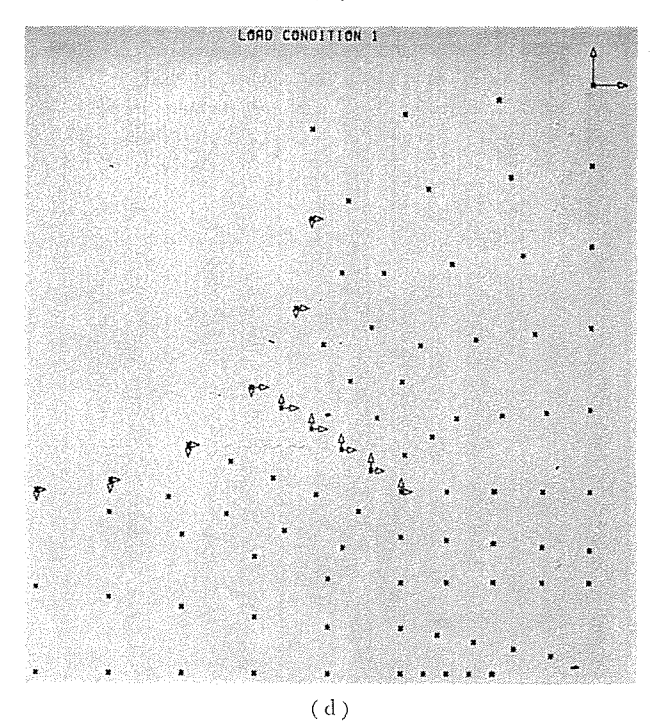
図 6.2 例題の プロッタ 図

表 6.1 試計算結果 Test run.

試計 算例	節点 総数	要案総数	データ(アウトブット)* 作成率(インプット)*	プロ 数**	ッタ図 サイズ (cm)	処理時間*** (s)	プロッタ 実動時間 (min)
1	417	718	12.5	3	75	29	39
2	426	694	18.2	3	75	27	39
3	298	528	18.5	4	75	24	38
4	186	316	9.8	4	30	31	16
5	187	311	14.9	4	75	16	26
6	340	505	6.2	3	75	19	27
7	340	594	6.4	3	75	23	34
8	167	282	12.1	3	75	13	23

- * カード枚数比
- ** 図数 3 は節点図,要素図,境界条件図。図数 4 は節点図,要素図,境界条件図,荷重条件図
- *** 筋点,要素,境界条件,荷重条件の作成時間,ならびにプロッタのためのデータ 処理時間





Plotter map of example.

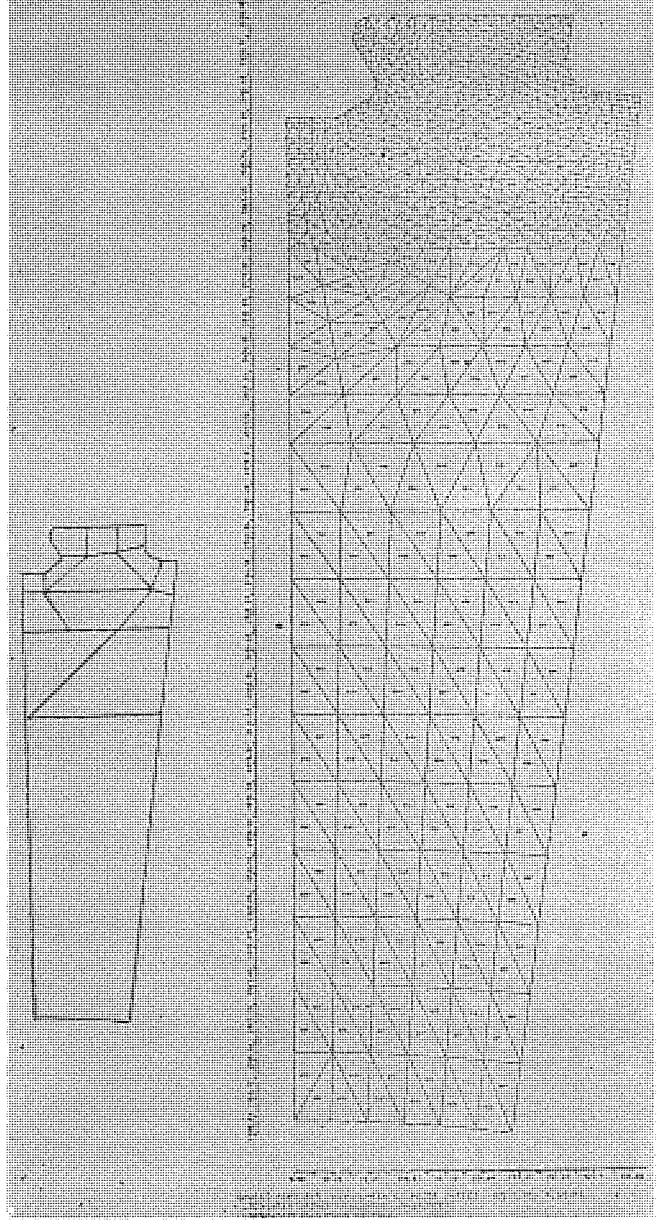


図 6.3 回転電気機器の回転子 (要素図) Roter of rotating electric machine (element map).

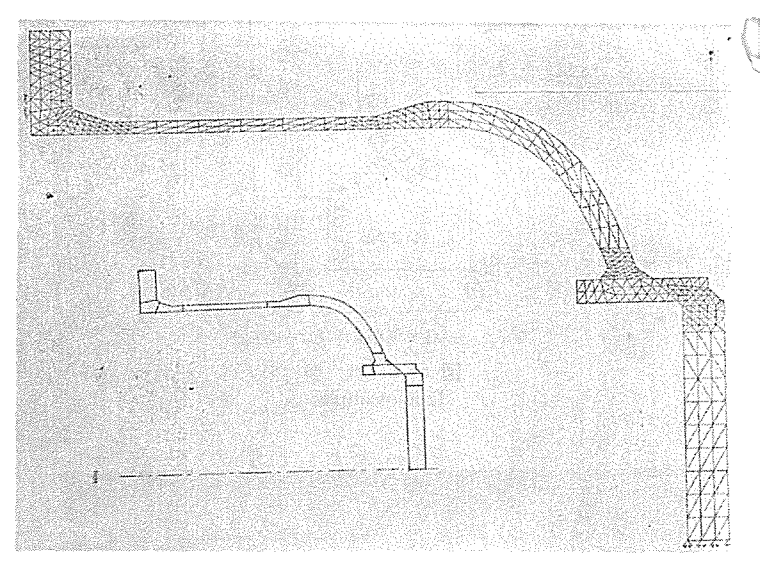


図 6.4 圧力容器(境界条件図) Pressure vessel (boundary condition map).

7. む す び

以上、有限要素法による構造解析のための一自動 インプットデータ作成法について述べると共に、これに基づいて作成した プログラム の試計算結果を紹介した。本プログラムにより、人が行なうのと同程度の自動分割が行なえるばかりでなく、かなりの労力の軽減を計ることができた。

参考文献

- (1) J. L. Egenberg: United States Atomic Energy Commission の依頼研究, Contract No. AT-(29-1)-789 (1969)
- (2) C. Ö. Frederick, et al.; Int. Jr. of Numerical Methods in Eng., 2, 133 (1970)
- (3) 栖原ほか:日本鋼構造協会 第5回大会研究集会,マトリックス 帯 造解析法 研究発表論文集,70(昭46)
- (4) Ō. C. Zienkiewiez and Y. K. Cheung: The Finite Element Method in Structural and Continuum Mechanics, (1967) Mac Grawhill Book Co.

凍結―融解による汚泥処理

森口 哲雄*·本多 敏一*·松尾 敏治*·難波 敬 典*

Sludge Freezing and Dewatering System

Central Research Laboratory

Tetsuo Moriguchi • Toshikazu Honda Toshiharu Matsuo · Keisuke Nanba

At present a combustion method is used for sludge treatment, in which the sludge is burnt and disposed of. It involves, however, problems of deodorization and desulfurization to prevent a secondary public hazard. Consequently in many cases the sludge is packed in concrete vessels and thrown away in the ocean. The cost of the disposal in this system amounts to a considerable sum. To cut down the expenditures the quantity of sludge for treatments is to be reduced as much as possible. If the sludge is frozen and melted again, solid sludge is dewatered, its grains are roughened and the quantity is decreased. Furthermore, the specific resistivity of filtration is decreased extremely so as to permit the reduction of water content of sludge with ease by using simple dehydraters.

In this article is described the principle of freez dewatering and the study of its effect on sludge of various types, and also is reported on the result of investigation made in parallel by building a set with a treating capacity of 2 tons/day for practical purposes.

1. まえが。き

最近,公害防止や環境保全に関する法令などの施行により,産業 廃棄物の排出基準が厳しく規制されるようになった。

それに伴ない、産業排水の無公害化工程や、生産工程から出てく る汚泥を二次公害を出すことなく処理することが厳しく義務づけら れてきた。廃出汚泥は生産プロセスの最終段で出てくるものであるた め、その有効利用が重要視されながらも焼却、または投棄されてい るのが現状のようである。燃焼法による焼却は悪臭および大気汚染 等を伴うため環境保全等に問題が生じ、 現在海洋投棄する ケース が 多くなってきた。この場合,処理費は運搬費別で約2万円/m³(汚 泥) と非常に高価なものになる。そのため廃出汚泥量を極力少なく することが急務とされはじめた。

これらの要求に答えるため、汚泥を凍結することによって汚泥中 に含まれている水分を除去し、含水率の低い固形分にすることによ って投棄量を低減する汚泥凍結処理技術を確立し、実用化の検討を おとなった。

以下、汚泥を凍結することによって二次公害を全く出さずに効果 的に脱水処理する方式の原理について述べ、基礎的な凍結処理効果 の研究と並行して汚泥処理量2トン/日の容量をもつ装置を製作し実 用性能を調べた結果を報告する。

2. 凍結処理について

(1) 原理

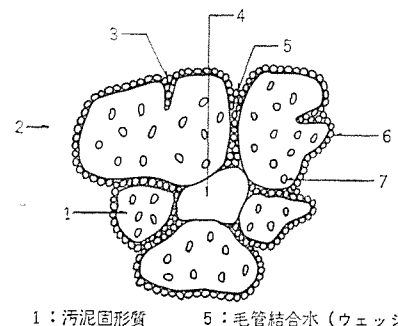
汚泥の構造は図 2.1 に示すように、 汚泥の固形質のまわりに、 自由水,毛管結合水,間げき(隙)水,表面付着水,内部保留水など の名称で呼ばれる水が付着した構造になっている。

これらの付着水のうち, 自由水, 毛管結合水, 間げき水は脱水機 などの機械的な手段で除去可能である。表面付着水、内部保留水は 固形質との結合が強く、機械的に脱水することは困難とされている。 汚泥中に含まれている水分は、汚泥量に非常に影響を及ぼすもの で、図2.2 に汚泥の含水率と汚泥体積 (Sludge Volume) の関係を

示す。この図から、たとえば含水率85%の濃縮汚泥を含水率50%

の脱水汚泥にした場合、汚泥量は1/3~1/5に低減することを示して いる。また、含水率50%以下では体積の減少率は小さくなり、汚 泥体積を低減するためには汚泥の含水率を50%程度に下げればよ いことが明らかである。

汚泥を凍結した後、解凍すれば固形質から水が分離して固形質の



5:毛管結合水 (ウェッジ水)

2:自由水 6:表面付着水 3:毛管結合水 7: 内部保留水

4:間隙水

図 2.1 汚泥の粒子と水の結合 Combination of sludge particles and water.

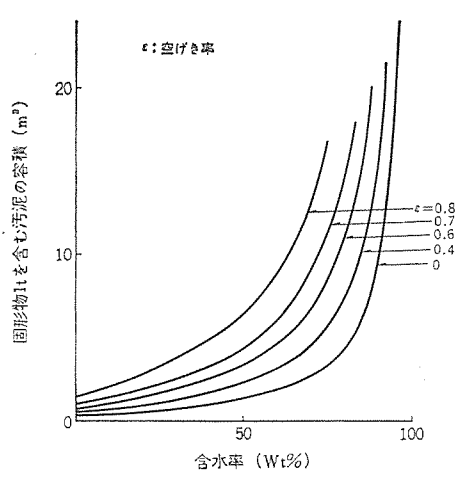


図 2.2 汚泥容積と含水率,空げき率の関係 Sludge volume and dewatering ratio.

* 中央研究所

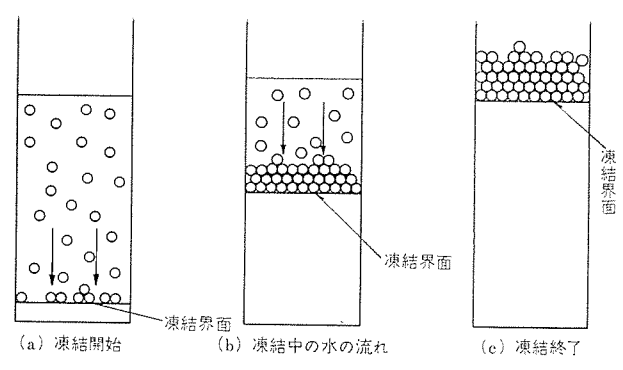


図 2.3 マクロ 移動の メカニズム Macromoving mechanism.

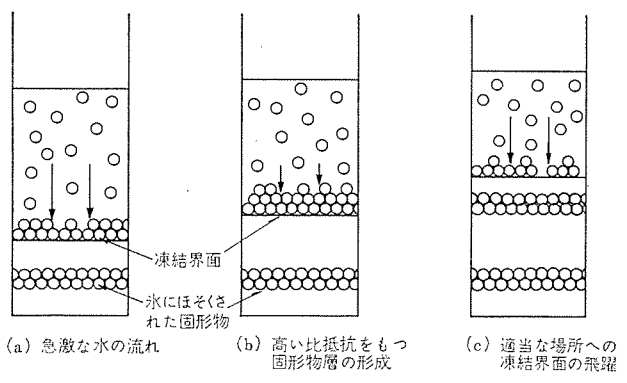


図 2. 4 ミクロ 移動の メカニズム Micromoving mechanism.

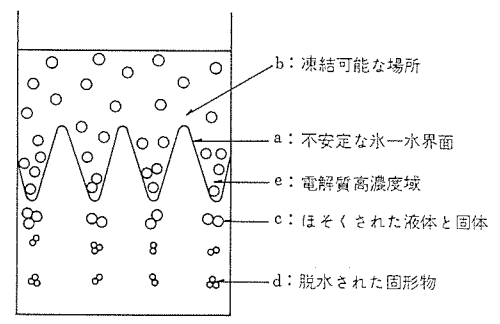


図 2.5 凍結パターン に及ぼす濃厚電解質の影響 Effects of condensed electrolyte on the freezing pattern.

占める体積が減少する現象は早くから知られており食品の加工などにも応用されている。また、凍結分離に関する研究も早くからおこなわれていたが⁽¹⁾、当時の状勢から実用化には至らなかったようである。

凍結による汚泥の脱水効果を実験的に説明した報告 は 少 な く, Longsdom⁽²⁾らがつぎのような マクロ 移動, ミクロ 移動で脱水効果を 説明している。

まず、マクロ 移動の機構は、図 2.3 のように汚泥を凍結させると 冷却面より氷が成長して凍結界面が上部へ移動するが、汚泥中の固 形物は氷中にほそく(捕捉)されることなく、凍結界面上に濃縮されながら凍結界面と共に上部に移動する。しかし、濃縮された固形物の比抵抗が比較的大きい場合には、固形物層を通して凍結界面への水の移動が妨げられるため凍結界面は、図 2.4 に示すように順調な水の流れの状態に遭遇するところまで飛び起えて、そこで再び凍結を開始する。こうして ミクロ 移動を生ずる。 濃縮された固形物は氷の層の間に閉じこめられた形で凍結が進み、固形物微粒子間の水が引き抜かれ効果的に脱水される。このように脱水された粒子は互いに吸着し合い氷の膨張力を受けながら粗大粒子に成長する。この

表 2. 1 各種汚泥の凍結融解前後の物性 Characteristics of sludges.

村 為	原液含水率 wt%	凍結処理 有 無	沈隆客積*	ろ過比抵抗 1/cm	真空脱水雨 の含水率 wt %
ふっ酸処理廃水汚泥		未処理	99.2	3.7×10 ⁶	67.9
→ ○版发生地绝 <i>小行化</i>	92.25	処理	23.2(7分)	7.2×10 ⁴	49.4
ele fin et e 11 Mi	00.04	未処理	99.8	4.1×10 ⁷	88.7
中和そう汚泥	98.26	処理	8.8(10分)	2.4×10 ⁵	60.2
1	95.44	未処理	99.6	2.1×10 ⁷	85.6
メッキ魔水汚泥(1)		処理	19.6(7分)	2.0×10 ⁵	65.2
メッキ魔水汚泥(2)	불(2) 97.28	未処理	100	6.1×10 ⁷	88.3
メッキが水がに(2)		処理	9.8(3分)	1.3×10 ⁵	54.3
68 NU borat skt de 172 151	07.04	未処理	99.8	2.3×10 ⁷	88.4
電解加工 廃 水 汚 泥	97.26	処理	11.2(3分)	1.1×10 ⁵	53.6
垫 佰 藤 木 洱 泥	07.00	米処理	100	1.3×10 ⁸	92.0
染 色 廃 木 汚 泥	97.98	処 理	18.8(8分)	1.2×10 ³	61.3

* 沈降容積の欄内に () で示した数値は沈降容積が一定に達するに要する時間であり原汚泥についてもこの時点での値を示した。

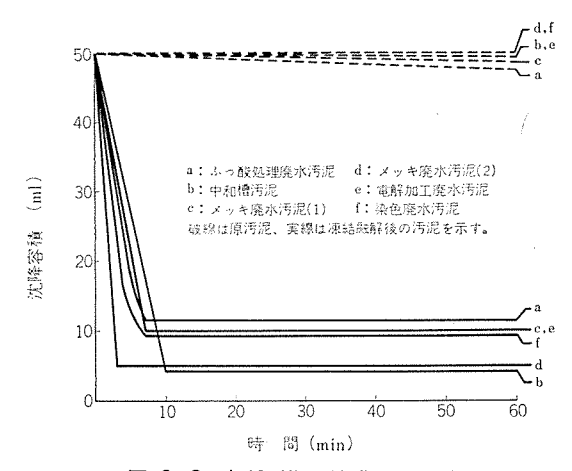


図 2.6 各種汚泥の沈降速度曲線 Sedimentation rates of sludges.

粗大粒子は融解後も水和性はなくなりそのまま沈降してしまう。

つぎに塩類濃度の高い汚泥の場合は、 図 2.5 のように不安定な 凍結界面を形成しながら凍結が進行する。溶質は凍結界面に沿って 濃縮されるため液体の凝固点が下がるが、界面から離れたある場所 でおこる凍結の影響によって凍結界面の状態が破壊されると汚泥固 形質と溶質濃縮液は氷にほそくされる。このとき溶質濃縮液を凍結させる温度まで下げないと汚泥は効果的に脱水されない。

(2) 凍結処理の効果

各種汚泥の凍結脱水効果を調べるため、実験室的に汚泥原液および凍結処理後の汚泥について沈降速度、ろ過比抵抗、ろ過後の含水率を測定した。処理は厚み2mmのアルミニウムかん(缶)内に 100 ml (液柱 15 mm) の汚泥を入れ、底部より凍結時間 150 分で最終的に -10℃ まで冷却して上部まで完全に凍結したのち加温融解したものである。 表 2.1 は各種汚泥の凍結処理前後の物性の測定結果をまとめたものである。 図 2.6 は、沈降体積の時間的変化を示したものである。

これらの結果, ほとんどの汚泥は沈降体積にして数分以内に 1/5 $\sim 1/10$ に減少し, ろ過比抵抗では $1/50 \sim 1/1000$ に減少する。 これは, 図 2.7 からも明らかなように,凍結することによって汚泥中の固形物が粗大化したために沈降速度が早くなったものである。これは,式 (2.1) の stakes の式からも明らかなように

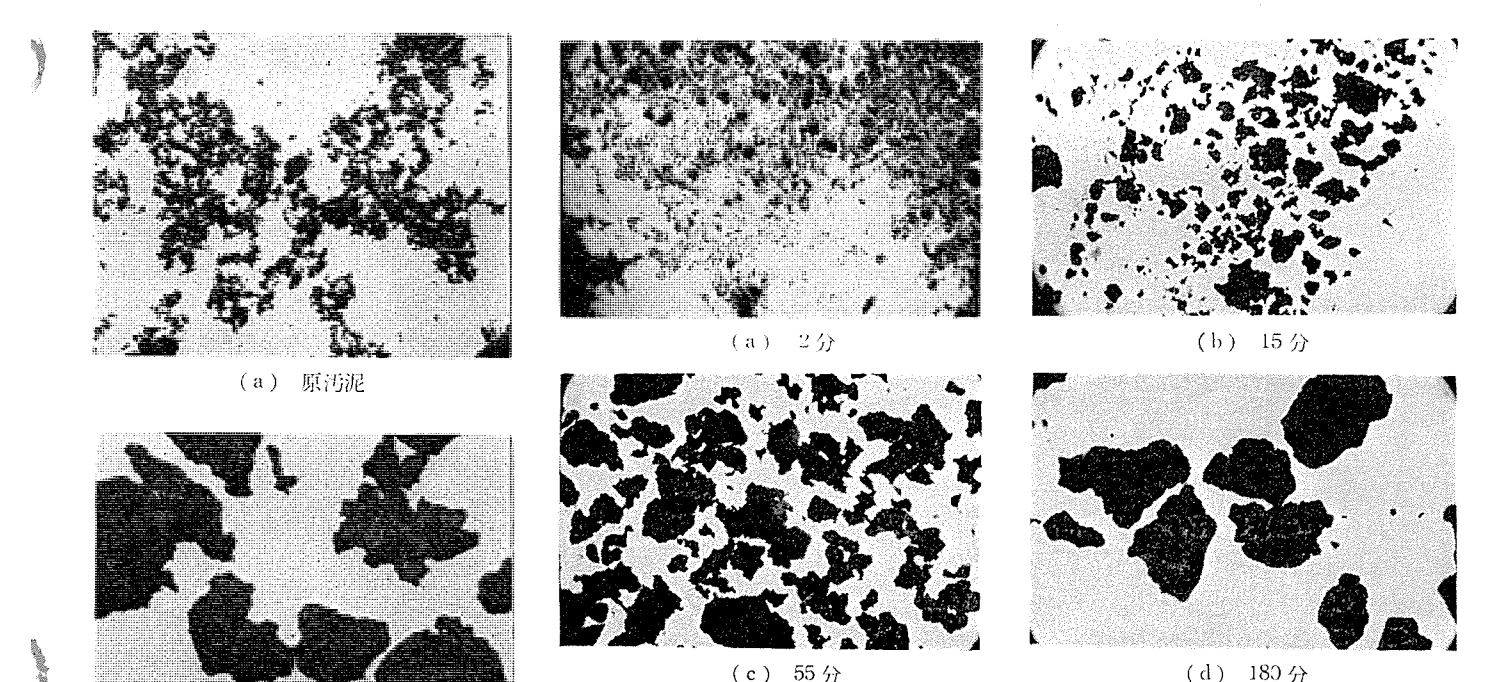


図 2.8 凍結時間が粒子の粗大化に与える影響 Effects of freezing time on the gathering of particles.

(b) 凍結処理汚泥 図 2.7 電解加工廃液汚泥の顕微鏡写真 Micro photographs of etching sludge.

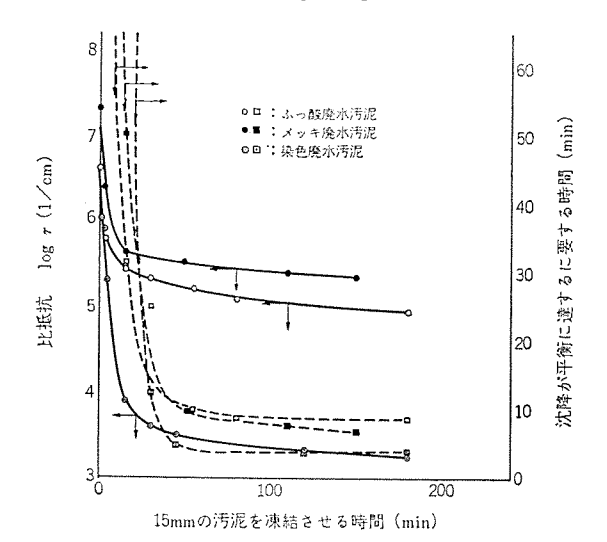


図 2.9 凍結速度のろ過比抵抗,沈降速度が平衡に達するに 要する時間に与える影響

Effects of freezing time on the specific resistance of filtration and sedimentation rate.

$$v = \frac{D^2(\rho_s - \rho_f)g}{18\pi}$$
 (2.1)

ただし, v:終末沈降速度

D: 固形物粒子径

Pf:液体の密度

ρ_s: 固形物の密度

η:液体の粘度

g:重力加速度

固形物粒子の沈降速度が粒子径の2乗に比例しているためである。 さらに、含水率の減少は、粒子が粗大化したため粒子の全表面積が 小さくなり、表面付着水の量が減少すると共に内部保留水が除去さ れたためと考えられる。 一方、粒子の粗大化は汚泥液中の水と粒子の相互移動によるものであり、水および粒子の移動速度以上の速さで凍結面が成長すると粒子の粗大化に大きく影響を与える。図 2.8 および図 2.9 は、凍結速度に対する粒子の粗大化およびろ過比抵抗・沈降速度の変化を示したものである。 これらの図から 15 mm の厚さの氷をつくる凍結時間が 50 分 以下では脱水効果が急激に変化し、 それ以上の凍結時間であれば効果の変化はゆるやかになっている。

最終的な冷却温度と脱水効果は、直接大きな関係を示さないようである。しかし一部でも不完全凍結部があればろ過比抵抗等に悪影響をおよぼす。

3. 凍結処理装置の概要

(1) 装置の概要

上記の基礎実験と並行して、2 トン/日 の汚泥処理能力をもつ装置を製作し、基礎実験で得られた結果と比較し、実用性能を検討した。以下、その概要を紹介する。

本装置は,凍結加熱系統,汚泥処理系統,脱水系統に大別されている。

凍結加熱系統は図3.1 に示すように、ヒートポップで構成されてお

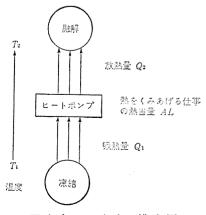


図 3.1 ヒートポンプの構成図 Block diagram of heat pump.

り,温度 T_1 の低温部から熱量 Q_1 を吸収し,温度 T_2 の高温部に熱量 Q_2 を放出する \mathfrak{d}_2 である。冷凍 \mathfrak{d}_3 理論から, Q_1 と Q_2 の間には次の関係式が成立する。

$$Q_2 = Q_1 + AL \qquad (3.1)$$

ただし、A: 仕事の熱当量

L: 圧縮機の駆動助力

上式より、放熱量 Q_2 は常に吸熱量 Q_1 より大きい値を示し、その度合は T_1 および T_2 に関係しており、 T_1 と T_2 の差が小さけ、 ずAL の値は小さく、その差が大きければ AL の道は大きくなる \Box 常の $E=F_{1}^{**}$ では、

$$\frac{Q_2}{Q_1} = 15$$

である。

汚泥から Q_1 の熱量を吸収すれば汚泥は凍結し、 Q_2 の熱量を凍結した汚泥に与えれば融解することができる。

汚泥処理系統は、汚泥を凍結し、さらに融解する システムで、バッチ 式と連続式の二つの方式が考えられているが、いずれも脱水効果を 上げるためには、ある程度時間をかけて凍結する必要がある。

ここで述べる装置では、コンパクトにまとまる バッチ 式を採用している。

脱水系統は、凍結融解した汚泥を水と固形分に分離する システムで、凍結処理した汚泥は、粒子が粗大化されており、ろ過比抵抗が 1/50~1/1000 に減少するため、簡単な脱水機で十分であり、砂ろ過でも含水率は 70 %に減少するが、ここでは遠心脱水機を採用している。

(2) 構成

本装置の主要構成機器は次のとおりであり、 図 3.2 にその系統 図を示す。

冷凍機1 基処理そう2 そう

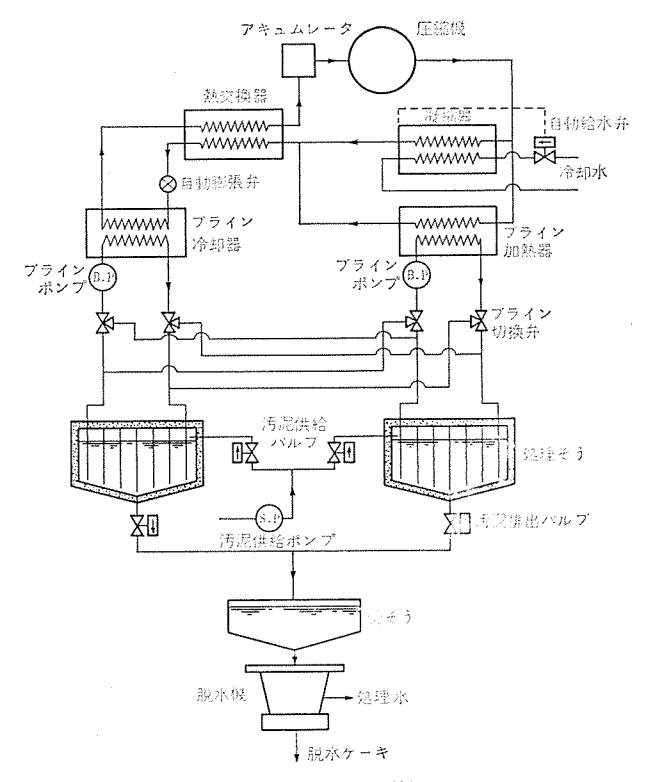


図 3.2 汚泥凍結処理装置系統図 Flow sheet of freeze dewatering system.

ブ ラインポンプ	2台
脱水機	1台
汚泥供給 ポップ	1台
ブライン 冷却器	l IL
ブライン 加熱器	定 1
計測制御装置	定 1

本 システム は ブライン 方式を採用しており、 ブライン 冷却器および ブライン 加熱器と処理そう (槽)を ブライン配管で接続している。 ブライン 回路には ブラインポンプ が入っており、 加熱または冷却された ブライン は ブラインポンプ によって系内を循環している。

型理そうは容量 250 l の角形のかん体で、底部は テーパ状にして汚泥の滞溜がおきないようになっている。そうの底部からは断熱壁の外側を通ってそう上部に細いパイプが連結してあり、 凍結時、そうの底部に液が氷によって閉められた場合、汚泥が凍結する時に体積膨張することによって底部に応力が働き、そうが圧壊することのないようになっている。

処理そうの中には、アルミ合金の合板でできた伝熱板が等間隔に取り付けられている。伝熱板の中には溝が設けられており、その中にプラインが流れ、伝熱板の温度制御がおとなわれている。

汚泥の凍結速度は伝熱室の温度によって定まる。伝熱板の温度が一定の場合、氷の厚みと凍結時間の関係は次式で与えられる⁽³⁾。

$$\tau = \frac{\gamma H}{\lambda (\theta_1 - \theta_h)} x \left(\frac{x}{2} + \frac{\lambda}{\alpha} \right) \cdots (3.2)$$

ただし, τ:凍結時間

γ:水の密度

H:水の凍結潜熱

λ:氷の熱伝導率

θ_f:水の凍結点

~δ:ブライン 温度

x:凍結層厚さ

α:冷却を受ける氷表面における伝熱率

氷の成長の小さい初期は、氷による熱抵抗は小さく、冷凍機の能力によって氷の成長速度は定まる。汚泥の脱水効果は凍結時間に大きく影響しており、凍結時間が早ければその効果は弱くなる。本装置では冷却時間を3時間に設定し、伝熱板ピッチを40mmとしている。

処理そうの下部には受そうがあり、凍結処理汚泥を一時貯え、順次そこから脱水機に供給される。

図 3.3 は 2 トン/日 の処理能力をもつ凍結融解装置の外観図 で あ

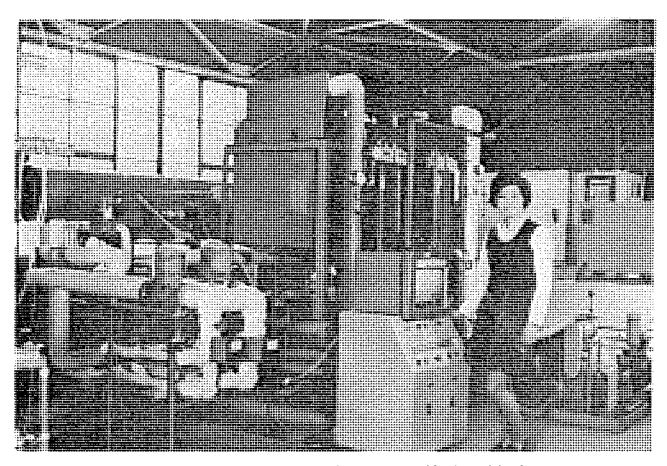


図 3.3 汚泥凍結処理装置外観 Exterior view of sludge freezing and dewatering plant.

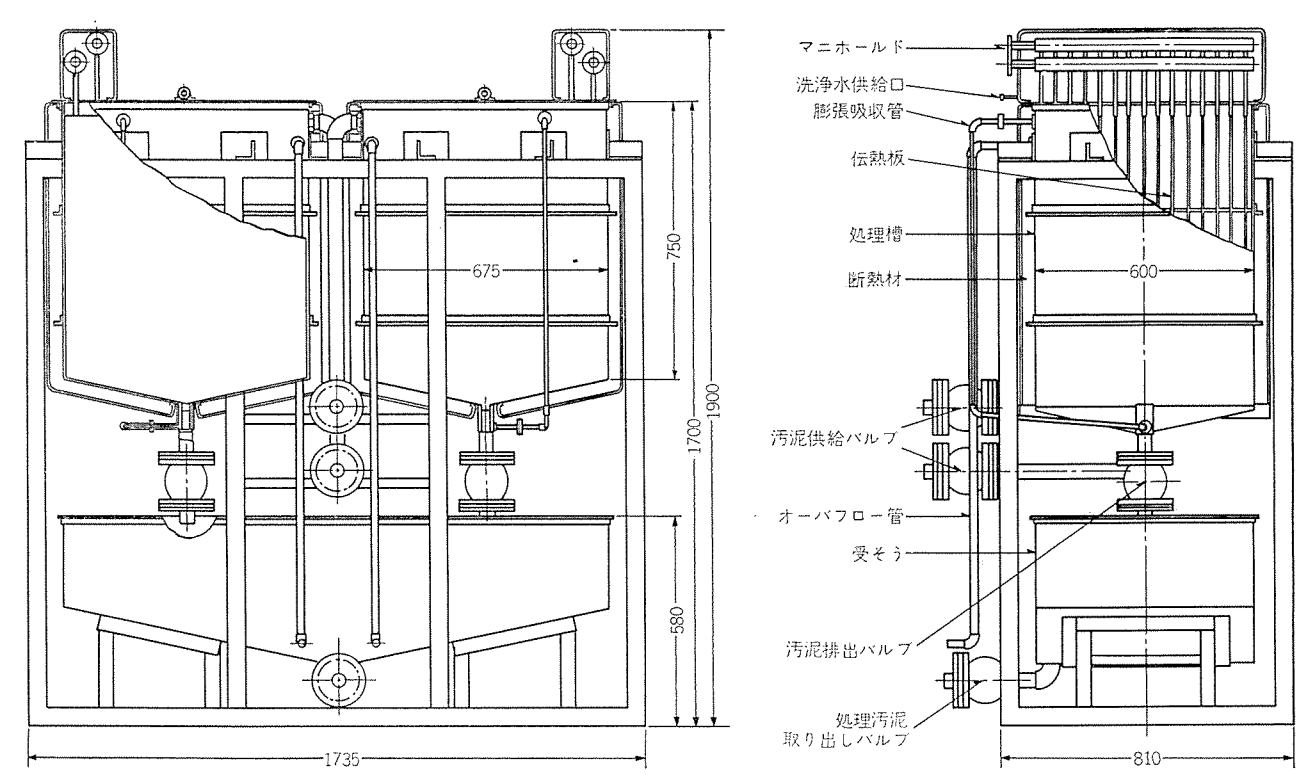


図 3.4 凍結処理そう外形寸法図 Outline dimensions of freezing and thawing vessels.

表 3.1 凍結融解処理装置の主要構成機器 Specification of the plant.

	項				目		vo contractor				
挝					i	Œ.	三相 200 V,单相 100 V,50/60 Hz				
Ш		忶		Œ	î	Æ	200 V 53.5 A 100 V 8.5 A				
			-11-11-1-111	高		ž	2,000 mm				
外	形	寸	注		幅		1,750 mm 冷凍機とそうを含む				
**************		Car Common Manda		奥	í	Ť	1,800 mm				
製		ED.		重	1	R.	1,500 kg				
処		理		能		カ	2,000 I/ El				
	Æ		į	悩	ţ	袋	開放形				
	ΙE	絽	機	形式	・台碁	故	三相誘導電動機×1				
冷	惟	動	機	定卡	各出;	t)	7.5 kW				
媒	挺	縮	機	形式	・台舞	数	木冷シェルアンドチューブ×1				
回	受	液	22	形式	・台差	X	水冷シェルアンドチューブ×1				
路	冷	媒	1	H 4	p 5	器	温度式自動膨張弁・定圧自動膨張弁				
緵	冷				ţ	Ķ	R-12 43 kg				
23	冷	1	¥.	機	i	ila	冷凍機油 2 号 3.5 /				
	伝		ĝ	热	ł	泛	アルミロールボンド×30				
	袖	分離	20	・液分	離	KI)	各1				
運	操	作	ス	1	ب ج	+	押しボタンおよびトグルスイッチ				
運転調	裘		ź	示	t	ī	赤色表示				
整	康	粘胎	解	温度	割仓	ñ	サーモスタット				
制		御		装	į	a a	金自動および手動				
保		護		装	ij	Ţ	高低圧圧力開閉器,自動圧力給水弁 クランクケースヒータ過電流雑電器 吸入圧力調整弁				
/ []				高	温」	FJ	三菱循環ポンプ 250 W 揚程 7~10 m				
ライ	71.	ν	ブ	旺	温力	IJ	三菱循環ポンプ 450 W 揚程 10~15 m				
ン路	流		R	it	ă	ì	×2				

り,図 3.4 は処理そうの外形寸法図を示したものである。 (3)動作

圧縮機で圧縮された冷媒 (フロン 12 を使用) は, ブライン 加熱器内で 熱を放出してブライン を加熱し, 冷媒は凝縮する。凝縮した冷媒は自 動膨張弁を通って ブライン 冷却器内で ブライン から熱を吸収して 蒸発 し、圧縮機の吸込側にもどる。冷却、または加熱されたブライン はブラインポンプで処理そうに送りてまれ、汚泥を凍結、または凍結した汚泥を融解する。汚泥が完全に融解して常温にもどれば、加熱ブラインの循環ポンプを止める。 この時、自動給水弁が作動し、外部からの冷却水によってブライン加熱器内で発生する熱を系外に放出する。

汚泥の融解が完了した時点で汚泥排出 バルブが開き, 汚泥は受そうに排出され,そこから順次脱水機に凍結処理汚泥が供給され水と 固形分に分離される。汚泥が処理そうから完全に排出された時点で, 汚泥供給ポップおよび汚泥供給パルブが作動し, 新たな汚泥が処理そうに満され, 一方の処理そうの凍結が完了するまで放置される。

凍結中の処理そうの中の汚泥の凍結が完了すれば、ブライン 切換弁が作動し、凍結した処理そうに加熱ブラインが流れ、新たな汚泥が供給された方の処理そうに冷却ブラインが流れ、凍結および融解がおこなわれる。この操作を順次繰返すことによって自動的に凍結処理がおこなわれる。

表 3. 1 は本装置の主要構成機器の仕様をまとめたものである。

4. 運転特性と経済性

本装置は現在、当社中央研究所内の水処理 ブラント に組み込まれ各種汚泥の脱水処理に供しており、基礎研究による結果との比較検討がおこなわれている。 図 4.1 はそう上部の伝熱板間の中心点の時間に対する温度変化の一例を示したものである。250 l の汚泥が約 1時間で凍結温度に達し、2時間で凍結が完了する。最終凍結温度は汚泥の質によっても異なるがだいたい -5°C にすれば満足できる脱水効果が得られている。融解時間は冷却および凍結に要する時間よりも短かく、解凍に1.3時間、加温が0.7時間で、約2時間で解凍、加温が完了している。

表 4. 1 は本装置による脱水 ケーキの含水率を、凍結処理しないで 脱水した場合、および実験室的に凍結処理して脱水した場合と比較 したものである。ここで、原液および実験室的に凍結処理したもの

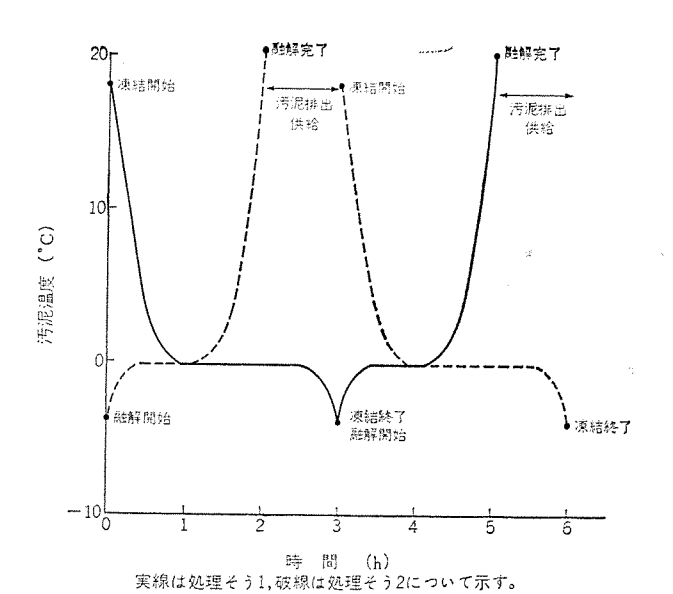


図 4.1 処理そうの温度曲線 Freezing and thawing curves in the vessels.

表 4.1 凍結処理汚泥の含水率 Dewatering of sludges by freeze treatment.

処	理	法	未	½.	i <u>t</u>	理	実薬	験結	室処	的理	プる	ラン東報	・ト	によ	1:	战	分
脱	水	法	真	空	脱	水	真	4	脱	水	遠	心	H	总水	11: 114, 22		/3
メッキ	- 廃水	汚泥		86	%			63	%			6:	2 %	6			鉛, ク 水酸化
ふっ配 泥	炎処理 原	を水汚		82	%			49	%	*************		5.	4 %	6	ふった	ヒカル	シウム
中和	そう	污泥		89	%			60	%			60	0%	á	水酸	比鉄	

に関しては真空脱水機で脱水をおこない, 凍結処理装置で処理した 汚泥は遠心脱水機で脱水した値である。

との表から、凍結処理を施さないで脱水した場合80~90%の含水率の値が、凍結処理を施した場合50~60%の含水率に低下している。これは汚泥体積の減少の点からみると図2.2から約1/3~1/7に低減する。

脱水方式の点からみると、含水率の限界は従来から、遠心分離方式で80%台、 真空脱水方式で70%台、 加圧ろ過方式で60%台といわれているが、凍結処理したものは表4.1 からみると、 真空脱水方式も遠心分離方式でも余り変わらず、50%台の含水率の脱水ケ

-+ が得られている。

次に運転コストをみると、動力としては電力のみである。1 サイクル 当たりの電力使用量の内訳は次のとおりである。

冷凍機	20.4 kWH
冷却 ブラインポンプ	1.2 k WH
加熱 ブラインポンプ	0.5 kWH
汚泥供給 ポップ	0.3 kWH
脱水機	3.4 kWH
計測制御装置	0.6 kWH
使用電力量	26.4 kWH

1 サイクル 当たり含水率約96%の汚泥が2501処理され,それに使用される電力量は26.4 kWHである。したがって96%原液1トン当たりの使用電力量は105.44 kWHとなり電力料金を4円/kWHとすれば処理に要する動力費は約420円/トン程度になっている。

5. む す び

以上,凍結脱水に関する基礎研究ならびに2トン/日の処理能力をもつ実用規模の汚泥凍結処理装置の運転特性ならびに脱水性能について述べた。

汚泥の凍結による脱水方式は二次公害を全く出さないこと、常温以下の温度領域で脱水処理ができ構造材の腐食が少ないなど大きな特長を有する。また、高温にすれば熱分解して毒性 ガス を発生するような汚泥の含水率を下げる場合などは特に有効な手段と考えられる。処理費に関しては、96 wt%の原液を 50 %含水率の乾燥汚泥にし、コンクリートかん体につめて海洋投棄するとした場合、コンクリート処理費を 2 万円/m³ (汚泥) とすれば、96 wt%原液 1 トン 当たり処理費 (電力代)が 420 円、固形分が 56 l 程度出てくるため、その コンクリート処理費が 1,120 円で合計の運転処理費は 1,540 円/トン(原液)程度となり、他の方式との比較の参考となろう。

今後,汚泥の投棄規準も一段と厳しくなると思われるが,これが 公害防止の一助となれば幸甚である。

参考文献

- (1) 馬野:冷凍, 32, 第353号, 8 (昭32)
- (2) G. S. Longsdom, et al.: Jour AWWA, 63, No. 11, 734 (1971)
- (3) 源生:冷凍, 32,第354号, 4(昭32)

GaAs 液相エピタキシャル結晶

三木 秀二郎* • 大 坪 睦 之*

GaAs Crystals Grown by Liquid Phase Epitaxy

Central Research Laboratory

Hidejiro Miki • Mutsuyuki Otsubo

Growth technique of GaAs liquid phase epitaxy has become indispensable in the manufacture of microwave devices of various kinds. This paper deals with the above growth technique using Ga solution. First, study is made with the effect of oxygen, of the tip temperature and of heating of Ga solution on the properties of liquid phase epitaxially grown GaAs crystals. As a result, it is made clear that oxygen is the one to determine the donar concentration of GaAs crystal of high purity; heating of Ga solution under hydrogen is very important to decrease the contamination of oxygen and to obtain the high quality GaAs crystal. Next, discussion is made on the properties of the epitaxial layers doped with donar and acceptor impurities.

1. まえがき

GaAs 結晶の液相 エピタキシャル 成長は融液からの結晶成長や気相成 長に比べて不純物の混入する割合が少なく、比較的簡単な装置で手 軽に良質の結晶が得られる。Ga/AsCl₃/H₂ 系による GaAs 気相成長 法は Ga 温度, 基板温度, AsCl₃ の温度および流量, H₂ ガス 流量等 コントロール しなければならない ファクタ が多い。 このため所定の濃度 の高純度 GaAs エピタキシャル 結晶を再現性よく成長させることは容易 でない。また エピタキシャル 層の格子欠陥, Si による汚染, エピタキシャ ル 層一基板界面の高抵抗層の発生など問題が多い⁽¹⁾。これに対して, 液相成長法は コントロール すべき ファクタ (たとえば 成長開始温度, 冷 却速度など) が少なく, $10^{12}\,\mathrm{cm}^{-3}\,\mathrm{1}$ の高純度結晶 $^{(2)\sim(4)}$ から 10^{10} cm⁻³ オーダの高濃度結晶⁽⁵⁾まで再現性よく得ることができる。また, 気相 エピタキシャル 結晶に比べ格子欠陥も少なく(6), キャリア 濃度分布も 平たん(坦)で、エピタキシャル 層一基板界面の高抵抗層の問題はほとん どない。さらに最近では、液相成長法の最大の難点であった厚み制 御,成長表面の滑らかさも スライド式 ボート の発明(プ(8)により、ある 程度解決され 0.5 μm 以下の エピタキシャル 層を得ることも可能になっ てきている。このようなわけで、GaAs液相 エピタキシャル 結晶は オー ミックコンタクト 用下地層, レーザダイオード や ガンダイオード, インパットダイオード などに用いられており、各種デバイス製作に欠せないものになってき ている。

ことでは、高純度 GaAs $I t^2 g + b + \mu$ 結晶、 ガンダイオード、インパットダイオードを主とした マイクロ 波素子用の $I t^2 g + b + \mu$ 結晶の成長に関する検討を行なった結果を報告する。

2. 成長方法と測定方法

GaAs 結晶の 液相 エピタキシャル 成長法は ボート 傾斜法, スライディング 法および ルツボ 浸漬法に大別されるが, 本実験では, 高純度 GaAs エピタキシャル 結晶を成長させる場合は ボート 傾斜法を, また ガンダイオード, インパットダイオード 用 エピタキシャル 結晶の成長の場合は スライディング 法を用いた。図 2.1 に実験装置の構成図を示す。成長 ボート は高純度カーボン で, また反応管は高純度石英で作られており成長前に高温の水素 ガス 中で十分空焼きして使用した。ふん囲気としては純化した水素 ガス を用いた。溶媒として99.99999 % Ga 溶液を特に処理しないで用いた。ソース GaAs 結晶を飽和させたあとの (Ga+GaAs) 溶

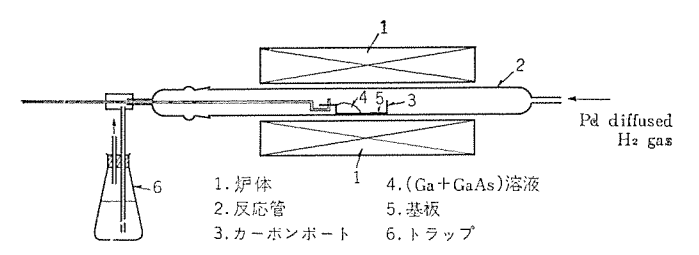


図 2.1 実験装置の概略図 Schematic diagram of the horizontal epitaxial furnace.

液の処理はきわめて重要である。

基板結晶には エピタキシャル 層の電気的特性測定用 として Cr F-プ 半絶縁性結晶を、また デバイス 製作用として Si, Sn, Te F-プ n^+ 基板 (++) 7 濃度 \simeq 1 \sim 2 \times 10 18 cm^{-3})を用いた。

基板、ソース 用 GaAs ウェハは ラッピング後、臭素+メタノール 溶液で ェッチング しさらに成長直前に硫酸系の エッチング 液で軽く エッチング して使用した。

次に成長手順を説明する。

まず、十分洗浄された反応管および成長 ボート を高温の 水素 ガス 中で長時間空焼きし付着した不純物を取り除く。空焼きの温度は成 長開始温度より高いほうがよいが、あまり高すぎるとかえって系が 汚れる場合もあるので注意する必要がある。次に十分空焼きされた 成長 ボートに Ga 溶液と ソース 用 GaAs 結晶を チャージ して, 成長開 始温度に設定された炉中にそら(挿) 入し Ga 溶液に As を十分飽和 させる。As を飽和させた Ga 溶液を水素 ガス中で加熱処理 (以下水 素処理と称することにする)を行ない溶液中に含まれる不純物を除 去する。後に述べるように、(Ga+GaAs) 溶液の水素処理は高純度 GaAs エピタキシャル 結晶を得るうえできわめて重要である(2)~(4)。不純 物を添加して キャリア 濃度を コントロール しようとする場合,不純物の 種類によっては溶液を水素処理することによって不純物が蒸発して しまい エピタキシャル 成長層の キャリア 濃度を コントロール することが困難 なことがある(9)ので十分注意する必要がある。以上で反応管、成長 ボート、溶液の前処理を終り エピタキシャル 成長を行なう。成長 ボート に 水素処理された (Ga+GaAs 溶液) と基板結晶とをそれぞれが接触 しないように セット し反応管中にそう入する。 窒素 ガスを 水素 ガス に十分置換したのち炉中にそう入する。炉温が設定値に回復するの を待って, ボート 傾斜法の場合は炉の傾きを反転さ せ, スライディング

1159

* 中央研究所

法の場合は スライダを スライド させて、 溶液と基板とを接触させたあと一定時間経過したのち炉温を一定の割合で降下させて成長を開始する。スライディング 法を用いて多層 エピタキシャル 成長を行なう場合は、第1層成長後いったん炉の冷却を休止し、一定時間後第2の溶液と基板とを接触させると同時に再び炉の 冷却を 開始し エピタキシャル 成長を行なう。以下同様な手順で行なう。

Cr ドーフ 半絶縁性基板上の成長層の キャリア 濃度および移動度は, van der Pauw の方法(10)または bridge type の Hall 効果の測定から算出した。 n⁺ 基板上の成長層の キャリア 濃度分布は成長層上に形成した schottky barrier diode の容量―電圧特性から J. A. C. Electronics 製 impurity profile plotter で片対数 クラフ 用紙上に直接 プロット することによって求めた。 イオン 化した ドナー 不純物濃度 N_D および ァクセプタ 不純物濃度 N_A は, 77°K における ホール 係数を測定し, Brooks-Herring の式(11) を用いて計算した。

3. エピタキシャル成長層の性質

エピタキシャル 成長層の特性は成長 開始温度に大きく影響され る (12) (13)。 図 3. 1 は成長開始温度と エピタキシャル 成長層の キャリア 濃 度との関係を示したものである。図中(a)は(Ga+GaAs)溶液を 水素処理しないで成長を行なった場合で、(b)は (Ga+GaAs) 溶 液を高温の H2 ガス 中で 長時間水素処理を 行なったの ちェピタキシャ ル 成長を行なった場合のものである。いずれの場合についても成長 開始温度が高ければ キャリア 濃度の低い エピタキシャル 層が得られ、 逆 に成長開始温が低いと キャリア 濃度の高い結晶が得られる。(a) と (b)とを比較してみると成長前の(Ga+GaAs)溶液の水素処理が 高純度 GaAs エピタキシャル 結晶を得るうえできわめて重要であること がわかる。(Ga+GaAs) 溶液を水素処理しないで成長を行なった場 合、得られる エピタキシャル 層の キャリア 濃度は 成長開始温度が 750℃ のとき 3×1016 cm⁻³ 程度であるが、(Ga+GaAs) 溶液を長時間水素 処理すると 1×1014 cm-3 程度の エピタキシャル 結晶が得られる。(Ga+ GaAs) 溶液を水素処理したあと成長開始温度 800℃ で エピタキラナル 成長を行なった場合の成長層の電気的特性の一例を表 3.1 に示す。 成長開始温度を 800℃ とすれば 1012~1013 cm-3 オーダの キャリア 濃度 の成長層を比較的容易に得ることが可能である。現在最高純度のも ので キャリァ 濃度 3.7×1012 cm⁻³, 77°K における移動度 244,000 cm²/V·s の結晶が得られている。

図3.2 は Ga 溶液に GaAs を飽和させたのち水素処理を重ねた場合の累積処理時間と ++リア 濃度および移動度の関係を 示した ものである。第 1 番目の結晶は Ga 溶液に GaAs を十分飽和させたのち水素処理をしないでそのまま成長を行なった場合のものである。第 2 番目以降の結晶は (Ga+GaAs) 溶液を図に示した時間,水素処理を行なったあと得られたものである。Ga 溶液に y-z 用 GaAs を飽和させた直後に成長を行なった 場合 は ++リア 濃度 4×10^{15} cm⁻³

表 3. 1 エピタキシャル 層の電気的特性 Electrical properties of the epitaxial layers.

Sample No	ⁿ 77°K(cm ⁻³)	μ _{77°K} (cm²/V·s)	N _D (cm ⁻³)	NA(cm ⁻³)
LN- 4	2.7×1013	136,000	2.5×1014	2.2×1014
LN-11	3.7×1012	244,000	7.5×1012	3.9×1012
LN-20	7.4×1012	189,000	8.5×1013	7.7×10 ¹³
-28	2.6×10 ¹³	142,000	2.3×10 ¹⁴	2.0×10 ¹⁴
-33	1.3×10 ¹⁸	166,000	1.4×10 ¹⁴	1.3×10 ¹⁴

程度の ${\tt I}$ ピタキシャル 層しか得られないが,(${\tt Ga+GaAs}$)溶液 を ${\tt 3}$ 時間水素処理すると ${\tt 9} \times 10^{14}\,{\tt cm}^{-3}$,さらに ${\tt 3}$ 時間水素処理すると ${\tt 3} \times 10^{13}\,{\tt cm}^{-3}$ の ${\tt I}$ ピタキシャル 結晶が 得られる。 $10^{13}\,{\tt cm}^{-3}\,{\tt 1-4}$ の ${\tt 7}$ 中リア 濃度を持った ${\tt I}$ ピタキシャル 層を得ようとする場合は, ${\tt Ga}$ 溶液に ${\tt GaAs}$ を飽和させたのち少なくとも ${\tt 5} \sim 6$ 時間程度水素処理を行なうこと が必要である。その後は各成長ごとに ${\tt 3}$ 時間程度水素処理すればよ い。

エピタキシャル 成長層の特性に大きな影響を及ぼすものとして酸素がある。酸素は Solomon $^{(14)}$ によって明らかにされたように、 GaAs の液相 エピタキシ においては浅い ドナーとして作用する。 GaAs の液相 エピタキシ における酸素の影響をより詳しく調べるために 99.999% Ga_2O_3 の ドーピング を行なった $^{(13)}$ 。(Ga+GaAs)溶液中に添加された Ga_2O_3 は 900° C における溶液の水素処理によって容易 に 蒸発す

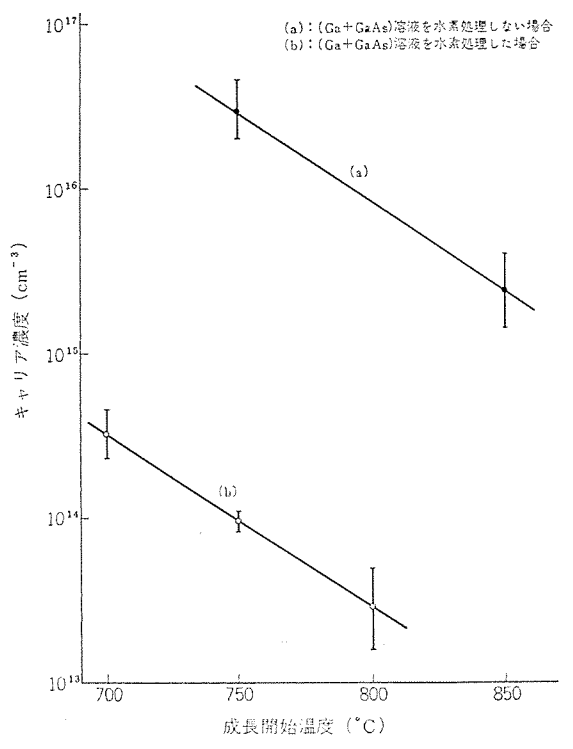


図 3.1 成長開始温度と キャリァ 濃度の関係 Temperature dependence of the carrier concentration.

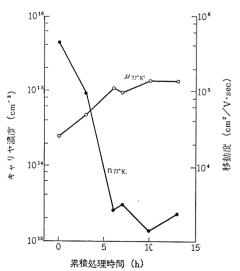
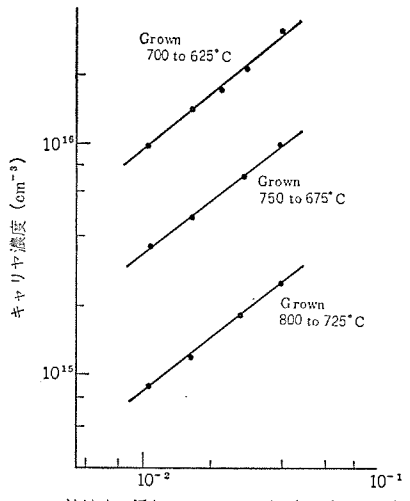


図 3.2 (Ga+GaAs) 溶液の累積処理時間と キャリァ 濃度 および移動度の関係 Heating effect of (Ga+GaAs) solution.



Ga溶液中に添加した Ga_2O_3 の量 (mol% Ga_2O_3) 図 3. 3 Ga_2O_3 の ドーピング特性 Doping characteristics of Ga_2O_3 .

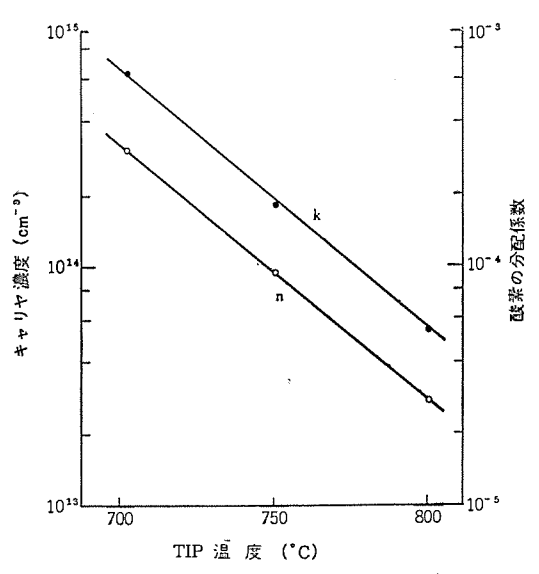


図 3.4 ェピタキシャル 層の キャリァ 濃度および酸素の分配係数 の成長開始温度依存性

Tip temperature dependence of the distribution coefficient of oxygen and the carrier concentrations.

る。たとえば, Ga_2O_3 を添加しないとき 1.0×10^{14} cm⁻³ 程度の 1 ピタキシャル 結晶が得られるよう な(Ga+GaAs)溶液 に 0.1 mol % の Ga_2O_3 を添加すると,その直後では 4.0×10^{15} cm⁻³ の 1 ピタキシャル 結晶が得られる。この溶液を 900° C で 4 時間および 8 時間水素処理を行なうと,そのとき得られる + ャリア 濃度はそれぞれ 9.0×10^{14} cm⁻³ および 1.5×10^{14} cm⁻³ となる。したがって,ここでは一度 Ga_2O_3 を添加して 1 ピタキシャル 成長を行なったあと,10 の 10 で 10 で

図3.3は(Ga+GaAs)溶液中に添加した Ga₂O₃の mol %と Iピタキシャル 層の キャリア 濃度の関係を示す。実験範囲は狭いが両者の関係はほぼ リニアである。成長開始温度が低くなると キャリア 濃度の高い Iピタキシャル 層が得られ、成長開始温度が高いと Iピタキシャル 層のキャリア 濃度は低くなる。 これは (Ga+GaAs)溶液に故意に不純物を添加しないで成長を行なった場合の成長開始 温度と Iピタキシャル層のキャリア 濃度との関係 (図3.1)と同様な関係であることは注目される。図3.3から (Ga+GaAs)溶液中へ添加した Ga₂O₃はすべて溶解し、かつ酸素は溶液中では atomic な状態にあると仮定して、Iピタキシャル層のキャリア 濃度と溶液中への Ga₂O₃の添加量との比か

ら酸素の分配係数を求めると,成長開始温度 800℃ では 5.1×10⁻⁵, 750℃ では 1.8×10⁻¹, 700℃ では 6.5×10⁻¹ となる。この値を成長開始温度に対して プロットすると図 3.4 のようになる。図 3.4 には図 3.1 に示した成長開始温度と ‡+リァ 濃度との関係も 示しておいた。 酸素の分配係数と成長開始温度との関係を示す直線と エピタキラ+ル 層の ‡+リァ 濃度と成長開始温度との関係を示す直線とは互いに平行であることに注目しなければならない。このことは エピタキラ+ル 層の ‡+リァ 濃度の成長開始温度依存性の主な原因は 酸素の分配係数の温度依存性であることを示している。

以上,(Ga+GaAs) 溶液に故意に不純物を添加しないとき得られる ェピタキシャル 成長層の性質について述べたが,次に溶液中に不純物 (ドーパント) を ドープ した場合の ェピタキシャル 層の性質について 述べる。

4. ドーピング特性

所定の ++リア 濃度および ++リア 濃度分布を持った Iピタキシャル 層を得るためには、Iピタキシャル 層へ適当な不純物を Fーピング する 必要がある。 GaAs の I形不純物として Sn、 Te、 Se、 S などがよく 用いられる。 Te、 Se、 S は GaAs の液相成長温度付近の温度では分配係数が大きい (~1) ため ++リア 濃度の低い Iピタキシャル結晶を 得るには不向きで、 もっぱら ++リア 濃度の高い Iピタキシャル結晶を 得るのに用いられている。 Te、 Se、 S を F-ブ した ++リア 濃度の低い Iピタキシャル 結晶を 得るのに用いられている。 Te、 Se、 S を F-ブ した ++リア 濃度の低い I と I を

図 4. 1 は (Ga+GaAs) 溶液中への Sn の添加量と ェピタキシャル 層の キャリァ 濃度との関係を示したものである。図中の点線は平均値の ± 20 % の キャリァ 濃度の変化範囲を示したもので,実験値の大部分 はこの領域に入っている。

図 4. 2 は Sn を ドープ した エピタキシャル 層の キャリア 濃度分布 を 示したものである。(a) は スライディング 法によって,(b) は ボート 傾 斜法によって得られた エピタキシャル 層の キャリア 濃度分布で,エピタキシャル 成長層上に形成した ショットキ バリア ダイオード の 容量一電圧特性 から得られたものである。いずれの方法を利用しても キャリア 濃度分布

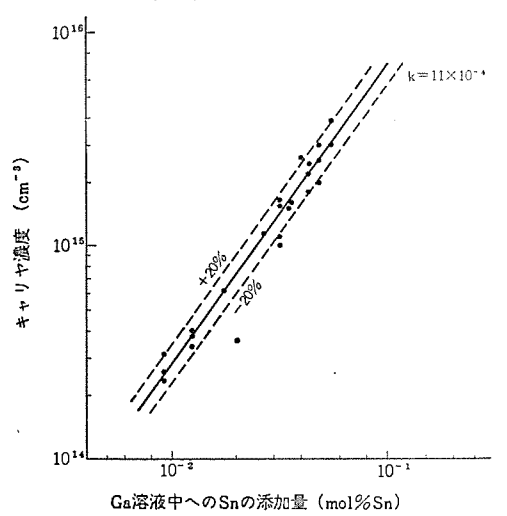


図 4.1 Ga 溶液中への Sn の添加量と キャリア 濃度の関係 Carrier concentration of epitaxial layer plotted against amount of Sn doped into Ga solution.

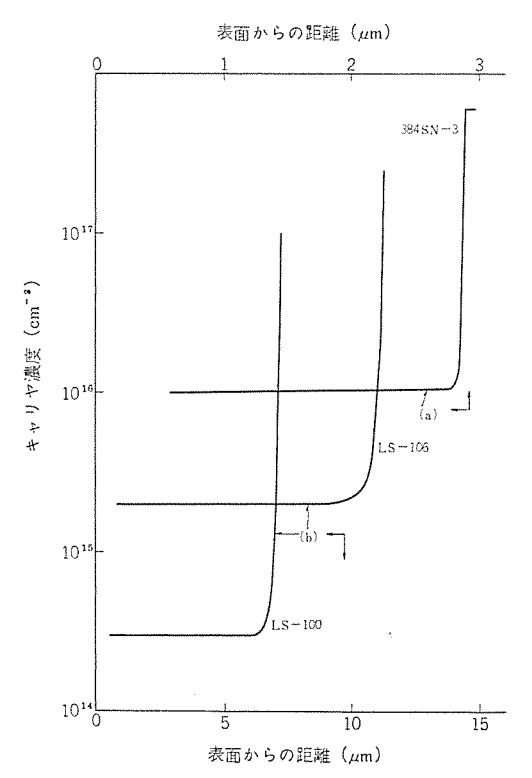


図 4.2 深さ方向のキャリア濃度分布 Carrier concentration profiles of the Sn-doped epitaxial layers.

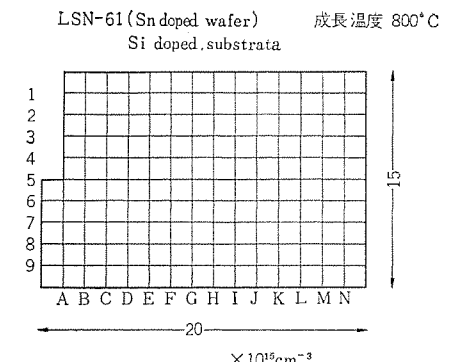
はきわめて平たんで、気相成長でしばしば観測されるような ェピタキ シャル 層一基板界面の高抵抗層は 存在しない。 ェピタキシャル 層一基板 界面付近の立上りは スライディング 法を用いた場合は急しゅん (峻) で 遷移幅(キャリァ 濃度が 1 けた変わる距離)は 0.2~0.3 μm 程度 のも のが得られる。ボート 傾斜法を用いた場合は遷移幅は 1 ~ 2 μm 程度 である。

図 4.3 は ボート 傾斜法を用いて得られた Sn ドーヴェピタキシャル ウエハ 面内の キャリア 濃度の分布で、エピタキシャル 層上に形成した ショットキ バリア ダイオード の容量一電圧特性から得られたものである。 ウエハ 面上のキャリア 濃度の分布は ウエハ 全面にわたって均一で平均値の ± 10 %の範囲内に抑えるととができる。 との ウエハ と同時に Cr ドーヴ 半絶縁性基板上に成長させた場合の成長層の キャリア 濃度は、 ホール 係数の測定から求めると 1.6×10¹⁵ cm⁻³ で容量法から求めた値 1.7×10¹⁵ cm⁻³ ときわめてよく一致している。

図 4. 4 は図 4. 2 に示した GaAs Iピタキシャル 結晶 (384 SN-3) のへき (劈)開断面写真で,n+基板上に $9.0 \, \mu m$ の緩衝層を, さらにその上に動作層となる n 層を $5.8 \, \mu m$ 成長させたもので緩衝層, 動作層の厚みは一様で平たんであることがわかる。

次にTeを「ープした場合について述べる。

図 4.5 は (Ga+GaAs) 溶液中に添加した Te ドーフ GaAs 結晶(キャリア 濃度 7~8×10¹⁷ cm⁻³) の量と エピタキシャル 成長層の キャリア 濃度 との関係を示す。キャリア 濃度と Te ドープ GaAs 結晶の溶液中への添加量との関係は 10¹⁴~10¹⁶ cm⁻³ の範囲にわたってほぼ リニア であることがわかる。ちなみに (Ga+GaAs) 溶液約5g中に 100 μg の Te 単体を ドープ した場合は 5~6×10¹⁷ cm⁻³ の キャリア 濃度の エピタキシャル 層が得られる。したがって、キャリア 濃度 10¹⁵~10¹⁶ cm⁻³ の エピタキシャル 層を得るには 1~10 μg 以下の Te を添加しなければならない。通常の方法では 1 μg 程度の測定は困難である。 Te ドープ GaAs 結晶を用いれば、ガンダイオート、インパットダイオートに用いる低キャリア 濃



						X 10	em •							
$\overline{}$	A	В	С	D	Ε	F	G	Н	I	J	K	L	M	N
1		1.60	1.65	1.70	1.80	1.65	1.70	1.70	1.65	1.65	1.70	1.55	1.90	
2		1.65	1.60	1.75	1.70	1.60	1.65	1.70	1.60	1.55	1.60	1.70	1.70	
3		1.65	1.70	1.70	1.70	1.60	1.65	1.70	1.60	1.55	1.70	1.70	1.50	
4		1.65	1.70	1.75	1.80	1.60	1.70	1.70	1.60	1.60	1.60	1.75	1.70	
5		1.60	1.70	1.75	1.80	1.65	1.80	1.85	1.85	1.70	1.75	1.70	1.60	
6	X	1.60	X	1.85	1.85	1.65	1.80	1.70	1.70	1.65	1.55	1.70	1.65	
7	1.70	1.70	1.75	X	1.85	1.65	1.75	1.70	1.55	1.60	1.5	1.65	1.80	
8	X	1.65	1.70	1.75	1.85	1.80	1.80	1.70	1.70	1.50	1.55	1.70	1.80	
a	X	X	X	Y	×	Y	Y	Y	Y	Y	Y	Y	Y	

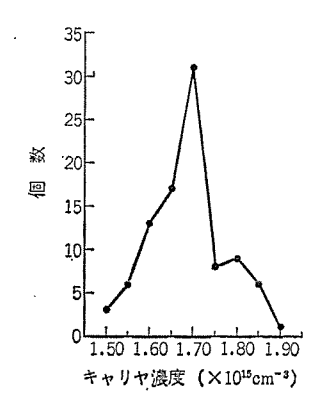


図 4.3 ウェハ内キャリア濃度分布 Lateral variation of carrier concentration.

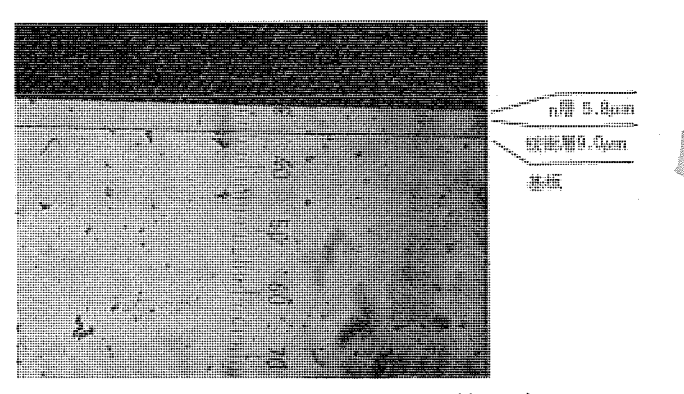


図 4.4 エピタキシャル 結晶のへき開断面写真 Cross-sectional view of the epitaxial wafer.

度の結晶を容易に得ることができる。

以上n形不純物をドーピングした場合のエピタキシャル層の性質につい

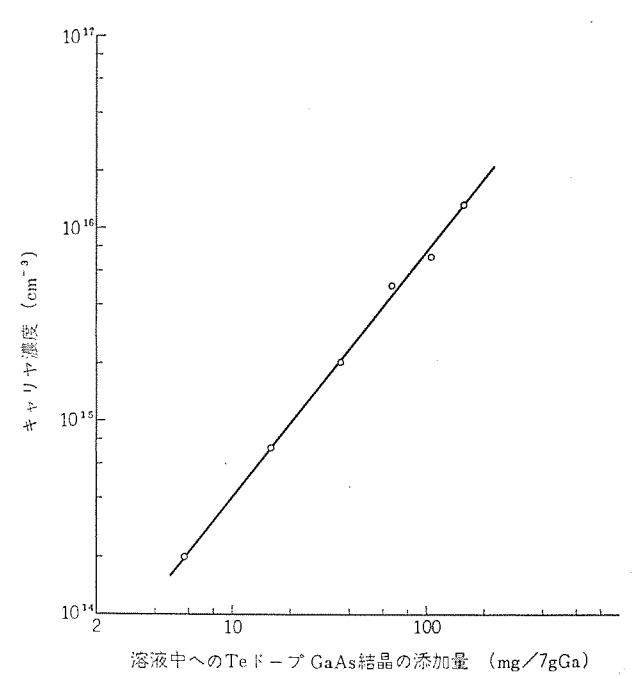


図 4. 5 溶液中への Te ドープ GaAs の添加量と エピタキラャル 成長層の キャリァ 濃度との関係

Carrier concentration of epitaxial layer plotted against amount of Te-doped GaAs crystal into Ga solution.

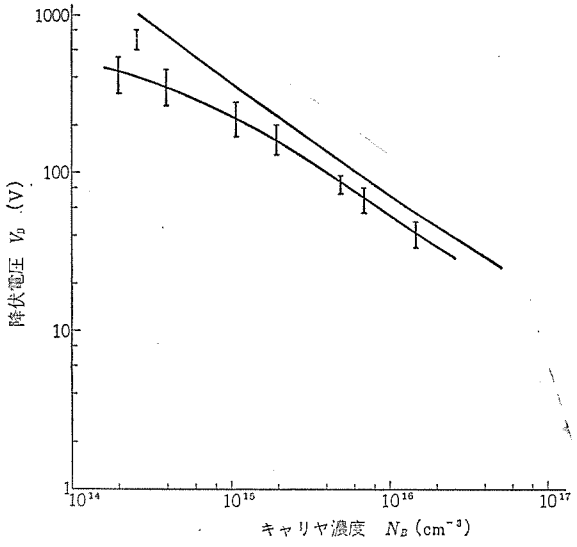
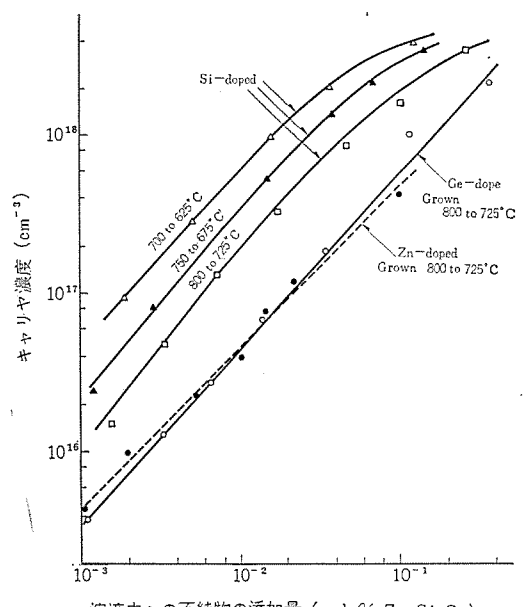


図 4.6 Te ドープェピタキラು+ル 層のキャリァ濃度と降伏電圧の関係 Breakdown voltage versus carrier concentration.

て述べたが,次に p 形不純物を ドーピング した場合について述べる。 液相成長法を利用した p 形 GaAs エピタキシャル 結晶は接合形 インパット ダイオード や レーザダイオード などの各種 ダイオード に用いられてきたが,いずれも キャリア 濃度の比較的高い 領域 (p≥10¹⁷~10¹⁸ cm⁻³) の ものである。最近,double drift インパット ダイオード や バリット ダイオードが 試作されているが,これらの ダイオード を製作するには キャリア 濃度の低い p 形結晶 (キャリア 濃度~10¹⁶~10¹⁶ cm⁻³)が必要である。ここでは p 形不純物の ドーピング 特性について述べる(0)。

p 形不純物として Zn, Cd, Si, Ge 等がよく用いられるがここでは Zn, Si, Ge を \mathring{r} - \mathring{c} -

図 4.7 は ェピタキシャル 成長層 の キャリァ 濃度と (Ga+GaAs) 溶液 中に添加した Zn, Si および Ge の mol % との関係を示す。 Zn, Ge については成長開始温度 800℃ のみ, Si については 800℃, 750℃, 700℃ の三つの温度領域について実験した。 Zn と Ge の場合,



溶液中への不純物の添加量 (mol % Zn, Si, Ge)

図 4.7 溶液中への P 形不純物の添加量と キャリア 濃度の関係 Carrier concentration of epitaxial layer plotted against amount of Zn, Si and Ge into Ga solution.

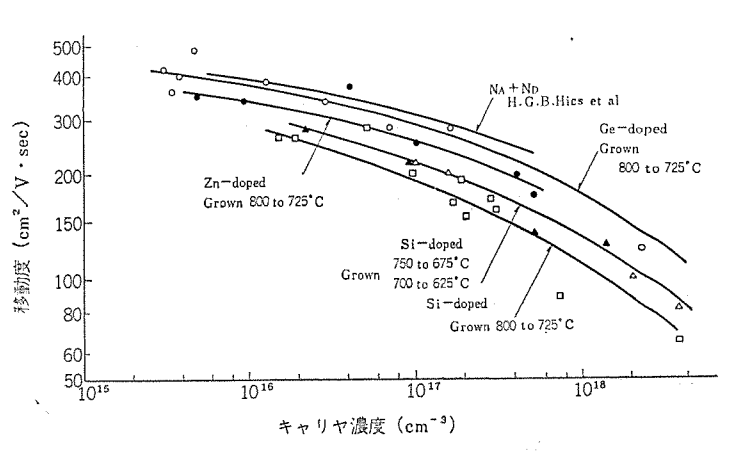


図 4.8 キャリァ濃度と移動度の関係 Mobility versus carrier concentration of the p-type epitaxial layer.

++リア 濃度と溶液中への不純物の添加量との関係は ++リア 濃度 10^{15} cm⁻³ の広範囲にわたってほぼ リニア な関係にあるが、Si を ドーピング した場合は溶液中への添加量が増加すると、 ++リア 濃度は飽和する傾向がある。Si ドープの結晶では成長開始温度が低くなるにつれて ++リア 濃度は高くなる。図 4.7 から見かけ上の分配係数を求めると Zn の場合は 1.0×10^{-2} , Ge の場合は 7.4×10^{-3} , Si の場合は 800° C では 6.9×10^{-2} , 750° C では 1.2×10^{-1} , 700° C では 2.0×10^{-2} となる。

図 4.8 は Iピタキシャル 層の +ャリア 濃度と室温における移動度の関係を示したものである。実験した不純物のうちでは全濃度領域にわたって Ge を \mathring{r} ープ した場合が最も大きく, 次いで Zn, $Si \mathring{r}$ ープ の 順になっている。 $Si \mathring{r}$ ープ の場合は成長開始温度が低いほど移動度は大きい。 $Ge * \mathring{r}$ ープ した場合,液体窒素温度で +ャリア 濃度 $1.5 \times 10^{15} \, \mathrm{cm}^{-3}$ 移動度 $7,600 \, \mathrm{cm}^2/\mathrm{V} \cdot \mathrm{s}$ の結晶が得られている。 $Zn \mathring{r}$ ープ の 場合は同程度の +ャリア 濃度での結晶でも移動度は $3,000 \, \mathrm{cm}^2/\mathrm{V} \cdot \mathrm{s}$ 程度である。 $Si \mathring{r}$ ープ の場合はさらに低い。

図 4.9 は p形不純物 Zn, Si, Ge を 一度溶液中に添加したあと 新たに添加することなく,ただ溶液の水素処理のみ行なった場合の

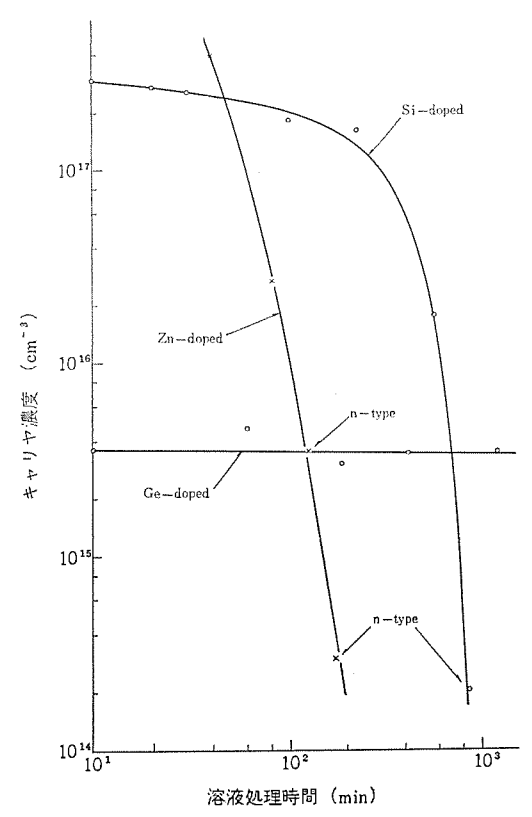


図 4.9 溶液の水素処理による ドーパント の蒸発 Heating effect of Ga salution.

エピタキシャル層の キャリア 濃度の変化を示したものである。Zn をドープした場合は キャリア 濃度は急激に減少し 100 分程度,水素処理を行なえば n 形 エピタキシャル 層が得られるようになる。Si の場合 は Zn ほど急激ではないが水素処理時間を長くするにつれて キャリア 濃度は徐々に減少し,ついには n 形 エピタキシャル 層が得られるようになる。これは Zn, Si が (Ga+GaAs) 溶液の水素処理によって蒸発するためであると考えられる。(Ga+GaAs) 溶液の高温での水素処理は Siによる汚染を防止するのにも重要であることがわかる。Ge をドープした場合は キャリア 濃度の変化はない。以上の点を考慮すれば p 形ド

-パントとして Ge が最も適している。

5. む す び

各種 マイクロ 波素子の固体化を進めるための重要な材料の一つである GaAs 結晶の液相 エピタキシャル 技術について報告した。 Ga 溶液を用いた液相成長法は キャリア 濃度の低いものから高いものまで,所望の伝導形の エピタキシャル 層を簡単な装置で再現性よく得る ことができ,各種 マイクロ 波 デバイス への応用が期待される。

参考文献

- (1) 三木, 伊藤, 織田: 三菱電機技報, 46, 1153 (昭 47)
- (2) H. B. Hicks, D. F. Manley: Solid-State Commun., 7, 1463 (1969)
- (3) H. Miki, M. Otsubo: Japan J. appl. phys., 10, 509 (1971)
- (4) 三木、大坪、瀬川:半導体トランジスタ研究会資料、SSD 71-47 (昭 46-10)
- (5) H. Nelson: RCA Review, 24, 603 (1963)
- (6) C. S. Kang, P. E. Greene: Appl. phys. letters, 11, 171 (1967)
- (7) M. B. panish, et al.: J. phys. Chem. Solids, 30, 129 (1969)
- (8) I. Hayashi, et al.: Appl. phys. lett., 16, 326 (1970)
- (9) 大坪, 三木, 堀内: 昭和 48 年電気学会全国大会予稿集, 電気電子材料, 409, p. 518
- (10) L. J. van der Pauw: philips Res. Rep., 13, 1 (1958)
- (11) H. Brooks: Advance Electronics and Electron phys., p. 158 (Academic press New York, 1955)
- (12) J. Vilms, J. P. Garrett: Solid-State Electronics, 15, 443 (1972)
- (13) M. Otsubo, K. Segawa, H. Miki: Japan J. appl. phys., 12, 797 (1973)
- (14) R. Solomon: Proc. Internat. Conf. on GaAs, p. 11 (1968)
- (15) S. M. Sze, G. Gibbons: Appl. phys. letters, 8, 111 (1966)

低圧TIGアークによる高速片面溶接法

山本利雄*・島田 弥**

High Speed-One Side TIG Arc Welding at Low Gas Pressure

Manufacturing Development Laboratory

Toshio Yamamoto • Wataru Shimada

One side welding at a high speed poses technical problems for the prevention of under-cut with surface beads and for the stability of back beads. Regarding the under-cut of the surface bead whether or not there is a solid surface ahead of the molten pool plays a decisive part. The anthors of this article, from the viewpoint of week plasma stream and high temperature cathode zone in low pressure arc, have made a study on the molten pool phenomena at low gas pressure and has made success in the extension of the limit of forming the normal beads greatly toward large currents and higher speeds through the control of molten metal flow inside of the molten pool. As to the back beads, it has been successful in stabilizing them greatly by making use of the characteristics of a low pressure cathode zone and shifting the arc energy to the back through the intermediate of molten metal pool of a large thermal capacity so as to form molten metal at low temperatures on the back.

1. まえがき

アーク溶接施行の高速度化は溶接技術開発上の大きな課題となっているが、技術的には高速アーク溶接時の表 ビードのアンダーカット発生の防止、および片面溶接における裏 ビードの安定化がその成否を支配すると考えられている。このような ビード 形成に対しては、アークの熱源的特性、プラズマ 気流の強さ、溶融金属の諸性質などがそれぞれ影響を及ぼしていると考えられるが、そのうちでもとくに溶融金属内部の湯流れ現象の影響が大きく、その制御が高速化の成否の決め手になると考えられる。

著者らは、すでに報告したごとく低圧ふん団気中で TIG アークを発生させた場合に、陰極直下に高温の球状発光部が存在することを明らかにしている(1)。この球状発光部は陰極の電極材質がたとえばタングステン、タンタル などの高融点金属の場合にのみ発生し、その直径は 120 mmHg 程度のふん囲気圧力では約4 mm、32 mmHg では約10 mm になり、圧力の低下とともに増大する。低圧アルゴンTIGアークの分光分析結果では、この発光部(以下便宜上"陰極域"と呼ぶ)は AII 状態にあることがわかっている。また陰極域が母板に接触した状態では、陰極域の直径に対応した接触部分が他の部分より著しく早く、しかも比較的均一に静かに溶融することから、低圧陰極域が強力なプラズマ圧力をともなわない、高温面熱源的特性を有していることが明らかである。

本報ではさらにその陰極域の エネルギー 密度, 加熱面積および プラズマ 気流の強さなどを調整することにより, ビード 形成を制御できるとの考えのもとに, 比較的板厚の薄い突合せ継手の片面溶接法についてその高速化の方策を実験的に検討した。

2. 低圧 TIG アークによる母板溶融の特徴

1 章で熱源としての陰極域の特長についてこれまで明らかにしてきたことを述べたが、これに加えて低圧 TIG_{T-2} のもう一つの重要な特徴は、プラスマ 気流が大気圧 TIG に比べると微弱なことである。図 2.1 は、陽極水冷銅板上に直径 1 mm の小穴を設け、 その直上に TIG_{T-2} を発生させた場合の、プラスマ 気流による母板上の圧力増加を測定した結果の一例である。 母板上の圧力増加

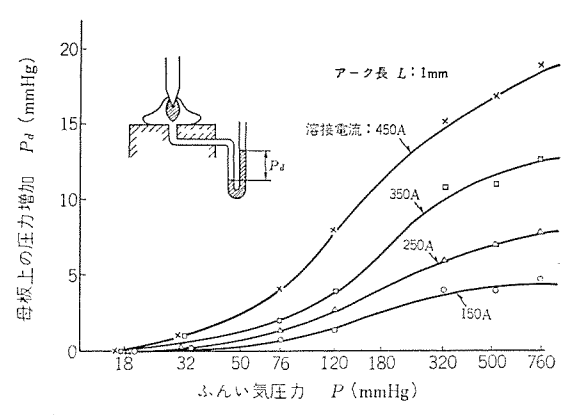


図 2. 1 低圧 TIG ァーク の プラズマ 気流による 母板上の圧力増加 Pressure increase on anode plate by plasma stream of TIG arc at low gas pressure.

大気圧から圧力低下とともに著しく低減し、32 mmHg では大気圧の約 1/10 程度になっている。したがって、たとえば 32 mmHg における 450 A の アーク の プラズマ 気流は、大気圧 における 150 A のアーク の プラズマ 気流よりもかなり微弱なわけである。

図2.2は、固定 TIG アークによる軟鋼試片の溶込み形状を圧力、電流条件に対して形態別に分類したものである。大気圧 TIG の場合、100 A 以下の小電流域では単純な "熱伝導形溶込み"(A)、100 A 以上 200 A 程度の条件域では中央部から周辺方向への溶融 池 表面の湯流れ a によって周辺へ浅く広がった "周辺形溶込み"(B)、さらに 250 A 以上の電流条件では強力な プラズマ 気流 b により アーク 直下の溶融金属が押し下げられ、アークの直接加熱作用により中央部が著しく深く溶込む "中央溶込み"(C)、へと移行する。

これに対して低圧条件では、大気圧条件と比較すると著しく 大電流条件まで陰極域を面熱源とする単純熱伝導型溶込み(A)を呈しており、電流の増加とともに周辺形溶込み(B)からさらに中央下部に向かう湯流れ c による中央溶込み(D)へと変化し、プラズマ気流の押下げ作用による中央溶込み(C)は 600~700 A 以上の大電流条件になってからはじめて現出するようになる。

以上のように固定 r-2 による溶込み形態に対して、 圧力、 電流 条件はそれぞれ特有の作用を及ぼしているが、 このうち(B)の 周辺

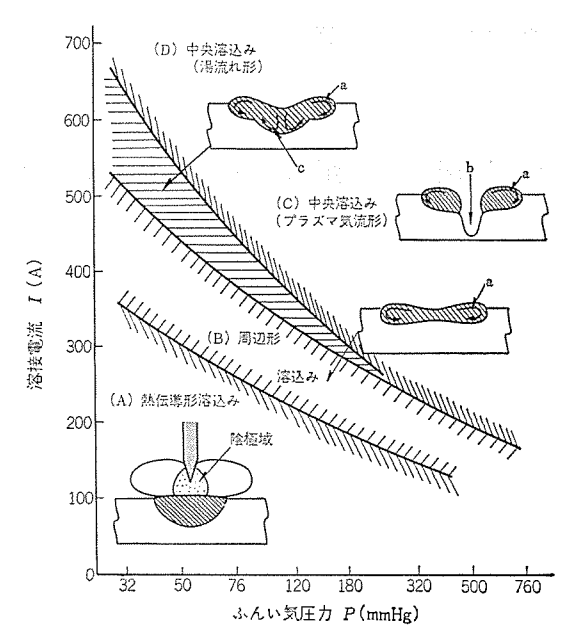


図 2.2 ふん囲気圧力と溶接電流に対する固定 TIG アーク の溶込み形態の変化

Change in penetration shape with gas pressure and arc current by fixed TIG arc.

溶込みおよび(D)の中央溶込みでは、主として溶融池内部の湯流れ現象が溶込み形態を支配していると考えられる。すなわち(B)では溶融金属の表面張力流、気流の摩擦力等にもとづいて中心部から周辺方向への表面湯流れ a がおこり、これによって r-ク 入熱が周辺部分へ運ばれるため r-ク直下の溶込み深さはほとんど増大しない。むしろ r-ク 熱源から遠い位置にある周辺部分では、高温の溶融金属流が周辺固体部を溶融・拡大しながら下方に方向を転じて深さ方向にも溶込みを拡大するため、中央部分よりも溶込みが深くなる場合もある。

このような形態(B)は熱源中央部のエネルギー密度がかなり高く, しかも周辺部も適度に加熱されて溶込み中央部と周辺部の温度差が 大きくなる条件で、しかも プラズマ 気流があまり強力でないような場合に形成されやすい。

また(D)の形態は高電流密度条件で、しかも プラズマ 気流が強力でない場合にのみ形成される形態であるが、その主体は溶融池内部の電磁 ピッチ 力による下向きの湯流れ c であり、これにより r ーク 直下が溶融・拡大される。大電流条件下におけるこのような電磁流の存在については、溶融池中に異材金属をそう入して、その混入流線の方向から実験的に確認しており、他にも同様の報告がなされている(2)。

図 2.2の(D)には表面流 a による周辺部拡大と、電磁力にもとづく湯流れ c による下向き方向の溶融・拡大とが共存する状態を図示しているが、熱源の ェネルギー密度、加熱面積および電流密度等を制御することにより、いずれか一方のみを他方より著しく優先させ、これにより浅く広い偏平な溶込み、あるいは逆に狭くて深い溶込みを形成させることができる。これについては 3 章で詳述する。

なお(C)のように アーク 直下に固体面が露出するか否かは、 臨界 条件近傍ではきわめて不安定かつ微妙であるが、 固体面が露出しな い条件下で浅い周辺形溶込みであったものがひとたび固体面が出る と、急激に溶込みが深くなり中央溶込み形へと変化する。 この間の 変化は不連続的であり、 移動 ビード においても注意を要する現象で ある。

3. 高速置きビード溶接におけるアンダーカット 防止の方策

薄板の片面溶接の高速化に際してまず問題になるのは、裏ビード形成の安定化の問題よりもむしろ表 ビードの アンダーカット をいかに防止するかである。そこでこの章ではアンダーカットの形成現象および発生防止の方策について述べ、ついで 4 章において大気圧 TIG と比較した場合の、低圧アークにおける裏ビード安定化の方策について述べることにする。

3.1 低圧 TIG アークによる置きビード形成現象

大気圧および低圧条件において、電流値および走行速度を変化させた場合の、置きビード溶接におけるアンダーカット発生傾向を図3.1に示す。図において2本の曲線に囲まれた三角形の条件内は、正常ビードが形成される領域、左上方の小電流高速条件は母板が溶融しない領域、右上方の大電流高速条件はアンダーカットビード、さらには不均一なハンピングビードが形成される領域である。図に見るように、ふん囲気圧力の低下にともない正常ビード形成領域が著しく大電流・高速側まで拡大されているのが明瞭にうかがえる。なお図中でハンピングビード限界および遷移領域を示してあるのは、いずれも P=32 mm Hg の場合のみについてである。

図3.2は正常ビードとアンダーカットビードとにおける溶融池現象の特徴を図示したものである。 低圧 アーク では一般に電流(または走行速度)を増すとともに、溶融池前面に固体面が次第に大きく形成されるようになるが、固体面(A域)が小さく 加熱源たる陰極域の大部分が溶融池(B域)を覆っている(a)では、横方向への湯流れ(横対流)が強力に認められ、二次溶融により横方向に拡大された偏平な正常ビードが得られる(S形)。

これに対して走行速度(または電流)が大になると、湯の前一後部の表面張力差にもとづく表面流、プラズマ気流の作用などによって溶融池が後方に後退し、(b)のように前方に大きな固体面(A場)が形成されるようになって、アークが固体面に直接作用するため深い溶込みが形成されるようになる。この場合は陰極域が溶融池(B域)の前方のみを加熱するため、溶融金属は主として後方へのみ運ばれて(縦対流)、ビードの周辺部分を満たさないため、典型的なアンダーカットビード(L形)となる。

以上は比較的走行速度が早く電流値が低い条件を例にあげて説明

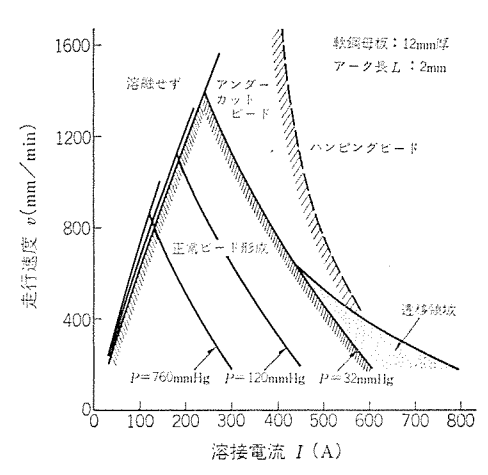


図 3.1 溶接電流と走行速度に対する移動 TIG アークの ビード 形態の変化

Change in bead shape with welding current and travel speed by moving TIG arc.

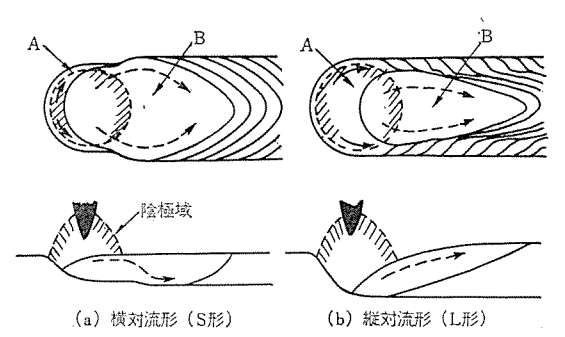
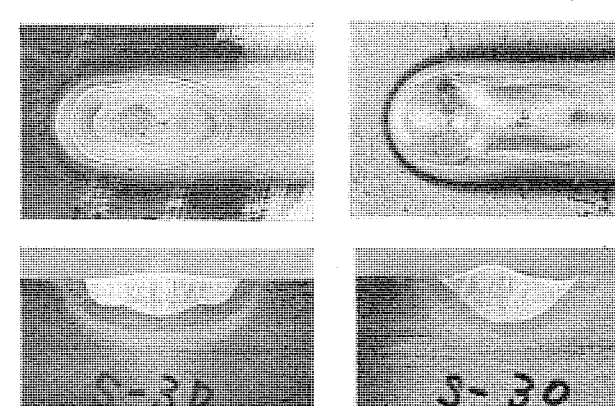


図 3.2 溶接 ビードの クレータ における溶融金属の挙動 Behavior of molten metal in the crater of the welding bead.



(a) 酸化皮膜除去 ステンレス鋼:10_{mm}厚

P=32 mm H g, I=400 A, v=400 mm/min

(b) 酸化皮膜付き

図 3.3 母板表面状況の差異による ビード外観の違い Appearance of bead under different surface conditions.

したが、図 3.1 の右下方の遷移領域、すなわち低速・大電流の境界条件では溶融金属量が多いため、正常 ピード が得られる場合には溶融金属は完全に溶融池全面をおおっており、強力な横対流により偏平な正常 ピード が形成されるが、何かのきっかけで溶融池前面に固体面がわずかに形成され出すと溶融金属は急速に後退し、固体面が大きく露出して幅狭く深いアンダーカットピード、あるいは ハンピングピードへと急変する。

図中の還移領域内では上記2種類のビードが共存しているが、とのように固体面の形成は、アンダーカットビード形成のうえで重要な役割を果していることが明らかである。固体面の形成およびその際の溶込み深さの増大には、プラズマ気流の作用が効果を及ぼしていることは事実であるが、同一条件下で固体面が露出しない浅い偏平ビードが形成されていることから、このような条件下ではプラズマ気流の作用と同等、あるいはそれ以上に溶融金属の物理的挙動が何らかの形でビード形成を強く支配しているのも事実である。これについては本報では詳細には述べないが、今後の検討課題であると考えている。

以上溶融金属の諸性質、とくに湯流れ特性が ビード 形成に大きな 影響を及ぼすことを指摘してきたが、母板の表面状況によっても湯流れは左右され、これにより ビード 形状も影響を受ける。図 3.3 は ステンレス 鋼母板表面の酸化皮膜を グラインダ で除去した場合と、 皮膜を残した場合の ビード 形成状態を比較したものである。 同一溶接条件でも酸化物がある場合の方が溶融金属の後退が著しく、図 3.2 (b)のL形になっているのに対し、酸化物のない場合には溶融金属は溶融池をほぼ満たしており、(a)のS形になっている。このような傾向は、鋼では軟鋼より ステンレス 鋼の方がより顕著である。この

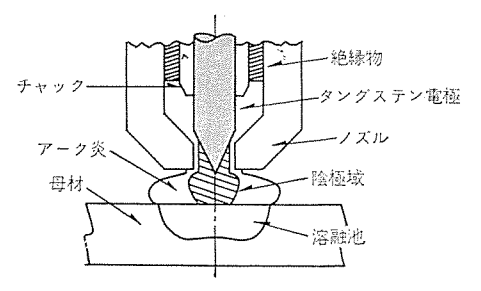
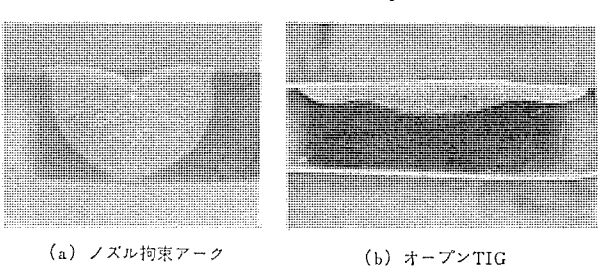


図 3.4 ノズルによる陰極域の拘束 Constriction of cathode zone by the nozzle.



ステンレス鋼:10mm厚 P=32mmHg, I=400A アーク時間:15秒

図 3.5 熱源特性による溶込み形状の差異 Penetration shapes depending on the character of heat source.

場合酸化皮膜の有無にかかわらずA域のプロフィルには大した差異はなく、B域の形状に極端な差を生じている。酸化物の添加による表面張力、粘性一温度の関係はさだかではないが、酸化物の存在は結果として後方への湯流れを助長すると考えざるを得ない。また、母板を予熱した場合には、正常ビードの得られる条件範囲は著しく大電流・高速側に拡大される。これは溶融池B域の前半一後半部間の温度差が小さくなって溶融池後方への湯流れが緩和され、溶融池の後退現象が抑制された結果として理解できる。このような大幅な条件域の拡大は大気圧 TIG の場合には認められないところで、プラズマ気流がビード形成の主導権をとる大気圧の場合とはビード形成機構が大いに異なるわけである。

3.2 低圧アークのノズル拘束によるビード形成の制御

溶融池現象に及ぼす陰極域のエネルギー密度および加熱面積の影響を検討するため、および置きビード溶接高速化の方策を検討するため、図3.4 に示すような構造のトーチを用いて陰極域の拘束およびエネルギー密度の向上化をはかった。拘束ノズルの使用により陰極域の半径が小さくなるとともに、外周アーク炎の半径も著しく収縮した。また、アーク熱の一部が水冷ノズルに吸収されるため、陽極吸収熱量が多少低減するにもかかわらず、アーク発生後試片表面が溶融しはじめるまでの時間が短縮されることから、エネルギー密度が高くなっていることが明らかになった。ここに用いたトーチ構造では、ノズル内部が閉じているため、プラズマ気流の供給源がなく、このためエネルギー密度が高くなるにもかかわらず、プラズマ気流は低圧オープンTIGにおけると同程度、あるいはそれよりむしろ低減している。

図 3.5 は低圧気中の オープッ TIG と ノズル 拘束 アーク とによる 固定 溶込み 断面形状を比較したものである。(b)の オープッ TIG の場合には、中央部にわずかに湯流れによる溶融拡大がみられるものの、外 周 アーク 炎の予熱効果および表面流による周辺部分の溶融拡大 の 効果の方がはるかに顕著であり、幅広く浅い溶込みとなっている。 これに対して(a)の ノズル 拘束の場合には幅が著しく狭くかつ深い溶込みになっている。 これはひとつには外周 アーク 炎が著しく縮少されて周辺部の予熱作用がなくなったため、表面流が周辺部を遠方ま

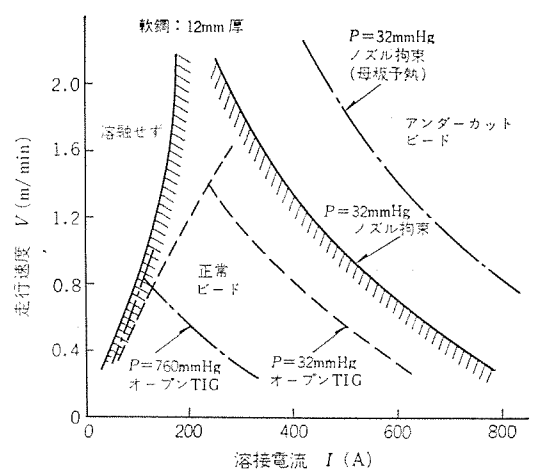


図 3.6 種々の入熱形態による正常 ビードの適正条件 Welding conditions for normal bead by various heat inputs.

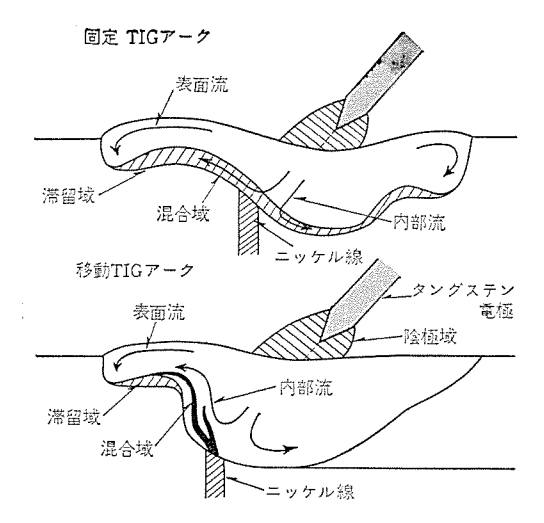
で浅く溶融させず,むしろ近傍部で方向を板厚方向に転換するためもあると考えられるが、断面形状からもわかるように、それ以上に高い電流密度に基づく電磁 ピッチ 力によって 下向きの湯流れを発生し、これによる溶融拡大が表面流の影響をはるかに上回るためであると解釈される。

図3.6 は低圧気中のノズル拘束ァークおよびオープンTIGによる置きビード溶接の結果を示すものである。図示のようにノズル拘束ァークでは、オープンTIGアークの場合に比べて正常ビードの得られる条件は大電流・高速側に拡大されている。比較的小電流域で適正範囲が著しく高速側にまで伸びているのは、熱源のエネルギー密度が著しく向上したからである。ノズル拘束ァークでは、電流密度が高くなりしかも陰極域が緊縮しており、電磁流で深溶込みが得られると共に狭く、しかも強力な表面流により溶融金属が溶融池の前方、および側方を満たしているので、固定面が現出し難く、オープンTIGの場合よりも大電流・高速条件まで正常ビードが維持されるものと思われる(プラズマ気流の多少の低減もこれに寄与している)。なお図中の鎖線は、参考までにこのようなァーク拘束下における予熱の効果を示したものであるが、オープンTIGの場合と同様、条件域は著しく拡大されている。

3.3 電極傾斜によるビード形成現象の制御

溶融池前部における固体面の露出を防止する方策の一つとして, タングステン 電極を進行方向に傾斜させた場合の ビード 形成について検 討した。 この場合にも陰極域は タングステン 電極の軸方向に維持され るので、この高温部は母板上では傾斜方向に末広がり状に接触する。 また外周ァ-ク炎も同様に傾斜方向に片寄って形成される。 とのよ うに前進角 θ を設けると、母板上の入熱分布(および大電流条件で は プラズマ 気流の方向も) が変わるため、 傾斜方向への表面流は反 対方向へのそれに比べて顕著になる。これと同時に溶融池内の電磁 流も前向きになるので、結局溶融金属は常に前向きの力を受けると とになり、前にのべた表面張力流や プラズマ 気流に起因する溶融池の 後退、およびそれに伴なう固体面の露出を防止することができる。 図3.7は大電流条件下の固定および移動の傾斜ァークによる溶融池 内の湯流れの状況を示したものである。実験では ステンレス 鋼母板中 に、あらかじめ直径 1.6 mm の ニッケル 心線を埋め込んだ後溶接を行 ない、消弧後化学 エッチングにより ニッケルの流線を求めているが、ニッ ケルの流線および滞留域の状況から上述の湯流れ状況が確認できる。

図3.8は電極を傾斜させた場合の電流, 走行速度に対する表じ-



P=120mmHg, $\theta=45^{\circ}$, I=500A

図 3.7 トーチ 傾斜下における溶融池中の金属の挙動 Behavior of molten metal in the molten pool under inclined torch angle.

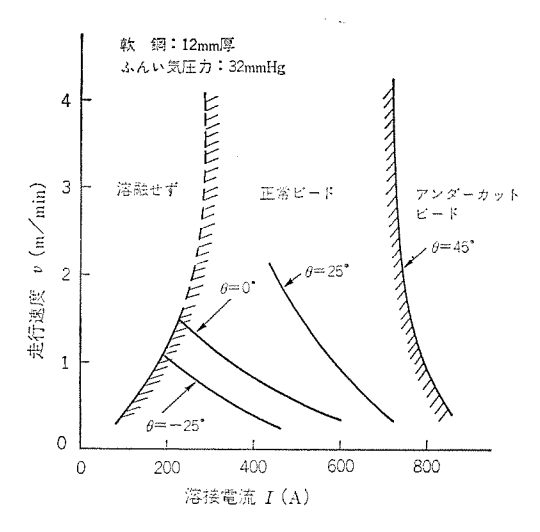


図 3.8 種々のトーチ 傾斜角における正常 ビード の適正条件 Welding conditions for normal bead under various inclined torch angles.

ドのアンダーカット発生限界を示す。図のように前進角のの増大とともに、正常ビードの得られる条件範囲は著しく拡大される。 とくに注目すべきは、前進角の増大に伴なって走行速度に対する条件裕度が急激に大きくなり、たとえば θ=45°の場合には限界条件がほぼ電流値によってのみ決まるような傾向をみせることである。この場合にも、前方への湯流れにより溶融池前面は溶融金属で満たされてはいるが、電流増大にともない プラズマ 気流も増大するので、遂にはアーク直下に固体面が露出するようになり、溶融金属の対流形態が変化してアンダーカットあるいはハンピングビードになる。先にも述べたように、薄板片面突合せ溶接の高速化には、 裏ビードの不整よりもむしろ表ビードのアンダーカット形成が成否を支配する。このアンダーカット発生限界は、低圧 TIG アークで電極を前方に傾斜させることにより、 たとえば 1.5、0.6 mm 厚 ステンレス 鋼板の溶接の場合、 大気圧 TIG における 1.2、3.0 m/min の溶接速度限界を、3.0、10.0 m/min 以上に増大が可能である。

以上に述べたように、アンダーカット防止には、溶融池前面の固体面の形成を防止する必要があり、それにはふん囲気圧力を低下させてプラズマ気流を微弱化させるとともに、母板表面上の酸化皮膜の除去

および母板の予熱等により、表面張力流に起因する溶融金属の後退を防止する方法も有効である。さらに ノズル 拘束により プラズマ 気流を低減せしめた状態で、陰極域を収縮させて エネルギー 密度および電流密度を高め、電磁流および強力な周辺流を形成させる方法、および前進角を設け溶融金属を後方へ押しやる方法などにより、正常 ビード 条件域を著しく拡大することができた。

4. 片面溶接における裏ビードの安定化

一般に片面裏波溶接においては、(1)いかにして裏面まで溶融させるか一すなわちいかにして入熱を裏面まで持ちきたすか一という問題と、(2)裏面まで溶融した金属の重量をささえて、いかにして良好な形状の裏ビードを安定に形成させるかの二点が技術上の重要な問題点であるが、この二点に対して低圧 アーク の特性を有効に作用させうると考えられる。

板の表面側に与えられた入熱をいかにして裏面側に移行させるか ということについては、一般につぎの3種類の形態が考えられる。

まず(1)小電流の溶接条件では、母板内部の熱伝導により裏面の溶込みが得られるが、この形態による裏面の溶融は実用的には板厚が薄い場合に限られ、しかも溶接条件のわずかな変動に対して裏ビード幅が著しく変動する欠点がある。

つぎに(2)大気圧条件下のァーク溶接においては、その強力なう ラズマ気流によって湯を下方へ押下げ、入熱位置を積極的に板厚下方 へ持ってゆく作用をさせることがあり、場合によっては プラズマアーク 溶接の場合のように、プラズマ 気流によって板厚方向に貫通した穴をあけ、線熱源的な入熱形態をとることもある。この第2の形態は入熱を下方へ移行させる点ではもっとも有効であるが、プラズマ気流の押下げ力が反面溶融金属を吹き落とす作用をなすこと、およびこの形態では裏 ビードの表面温度が高いため、表面張力による溶融金属保持能力が小さいこと等の原因により、裏 ビード保持の安定性に欠ける難点がある。これらの形態に対して、(3)溶融池内部の湯流れ作用を利用して入熱を裏面に移行する形態が、裏ビード安定化の観点から注目されるべきであると考えている。

一般に片面突合せ溶接においては板厚を増すほど、しかも溶接速度を高めようとするほど、溶接電流値を増加させなければならない。大気圧ァークにおいては、電流値の増大、したがって入熱量および入熱密度の増大にともなって、前述の各種湯流れも活発化するが、それ以上にプラスマ気流の作用が強力になって、溶融池現象に対する主体的因子となるため、継手に間げき(隙)を設けて、プラスマ気流の作用を緩和するとともに、これを表面側から裏面側への湯流れに積極的に転化・利用する場合以外は、上記湯流れ現象を有効に利用しがたい。これに対して低圧ァークの場合は、前述のようにプラスマ気流が著しく微弱であるので、大電流条件の高入熱密度、高電流密度下では以下に述べるように、湯流れ現象を裏ビード形成の安定化に利用できる裕度が大きい。

図4.1は3mm 厚ステンレス鋼の,低圧TIG片面溶接のクレータ部を前部から順次切断した場合の横断面写真である。(b)の場合は湯流れによる溶融・拡大は,主として表 ピード側にのみ発生しており,裏 ピード形成には有効に作用していない。 これに対し(a)の場合は,クレータ 前部においては,主として表 ピードの拡大が行なわれているが,後半部においては表 ピードとは機構を異にする裏 ピード形成が認められる。

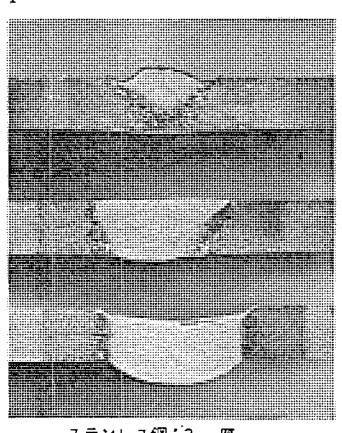
図4.2は一定走行速度の低圧ァーク下で電流値を増大させて、裏





a) ステンレス網:3mm厚 ふんい気圧力:32mmHg 溶接電流:400~450A 走行速度:400 mm ∕ min

図 4.1 低圧 TIG アーク による薄板の片面溶接部の横断面 Transverse cross sections in one side welding of thin plate by low pressure TIG arc.



(a) 225A

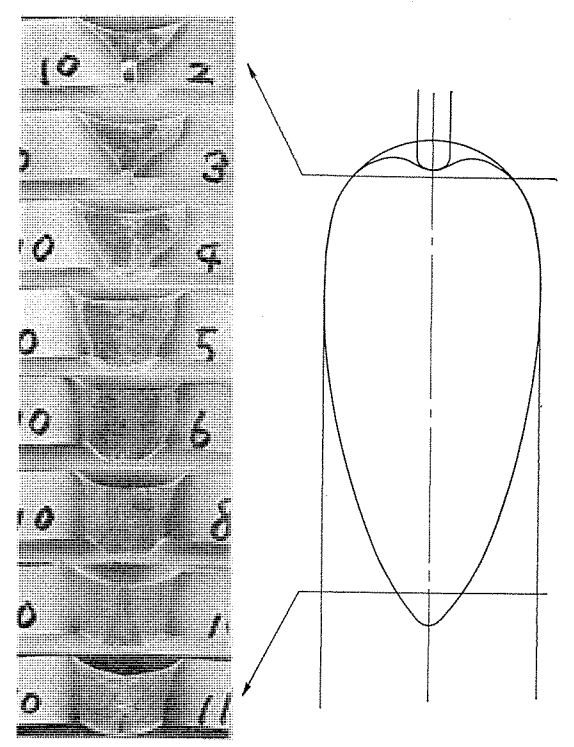
(ъ) 250 А

(c) 275A

ステンレス鋼: 3mm厚 ふんい気圧力: 32mmHg アーク長: 2mm 走行速度: 400mm/min

図 4.2 片面溶接の電流変化に伴なう ビード 形状の変化 Change in bead shape with arc current in one side welding.

ビードが形成される前後の条件における横断面形状の変化を示すものである。(a)のように裏ビードが形成されない場合, すなわち置きビード 溶接において アンダーカットビード になっているものが, 電流をさらに増加して(b), (c)のように裏ビード が形成されるようにな



ステンレス鋼:5mm/厚、継手間げき:1.5mm ふんい気圧力:120mmHg, 溶接電流:275A 走行速度:250mm/min

図 4.3 間げきを設けた継手の片面溶接におけるそう(挿)入 ニッケル 心線の流動模様

Metal flow pattern of inserted nickel wire in one side welding of gap joint.

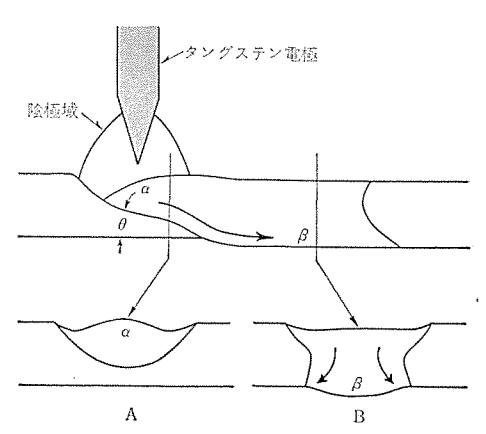


図 4.4 低圧気中の片面 TIG 溶接における溶融金属の挙動 Behavior of molten metal in one side TIG welding at low gas pressure.

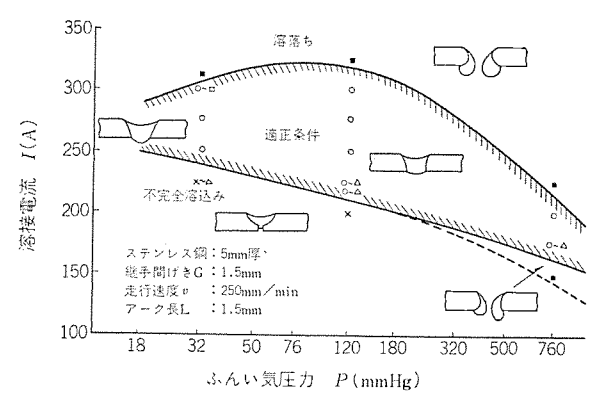


図 4.5 間げきを設けた継手の片面溶接における ふん囲気圧力に対する適正条件

Welding conditions in one side welding of gap joint at various gas pressures.

ると、表ピードのアンダーカットは逆に消滅する。このととから、表ピード内の縦対流のかなりの部分が裏ピード側への湯流れに変化をしていることが推測される。

図 4.3 は間げきを設けた突合せ継手の低圧片面溶接において、前方より ニッケル 心線を そう入 した場合の クレータ 部分の横断面形状であるが、ニッケル 心線の混入部位(黒い部分)の変化から、クレータ 前部の表側からクレータ後部の裏側への湯流れの存在が確認されるわけである。

以上の低圧片面溶接における裏面湯流れの状況を模式的に示したものが図 4.4 であるが,r-0 直下の α 部分ではr-0 熱により主として表側が加熱されて,高温の溶融金属が形成される(A位置)が,その溶融金属は未溶融部を溶融・拡大しながら後方へ流れて裏ビード β を形成する(B位置)。すなわち表側に与えられた入熱が烈容量の大きい溶融金属を媒介として,湯流れによって裏側に運ばれるのがこの形態の特徴といえるが,このため条件の微少な変動に対して本質的に安定化する長所がある。

このように湯流れが主体になって裏ビードが形成される状態では、溶融池前面にゆるい固体傾斜角 θ を形成するので、保持されにくい高温の溶融金属の重力およびプラズマ気流の押下げ力はこの固体面で受けとめられる。裏側の β 部は湯流れによって溶融・拡大されるため、溶融金属の温度は当然低下するので、 裏 ビード の表面張力が増して湯の保持力が増すうえに、 裏 ビード幅は微小な条件変動に対してほぼ一定に保たれるという利点がある。

ではとのような湯流れの原因力はどういう機構で与えられているかについて考えてみる。先に図 4.2 に示したように、表 ビード内の縦対流の一部は裏 ビード形成に寄与しているが、 この場合には溶融池前面に深い固体面が形成されており、溶落ちの危険性が大きいのでこれを積極的に利用し難い。 また図 4.1 の(b)に示したように、表 ビード内で発生する幅広い横対流は、必ずしも裏 ビード形成に役立っていない。これらに対して前述のように低圧アークをノズル拘束した場合には、 電磁 ピッチ 力により板厚方向の湯流れが生じるとともに、表面流も方向転換によって板厚方向の溶込みを助長するので、湯流れによる裏 ビードの形成には当然のことながらもっとも適 した形であると判断されるが、事実以下に述べるように、これにより片面裏波溶接条件裕度は著しく拡大される。

図 4.5 は継手間げき(隙)を設けた突合せ継手を、各圧力条件下で溶接した場合の条件裕度を示すものである。大気圧では強力な プラズマ 気流の吹き落とし作用のため条件域は狭いが、低圧条件では著しく広くなっている。 図 4.6 および図 4.7 は、低圧 オープン TIG と ノズル 拘束 TIG とを走行速度、および継手間げきに対する条件裕度の観点から比較したものであるが、湯流れによる裏 ビード形成により条件裕度は、ノズル 拘束 TIG において著しく拡大されているのが明瞭にうかがえる。 なお図 4.6, 4.7 中の オープン TIG の場合に、大電流条件にもかかわらず不完全溶込みになっている領域 Bがあるが、 これは電流増大にともない表 ビードの表面流のみが強力になって幅広い溶込みとなり、溶込み深さがかえって減少した ためである。

以上に述べたように、 プラズマ 気流が微弱な低圧 r-ク において、 表側から裏側への湯流れ現象を制御・利用し、湯を媒介として入熱 を裏面に運ぶことにより、片面裏波溶接を大気圧条件より安定に行 なわせることを明らかにした。

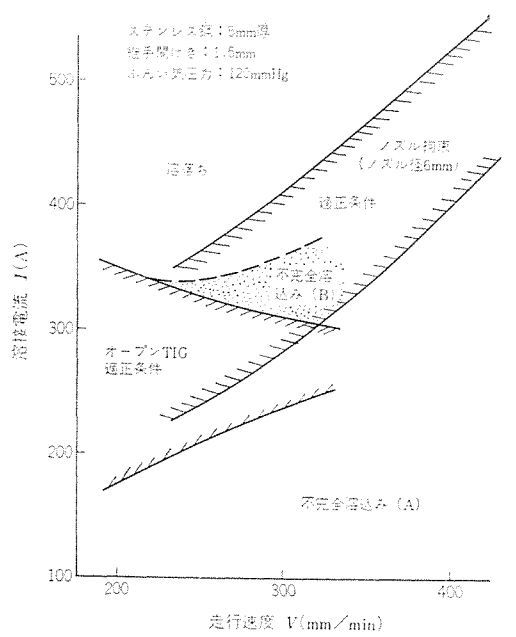


図 4.6 走行速度に対する オープン TIG と ノズル 拘束 TIG の 間げき継手の片面溶接条件

One side welding conditions of gap joint by open TIG and constricted TIG under various travel speed.

5. む す び

片面溶接の高速化には、 表 ビードの アンダーカット 防止および裏 ビードの安定化が技術上の問題になるが、これに対して プラズマ 気流が微弱で、しかも陰極直下に高温陰極域が形成される低圧 TIG アークの特性を適用できるとの考えのもとに研究を進めた。

まず大電流条件下の低圧 アークによる溶融池現象の観察を行ない, プラズマ 気流が微弱な低圧下では、表面張力および気流の摩擦力にも とづく表面流, および電磁 ピッチ 力にもとづく内部流の2種の湯流 れが溶込み形成の主体的因子となることを明らかにした。

ついで片面溶接の高速化の成否を支配する 表 ビードの アンダーカット について現象的に検討を行ない,表面張力流および気流の摩擦力による湯の後退,およびそれにもとづく固体面の露出が アンダーカット 形成の決め手となることを見出した。 さらに陰極域を ノズル で拘束することにより電磁対流を促進させる方策,トーチ前進角を設けて溶融金属を前方に押しやる方策,などによって固体面の露出を防止する

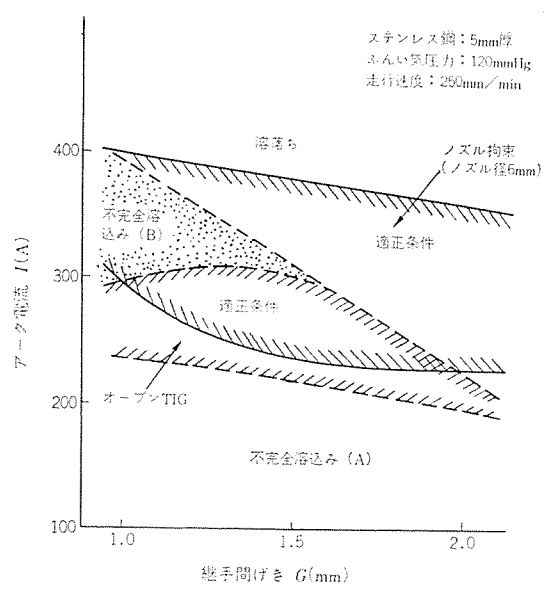


図 4.7 継手間げきに対する オープン TIG と ノズル 拘束 TIG の 片面溶接条件

One side welding conditions by open TIG and constricted TIG under various joint gap.

ことにより、10 m/min 以上の高速条件下でも正常な表ピードを形成させることができた。

さらに裏ビードの安定化については、 プラズマ 気流の微弱な低圧陰極域の特性の制御により、表面から裏面側への湯流れを促進させ、熱容量の大きい溶融金属を媒介としてァーク入熱を裏面に運ぶことにより条件裕度の拡大を可能にした。この場合、湯流れによる裏面側の溶融・拡大により溶融金属の温度が低下して、表面張力による保持力が増すこと、およびプラズマ気流の吹き落とし作用が微弱なこと、などの理由により大気圧条件よりも裏ビード形成を著しく安定化させ得た。

最後に本研究の遂行にあたり、大阪大学工学部 西口公之教授のご 指導を受けました。誌して感謝の意を表します。

参考文献

- (1) 山本ほか:三菱電機技報, 45, No. 6, 727~735 (昭 46)
- (2) R. A. Woods and D. R. Milner: Welding Journal, 50,No. 4, 163-S~173-S (1971)

各種試験法による絶縁材料の耐トラッキング性

平林庄司*•川上 剛*

Tracking Resistance of Insulation Materials According to Various Test Methods

Manufacturing Development Laboratory

Shôji Hirabayashi • Takeshi Kawakami

When organic materials used for insulation outdoor at high voltage, their tracking resistance with the changes of environmental conditions plays a vital part. This article describes the results of comparative studies on the tests of tracking resistance with a variety of materials. Investigation has been made on the surface temperature when the tracking occurs by using the dip track test method which is considered satisfactory. It has been revealed that this test represents very well the tracking phenomena anticipated from the chemical construction of epoxy resin. Also it has been attested that this method well corresponds to outdoor exposure tests conducted for five years.

1. まえがき

高分子材料を高電圧・屋外化に適用する場合、環境条件の悪化に伴い、絶縁材料の耐トラッキング性が重要になってきた。 これら材料の耐トラッキング性の試験法としては、 各種の試験法があり、学会の専門委員会でも検討され(1)(2)、IEC 法(3)、DIN 法(4)に準拠した方法が推奨されているが、 耐トラッキング性のすぐれた材料が開発され使用されている現在、必ずしもその評価能力および実際との対応性に関し満足するものではないのが現状である。ここでは、まず一般によく使用されている 各種耐トラッキング性 試験法を比較検討した結果について言及し、その結果、材料の耐トラッキング性 選別試験としては有用な方法であると考えられた、DIP TRACK 試験法(5)については、トラッキング破壊機構の解明の手段として、発生時の表面温度の検討ならびに化学構造上との関連性について検討した結果を述べる。さらに耐トラッキング性 判定基準の確立という観点から、これら材料の試験結果と、5年間の屋外課電暴露試験結果との関連性について検討した。

2. 各種耐トラッキング性試験法の比較

有機材料の耐トラッキング性試験方法はすでに約20年も前から種々提案されてきたが、まだ完全な方法が決定されるまでに至っていない。試験法としては、1)実際使用上の結果とよく対応する。2)再現性がよい。3)処理が簡単で短時間で得られる。4)装置、設備費が安い。などの要因が満足されるべきであるが、決定的な試験法が確立されない最大の理由は上記1)項で、実際使用条件時の複雑な現象を一つの試験法で推定できないためである。今回、これらの意味から代表的と考えられる下記の耐トラッキング性試験法の比較を行なった。

2. 1 電気学会標準法(3)

IEC 法に準拠した方法で、電解液 50 滴で破壊する電圧を比較 トラッキング 指数 (CTI) とよび、トラッキング 性を表示するもので、CTI 600 以上は評価不能である。この方法は、再現性もよく世界で広く採用されている試験法であるが、一般に評価能力がせまいといわれている。

2. 2 電気学会簡易法(1)

電解液を 100 滴まで滴下し,破壊までの滴下数で判定する。DIN・KA 法(4) に準じている。 すなわち $1\sim10$ 滴でトラッキッグ 破壊するものは, KA2,101 滴で破壊しないものは, 最大浸食深さで KA3a(2 mm 以上),KA3b($1\sim2$ mm),KA3c(1 mm 以下)と判定するもので,試験は簡便であり 3-0ッパでは非常に古くから採用されている試験法であるが,やはり評価能力は低いとされている(20)。

2. 3 Dust/Fog 法(8)

試料表面に合成 ダスト をふりかけ、 スプレー により雨をふらせ破壊までの時間で判定する方法で、実際との対応のよい方法とされている。しかし試験の調節がめんどうで、評価時間もかかるという欠点がある。

2.4 高電圧小電流耐アーク性試験法(7)

通電電流,通電間隔等,エネルギーを変えて放電させ,アークで試料表面が炭化するまでの時間で判定するもので,他の試験法のように不純物,もしくは電解液等で表面を汚損させて シンチレーション を中心に トラッキング を起こさせる, いわゆる湿った状態での試験法とは異なり, Dry arc による方法であるが,トラッキング試験法としても相当広く用いられている。

2. 5 Differential Wet 法(8)

小さな試料に 1.5 ¢ のきり穴をあけ、その小孔に毛細管現象により上ってきた電解液と電極間に放電させ、その放電 エネルギーを順次上げていき、破壊時の電力 レベル と時間 WT(Watt Minute Tracking Index) で判定する。

2. 6 Dip Track 法(5)

図2.1, 2.3 に示すように、試料片に45°の角度でとりつけた1¢の 二200 4線を高圧側電極とし、低圧側電極である電解液(0.1% NH4Cl+表面活性剤0.5%)に4rpmの早さで上下に浸漬する。判定は回路抵抗を一定(30 kΩ)に固定した条件で、電圧一破壊浸漬特性を求め、平均25回で破壊する電圧をDip Track Volt として表示し判定する。この方法は電極間隔がかわり、間隔のせまいとき、すなわち、二200 4線が液に出入りする際に放電が生じ、距離がある程度はなれると、表面にシンチレーションが起こるといった、放電とシンチレーションの両方が試料に加わり、評価範囲、試験時間、再現性も比較的良い。なお、Dip Track 試験条件そのものは統一されていな

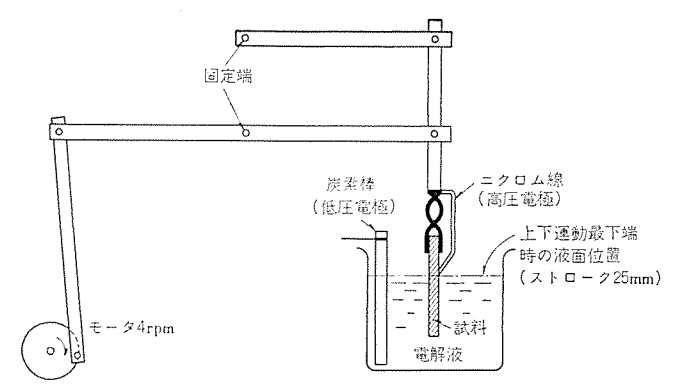


図 2.1 Dip track 法の機構部 Mechanical schematic of Dip track test method.

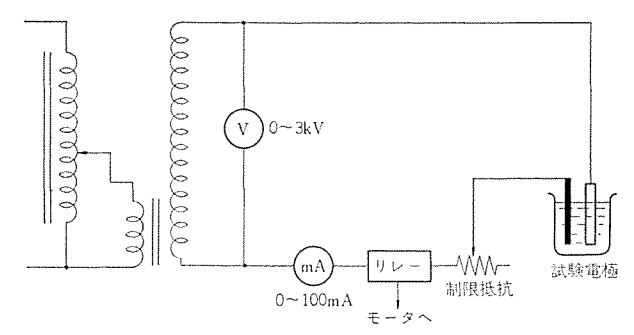


図 2. 2 Dip track 法の回路図 Electrical schematic of Dip track test method.



図 2. 3 Dip track 法電極 Electrodes of Dip track test method.



図 2. 4 Dip track 法測定装置 Measuring equipment of Dip track test.

表 2.1 各種試験法による耐トラッキング性 Tracking resistance of insulation materials according to test of various types.

Г			耐	トラッ	, キ ン	グ性	
	就 料	学会標準法 IEC (C. T. I.)	簡易法 DIN	DIP 法 (kV)	DUST & FOG 法 (hour)	WET 法 (Watt- min)	ASTM 耐アーク (s)
熱	フェノール	120	KA ₁	1.0	0.1	0.093	6
破	紙-メラミン	>600	KA3c	>3.0	3.8	0.867	73
化化	ガラスーメラミン	595	KA3c	2.3	3.5	2,74	182
世	ガラスマット ポリエステル	375	KA_2	1.8	9.8		
材	エポキシーガラス	150	KA ₁	1.0	0,4	0.105	12
料料	シリコン - ガラス	585	KA3c	2.0	1.5	1.8	245
43	プリミックス	>600	KA3c	2.4		1.46	183
熱	P V C	>600	КАзь	0.7	0.7	0.187	6.7
熱可塑性材料	ポリスチレン	365	KA_2	1.5	0.3		95
性	ポリエチレン	378	KA_2	1,5	0.3		95
料	ポリカーボネイト	260	KA_1	0.7	0.2	0.348	51
	828/DDM	>600	KA3c	0.9	0.15	0.0413	32.4
エポ	828/MNA	>600	KA3c	1.5	0.16	0.086	10.4
丰	828/DTA	>600	KA3e	2.4	1.8	0.174	82
シ樹	828/HHPA	>600	KA3c	2.9	2.0	0.175	98.2
脂	CX 206/HHPA	>600	KA_{3e}	>3.0	>1,000		
	CY 175/HHPA	>600	KA _{3e}	>3.0	>1,000		

くて、種々検討され報告されているが⁽²⁾、当社では、表面のぬれの効果として、表面活性剤(アルキル ナフタレン スルホン酸 ソーダ)0.5 % 添加することにより、データの パラツキ が少なくなり評価能力が上ること⁽³⁾、回路電流についても、各電圧で 30 mA に調節する、いわゆる定電流方式で評価しているという報告もあるが⁽¹⁰⁾、回路抵抗を一定 (30 kΩ)にした定抵抗式、測定操作が簡単なうえ、試験電圧による放電 エネルギーを大きくとれる点、また、電圧一浸漬回数曲線の立上りが急激なためトラッキング電圧が求めやすい長所があり⁽¹¹⁾、上記試験条件による本方式を、昭和41年より当社の材料の標準耐トラッキング性 選別試験法として採用している。装置の写真を図 2. 3, 2. 4 に示す。

各種試験法による各材料の試験結果を表 2.1 に示す。この結果よりわかるように、ここで取り上げた試料の数も多いとはいえないし、また、トラッキング性も、良好なものから悪いものまで一様に網羅していなくて、比較的トラッキング性の悪いものが多くて、明確な関係は見出せていないが、大略の傾向は認められる。すなわち、Dust/Fog 法が実用との対応がよいと仮定して、本方式を基準に各試験法を比較すると、学会標準法は評価される最高のトラッキング性を示すCTI 600以上の材料でも、シクロ系 エポキシを除けば、Dust/Fog 法で0.15~数時間程度であり、評価範囲はせまい。学会簡易法も同様で、Dust/Fog 法で簡単にトラッキング破壊を起こしてしまう材料でも、トラッキング発生なしと判定され、その評価能力は低い。

耐ァ-ク性 試験結果も耐ァ-ク性の非常に弱い材料については、特に問題はなく、かなりよい対応を示すが、 Dust/Fog 法で数時間程度の耐トラッキング性を有する材料になると、耐ァ-ク性結果とトラッキング性との関係は薄いように思われる。 湿潤汚損状態で使用される場合のトラッキングに対して、これらのドライア-クによる結果との関連性は少なく、この試験法で判定すべきではないとの報告があるが(12)、筆者も同意見である。

Differential Wet 法と Dust/Fog 法との間には,

[Dust/Fog 法(hours)]0.73

=[0.55×Differential Wet 法 (Watt-minute)]4

という関係があるとの報告があり⁽¹³⁾、また、他の文献でも屋外暴露 との関連性がよいことが報告されている⁽¹²⁾。今回の データ のかぎり では、 かなりよい対応がみられるようであるが、 比較的 トラッキング 性の悪い材料のみであるので、さらに検討の必要があろう。

Dip 法と Dust/Fog 法との関連を図 2.5 に示す。図から明らかなように、 また データ 不足の点と、評価能力が少し狭いのではないかという感じはするが、比較的良い対応が得られている。

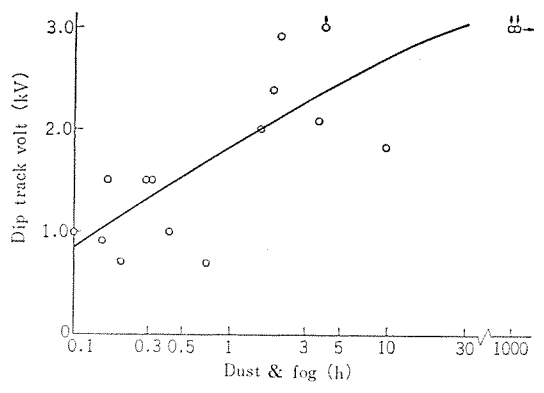


図 2.5 Dust & Fog 法と Dip track との関係 Relation between Dip track voltage and Dust/Fog hours.

3. Dip Track 法による検討

3.1 表面温度の測定

トラッキングの発生が、熱分解による炭化反応だけでなく、汚染物、水分などの触媒効果、荷電粒子によるふん囲気中の分子の励起など、種々の要因がからんでいるが、主体はあくまで熱分解であろうと考えられるので、インフラビジョン(IRV)で直接試料表面温度を測定した。測定原理は図 3.1 に示すように、温度を有する物体からの赤外線を対物鏡で検出器に集めて電気量に変換するもので、性能は次のとおりである。

検出器:

InSb

使用赤外線波長: 2~5.5 μ

瞬間視野:

約 1 ミリラジアン (固定測定: 1 mm)

測定温度範囲:

常温~800℃

試料表面がわずかにぬれている状態であるにもかかわらず, Dip 法では、最高 575℃ に達しており、有機材料の炭化温度(300~500 ℃)を越えており、炭化が材料の熱分解温度により決まるという考え方(14)をまつまでもなく、炭化するに十分な高い温度になっている。Dip 法によるトラッキング 発生は、 測定個所の最高温度付近のみでなく、周辺の シンチレーション 部でも トラッキング は発生しているが、その

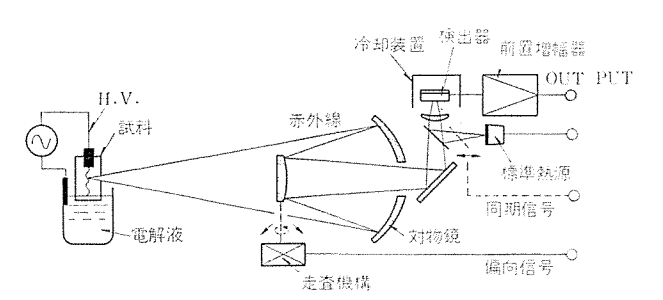


図 3.1 IRV 原理図 Diagram of IRV

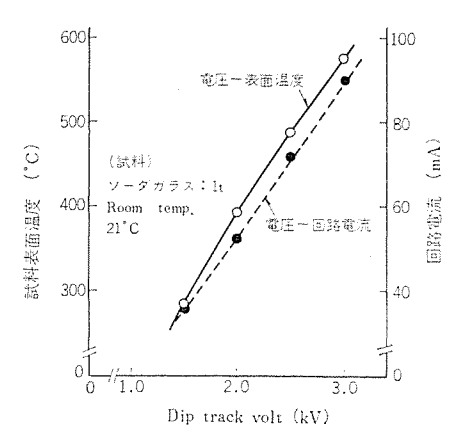


図 3.2 Dip track 電圧と表面温度の関係 Relation between Dip tracking voltage and surface temperature.

発牛個所が安定しないためもあって測定は行なっていない。

3. 2 エポキシ芳香環と Dip 法との関係

Parr らは⁽¹⁵⁾、トラッキング性を化学的な見地から、有機絶縁物の結合 $_{1}$ ネルギー($_{2}$ $_{4}$ $_{4}$ $_{6}$) を、炭化されやすい結合 ($_{3}$ $_{4}$ $_{6}$ $_{7}$) とにわけ、 材料の原子団から炭素が脱出することの難易さから、すなわち、 $_{3}$ $_{4}$ $_{4}$ $_{4}$ $_{6}$ $_{7}$

そこで、草川、橋本氏らは $^{(16)}$ 、エポキシ 芳香環と トラッキング 性の関係を、前記した 2.1 節の学会標準法と、2.6 節の D ip 法を用いて検討した。用いた材料組成、配合および芳香環数、 2

表 3.1 エポキシ 樹脂試料の組成 Effect of formulation of epoxy resins.

排活		3 年	相	i ø	3	トラッキ	トング性
No.	エピクロン 200	エピクロン 400	PA	ННРА	DY-065	芳香環數	∆He/ ∆Here
1	100(Wt)	-	80(Wt)	-	5(Wt)	36.6	0.470
2	70	30	80		5	32.1	0.456
3	30	70	80	<u></u>	5	26.9	0.438
4	_	100	80		5	22.8	0.424
5	100		56	24	5	29.9	0.445
6	100		24	56	5	20.6	0,406
7	100		_	80	5	13.8	0.382
8	70	30	56	24	5	25.3	0.431
9	30	70	24	56	5	11.0	0.377
10		100	****	80	5	0	0.366

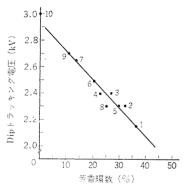
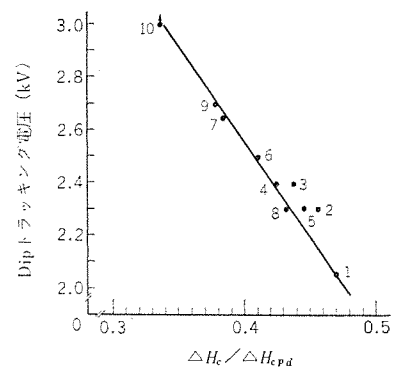


図 3. 3 芳香環数と Dip トラッキング 電圧の関係 Dependence of Dip tracking voltage on amount of aromatic rings.



図_3. 4 $\Delta H_c/\Delta H_{cpd}$ と Dip トラッキング 電圧の関係 Dependence of Dip tracking voltage on $\Delta H_c/\Delta H_{cpd}$

ち硬化した \mathbf{I} ボキシ 樹脂の トラッキング性は、芳香環の数によって耐トラッキング性の高いものから、低いものまで得られる。 逆にいえば、図 $\mathbf{3}$. 4 の関係から、必要とする トラッキング性を有する \mathbf{I} ボキシの配合は、 $\Delta H_c/\Delta H_{cpd}$ を計算することにより、 あらかじめ設計段階で コントロール できることになる。 なお、学会標準法とこれら芳香環数や $\Delta H_c/\Delta H_{cpd}$ の関係については、紙数の都合で割愛するが、 データのばらつき、評価順位、評価能力の広さの点より \mathbf{D} ip 法にくらべて分っている \mathbf{G} 160。

4. 屋外暴露試験と耐トラッキング性試験との対応性

各種絶縁材料の耐トラッキング性寿命のはあく(把握), 材料の耐トラ ッキング性 試験結果と実用との対応性、ならびに、耐 トラッキング性 判 定基準の確立を目的として、昭和43年6月より屋外暴露試験を実 施し、現在5年経過している。設置場所は神戸で、海岸より500m, 地上より19mの位置にあり、南向き(南側に海がある)に試料を 約110本設置している。屋外暴露試験状況の写真を図4.1に示す。 試料形状は図4.1 に見られるとおり丸棒状で、垂直に保持し、電 極間隔 100 mm に 6.6 kV rms を印加している。 ここで報告する試 験期間中(43-6-3~48-6-3 までの5年間)の平均雨量は,3.2 mm/ day, 降雨ひん度は 0.47 であった。なお、降雨ひん度は、雨量計で 計測できない程度の雨が降った日も計算に入れてある。試験開始約 半年後のパイロットがいし(碍子)の付着物は、SO4--11.5 µg/cm², Cl-4.5 μg/cm², その他, じんあい, 土砂, 鉄粉 (Fe₂O₈) などであ るが、付着物は測定する時期に関係するので(すなわち、雨により 洗い流されてしまうので) この値が必ずしも最大の値を示している かどうかは不明である。

供試試料ならびに試験結果を表 4.1 に示す。本試験に用いた 20 ロプレンゴム は、高圧引下げ線で、この材料は塩害地域で約1年程度で トラッキッグ 破壊して使用できなくなったという事故統計報告(IT)があるし、電線会社の屋外暴露試験にも供試されてあり、当方の試験条件を判定する基準として、とり入れたものである。この材料は本試験では平均 26 日でトラッキッグ 破壊しており、実用状態よりかなりシピアであると考えられる。

電気学会法と屋外暴露結果を比較して図 4.2 に示す。 これからわかるように、比較トラッキング指数 (CTI) 600 以下のものは暴露 260 日以下で必ず破壊している。しかし、CTI 600 以上の材料では、5 年経過してもまだトラッキングの発生していない材料もあるが、 一方では、数十日でトラッキング 破壊しているものがあり、 材料の評価との対応性はよくない。

Dip 法と屋外暴露試験の関係を図 4.3 に示す。図中、ビスフェノール A系のトラッキング性の悪いレジンと、耐トラッキング性の良好なシクロ 系 エポキシのブレンド系で、しかも充てん(塡)剤入りの試料については、Dip 法で評価したものより、平均的に暴露試験の方が結果的に良好な傾向を示しており、一方、ガラス基材入りの試料は、Dip 法で評価した結果より悪い結果を示している。前者は長期の暴露試験の場合、エネルギーの集中度、持続性が Dip 法より少ないため、耐トラッキング性の良いレジンや充てん剤の バリヤ効果が良い方向に寄与し、一方、後者の場合、表面層の樹脂が、メラミンやシリコンのかなり良好なトラッキング性を示す材料のため、表面樹脂の効果が、Dip 法には強く現われ、長期の暴露試験に対しては、樹脂の種類よりも、ガラス繊維と樹脂の界面、すなわち、ガラス繊維の収束剤の効果が強く出てきているものと考えられる。これらの点は、Dip 法の評価が、浸漬回数 25~

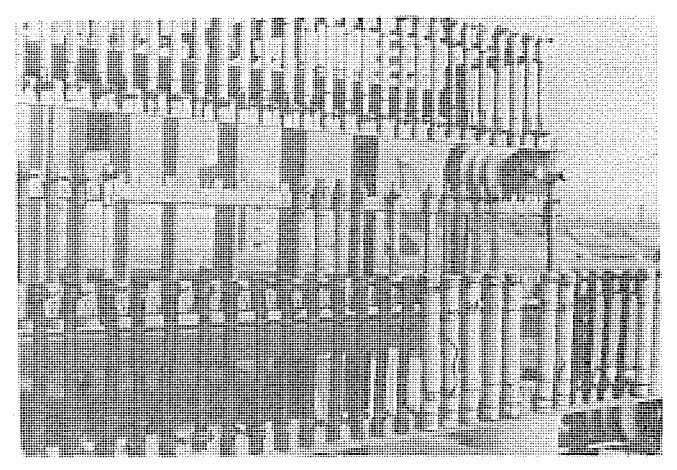


図 4.1 屋外暴露試験状況 Out-door exposure test.

表 4.1 耐トラッキング性試験法と屋外暴露試験法の関係 Relation between tracking resistance tests and out-door exposure test.

	試 料	学会標準法 (C. T. I.)	DIP 法 (kV)	暴露日數 (days)
	ビス A・シ クロ*	>600	1.8	439
I	ビス A・シ クロ*	>600	>3.0	>1,825
ボ	ビス A・シクロ*	>600	>3.0	>1,825
ポキシ	ビス A・シクロ*	>600	1.6	>1,825
注形	у У п*	>600	> 3.0	>1,825
品	ビス A (828/HHPA)	>600	2.9	1,150
	ビス A (828/MNA)	>600	1.5	124
含	シ ク ローガ ラ ス	>600	>3.0	>1,825
含漫	ビス A-テトロン	>600	1.1	6
	ビス A - ガ ラ ス	130	1.3	24
積	メラミ ン-ガラス	590	2.4	318
層	シリコン-ガラス	580	2.2	113
品	フェノール-ベーバ	130	1.2	71
""	ガラスマットポリエステル	310	1.8	179
成	ダ ポ ン	>600	2.4	>1,825
形	プリミックス	>600	2.4	>1,825
	P V C	>600	0.7	37
=	クロロブレン	280	1.1	26
١.	E P T	>600	>3.0	>1,825
	ブ チ ル	>600	>3.0	>1,825

4本の平均値 🚋 * 充てん剤入り

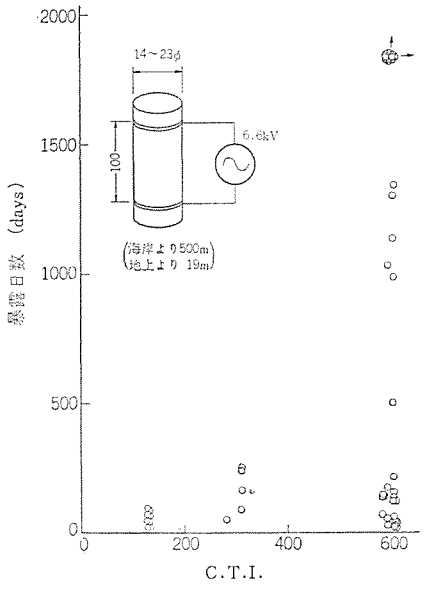


図 4.2 学会標準法と暴露日数の関係 Relation between C.T.I. and out-door exposure time.

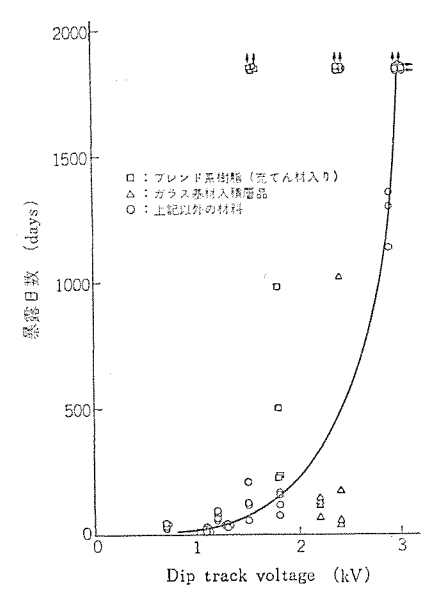


図 4.3 Dip track 法と暴露日数の関係 Relation between Dip tracking voltage and out-door exposure time.

50回,試験時間にして、6分~13分という短時間で評価しているためであろうと考えられるので、これら不均質な材料の場合、さらに浸漬回数をふやした試験条件を採用することにより、よりよい対応が得られるものと考えている。しかし、これら不均質材料の対応を別とすれば、一般のいわゆる均質材料のDip法と暴露試験との間には、非常に良好な対応性が認められ、この試験環境条件ならば、Dip法で3.0 kV の Dip Tracking 電圧があれば、トラッキング性は良好と考えてもよいと思われる。

絶縁材料のトラッキング性に関する、屋外暴露試験との関連性については、現在もこの暴露試験を継続実施するかたわら、異なった汚損環境条件との関連性、電圧、電界条件の異なった場合の対応性、耐トラッキング性の基準の考え方などを、さらに検討するため、あらたに5カ所の屋外暴露試験を設置すると共に、要因検討のため塩水噴霧試験を行なうべく準備中(一部開始)である。稿をあらため報告したいと考えている。

5. む す び

絶縁材料の各種トラッキング性試験法の比較と、この結果比較的良好な結果を得たDip法について、その表面温度を検討し、この方法がエポキシ樹脂の化学構造から考えられるトラッキング性をよく表現し、かつまた、実際の屋外暴露試験との対応も比較的良好であることを示した。 材料のトラッキング性試験としては、電解液滴下法による、いわゆる シンチレーション を主体とした評価法では評価能力が低く、か

つ対応性も劣る。しかし、汚損、湿潤のない Dry アーク による トラッキング 性評価は、実用の汚損、湿潤状態における トラッキング とはよく 対応しない。 結局、湿った状態で アーク と シンチレーション が混在する 形の評価法がよいように思われる。

しかし、実際使用条件時の複雑な現象を一つの試験法で適確に推定することはむずかしく、あくまで、材料の第一次選択試験と考えるべきで、最終的な信頼性の確認には、屋外暴露試験が必要だと考えている。

耐トラッキング性判定ならびに基準の確立には、これら材料のトラッキング性試験と、実際の屋外暴露試験との対応性のデータの蓄積が必要だと考えるが、その意味でご参考になれば幸いである。

高電圧化,汚損条件の多様化にしたがい,さらにこれら環境条件に対する耐トラッキング性は重要となるので, 今後さらに検討を進めていく所存である。

おわりに, ご指導, ご協力をいただいた関係各位に厚く御礼申し 上げます。

参考文献

- (1) 電気学会技術報告(I)部第82号(昭42)
- (2) 電気学会技術報告(I)部第86号(昭43)
- (3) IEC Publication 112 (1959)
- (4) DIN 53480 (1964)
- (5) C. F. Wallace, C. A. Bailey: IEEE, Summer Power Meeting, No. 31, 66~360 (1966)
- (6) ASTM, D-2132-62 T (1962)
- (7) ASTM, D-495 (JIS K-6911)
- (8) ASTM, D-2302-64 T (1964)
- (9) 原、川上:耐トラッキング性試験法専門委資料、No. 165 (昭 41-10)
- (10) 古沢:耐 トラッッキンク 性試験法 専門委資料, No. 202 (昭 42-2)
- (11) 原, 川上:昭和42年電気学会連大, 488
- (12) M. Kurtz: IEEE, Trans. Elect. Insul., El-6, No. 2, 76~81 (June, 1971)
- (13) L. Mandelcorn, G. M. Sommerman: Tech, Paper of Elect. Insul. Conf., p. 91 (1963)
- (14) R. Wilkins, M. J. Billings : PIEE, 116, No. 10, 1707∼ 1784 (Oct., 1969)
- (15) D. J. Parr, R. M. Scarisbrick: PIEE, 112, 1625 (1965)
- (16) 草川, 橋本: Mitsubishi Denki Laboratory Reports, 10, No. 3/4
- (17) 電気協同研究, 20, 第1号 (昭39-3)

カルシア一アルミナ系ガラスの封着性能

河原一雄*•西楽隆司*•岡本礼二*

Sealability of Calcia—Alumina System Glass

Manufacturing Development Laboratory

Kazuo Kawahara • Takashi Nishiraku • Reiji Okamoto

Sealing off an object with glass-ceramic is relatively simpler than other techniques. The properties of calcia—alumina glass and its crystalized forms have been studied by measuring their density, mechanical strength and coefficients of thermal expansion to observe the crystalline phase and to perform X-ray diffraction and differential thermal analysis. As a result importance has been perceived of the sealing condition. Regarding the stability of the seal against sodium vapor, interesting results have been obtained through the measurement of electrical conductivity and of the thickness of a corroded layer with glass. As the application sealing of the ends of an arc tube of high pressure sodium lamp has been accomplished with a satisfactory result.

1. まえがき

ガラス を含めた セラミック 対 セラミック 対金属の封着には種 本の方法があるが、金属を介在させる封着法は工程が複雑になりが ちなのに対して、ガラスを使用する封着は多種の セラミック と表面処理 された金属とが良く馴じみ、1回の加熱工程で封着が完了するという大きな長所を有している。この簡便さのため低温領域においては、低融点 ソルダガラス が広く使われこれに関する報告も多い。 近年前述のような ガラス による封着の手軽さと、ガラス 組成を変化させることによって被封着体の熱膨張係数に合せ得る利点により、高温領域にも高融点の封着 ガラス が各所に用いられるようになった。

高融点と言っても厳密な境界があるわけでなく,600~700℃以上で用いられるものが、一般に高融点ガラスと呼ばれている。

封着材料としての ガラス に要求される特性として

- (1) 被封着体の変形, 変質温度より低い温度で ガラス が軟化すること
 - (2) 被封着体に良くぬれなじむこと
 - (3) 封止部が気密に保たれること
 - (4) 熱膨張係数が被封着体に一致するか近接していること
 - (5) 長期間にわたって安定であること
 - (6) その他使用される場所の要求に応じて
 - (a) 耐熱性

1

- (d) 電気的特性
- (b) 機械的強度
- (e) 化学的特性
- (c) 耐熱衝擊性
- (f) 耐放射線特性

などを考慮に入れなければならない。

 $CaO-Al_2O_3-MgO-BaO$ 系 $f_{\it j}$ $_{\it j}$ $_$

2. 実験方法

M-1763 ガラス の熱処理前後の密度測定, X線回折, 結晶組織の観察, 示差熱分析, ボタンフローテスト, 熱膨張係数の測定, 抗折強度測定, 耐 ナトリウム 蒸気性の検討, 封着体の評価試験を行ない, 比較検討した。

2.1 試料

2. 1. 1 M-1763 ガラス

調合された原料粉末を白金製のるつぼに入れ、1,550°Cの電気炉内で溶融したのち、急激に冷却してガラスを得た。溶融は酸化ふん囲気で行なった。以下の実験で棒状の試料を必要とする場合は、このガラス塊から適宜切り出して用いた。

2.1.2 結晶化ガラス

2.2 密度の測定

5 mm×5 mm×10 mm の試料を各3 個ずつ準備し, 乾燥重量と水中重量を測定して見かけ密度を算出した。 測定は 0.1 mg の単位まで行なった。

2.3 X線回折

 $74 \, \mu \mathrm{m}$ 以下の粉末を用い, $9 - f \cdot \mathrm{p} \cdot \mathrm{l}$: Cu , $7 \cdot \mathrm{n} \mathrm{l} \cdot \mathrm{N} \cdot \mathrm{l}$ 加速電圧 $40 \, \mathrm{kV}$,電流 $20 \, \mathrm{mA}$ の条件で X 線回折による生成結晶の同定を行なった。装置は島津製作所製の X 線回折装置 VD - l を用いた。

2.4 結晶組織の観察

5 mm 角の試験片を樹脂に埋め込み、#800 のサンドペーパで研磨後、10 %の熱燐酸で5分間エッチングした表面を金蒸着して走査型電子顕微鏡により観察した。装置は日本電子 KK の走査型電子顕微鏡 JSM -2 である。

2. 5 示差熱分析

74 μm 以下の粉末を白金 セル に入れ, 標準 サンブル を空気として,10℃/min の上昇速度で示差熱分析を行なった。装置は島津製作所製の示差熱分析装置 DT-1 A である。

2.6 ボタンフローテスト

M-1763 ガラス を 74 μm 以下に粉砕し、 その 1 g を直径 16 mm,

厚さ 2.6 mm に圧縮成形して、この外径が温度と共にどのように変化するかをみて、粘性流動特性を調べた。基板には、混成集積回路用のアルミナ磁器板を用い、加熱は真空炉中で行なった。最高温度での保持時間は5分間とした。

2.7 熱膨張係数の測定

 $3 \text{ mm} \times 3 \text{ mm} \times 20 \text{ mm}$ の試験片を作り、5イツ社の UBD 型 熱膨張測定装置により熱膨張係数を測定した。

2.8 抗折強度の測定

5 mm×5 mm×25 mm の角棒を各5 本ずつ準備し、 表面を研磨後、30 %の硝酸中に5 分間浸漬して表面の傷を除去した。 スパン間隔 20 mm, 一点荷重法により アムスラ 万能材料試験機で 抗折強度を 測定した。

2.9 耐ナトリウム蒸気性

化学的安定性のうち, ナトリウム 蒸気に対する安定性を調べるため, ナトリウム に侵食された試験片の電気伝導度 と 拡散層の厚さの変化を 測定した。

2.9.1 試料の作製

 $3 \text{ mm} \times 3 \text{ mm} \times 15 \text{ mm}$ の試験片の表面を \sharp 800 の サッドペーパで研磨して,別に準備した外径 6 mm,肉厚 0.75 mm,長さ 100 mm の一端を閉じた ニッケルパイプに,各 2 本ずつ入れた。内部を排気後,窒素ふん囲気中で 14 mg の ナトリウム (固体) を入れ(各実験条件で Na が過飽和になる量である), さらに排気して ニッケルパイプ の他端を チップ した。取扱いを容易にするため試験片の入った ニッケルパイプ を直径 12 mm の石英管を試料容器とし排気後封止した。

このようにして作った試料を各温度に設定した電気炉内に入れ、 所定の時間だけ保持した。処理の終わった試料はアルゴンふん囲気中 に置き、石英管とニッケルパイプを破ってナトリウム蒸気に接触した試験 片を取り出し、表面をアルコールで洗浄した。

2.9.2 電気伝導度の測定

ガラスの電気伝導度を測定するため、図 2.1 のとおり銀ペーストを 途って電極とした。リードにはアルミニウム 箔を用いた。

直流安定化電源を用い、印加電圧は、 $1,400^{\circ}$ C 処理 f_{52} の場合 2 V、 $1,500^{\circ}$ C 処理 f_{52} の場合 10 V とし、10 秒後の電流を読みとった。電流計は、 $3\mu\mu$ A~50 mA まで切り換えられるようにした。極性を逆にした場合も読みとり、両方の数値を平均して試料の値とした。試料のふん囲気は μ D で温度は室温で測定した。

2.9.3 拡散層の厚さの測定

電気伝導度の測定を終わった試験片を切断し、 ナトリウム 拡散層の 厚さを測定した。 測定は ユニオン 光学社製の工場用測定顕微鏡 SMZ -50 によった。

2.10 封着体の試験

M-1763 ガラス の適用例と してこの ガラス を高圧 ナトリウムランプ の発 光管端部封着に用いた封着体の評価試験を行なった。項目として, 封着部の外観目視検査, リーク試験, 熱衝撃試験を取りあげた。

2.10.1 封着体の作り方

図 2. 2 に示す発光管端部の間げき (隙) に、M–1673 $_{552}$ の粉末を塗りつけ、真空炉内で加熱して封着した。

2.10.2 外観検査

目視によりガラスの流れ具合を判定した。

2.10.3 リーク試験

ヘリウムリーク 試験機により封着部の リーク の有無を検査した。

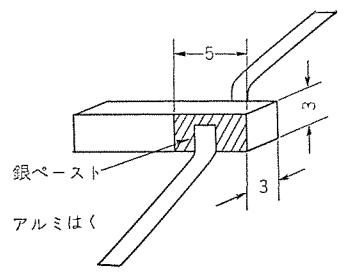


図 2.1 電気伝導度測定用試料の形状 Size of specimen for electrical conductivity measurement.

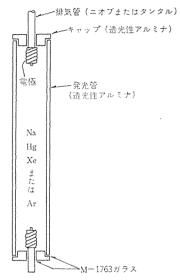


図 2.2 高圧 ナトリウムランプの発光管 Arc tube of high pressure sodium lamp.

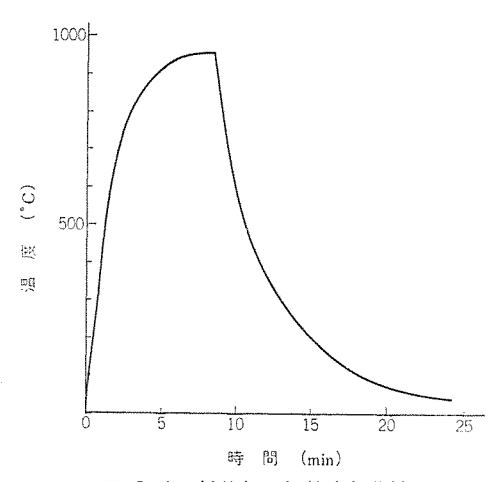


図 2.3 封着部の加熱冷却曲線 Heating-cooling temperature curve.

2. 10. 4 熱衝擊試験

上下することのできる炉を準備して石英管内に入れた封着体に熱衝撃を与え、劣化状態を リーク の有無により評価した。 加熱冷却曲線は図 2.3 のとうりであった。

3. 実験結果と考察

3.1 密度

未処理 $\it f$ $\it f$

ることがわかった。一方,各生成物の密度の文献値は $C_{12}A_7$ が 2.69 g/cm³ (1),CA が 2.98 g/cm³, C_3 A が 3.00 g/cm³ (3)である。 したがって熱処理温度が高くなるに従い,高密度の結晶が折出する様子は密度測定によっても確かめられた。

3.2 X 線回折結果

図 3.1 に X 線回折結果を示している。 各熱処理温度における析出結晶の違いは、 CaO-Al₂O₃ 成分系の状態図⁽²⁾と一致している。 1,500°C でもまだかなりの ガラス 相が結晶相を包む マトリックス として存在することがわかった。 熱処理温度の違いによる CA の折出量をピーク 高さで比較して みると、 1,500°C 熱処理の結晶化 ガラスでは 1,400°C 熱処理のものに比べ、約 1.5 倍となっている。 高温になるに従い CA 量が増加することを示している。

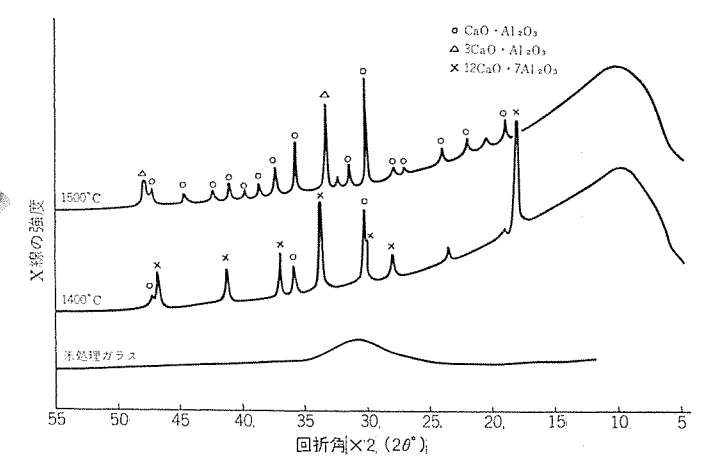


図 3.1 M-1763 ガラスの未処理品と熱処理品のX線回折図X-ray diffraction patterns of original and heat-treated glass.

3.3 結晶組織の観察結果

図3.2 は試料表面の走査型電子顕微鏡写真である。 未処理 ガラス には結晶相は存在しないが、 熱処理した結晶化 ガラス は比較的均一 な結晶相となっている。 1,400°C 熱処理のほうが結晶が大きく凹凸 から判断すれば ガラスマトリックス 量も多いようである。 高温で結晶が小さくなるのは析出結晶が異なることと結晶の焼結が進み始めるためと解釈できる。

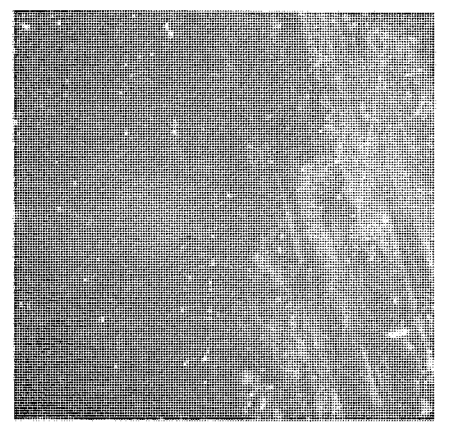
3.4 示差熱分析結果

3.5 ボタンフローテスト結果

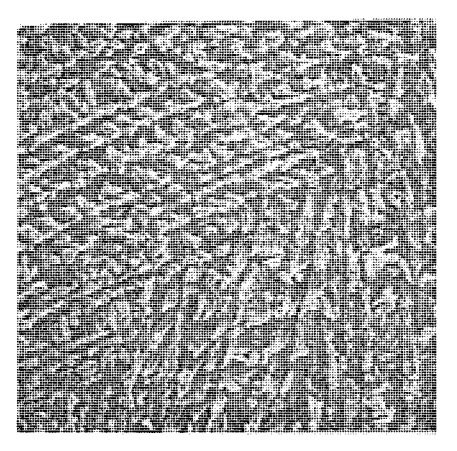
熱処理温度に伴なう直径の変化を図 3.4 に示した。 直径が約 2 倍になる温度で,良好な気密封着が得られるという報告(6)があるが,M-1763 ガラス の場合,元の直径の1.3 倍になる温度でも高純度 アルミナ 磁器を封着するのに好結果を得ている。流動性が温度に対して鈍感なことは,封着条件の管理上好ましいともいえる。

3.6 熱膨張係数の測定

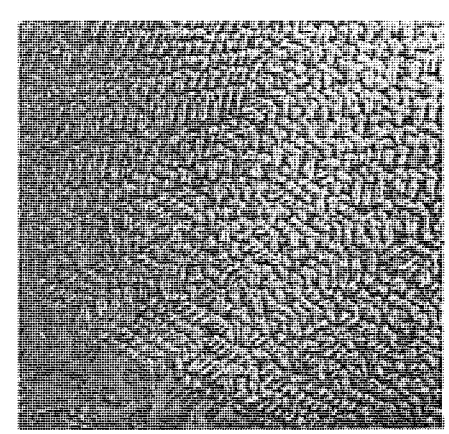
 $50\sim600^{\circ}$ C の範囲における熱膨張係数は、未処理 75スが 81×10^{-7} $6eg^{-1}$, $1,400^{\circ}$ C 熱処理のものが 63×10^{-7} $6eg^{-1}$, $1,500^{\circ}$ C 熱処理のも



処理前



1400°C 処理



1500°C処理

, 100µ

図 3.2 走查型電子顕微鏡写真

Scanning electron micrographs of glass.

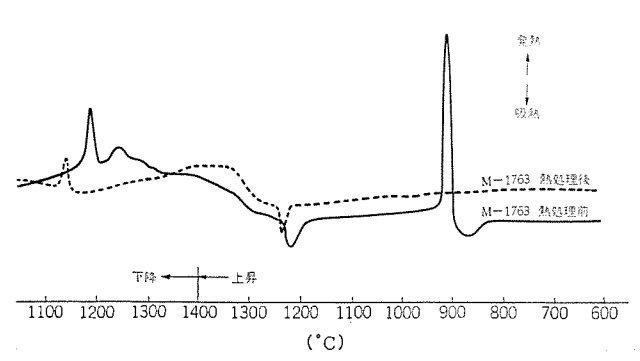


図 3.3 ガラスの示差熱分析曲線 D. T. A curves of glass.

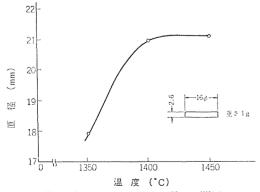


図 3.4 ガラスの流動性と温度の関係 Fluidity of glass vs. temperature.

のが 71×10^{-7} deg $^{-1}$ であった。 結晶化 ガラス の熱膨張係数は アルミナ 磁器や タンタル, ニオビウム などの金属と比べて小さいようであるが、被封着体の外側に塗布される場合には磁器のうわ薬についても知られるとおり、かなり小さい方が好結果を生むものである。

3.7 抗折強度の測定結果

計算はよく知られる次式に従った。

$$\sigma = \frac{3}{2} \cdot \frac{Wl}{bh^2}$$

とこで σ : 応力,W: 全荷重,l: 2パン 間隔,b: 試料の幅,h: 試料の厚さである。未処理の f_{52} の強度は $7.1\,\mathrm{kg/mm^2}$, $1,400^{\circ}\mathrm{C}$ 熱処理のものは $7.5\,\mathrm{kg/mm^2}$, $1,500^{\circ}\mathrm{C}$ 熱処理のものは $3.7\,\mathrm{kg/mm^2}$ で高温処理のものは約 $1/2\,\mathrm{c}$ 低下することがわかった。元の f_{52} および $1,400^{\circ}\mathrm{C}$ 熱処理の f_{52} の強度は,一般の f_{52} 強度と比較して 平均以上ということができる。

表 3.1 に M-1763 ガラス の熱処理前後の主な性質を比較した。

3.8 耐ナトリウム蒸気性の結果

図3.5 にナトリウム 蒸気中での処理時間一定(16 時間)で、温度を変数とした場合の電気伝導度とナトリウム 拡散層の厚さの変化を示した。概して1,500°C 熱処理品は、1,400°C 熱処理品に比べて耐ナトリウム性にすぐれていることがわかる。しかし1,400°C 熱処理品の厚さの変化は900°Cを過ぎるくらいまでわずかである。この曲線の傾向は、他の耐ナトリウム性ガラスについて測定された報告(4)と良く一致している。 拡散層を含んだガラスの電気伝導度と厚さの変化とは同じ傾向にはなく、高温になるに従い電気伝導度の上昇率が鈍っている。これは高温度でのガラスの結晶化の促進によりガラスマトリックスの組成が変化し、ガラス修飾酸化物とガラス形成酸化物のモル比が増加することとなり、ナトリウムイオンの易動度が低下するためと推察される(8)(9)。

図 3.6 に ナトリウム 蒸気中での処理温度一定 (850°C) で、時間を変数とした時の電気伝導度と ナトリウム 拡散層の厚さの変化を示した。図 3.6 からも 1,500°C 熱処理品が 1,400°C 熱処理品よりも耐ナトリウム性がすぐれていることを証明している。したがって CA や C_3A が $C_{12}A_7$ よりも ナトリウム蒸気に対して安定であるということができ、これまでの報告と一致している(4)。測定時間内での拡散層の厚さの変化はほとんどなく、ごくわずかの表面変質層はきわめて初期に生ずることを示している。これは試料表面の凹凸や傷などの欠陥に起因するものと考えられ、その後の拡散は非常に緩やかである。文献 (4)によれば、400°C の ナトリウム蒸気に侵食された他の耐ナトリウム性ガラスの拡散層の厚さは 1 時間から 10 時間の間に 3 ~ 4 倍に増加しているが、M-1763 ガラスではそのような現象はみられなかった。

3.9 封着体の試験結果

M-1763 ガラス は耐熱度を必要とし、しかも酸化ふん囲気で使用したい場合などの封着材として各方面に適用可能であるが、封着の一例として、高圧 ナトリウムランプ の発光管端部封着を取りあげた。高圧ナトリウムランプ については本誌 46、No. 4 の技術解説⁽⁵⁾に詳しくのべているのでここでは触れないことにする。

3. 9. 1 外観検査結果

適当な封着条件のもとでは, 良好な濡れ性と $_{55Z}$ 特有の光沢が得られた。その結果を図 $_{3.7}$ の写真に示した。 しかし $_{1,500}^{\circ}$ C では過度に流れすぎる欠点が見られた。

3.9.2 リーク試験結果

封着した試料の中には 10⁻⁸cc/s より大きな リーク を示すものはな

表 3.1 M-1763 ガラス の性質 Properties of M-1763 glass.

216	50	M-1763 ガ ラ ス							
性	質	未 処 理	1,400°C 熱処理	1,500°C 熱処理					
密度	g/cm³	3.00	2.85	2.95					
結晶の種類		非晶質	C ₁₂ A ₇ と CA	CA Ł C3A					
熱膨張係数	deg-1	81	63	71					
抗折強度	kg/mm²	7.1	7. 5	3.7					

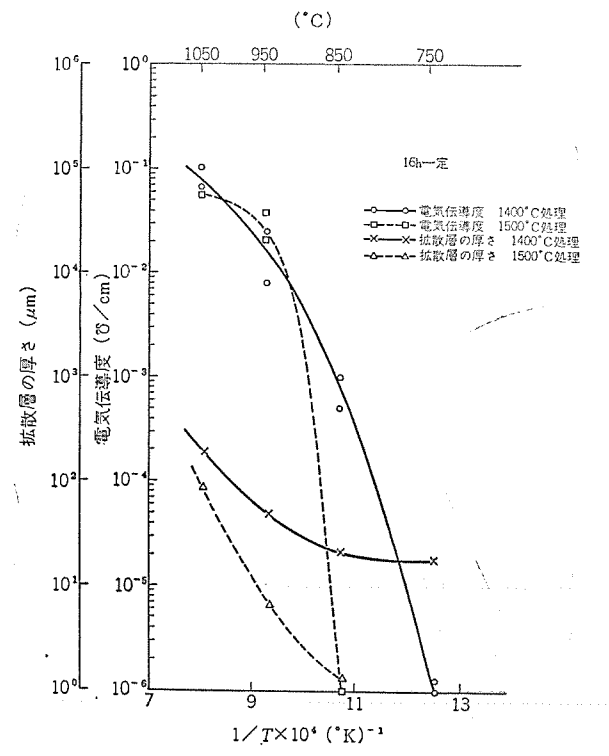


図 3.5 温度と電気伝導度および ナトリウム 拡散層の関係 Temperature vs. electrical conductivity of glass and thickness of Na diffusion layer.

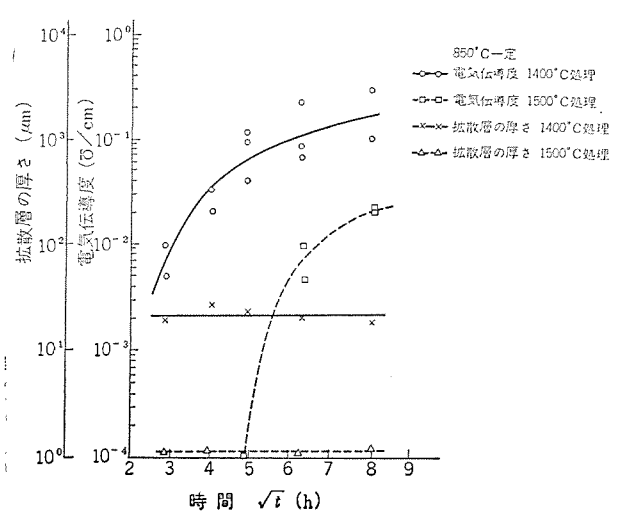


図 3.6 時間と電気伝導度および ナトリウム 拡散層の関係 Time vs. electrical conductivity of glass and thickness of Na diffusion layer.

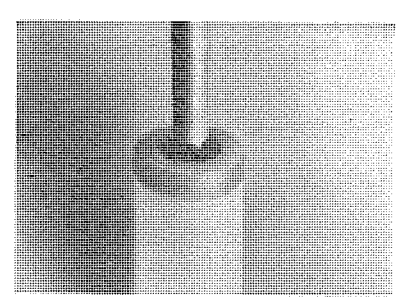


図 3.7 発光管の封着状態 Appearance after sealing at the end of arc tube.

かった。

3. 9. 3 熱衝擊試験結果

1,000 回以上の熱衝撃を繰り返しても、 封着部には何らの異常も 認められなかった。

4. む す び

高融点の $CaO-Al_2O_3-MgO-BaO$ 系 f_{57} (M-1763) を試作し、熱処理品の機械的特性、化学的特性を検討した結果、熱処理条件が大きく影響することがわかった。M-1763 f_{57} の $1,400^{\circ}$ C での熱処理品は濡れ性が良く、 $CaO \cdot Al_2O_3$ と $12CaO \cdot 7Al_2O_3$ の結晶を生成し、機械的強度も大きく、熱膨張的にも高アルミナ磁器と適合し気密性も有している。 さらに耐ナトリウム 蒸気性についても耐ナトリウム蒸気性が良いといわれる $CaO \cdot Al_2O_3$ 結晶以外に $12CaO \cdot 7Al_2O_3$ 結晶を含んでいるが、ナトリウム蒸気との接触初期にわずかな変質層を生じるのみで、それ以上の拡散はきわめて緩やかに進行し、特に920°C 以下で使用される場合は長期間にわたり耐ナトリウム蒸気性を有することがわかった。

1,500°C 熱処理品では $CaO \cdot Al_2O_3$ を多く生成するため耐 ナトリウム 蒸気性は良くなるが、機械的特性がやや悪くなる。との M-1763 ガラス を高圧 ナトリウムランプ の発光管として透光性 アルミナー透光性 アルミナーニオビウム の封着に適用した場合の封着性 についても検討を加えたが、ほぼ満足できる結果を示した。以上のように、 $CaO-Al_2O_3$ 系 ガラス は高温域での封着材として適用性はかなり高いものである。

なお, この一連の実験は大船製作所の協力のもとに行なわれたものである。

参考文献

- T. D. Robson: 5th Intern Symp. on Chemistry of Cement, Tokyo 349 (1968)
- (2) E. M. Levin, H. F. McMurdie, F. P. Hall: Phase Diagrams for Ceramists, The American Ceramic Society, 46 (1956)
- (3) J. F Lynch, C. G. Ruderer, W. H. Duckworth: Engineering Properties of Ceramics., Databook to Guido Materials Selection for Structural Applications, Battells Memorial Institute Columbus Laboratories, 5. 5. 2-7 (1966)
- (4) A. J. Burggraaf, H. C. van Velzen: Journal of The American Ceramic Society, 52, 238 (1969)
- (5) 竹田, 加茂部, 田中: 三菱電機技報 46, 498 (1972)
- (6) 鈴木: セラミックス 7,780 (1972)
- (7) 森谷,成瀬,功刀,田代:ガラス 工学 ハンドブック 朝倉書店 (1963)
- (8) Advances in Glass Technology., The American Ceramic Society, 270 (1962)

家電用接触機構部品の信頼性

長谷川 知治*・小 袋 勝 久*

Reliability of Electromechanical Components of Home Appliances

Consumer Products Research Laboratory

Tomoharu Hasegawa • Masahisa Kobukuro

Electromechanical components used for home appliances are discussed herein of their importance and special nature among the components of the kind. Also discussion is made on numeral points in the basic technics concerning the electric connection which is regarded as essential in the maintenance of the reliability of the components.

In addition, examples are quoted with individual parts switches, relays, thermostats and connectors from the viewpoint of the reliability from the result of studies on those in practice. Also, description is given on the present state of these component parts and problems posed on them.

1. まえがき

接触機構部品とは,電気回路をつないだり開閉したりする,いわゆる電気的接続を機能とする部品の総称であり,その構造の中に機 被的に接触するための接点を有するものである。

家電製品を構成する部品は非常に多く、それぞれ重要な働きをしているが、接触部品は、その中でもこの故障が製品の機能を完全に停止させること、また、最近話題になっている発火などに対する安全性とも深い関係があることから、最も重要なものの一つである。

一方,電子機器の高度の発達に伴い,この部品の需要(種類と用途)も増大の一途をたどっているが,機器によって使われる環境や 負荷条件がまちまちであることから問題も多い。

こうした背景から、接触部品の重要性が認識され、一部で機構解明のための基礎的な研究も進められているが⁽¹⁾、まだ一般的には十分に理解されているとは考えられない。この原因は、接点現象そのものが複雑多岐であること、広い分野の知識を必要とすることなどと思われるが、上記した重要性を考えると、地道な研究・開発活動が望まれる。

当社では、かねてより接触部品の信頼性評価を行なってきたが、 ことでは、家電品に使用されるものを中心に、この部品の特異性、 信頼性を得るために必要とされる技術について、二、三の具体例を あげながら述べる。

2. 接触機構部品の信頼性確保に必要なこと

2.1 接触機構部品の特異性

家電品に使用される接触部品を分類したものが表 2.1 であるが、その種類は非常に多い。また、これらの部品に要求される性能は、各々異なっており、広範囲にわたることに注意せねばならない。これは、接触部品が他の電気部品と相違して機構部分を有するためであり、負荷条件の相違がそのまま接点部の性能の差となって現われる。加えて、周囲ふん囲気、振動・衝撃などの環境条件による影響も受けやすく、使われ方、使われる場所において著しい相違が認められる。たとえば、低電圧・低電流を安定な接触抵抗のもとに通電するものと、数十Aの電流を開閉するものとを、同一の部品で兼ねさせることはむずかしい。また、異なる汚染ガス中に置かれる場合も同様である。

表 2.1 家 電 用 接 触 機 構 部 品 の 分 類 Classification of electromechanical components of home appliances.

分 類		部	딞	Ø	稒	類	
助接触部品(開閉機能)	2. 3. 4.	スイッチ リレー サーモフ タイマ その他	メタット	ナ,涸1	置プレ・	ーカ, …)
静接触部品(通電機能)	7. 8. 9.	コネクタ ソケット 差込ブラ 圧着端 その他	、 9 グ・ジ 5		= - F	リール,・)

以上のことは、接触部品には万能なものが少なく、要求仕様ごとに検討・用意(選定または開発)される場合が多いことを示している。したがって、接触部品を製品の一部として正しく実装する技術がより要求されるということになり、この点も他の部品と異なるところである。

このよ**う**な特異性を認識することが,接触部品の信頼性を得る第一歩である。

2.2 接続技術と周辺材料技術

2. 1 節に述べたように、接触部品は機械的接触部を有しており、 この 2×90) 面に起こる現象は、非常に複雑である。

この電気を接続する上で要求される種々の技術, つまり接続技術は,接触部品の技術的根底をなすものであり, この技術と部品を構成する周辺材料技術とを十分は握することが, この部品の信頼性を確保する上で最も重要なことである。

ここでいう周辺材料技術とは,電気の接続には直接関係しないが,接触部品としての性能を維持するために必要な材料,たとえば絶縁物・ばね・潤滑油などに関する基礎的技術である。

2.3 接触機構部品を研究・開発する場合のポイント

接触部品の信頼性を確保するためには、接続技術および周辺材料技術が必要であると述べたが、本節でこれらをもう少し具体的に展開してみる。 これは、 この部品の研究・開発を行なう場合のポイントでもある。ここで(1),(2),および(3)は、接続技術の範ちゅうに含まれるものである。

(1) 負荷回路の解析

電気的接触を行なう以上、最初に考慮しなければならないことは、

どのような電圧・電流を開閉あるいは通電させるか,つまり,使用 回路上の要求仕様の明確化である。この負荷回路の解析は,あくま でも定常的なものでなく,接点が動作するときの過渡的電圧・電流 を対象にしなければならない。

この回路上の検討の成否が、信頼性を左右する場合が少なくない。

(2) 接点拳動の検討

動的な運動をする接点であれば、接点の開閉拳動(投入・開離速度、パウンスなど)に伴う接点上の放電現象、静的なものであれば、荷重下における接点の接触面の状態など、接点の動作およびそれに付随して起こる現象を、(1) との相関のもとに詳細に検討せればならない。

(3) 接点材料の検討

(1),(2)についての十分な考察のもとに、接点材料として何を採用すればよいかがつぎの重要なポイントになる。開閉接点(動接触)に通常起こる、接触不良、消耗・移転、溶着などと接点材の関係、あるいは通電接点(静接触)におけるコンタクトメッキの接触信頼性、周囲ふん囲気による接点面の腐食の問題など、接点材料の接触界面で起こる諸々の現象を検討しておかねばならない。

これと(2)とが、接続技術研究の主要な部分を占める。

(4) 周辺材料技術

いかに良好な電気的接続が接点部で得られたとしても、接触部品としての機械的寿命に耐えないものであったり、絶縁上の欠陥があったり、または発火焼損などの危険性のあるものでは実用に供せられない。そこで、しゅう(摺)動部の摩耗の程度、ばねの疲労、絶縁物の電気的劣化機構など、材料の基礎的諸現象を十分確認することが必要になる。これらの材料が接点部以上に問題となる ケース も多

それでは、次章より動接触部品、静接触部品にわけて、それぞれ当社における具体的な例をあげ、上記した(1)~(4)の接続技術および周辺材料技術の検討と、それにもとづく信頼性の評価が実際にどのように行なわれたかを説明し、あわせて接触部品の現状と問題点について述べることとする。

3. 動接触機構部品

動接触部品は、開閉を行なうので必ず放電現象を伴う。これが 4章で述べる静接触部品と根本的に相違するところである。

火花・グロー・アークなどの放電によって引き起こされる 各種 の 接点上の故障や,絶縁物の劣化が問題であり,構成材料の燃焼との関連も重要である。 これらについて,スイッチ,リレー,サーモスタット を例に説明する。

3.1 スイッチ

家電品に使用されるスイッチは、電圧が数 V~数百 V,電流が数十 mA~十数 A 程度で,通信機などに使用される弱電流領域と,大電 力用の強電流領域の中間に位置している。したがって,まったく違うともいえる弱電と強電との考え方が入りまじった範囲を取り扱うことになり,混同による間違いを起こす可能性がある。このことは,単に スイッチ だけでなく接触機構部品全般にいえることでもある。

スイッチで問題となるのは、接触不良・溶着などの接点障害と エンクロジャ の燃焼であろう。

(1) 接点材質

接点材質と開閉電流との関係について試験検討した結果をつぎに 説明する。図3.1は,通電電流とアーク時間の関係である。図3.2

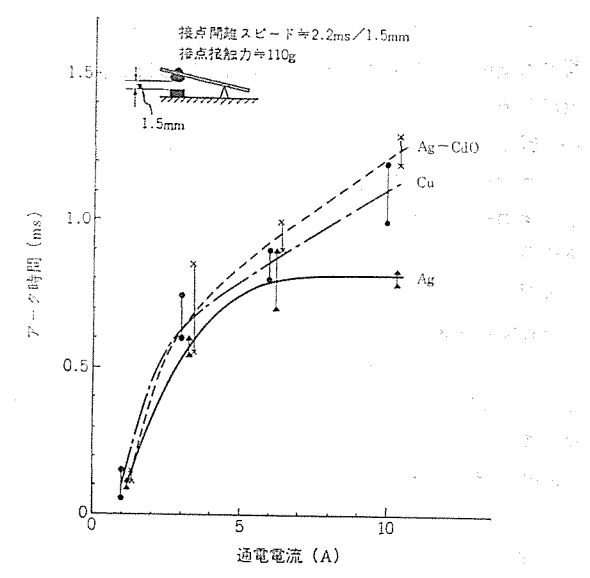


図 3.1 各種接点の電流とアーク時間の関係 Relation between current and arcing duration with various contacts.

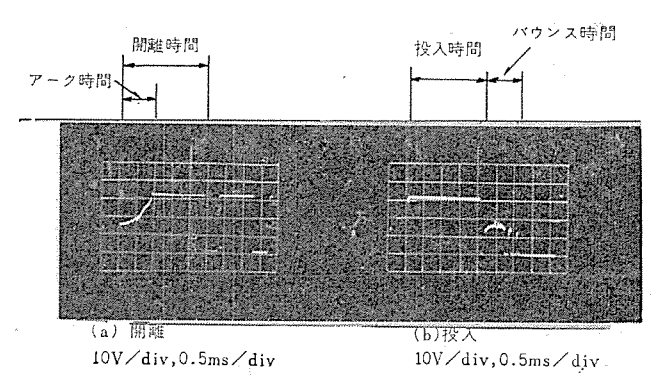


図 3.2 接点の開閉挙動の一例 (Ag-CdO. 6A) Example of operation manner in switching contact.

表 3.1 接点材質と負荷との関係 Relation between contact materials and load.

電 流 A	力 cosθ		接	点	材	Y
10	0.6	Ag-CdO,	(Ag)			
6	0.6	Ag-CdO,	Ag			
3	0.6	Ag-CdO,	Ag	(Cu 上	Ag メ »	ッキ)
1	0.6	Ag-CdO,	Ag	Cu 上	Ag メ 🤊	+ Cu

()内は性能的に疑問

は図 3. 1 の一例で、接点の開閉動作挙動を示す。Ag-CdO の方が Ag より r-2 時間が長く、従来の報告⁽²⁾ と一致している。

つぎにこれらを開閉試験 (AC $100\,\mathrm{V}$, 力率 $0.6\sim1.0$) にかけて種々の \vec{r} -9 を取り、総合判定を与えたのが表 $3.1\,\mathrm{C}$ である。

これはあくまでもある条件下の結果であるが、 Ag-CdO の 万能性が見られる。10 A クラス での Ag は、 Ag-CdO に比較して消耗量が大であり、(2)で述べる スパッタリング が著しい。3 A クラス への Cu 系接点は危険で、 Ag メッキ をしてもなお十分でない。 薄くても クラッド を採用すべきである。

(2) エンクロジャ

スイッチの エンクロジャの焼損原因として、つぎの三点をあげることができる。

- (a) 接点部の接触不良による異常温度上昇
- (b) エンクロジャ の トラッキング 現象
- (c) 接点の スパッタリング による絶縁抵抗の低下

このうち、(a),(c)は接点材質の選定でカバーできるが、(b)は 環境に支配される場合が多いので、 耐トラッキング性の良い材質の選 定が必要である。しかし、(b)、(c)については、もっと詳細なデータを取ることによる定量化が進められねばならない。

当社では、設計の モデルケース としての標準 スイッチ の開発、基本部分の標準化、技術 マニュアル の作成などを行なって、スイッチ の信頼性を確保している。

3.2 リレー

高容量の家電品の出現や機器の容量 アップ が進む反面,リレー においてはむしろ小形・軽量化が進められた。 このため, 高容量 タイプの リレー に問題が発生する場合があり, その中でも溶着が多い。 機器の断続を リレー で行ない, かつ,接点の投入時に非常に大きい突入電流を伴う場合に起こしやすい。

リレーは、マグネットの吸引力で動作し、復帰は、ばねの反力にたよる場合が多い。スイッチのように人の力で開閉しないのでおのずと機械力に限界があり、溶着力がこれを上回るとき故障となる。とくにMake 接点(コイル ON のとき Make する接点)の場合、開離力が大きくとれないので十分な考慮がたいせつである。

溶着を防止するためには、つぎの諸点を考慮する必要がある。

- (1) 接点投入時の回路の過渡現象を明らかにする。
- (2) リレーの接点 バウンス を減少させる。
- (3) 接点の開離力を大きくする。
- (4) 耐溶着性のある接点材質を採用する。
- (5) 回路上, 突入電流をなくすか低下させる対策をする。

つぎに、この溶着に関する特殊な一例として、コンプレッサ 起動 リレー の場合について述べる。

図 3. 3 は、起動 y_{U-} の回路で、 y_{U-} が OFF になり b 接点 が Make するとき、 C_S 、 C_R が y_{3-} ト し 短絡電流が流れる。この短絡電流と溶着力との関係を実験した結果が図 3. 4, 3. 5 である。図 3. 4

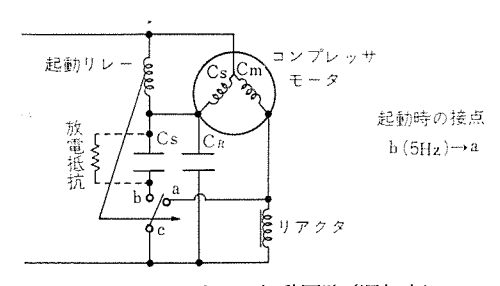


図 3.3 コンプレッサ 起動回路 (運転中) Starting circuit of compressor.

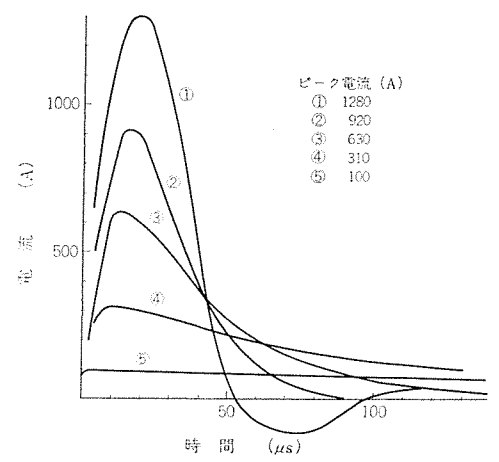


図 3.4 実験用急しゅん波電流 Experimental impulse currents.

は、図3.3の C_{s} , C_{R} の $f_{4\nu-3}$ 電圧の状態で考えられる短絡電流を $\partial S_{2\nu}$ したもので、①が最悪の状態である。図3.5 は、図3.4 の電流における溶着力測定の結果であり、数十 $\partial S_{2\nu}$ というごく わずかの時間であるが電流が大きいために、かなりの溶着があることが理解される。接点の引離し力は $\partial S_{2\nu}$ の吸引力で、a 接点の場合よりはるかに大きいが、条件の悪い場合溶着力がこれを上回ることがわかる。

この溶着力の制御は、 C_S に放電抵抗を加えてこの電荷を0 にすることによってもたらされる。このときの短絡電流が、 図 3.4 の ⑤にほぼ相当する。図 3.5 よりこのときの溶着力は 100 g をきり、問題ないことが理解される。 当社の起動 10- はすべて放電抵抗を加え、溶着に対する接点の保護を行なっている。

とのような コンデンサショート 回路の急しゅん波電流による溶着 はよく認められるが、 とのほか、モータ 起動時、ランプ 点灯時などの突入電流による溶着も非常に多い。突入電流の大きさ(ピーク、時間)、接点 パウンス 値および接点材質の溶着力に与える影響を、十分検討しておかねばならない。

3.3 サーモスタット

有接点 サーモスタット の温度感知には、つぎの三つの方法がある。

- (1) バイメタル の変形
- (2) 密封気体・液体の膨張・収縮
- (3) 軟磁性体の磁束密度変化

(1), (2)の gイプ は非常に多く使われるが、接点動作のおそいスローアクション のものと、マイクロスイッチ のような スナップアクション のものに分かれる。前者は廉価であること、構造が簡単であることから広く採用されているが、接点の開閉速度が バイメタル の変形速度と同じ

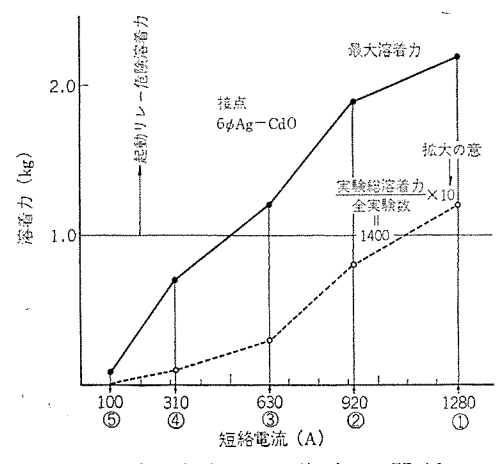


図 3.5 電流と溶着力の関係 Relation between current and welded strength.

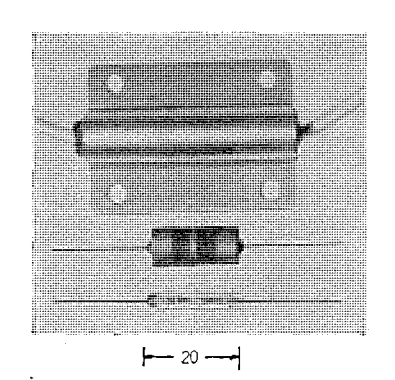


図 3.6 TRS 外 観 Appearance of TRS.

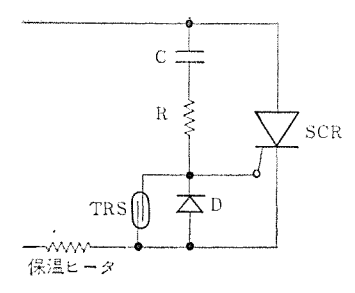
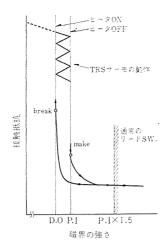


図 3.7 TRS 導入回路 Circuit with TRS.



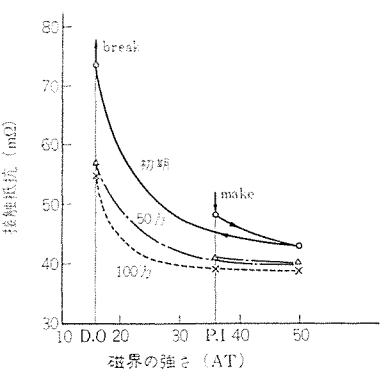


図 3.9 リードスイッチ の接触抵抗変化 Contact resistance of reed switches.

図 3.8 TRS 中の リードスイッチ の動作範囲 Operation of reed switch in TRS.

であり、アークや接触部 ジュール 熱による接点部損耗が大きい。 遇負 荷条件には、消耗、溶着、ブリッジ などの障害を起こす場合がある。 後者は、 この点安定な性能を与えるが、 電流が過大となれば 3.2 節と同様に溶着について十分考慮せねばならない。(1)、(2)のいま一つの欠点は、接点部そのものが機械系の支点を形成しており、接点の消耗が直接動作点の変動をもたらす点である。動作点変動の許容値が小さいとき、長寿命を要求される場合には適していない。

(3)はこれらの欠点を解決するものであり、軟磁性体の キュリー点を利用して プランジャ を可動させ接点を開閉させたり、リードスイッチ と 組み合せて直接接点を開閉させる。このため、(1)、(2)のような動作点変化がほとんどない。 ただ欠点は、 セット 温度の可変ができない点である。

図 3.6 は、当社の 5+- 炊飯器の保温用 5-1+1 として 使用した 5-1+1 といっドスイッチ (以下 TRS) の外観、図 3.7 は、これを導入した回路である。TRS は上記の(3)に属し、マグネット と感温 フェライト と 5-1+1 の組合せでできている。 接触信頼性の上で問題 となるのは、 接点部の 5-1+1 であり、この動作を示したものが図 3.8 である。

普通, リードスイッチ は、外部磁界により ON した点 (PULL IN) より 1.5 倍以上の磁界の印加された接触抵抗の安定なところで 使われるが、TRS の場合には、図のように接触圧力の十分でない、接触抵抗としては不安定な領域で開閉を繰り返すことになる。

TRS は、高信頼性、 長寿命という点ですぐれた サーモスタット であるが、接点容量が小さい点 (数十W) が欠点である。 この点の改良が今後の課題であろう。

4. 静接触機構部品

静接触部品は、3章の動接触の場合のような放電現象を伴わないが、反面、長期の接触安定性を要求される点で動接触とは別の問題が多い。大電流開閉では問題とならないほこりや汚染ガスによる接点障害は、微妙な コンタクト 現象を伴い、技術的にもむずかしい場合が多い。電源プラグやけい光ランプソケットのように、電圧の高い場合

には問題が少ないが、低接触力下での低電圧・低電流の接続には種々の検討が必要となる。本章では、コネクタを中心に述べる。

コネクタ は、近年、とくに民生用電子機器において、生産性向上、機種多様化への対応、サービス性向上などの目的で、非常に多く採用されるようになった。種類も電源を接続するものから TV などの内部配線に使用されるものまで数多いが、問題となるのは多くの場合後者である。 TV などの コネクタ では、基板と リード 線を接続する リードコネクタ と、 基板同志を接続する基板用 コネクタ に大別されるが、これらに等しくいえることは コンタクトメッキ の問題である。

接続する負荷条件が広い範囲にわたることも、これらのコネクタの特長である。 また、 民生用の場合、コストの制約から産業用コネクタとして実績のある Au、Rh などの メッキが簡単に取り入れられないことも苦しいところである。

実例を中心に説明を加えたい。 図 4.1は、 当社の TV 用に開発

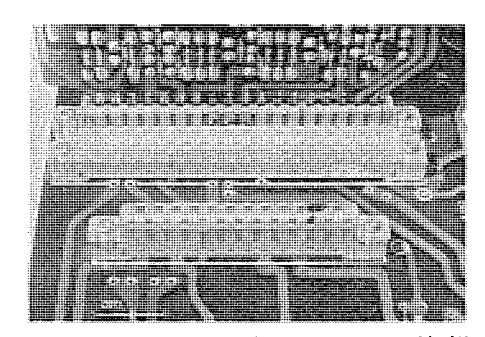


図 4.1 プリント 基 板 用 コネクタ 外 観 Appearance of the printed circuit connector.

表 4.1 各コンタクトメッキの耐ぶん囲気性 Performance of various contact platings in various emvironments.

コネクタ側 メッキ 試	Ag						Sn		Ni			
験条件 基板側 メッキ	耐熱	耐湿	魔 化 (SO ₂)	塩霧	耐熱	耐湿	磁 化 (SO ₂)	塩器	耐熱	耐湿	院 化 (SO ₂)	塩霧
Ag	0	0	O H ₂ S \triangle	0	0	0	0	0	0	0	0	0
Sn	×	Δ	×	×	0	0	H ₂ SO	0	×	×	×	×
Ni	×	Δ	×	×	×	×	Δ	×	Δ	×	×	×
*Cu	×	0	0	0	×	×	0	0	×	0	×	0

 $\bigcirc: \mathrm{MAX} {<} 10^{-2} \Omega, \ \triangle: \overline{x} {<} 10^{-2} \Omega \ \text{fig. MAX} {<} 2 \times 10^{-2} \Omega$

 $\times: \widehat{x}>10^{-2}\Omega$ band MAX>2 $\times10^{-2}\Omega$

水 メッキなし

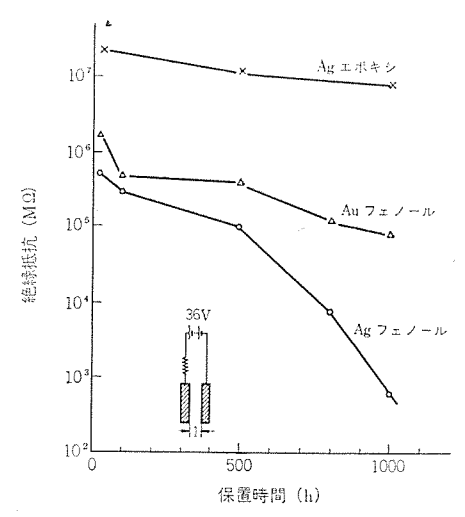


図 4.2 フェノール 基板中の Agの移行 Silver migration in phenol lamination.

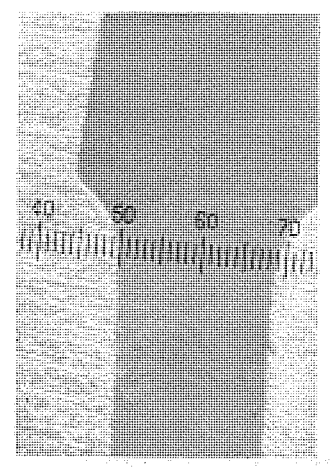


図 4.3 Ag 移行の例(800 h後) Example of silver migration.

された プリント 基板用 コネクタ である。 この開発上一番問題となったのは、やはり コンタクトメッキ の決定である。

表 4. 1 は、各種 メッキのいろいろなふん囲気における接触信頼性を表わしたものである。 これらのことから、コンタクトメッキ としては Ag, Sn が好ましく、 Ni, Cu はほとんど使えないことが明らかである。 また、メッキ される側の相違(コネクタ 側あるいは基板側)によって、性能が相違することも注目される。

Ag は H_2S に弱いこと,つぎに述べる J_{xJ-l} 基板中の Ag の移行の問題から⁽³⁾,当社では,基板側, J_{xJ} 側ともに S_{ll} メッキを採用し導入している。もちろん,振動・衝撃に対する対策,ほとり対策も セットへの実装の段階で実施された。

つぎに、Ag の移行について検討した 結果の一例を 図 4.2 に示す。 これは、耐湿 グレードの フェノール 基板を 60° C、湿度 90% 中に放置したときの絶縁抵抗の低下を示しており、Ag の移行が認められる。図 4.3 は、移行状態を示す一例である。

このように、直流印加下で Ag の使用が困難であること、および 硫化に弱い点から、多くの コキクタ は Sn メッキ の 採用に向かっている。ただ、Sn メッキ には ウィスカ (金属 ピサ) の成長が起こることがあり (4)、近接導体との短絡を起こす場合がある。 この発生の メカニズムの解明およびその防止法はある程度研究されているが、まだ十分なものではない。 Ag の移行の防止および ウィスカ 対策が、民生用 コネクタ にとって重要な課題である。

5. その他の接触部品および共通の問題点

以上例示したもののほかにも、たとえば、チューナ、タイマ、IC ソケットなど、それぞれに特有の問題点をもっているものが多い。また、動接触と静接触の両方の機能が要求されるようなものもある。これらは、互いにそのデータを活用できることもあるが、多くの場合、その部品特有の使われ方をするので、個々に入念な検討を行なわねばならない。

つぎに、接触抵抗の安定化や、耐ふん囲気性の向上あるいは機械 的潤滑の目的で使用される接点潤滑剤があるが、これについては従 来から十分に研究された報告がない。しかし、その効果は認められ るし、今後は積極的にこれを活用していかねばならない場合も多い ことから、その性状や効果について十分明らかにしておかねばなら ない。

潤滑剤による コンタクト 金属の腐食、潤滑剤の劣化、接触抵抗への 影響、直流電界下での電気化学的挙動などそれぞれに重要なもので ある。

6. む す び

家電品に使用される接触機構部品について、その重要性、特異性に触れ、この部品の信頼性を確保する上でたいせつな接続技術、周辺材料技術について述べた。また、具体的な部品の信頼性について実例をあげ、その現状と問題点についておおざっぱに述べた。これらの例は、同じ接触機構部品でありながらそれぞれに特有な現象をあつかうものであり、この部品に要求される性能の幅広いことがあらためて理解される。しかし、だからといってこれを個々のものとしてとらえるのでなく、接続技術という分野の中で分類し整理していかなければならない。それが、この種部品の信頼性を確保する正道と考えられる。

当社においても, "つなぐ" ことの困難さを認識して, 今後さらにその信頼性・安全性を追求していくつもりである。

参 考 文 献

- (1) 真野: "コンタクト に関する諸問題"電気通信学会全国大会, S13-1 (昭42) など
- (2) 山森ほか:三菱電機技報, 34, No. 5 (昭 35)
- (3) G. T. Kohman, et al.: Bell, Sys. Tech. J. 34, 115 (1955)
- (4) H. K. Hardy: Prog. Met. Pys. 6, 45 (1956)

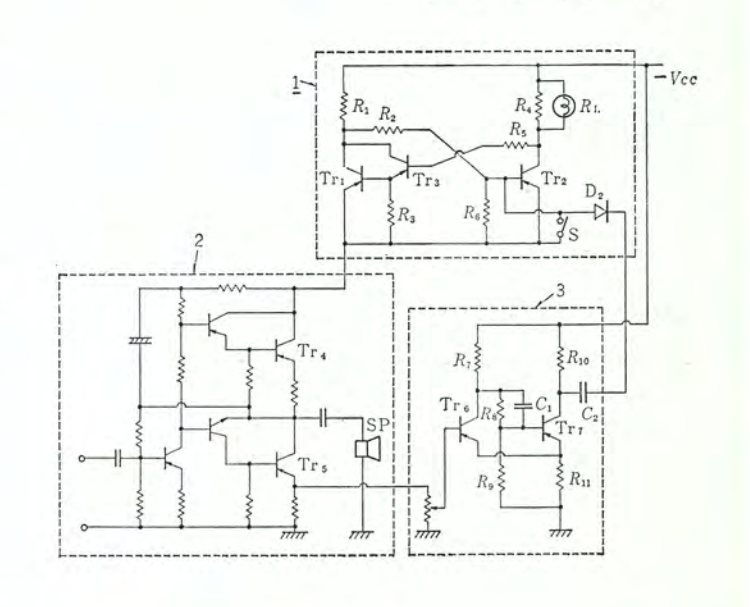


特許と新案

トランジスタ増幅器用保護装置 (実用新案第927904号)

考案者東譲

この考案は、少なくとも出力段をトランジスタで構成した増幅器の負荷回路に過電流が流れた場合に、これを自動的に軽減せしめて出力トランジスタの破損を防止しようとするもので、増幅器(2)を共通エミッタ抵抗とする双安定マルチバイブレータ回路(1)の負荷抵抗 R_1 および R_4 を、 $R_1 \ll R_4$ に設定し、常時は R_1 を介して増幅器(2)へB電圧-Voc を供給するとともに、増幅器の負荷回路に過電流が流れたとき、これを検出回路(3)で検出して、上記双安定マルチバイブレータ回路(1)を反転させて、B電圧-Voc が抵抗 R_4 を介して増幅器(2)へ供給されるよう構成したことを特徴とするものである。なお、 R_L は異常状態を表示する警報 ランプである。



エレベータ 出発管理方式 (特許第608839号)

発 明 者 板 垣 晃 平·篠 崎 裕 久

との発明は複数の階床からなる非停止階, すなわち急行 ゾーンを 有する建物に並設された複数のかどからなる エレベータ 装置の出発管 理方式に関するものである。

超高層 ビルにおいては、輸送力の向上と良質な サービス を得るために、図に一例を示すごとく、エレベータの パンク 割を行って高層行急行 パンク と低層行 パンク のように エレベータパンク を分けて設けることが多い。 この場合、高層行急行 パンクでは図に示すごとく下方出発階と、最初の サービス 階 すなわち サービスゾーン の最下階との間に、相当数の非停止階からなる急行 ゾーン を有するようになる。 しかし、従来の運転方式では、一般に下方出発階を基点として エレベータ の出発管理を行うため、かごは常に急行 ゾーン を走行した後、サービス 階床の呼びに応答することになる。したがって サービス 階で乗場 ボタン を押してかごを待つ乗客は、かごが急行 ゾーン を走行して階床に 到着するのを待遠しい気持で待っていなければならない欠点がある。

この発明はこのような欠点を解消したものである。すなわち,交 通状態が閑散な場合以外は,下方出発階とサービス階床との交通がか なりあるものと予想されるので,一般に用いられる方式と同様に下 方出発階を基点として エレベータ の出発管理を行い,そして交通が閑散になった時には下方出発階と,急行 ゾーン の上方にある サービスゾーン の最下階とに,予定の台数ずつかごを分けて待機させ,下方出発階に待機するかごには,下方出発階からの乗客及び下方出発階より下の階からの乗客の輸送を受持たせ,サービスゾーン の最下階に待機す

るかごには、サービスゾーン の各階床からの乗客の輸送を受持たせる方式である。

	10階	上方出発階
	9階	
	8階	# -
	7階	シーン
	6階	
★ 上方出発階	5階	
#	4階	急行ゾ
ピスン	3階	- 1
2	2階	
下方出発階	1階	下方出発階
	Bi階	

低層行パンク

高層行バンク

したがって、サービスゾーンの各階床からの呼びに応答する場合に、 その都度下方出発階からかどが急行ゾーンを上昇して行って応答するのではなく、サービスゾーンの最下階に待機するかどが迅速に応答す るので、乗客を長く待たせることがなくなり、良質なサービスを提供することができる。

近 接 検 出 装 置 (特許第637516号)

発明者 寺園成宏

この発明は容量式近接検出装置に関するものである。

この発明を図示実施例により説明する。図1 において、(1) はアンテナ、(11) はその大地容量、(2) は大地容量(11) を共振回路内の同調容量として含む発振回路で、図2のごとく構成されている。すなわち図2 において、(21) はトランジスタ、(22) は エミッタ 抵抗、(23)、(24) は バイアス 抵抗、(25) は バイパス 用 コンデンサ、(26) は帰還用 コンデンサ、(27) は コイル、(28) は可変 リアクタンス 回路であり、コイル(27) と並列に アンテナ(1)の大地容量(11)、可変 リアクタンス 回路(28) を接続し共振回路を構成している。(30) は周波数変化検出回路で、振幅制限回路(31)、周波数弁別回路(32)、整流回路(33)から構成されている。(4) は交流増幅器、(5) は エレベータ 等のとびら制御装置、(6) は周波数変化検出回路(30)の出力電圧を発振回路(2)の可変 リアクタンス 回路(28) の端子(29)へ、発振周波数変動に対し、負帰還となるように印加するための遅延回路を含む帰還回路である。

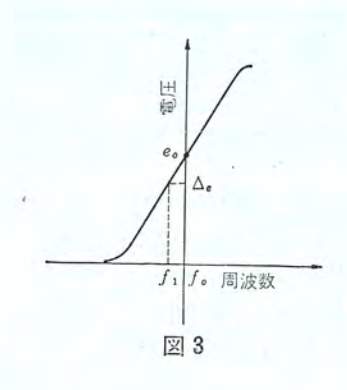
との装置において、今発振回路(2)が基準周波数 f_0 ヘルツで発振している場合、この出力は周波数変化検出回路(30)に送られる。周波数変化検出回路(30)は、図3のごとき特性をもっており、入力周波数に対応する基準電圧 e_0 を発生しているが、交流増幅器(4)の出力は t_0 である。

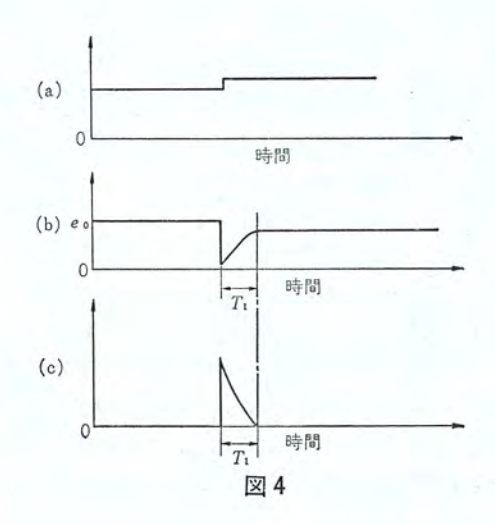
図 2

アレデナ(1)に物体が近接すると、図 4 (a)のごとく大地容量(11)が増加するため発振周波数が f_0 ヘルツ よりも低い f_1 ヘルツ となり、図 3 のごとく周波数変化検出回路(30)の出力電圧が de に低下する。周波数変化検出回路(30)の出力は帰還回路(6)に印加され、遅延されて発振回路(2)内の可変 η_{70900} 回路(28)に、発振周波数が f_0 ヘルツ になるように印加されているので、帰還回路(6)の時定数 T_1 に対応した時間の後に発振周波数はほとんど f_0 ヘルツ となる。

したがって周波数変化検出回路(30)の出力波形は、図4(b)のごとくになり交流増幅器(4)の出力電圧は図4(c)のごとくパルス状となり、この出力によりとびら制御装置(5)を駆動する。

以上述べたようにこの発明の容量式近接検出装置は、簡単で安定性が良く、しかも周囲条件の変化により アンテナの大地容量が増加しても検出感度がほとんど変化せず、とびら閉め途中に必要な十分に高い検出感度を有するものである。





シーケンス制御装置 MELSEC-310

久保田伸夫*・仁田 周一*・大野 陽 吉* 山下 弘雄**・山 本 修**・大野 宣 男** 岩永 俊之*・山崎 宣典**

Programmable Sequence Controllers MELSEC-310

Head Office Nobuo Kubota • Syuichi Nitta • Yokichi Ôno Kobe Works Hiroo Yamashita • Osamu Yamamoto • Nobuo Ôno Nagasaki Works Toshiyuki Iwanaga

Nagoya Works

Toshiyuki Iwanaga Nobunori Yamasak**i**

Plant equipment is getting extremely larger sized of late and its control also is required to be complicated. This in turn makes the field of sequence control larger scaled and intricate. The controllers used for them, then, demanded to be built with a new concept. In the past wired logic equipment consisting of magnetic relays and contactless relays dominated in the field, but in the latest practice programmable sequence controllers introduced herein superseded the old equipment. Mitsubishi has rich experience with the sequence control, which has culminated to the development of sequencers MELSEC-310 as outlined.

1. まえがき

近年、各業界における プラント 設備の大形化は著しく制御も複雑になってきている。一方設備の運転については、自動化省力化が叫ばれており、シーケンス 制御の分野でも同様に、シーケンス 制御回路の規模は大形化・複雑化の傾向にあり、 シーケンス 制御装置も新しい考えを織り込んだものが要求されている。

従来 シーケンス 制御は電磁 リレー や, 無接点 リレー による ワイヤードロジック によって実現されていたが,最近ではここに記す シーケンサ によって シーケンス 制御が行なわれている。 すなわ ち シーケンサ なる メモリを有する標準 H/W を使用して制御対象によって異なる シーケンス 回路を,S/W 的に プログラムすることにより シーケンス 制御を実現するやり方である。 従って シーケンサ に対しては従来の リレー 盤と同じ感覚で扱えるとか,高信頼性を有するとか,リレー 盤とは H/W 的に異なっても機能・性能の点からは優れていなければならない。

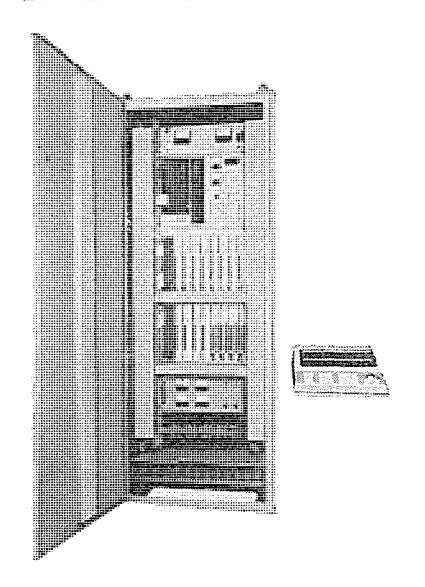


図 1.1 MELSEC-310 制 御 盤 MELSEC-310 control panel.

三菱電機では、永年にわたり多くの \mathfrak{d} -ケンス 制御を行なってきたが、この豊富な経験から上記のごとき時代の要求に合致した \mathfrak{d} -ケンサの開発を行ない、 \mathfrak{d} -ケンサ MELSEC-310 として順調なか (稼) 動を得たのでことにその概略を記す。

MELSEC は シーケンス 制御という応用面からの要求と、 一方では 半導体集積回路技術の発展と、電子計算機を中心とする ティジタル 技 術の発展という基礎技術の発展とがよく マッチ して生まれたもの で ある。図 1.1 は MELSEC-310 の制御盤の写真である。

2. MELSEC-310 の特徴

 $_{\upsilon-f\upsilon}
 {\upsilon-f\upsilon}$ MELSEC-310 は ${\upsilon-f\upsilon}$ 制御専用機として次のよう な特徴をもっている。

2.1 MELSEC はシーケンス制御専用機

- (1) シーケンス 制御専用の プログラム 命令体系, H/W 構成をもっている。 すなわち MELSEC は シーケンス 回路を構成する, 論理命令 AND, OR, F/F 等, 表 4.1 に 示す命令のごとき 2 値で表わされる論理演算を実行するのに最適な命令体系, H/W 構成をもっている。
- (2) プログラミングパネル (PP) を持っている。図 3.2 に示す PP の機能として, a) PP の上の \mathfrak{b} \mathfrak{b} つしてある押し ボタンを押して \mathfrak{b} \mathfrak{b} つしが \mathfrak{b} うしが \mathfrak{b} された \mathfrak{b} つしが \mathfrak{b} よび \mathfrak{f} \mathfrak{f} \mathfrak{f} 機能と,これらが便利にできるための表示機能,があげられる。

2. 2 MELSEC は使い易いシーケンサ

- (1) シーケンス 回路図を見ながら直接 PP を 使って シーケンス を 組む。すなわち電磁 リレー や無接点 リレー を扱ってきた技術者が容易に 扱える シーケンサ であるので,これを扱うための特別な教育はいっさい不要である。つまり シーケンス 回路図の表現,(記号)は従来の電磁リレー,無接点 リレー による シーケンス 回路図と全く同じであり, このシーケンス 回路図を使用して,回路図のとおり プログラミングパネル 上の押し ボタン を押せば,シーケンス 回路が組まれることになる。
 - (2) プログラミングパネル 上の押し ボタン に記されている命令は シーケ

ンスが容易に組める命令を選択してある。すなわち表 4.1 に MEL-SEC の命令一覧表を示すが、 この命令を大別すれば論理命令、 機能命令、出力命令、制御命令になるが、 MELSEC が シーケンサ として使い易い命令を持っている理由に、機能命令と制御命令に特徴がある。

機能命令は、シーケンス制御回路にひんばんに出てくる一つの機能を有する回路動作を押しボタンの命令一つで実現しようとするものであって、 この命令があるため複雑な押しボタン操作の必要がなくなり、プログラムメモリ 効率の良い、使い易い シーケンサ となる。

制御命令は従来の ハードワイヤード ロシックの シーケンス 回路図には表示されていない命令であるが、 シーケンサ としてこのような命令は少ない方が使い易い。 逆に制御命令が多いと、シーケンサ に プログラム する場合の約束事が多いことになり使い難いということになる。

- (3) シーケンスの追加変更が PP上で容易にできる。シーケンス制御は実際に シーケンサ と制御対象である機械と組合せて試験調整を行なう段階で シーケンス 回路の追加変更がしばしば生じるが、 このとき PP の押しボタン を押し換えるだけで容易に シーケンス の追加変更ができる。
- (4) シーケンス 制御の オンラインモニタ ができる。PP は シーケンス を うログラム する機能のほかに、 オンライン 中の シーケンス 動作を モニタ したり、試験調整中の プログラム デバッグ が容易にできる表示機能を持っている。
- (5) 付属機器として プロクラム 自動書込装置 (カセット MT), および プロクラム 自動記録装置 (プリーンタ PT) が用意されている。

MELSEC-CPU と カセット MT, ブリンタの接続を図 3.3 に示す。

- (a) カセット MT: メモリ に プログラム されている 内容 を MT に 記録することができるので シーケンス の保存ができる。 従って メモリ が故障したとき,別の正常な メモリ に MT から自動的に書き込んだり,プロセスの スケジュール を変更して運転したい時,メモリ 内容を MT の内容に自動的に書き換える。 また PP から MT に CPU を 使用しないで シーケンス を プログラム することができるので,シーケンサ H/W と メモリ 内容 (S/W) とを分離でき,ユーザ は H/W のみ購入して 使用することができるし, S/W,H/W 一体の製作の場合に H/W と S/W の製作期間を別々に管理できるので,メーカ 製作期間が短期間になる等の メリット がある。
- (b) PT: メモリ 内容あるいは MT 内容を ブリントアウト する と とができるので、プログラム の ビシブル 化が実現される。従って、試験 調整期間の短縮、シーケンス 追加変更の確認、等の メリット がある。
- (6) 豊富な PI/O の標準 シリース を有している。 表 3.1, 3.2 に MELSEC PI/O の一覧表を示す。
- (7) メインテナンス性が高い。上に述べたように PP, MT, PTを用いれば メインテナンス が容易に行なえるが, このほかに MELSECを構成している H/W についても次のごとき特徴がある。
 - (a) プリント 基板実装の モジュール 化の採用。
- (b) PI/O モジュール の入出力回路には ランプ 回路を付加し、MEL-SEC 制御盤の設置場所から外部 プロセス 機器の動作状態の判別ができる。
- (c) CPU 故障時のためには表示および信号接点が用意してある。
 - 2. 3 MELSEC の高信頼性を有するシーケンサ
 - (1) 完全無接点化が実現できる

MELSEC 出力と プロセス を直結する部分 (プロセスァウトブット PO)は,

完全無接点化が実現できるために高信頼性長寿命が得られる。

プロセス 出力 PO で電磁弁の コイル, 大形 コンタクタ の コイル を サイリス タスイッチ で直接制御できる。

(2) CPU ロジック 回路の規模が小さい

CPU ロジックは シーケンス 制御専用に設計されているため、 回路規模は小さく, 使用している部品点数が少なく故障率が低い。

(3) 非破壊読出しょもりを使用している

シーケンス を記憶している メモリ は、 非破壊読出し メモリ である ワイヤメモリ を使用しているので完全な記憶保護が実現されている。 非破壊読み出しの特長を生かし メモリ からの命令読み出し誤動作を 自動的に修正する機構を有している。 すなわち外乱等により瞬間的な誤読み出しが発生した場合自動的に再読み出しを実行し,正しい命令による プログラム の続行を行なう。 ワイヤメモリ は スイッチ 一つで RAM-ROM 切換が可能であるため プログラム 中は RAM として使用し、 オンライン 運転中は ROM として使用し高信頼性を得る。

(4) IC 回路の全面的採用

IC 素子特に MSI を多く使用して部品点数をへらしている。

(5) 耐ノイズの回路設計

MELSEC は従来のリレー 盤の代わりに使用される場合が多いが、耐ノイズ性については十分考慮された設計がなされている。一つは、MELSEC の入出力に接続される外部信号用電源と、CPU、I/O 電源は完全に分離されている。例えば AC 入力信号はトランスで 絶縁し、DC 入力はマイクロリレー で絶縁されている。出力はサイリスタスイッチのゲート 回路にパルストランス を使用して絶縁している。また入出力回路にはフィルタ 回路をそう(挿)入しノイズ信号をバイパスする回路方式を採用している。

3. MELSEC-310 の基本構成と機能

3.1 概要

図3.1は、MELSEC-310の基本構成を示す ブロック 図である。図に示すように、演算制御部、メモリ部を中心として、プロセス 入力部、入力制御部、出力制御部、プロセス 出力部、一時記憶ユニット、タイマユニット などが シーケンス 制御信号の処理を行なう。 これらに加えて、ブログラミング パネル、カセット MT、ブリンタ が付属機器として組み合わされて、一つのシーケンス制御装置を構成する。以下各部の詳細を述べる。

3.2 演算制御部 (CPU)

3.2.1 演算制御部

演算制御部は MELSEC-310 の中心となる基本装置であり、メモリ 部にあらかじめ記憶された シーケンス 制御手順を順次読出し、入力制 御部を介して読取った各種入力状態に基づいて、判断・演算処理を 行ない、その結果を出力制御部へ供給する機能を持つ。演算処理は 繰返し方式を採用しており、1命令当り 2.5 μs の演算処理速度を有 する。このため、MELSEC-310 は、割込機能を持つことなく シーケンス 制御の実行が可能である。 構造的には、高い保守性を有するように極力回路の小形化が実現されており、一時記憶 ユニットを含めて、カード モジュール がわずか 2 枚で構成されている。

3. 2. 2 メモリ部

メモリ部は、表4.1 に示す命令によってあらかじめ プログラム された シーケンス 制御の実行順序と制御内容を記憶する機能をもち、メモリ素子として ワイヤ メモリ を採用している。ワイヤ メモリ の非破壊 メモリ という大きな利点を生かすことにより、下記のような特徴ある シーケン

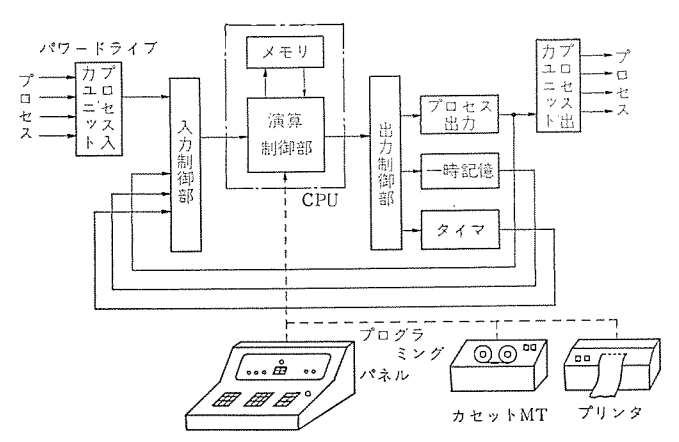


図 3. 1 MELSEC-310 基本構成図 System configuration of MELSEC-310.

ス 制御装置が実現できる。

- (a) 非破壊読出し素子であるので安定度が高い。
- (b) RAM, ROM の切換が自由に行なえる。

3.3 入力制御部

演算制御部への各種入力状態を選択する機能を有する。入力信号として プロセス 入力部からの プロセス 入力信号 (I) はもちろんのこと,プロセス 出力信号 (\overline{O}),一時記憶 (M),g47 φ 7 (T) が任意に選択できる。特に,プロセス 出力信号,一時記憶,g47 φ 9 の各信号は, 内部でフィード バック されているので,プロセス 入力部を介すことなく入力信号として使用できるため,入力最大点数が常にプロセス 機器信号と接続して使用できる。

(c) メモリの エラー 検出回路の2重化が容易に行なえる。

3.4 出力制御部

演算制御部で演算処理された結果を出力命令により、プロセス出力部、タイマユニット、一時記憶ユニットへ分配転送する機能を有する。

3.5 プロセス入力部

プロセスからの入力信号の受信を行なう。プロセス入力 ユニット は直接 プラント と接続可能で、 仕様は表 3. 1 に示す通りである。 入力点数 は、 16 点単位で ユニット 化されており最大 512 点まで 実装可能である。

表 3. 1 プロセス 入力 ユニット Process input unit.

				双马工 儿	CA.	/ \ / J	1 しゅし	110003	mput i			
ア イ テ 形 名		入力信号(プロセス側)		出 力 信 号 入出力間絶縁		引 絶縁	プロセス	との接続	奥装	特 長	用 途	
テム	1 形 名	電 圧	電 流	(CPU侧)	有	無	方 式	コネクタ	端子台	点数	特長	/HJ 125
1	(PIAF) PIAA	AC 110V AC 110V	- 10mA 10mA	IC レベル(5V) IC レベル(5V)	0		トランストランス	0	- 0	16	AC入力	プロセス一般
2 .	(PIBF) PIAB	DC 220V AC 220V	10mA 10mA	IC レベル(5V) IC レベル(5V)	0		トランストランス	0 -	-	16	トランス絶縁	リミットスイッチ リレー
3	PICA	DC 48V	10mA	IC レベル(5V)	0		リードリレー		0	16	DC入力 リレー絶縁	コンピュータとの接点
4	(PIDF)	DC 100V	10mA 10mA	IC レベル(5V) IC レベル(5V)	0		リードリレー		- 0	16	有接点式	
5	PIDA	DC 12V 24V DC 12V 24V	10mA	•		0			0	16	DC入力 非絶縁	近接スイッチ <i>ディシタ</i> ルスイッチ
											無接点式	ロジックレベル

表 3. 2 プロセス 出力 ユニット Process output unit.

アイ	アイテル 形名 コ		プロセス側)	入力信号	入 力 信 号 入出力間の絶縁				プロセスとの接続		特長	用 途
テム	115 43	電源電圧	負荷電流	(CPU例)	有	無	方 式	コネクタ	端子台	実装点数	14 K	/11 DE
,	(POAF)	AC 110V	2A	IC レベル(5V)	0	-	バルストランス	0		8)AC出力	プロセス一般
	POAA	AC 110V	2A	IC レベル(5V)	0		パルストランス		0	8	無接点式	·ACベルブ用
2	(POBF)	AC 220V	2A	IC レベル(5V)	0		パルストランス	0	_	8	BCR使用	
2	POAB	AC 220V	2A	IC レベル(5V)	0		パルストランス		0	8) BCREM	
	(POCF)			IC レベル(5V)	0		リレー	0		8) 接点出力	8点独立接点
3	POCA	AC220V TiOV	S-50 コンタクタ以下	IC レベル(5V)	0		リレー		0	8	}	
4		D C LOOM	SD-112									8点コモン接続
4	POCB)DC100V	以下	IC レベル(5V)	0		リレー		0	8		8点トランスファ
5		DC48V以下										コンピュータ用
	POCC		低レベル	IC レベル(5V)	0		リレー	_	0	8	ŏ	低レベル用
,		DC 100V	2A				パルストランス				DC出力	DC バルブ
6	POBA			IC レベル(5V)	0			_	0	8	無接点 AC電源	クラッチ ブレーキ DCコンタクタ

3.6 プロセス出力部

プロセスへの出力を行なう。プロセスユニットは、表 3.2 に示すように 大容量半導体 スイッチ の採用により、 直接、電磁弁や電磁 スイッチ を 駆動することが可能である。出力点数は 8 点単位で最大 512 点まで 拡張可能である。

3.7 一時記憶

電磁 リレー 回路での中間 リレー に相当する機能を持つ中間 メモリ で最大 512 点が演算制御部に実装されている。

3.8 タイマ

ソフトウエア によって任意の時限が得られる プログラマブルタイマ で, 最大 128 点が 8 点単位で実装できる。 時限の設定は 0.05 秒 から 最大 950 秒まで可能である。

3.9 付属機器

MELSEC-310 の付属機器は、標準として プログラミング パネル、オプション として カセット MT、 プリンタ が用意されている。

3. 9. 1 プログラミング パネル

図 3. 2 に示す プログラミング パネル は MELSEC-310 が持つ唯一の マンマシン インタフェース で下記機能を有する。

- (a) プログラム 書込み機能
- (b) プログラム 読出し機能
- (c) プログラムの1ステップ 実行機能
- (d) オンラインモニタ 機能
- (e) 各種表示機能

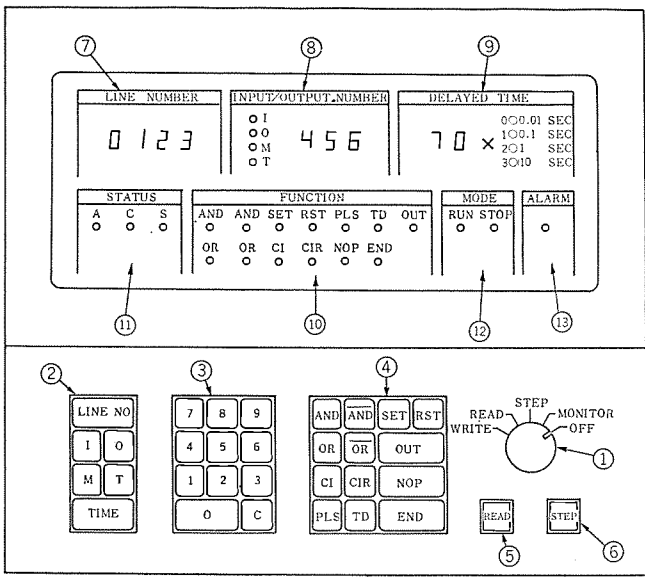


図 3.2 プログラミング パネル Programming panel.

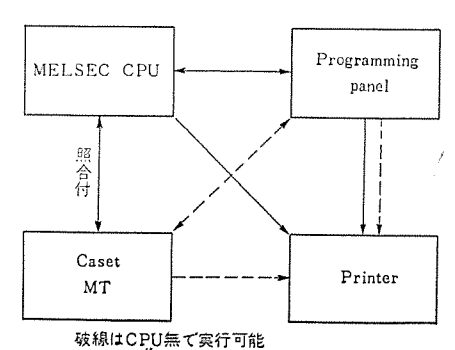


図 3. 3 MELSEC-CPU と 付属 機器 MELSEC-CPU and option devices.

プログラミング パネルの製作には、使い易く、簡単な操作で シーケンスの 組立て、すなわち、プログラミング ができるよう下記の点に注意が払わ れている。

- (a) 押し ボタン を押すだけで プログラム できること
- (b) 設定, 表示はすべて 10 進法の採用
- (c) シーケンスの表現と スイッチ 操作手順が同一
- (d) 容易に持運びが可能

3. 9. 2 カセット MT, プリンタ

オプション として用意されている カセット MT および プリンタは MEL-SEC-310 における プログラムの取扱いや作成をより使い易く、容易にする装置である。カセット MT は、外部記憶装置としてプログラムの保存、交換・修正、上位計算機とのプログラム 交換などの機能を有する。一方、プリンタは、プログラミングパネルの操作記録、メモリ 内容の ハードコピー等の機能を持つ。図 3.3 は、MELSEC-310 における CPU と各付属機器との接続および機能を示している。

特に注目すべきことは,図中,破線で示すように,CPU なしで使

表 3. 3 MELSEC-310 の主仕様 Specifications of MELSEC-310

,	g e	仕 様
海 算 制 御 部	・演算方式・演算速度・命令語・制御メモリ 素 子容量	くり返し演算方式 10 ms/4 k 語 2.5 µs/1 step 13 種類 ワイヤードメモリ(非酸壊形) 2 k, 4 k 語(max)
入プロセス部	・一時記憶・実装点数・積類と仕様・入力ユニット収納フレーム	IC メモリ、512点 max 最大 512点、16点単位 表 による 128点/フレーム入力専用 64点/フレーム入出力混在
出プロセス	・実装点数 ・種類と仕様 ・出力ユニット収納 フレーム	最大 512 点,8 点單位 表 による 64 点/フレーム出力専用 32 点/フレーム入出力混在
タイマ	方 式 実装点数	ディジタル式ソフトタイマ最大 最大 128 点, 8 点単位 128 点/フレーム
付	プログラミング バネル	機 能プログラム書込, 読出1 ステップ実行, オンラインモニタ外 形可撤形
屈機	カセットMT (オプション)	機 能ブログラム書込, 読出 作成, 修正, 保存 容 量4k語
**	ブリンタ (オブション)	機 能プログラミング バネル操作記録 プログラム メモリ, ハード コピー 印字速度350 ms/line けた 数18 けた, 89 mm 幅
1	アナログ タイマ	設完範囲50 ms~200 秒 実装点数最大 128 点 ディジタル ソフトタイマと互換性あり
プシ	シーケンス カウンダ	方 式直列歩進,並列歩進 ステップ数7 ステップ/単位,28 ステップ/ カード
カン機	プリセット カウンタ	ブリセット方式直接および Remote け た 数10 進 4 けた PI/O と互換性あり
能	ラッチ出力	実装点数最大 256 点, 4 点単位…外部出力有 最大 512 点, 8 点単位…外部出力無 PI/O と互換性あり
使用条件	電 源 但 度 湿 皮 摂 動	AC 100 V/110 V, -15 %~+10 %, 50/60 Hz 0°C~+50°C 10 %~90 % NDS-XF-8017 に進ずる

用できることである。すなわち、プログラミングパネル、カセット MT および ブリンタの組合せにより プログラム 作成、修正などの機能を机上で実行することが可能である。

以上, MELSEC-310 の主機能について述べたが, これらをまとめたのが表 3.3 に示す主仕様一覧である。

4. プログラミング

4.1 命令

MELSEC-310 において、特に留意されたことの一つに命令体系がある。すなわち、従来、リレーシーケンスを扱っていた技術者が、MELSECでシーケンス 回路を組立てる時、計算機的手法を感ずることなく取扱えるプログラム 方式を採用することである。この点から、MELSEC-310で用いられ命令は、表4.1 に示すように、従来のリレーシーケンスと対応させており、さらにシーケンス制御上よく使われる機能を一つの命令として採用することにより、押しボタンの操作だけで容易にプログラムできるよう工夫されている。

表 4.1 MELSEC-310 の命令 Instructions of MELSEC-310.

命令	命令後	シンボル		機能
	AND	AND	論理積 ——	
論理	ANDI	——————————————————————————————————————	論理積 一十一	
命令	OR	OR OR	論理和 ─────	
	ORI	— OR	-計── -計──	
出力命令	OUT	0511 一出	-0-€	プロセス出力、一時記 笹に対する出力
	TD	登 野間 9 5 3 1 レンジ T127 - イ TD 著	オンタイムディレイ	選延時間: けた+1/2けた 0…0, 01秒 レンジ: 1…0, 1秒 2…1, 0秒 3…10. 秒 設定範囲: 0, 05秒-950秒
機能	SET RST	SET H 7 K 8 F 8 F 8 F 8 F 8 F 8 F 8 F 8 F 8 F 8	自己保持形出力	:プロセス出力、一時記 億のセット、リセット を行う
機能命令	CI	——————————————————————————————————————	共通インタロッ ク	出力命令(OUT、SET、
	CIR	——€IR	共通インタロッ ク無条件解除	RST、TD)に対して、 共通条件をかける
	PLS	M511 型型 数据 PLS 要	信号の立上り 検出	入力信号の立上り微分 と論理的にとって信号 の立上りを検出する
制御	NOP	NOP	無効	プログラムの無効命令
命令	END	———END	終了	プログラムの最後に おく命令

表 4. 2 遅延時間 と レンジ Delay time and range.

レンジ番号	レンジ(秒)	設 定 範 囲 (秒)	精度(秒)
0	0.01	0.05, 0.1, 0.15~ 0.95	± 0.01
1	0.1	0.5, 1.0, 1.5 ~ 9.5	± 0.1
2	1.0	5.0, 10.0, 15.0 ~ 95.0	± 1.0
3	10.0	50.0, 100.0, 150.0 ~950.0	±10.0

4.1.1 論理命令と出力命令

リレー 回路における リレーや、半導体 ロジック における素子の取扱いと全く同様な機能を持つ。 否定命令 (NŌT) の 代りに、 ANDI、 ŌRI などの信号反転命令を有することにより、 プログラム 効率の向上をはかっている。

4.1.2 機能命令

(a) TD (a/2)

任意の タイマ 素子に対し、0.05 s から 950 s の範囲内で任意の時限 設定 (表 4. 2) を行なう命令である。 反転命令と組合せること により、OFF-DELAY タイマ としても使用できる。

(b) SET, RST

シーケンス 制御回路における自己保持回路の機能を実行する命令で、任意の条件で プロセス 出力および一時記憶を セット、リセット することができる。この命令では、セット条件、リセット条件をそれぞれ独立して組めばよいので、 複雑な条件を有する自己保持回路も容易に プログラムできる。

(c) PLS

シーケンス 制御において,入力信号の パルス化(微分)は非常に重要なかつひん(頻)繁に現れる機能である。従来,リレー 回路で微分回路を組む場合,タイマリレーを必要としていたが, PLS 命令では,一時記憶の1点を用いて論理的に信号の立ち上り微分を実行する方式を用いている。 前述の反転命令 (ANDI, ORI) を用いることにより信号の立下り微分も容易に プログラム できる。

(d) CI, CIR (共通 インタロック セット, リセット)

4.1.3 制御命令

MELSEC の CPU を制御する命令であり、シーケンス 制御上なくてもよい命令である。 MELSEC では、この種の命令を極力少なくしているので、ハードウェアの知識がなくても容易に プログラム できる。 NŌP 命令は、プログラム 修正時や メモリ の空白部に使用する。 END 命令は、プログラム の最後尾に記されるもので命令を実行すると 最初のシーケンスへもどる機能をもつ。

4.2 プログラミング

従来、プログラミングといえば、計算機のように十分な H/W・の知識と多くの命令を用いて行なっていたため非常に難かしいものという考えがあった。MELSEC では、このプログラミング、すなわちシーケンス回路を組立てるという作業をだれにでもすぐ理解できるように、従来のリレーシーケンスと密着した命令およびかんたんなシンボルでの表現により、シーケンス制御回路のプログラミングが行なえるように工夫されている。MELSEC のプログラミングには下記のような特長がある。

- (1) リレーや論理 シンボル などで表現できる。
- (2) プログラミング 上の ルール がほとんどない。
- (3) 機能命令により シーケンス 機能が容易に プログラム できる。
- (4) コーデング作業が不要である。
- (5) 機械の フロー と制御 シーケンス が一体で表現できる。
- (6) 従来の線符号的感覚で メモリ アドレス が表現できる。

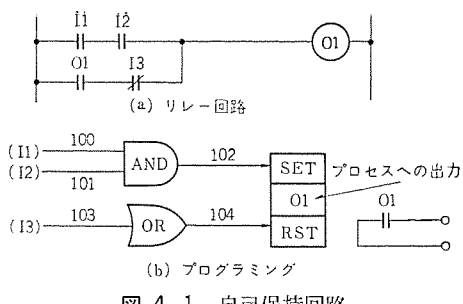


図 4.1 自己保持回路 Self hold circuit.

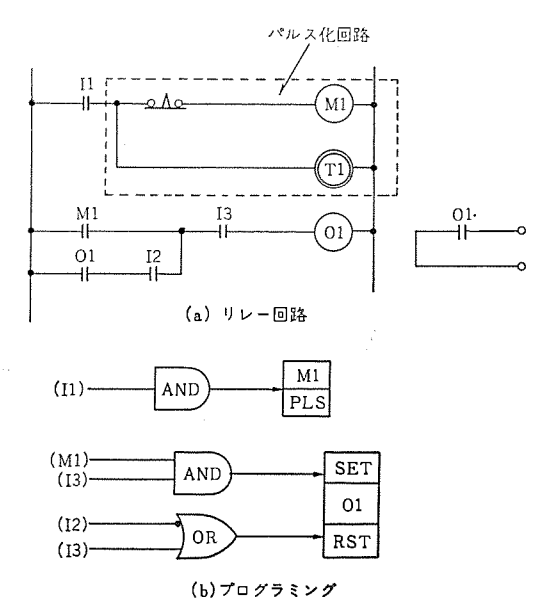


図 4.2 微分検出回路 Differential signal sensing circuit.

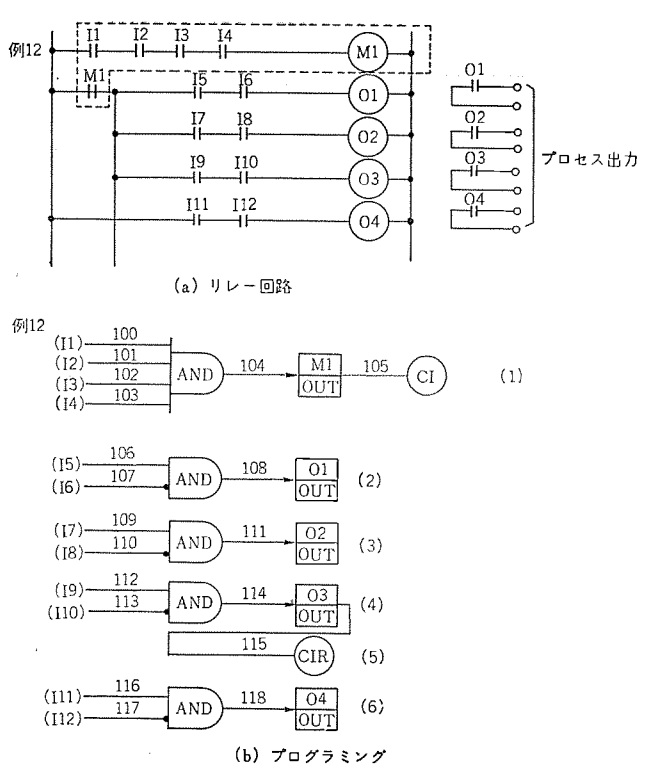


図 4.3 共通 インタロック 回路 Common interlock circuit.

図 4.1(a), 図 4.2(a), 図 4.3(a)は従来の リレー 回路による自己保持, パルス化, 共通条件回路である。図 4.1(b), 図 4.2(b), 図 4.3(b)は, それぞれの回路を MELSEC-310 の命令で表現したものである。図中の線符号 (LINE NŌ) は メモリアドレス を示している。

4.3 プログラムの書込みと読出し

MELSEC では、プログラミング された シーケンス を メモリ 部に書込むには、前述の命令 シンボルで表現された シーケンス 図を見ながら、直接、プログラミング パネル (図 3.2) の押し ボタン を押す ことで実現される。各押し ボタン の操作がなされると書込み内容は パネル上に表示される。図 4.4 は、タイマ 回路の例とその書込み手順が示されている。 一方、メモリ に書込まれた シーケンス 内容を読出す場合の手順は 図 4.5 に示すとおりである。

4.4 プログラム デバッグ

プログラムの デバッグ には下記の2とおりがある。

(1) 1 ステップ 実行

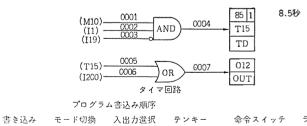
プログラミング された シーケンス 回路を 1 ステップ ずつ実行しながら入力条件,演算状態,出力状態を 5 チェック する方法である。プログラミング パネルで 1 ステップ 実行を行なう場合の手順を図 1 名 に示す。この方法により プログラム は順次実行され,その実行内容を監視しながら機械を動かすことができる。

(2) オンライン モニタ

MELSEC の CPU が RUN の状態, すなわち, シーケンス 制御が実行されている時に プログラム の内容 チェック, 入出力状態の チェック を行なう機能である。 プログラミング パネル 上の モード を モニタ とし, ライン ナンバ を指示するだけで, 時々刻々と変化する シーケンス 制御の状態をオンライン で モニタ することができる。

4.5 プログラム変更

デバッグ 中に変更が生じたり、設備の拡張などにより プログラム が変 更される場合、プログラミング パネル によって変更する方法は下記のとおりである。



T.	き込み	モード切換	入出力選	択	テンキー		命令スイッチ	ライン
順	序	スイッチ①	スイッチ	2	スイッチ	3	4	ナンバ
	1	WRITE	F					
	2		LINE.NO	-	1			0001
	3		M	-	10	-	AND	0002
	4		I		1		AND	0003
	5		I	-	19	-	ANDI	0004
	6		T	-	1 5			
	7		TIME		8 5 1		TD	0005
	8		T		15		OR	0006
	9		I		100		O R	0007
	10		0		12	-	OUT	0008
							完 了	

図 4.4 プログラム書込み例 Example of program load.

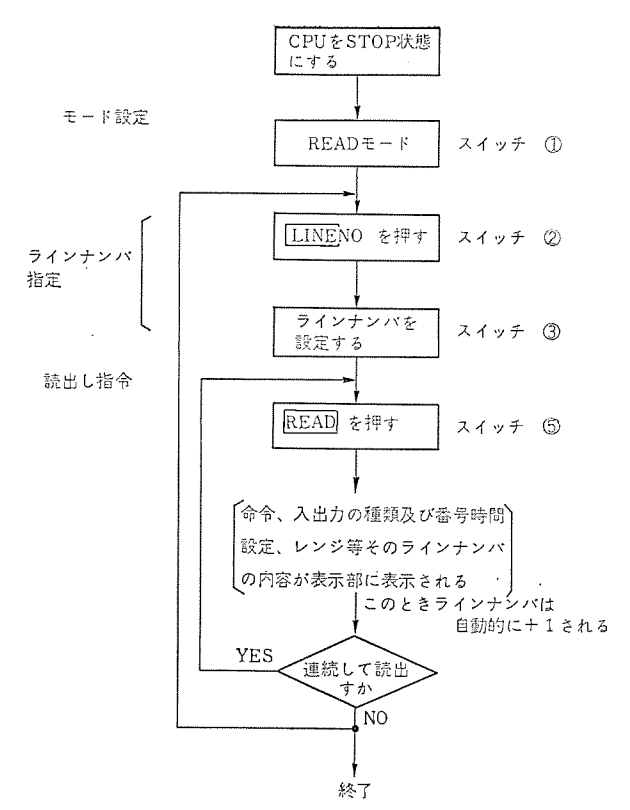


図 4.5 プログラム読出手順 Operation of program read.

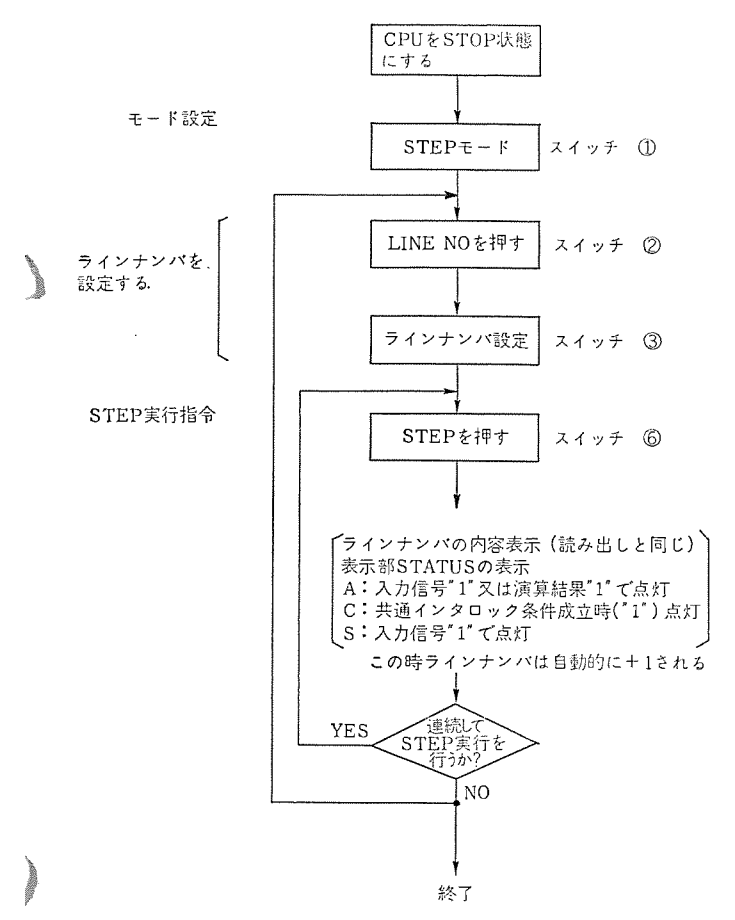
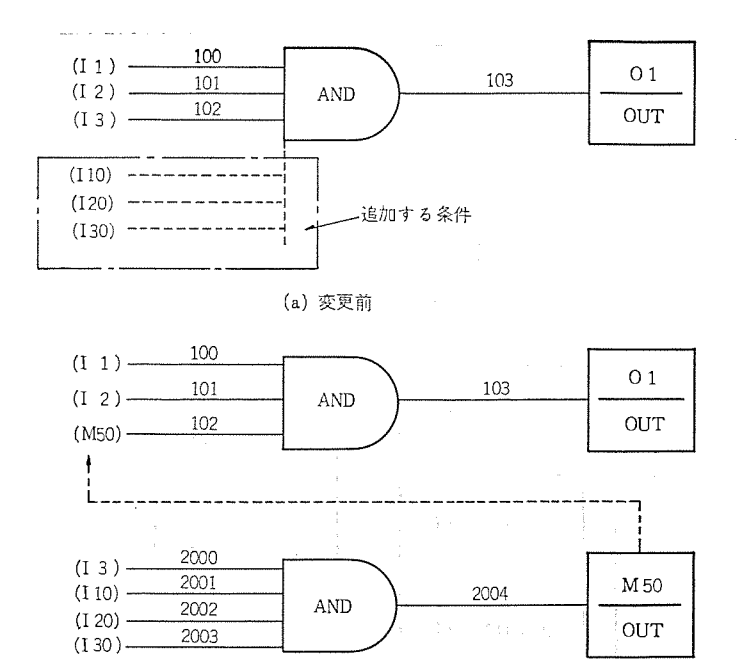


図 4.6 プログラム の 1 ステップ 実行順序 Operation of program execution.



(b) 追加変更後 図 4.7 プログラム度 実 例 Example of program exchange.

(a) プログラム の修正方法

条件の種類が変わったり、条件の機能が変わったりした場合、 プログラミング パネル から I_1O 番号や命令 ボタン を 押し変えるだけで 任意 に修正できる。

(b) プログラム の取消し方法

インタロック 条件や シーケンス 制御回路の一部が不要に なって 取消 す場合は、プログラミング パネル から該当する ラインナンバ に NŌP 命令を書込むことによって変更できる。

(c) プログラム の追加方法

条件が一部追加されたり、シーケンス回路が一部追加された場合、全体のプログラムを書き換えることなく容易に追加変更できる。図4.7は3入力条件に対しさらに3入力の条件を追加したいが、ラインナンバが前後使用されている場合の例を示す。

以上, MELSEC-310 における プログラミング 手法は, 命令, プログラミング およびその取扱いなどすべてが容易に実行される。

5. MELSEC-310 制御盤

MELSEC-310 の制御盤は,図 5.1 に示す構成となる。図の左側には,演算制御部と PI/O,右側は PI/O を収納してある。PI/O 点数の増加によって更に右側に一面追加になる場合がある。図は,PI =512点,PO=256点収納の例を示している。

PI フレーム:

128点(1フレーム当り)

PO フレーム:

64点(1フレーム 当り)

ディジタルソフトタイマ: 32点

6. む す び

シーケンサ MELSEC-310 は、近年のシーケンス 制御の分野における、シーケンス 制御に対する S/W 的、H/W 的考え方の変化に従って生まれたものであるが、これらを扱う人達は従来からの流れの中にいるため、電磁 リレー 盤と半導体 リレー 盤を扱ってきた経験が生かされなければならぬとの要求がある。また H/W 的にも標準化された装置 (特に CPU 部)を集中的に使用するため、故障時の プラント 運転に

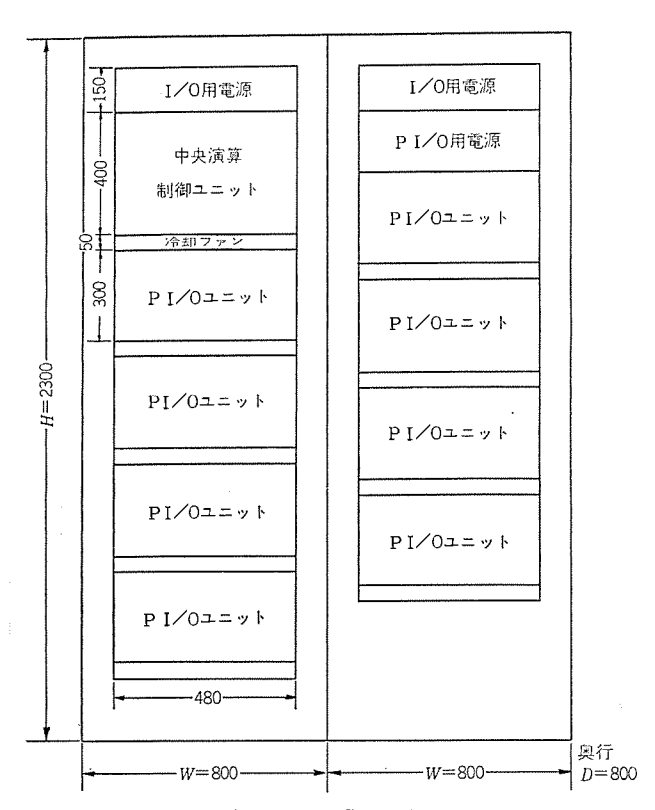


図 5.1 MELSEC-310 制 御 盤 MELSEC-310 control panel.

支障をきたさぬような高信頼性が強く要求される。

万一故障が生じた時に迅速な復旧が行なわれなければならぬこと はもちろんである。

MELSEC-310 は以上のような、基本的な要求を 満 た す シーケンサを開発することに主眼を置いた。

最近は各業における使用実績も積み重ねられ、十分満足すべき結果が得られていると考えている。

最後に MELSEC-310 開発に際し御協力あった関係部門の方および、 MELSEC-310 を プラント の適用に関し御配慮 いただ いた ユーザの方々に深甚の謝意を表する。

シーケンス制御装置 MELSEC-710

岩 永 俊 之* • 片岡 猪三郎*

Programmable Sequence Controllers MELSEC-710

Nagasaki Works Toshiyuki Iwanaga · Isaburo Kataoka

Recently automatic operation and labor saving are extensively taken up for industrial plants. To realize the projects programmable sequence controllers have come in the limelight. As the industrial installations become of a large scale and complication, these new devices are perceived far more advantageous than the wired logic type old arrangements in the points of reliability, flexibility and maintenance.

To meet the demand of these devices, Mitsubishi has developed general purpose sequence controllers MELSEC-710 and added them to the regular manufactures. This article deal with them.

1. まえがき

今日のように、プラントの規模が大形化し、複雑化してくると、生産工程の自動化、省力化をはかるために、それに適用される制御装置も従来の電磁 リレーや、半導体 リレーによる ワイヤード ロジック 方式に代わり、配線変更することなく、シーケンス を自由に変更できる プログラマブル ユニバーサル シーケンス コントローラ が脚光をあびるようになった。

当社では、長年にわたる総括制御装置 MELMAC $_{5$ リーズの実績と豊富な制御用電子計算機の技術とを生かし、 図 1.1 に示されるような 4 本柱を十二分に発揮できるはん(汎)用 $_{5-5$ 5ス 制御装置 MELSEC-710 を製品化した。

なお、MELSEC-710 は MELSEC-310 と同一思想のもとに、 統一化、標準化をはかり、シリーズ化したものである。

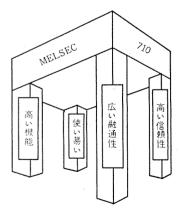


図 1.1 MELSEC-710の4本柱 Four objects of MELSEC-710.

2. MELSEC-710 の特長

MELSEC-710 は次のような特長をもっている。

2.1 使い易いこと

- (a) 従来の リレーシーケンス を作成する手法で、簡単に プログラム することができ、電算機のような、プログラミング のための特殊教育は不要である。
- (b) 更に計算機に慣れた人々のために, フローチャート や ブール 代数から, 直接 プログラム することもできる。従って リレーシーケンス に不慣れな人も, 容易に プログラム することができる。

- (c) サブルーチン 処理ができるので、プログラム の標準化ができ、特に類似 シーケンスの繰り返しが多い場合は、プログラム の ワード数を大幅に減らすと同時に、プログラムミス も減らすことができる。
- (d) 分岐命令をもっているので、プログラムの修正、追加が容易である。
- (e) 運転中の システム の監視, チェック を プログラミング パネル によって容易に行なうことができる。(オンラインモニタ)

試運転中の システムディバッグ においては、 指定の ラインナンバ (プログラム 番地) で、 プログラム の進行を停止させることができる "ディバッグホールト" 機能と プログラム を任意の ラインナンバ から、 1 ステップ ずつ 実行させる "ステップ" 機能をもち、 これらの機能を随時使い分けながら、システムディバック や チェック を行なうことができる。

- (f) 付属機器 (プリンタ、紙 テープパンチ、紙 テープリーダ)を使う ことによって、 プログラム の内容の プリント、紙 テープ への再生、紙 テープ とメモリ との照合、 紙 テープ から メモリ への高速書き込みができるので、プログラム の メインテナンス ヤ ハードウェア の チェック が容易である。
- (g) メモリ は、スイッチ 操作のみ によって、 読み出し専用 メモリ (Read Only Memory=ROM) にするか、読み書き メモリ (Randam Access Memory=RAM) にするかの選択ができるので、 システム のディバッグ が簡単である。

2.2 高い機能を有すること

一 従来の シーケンス 制御に必要な論理演算,一時記憶,タイムディレー のほかに,次のような機能を有し,プログラム の融通性を高めている。

(a) 微分検出処理

プロセス からの信号の立上り、立下りを検出することができる。

(b) 共通 インタロック 処理

共通 インタロック 条件を設定することによって、プログラムの簡素化ができる。

(c) サブルーチン 処理

プログラム の標準化と類似 シーケンス の繰り返し使用に対しては、 大幅に プログラム 数を削減できる。

(d) 割込処理

非常事態の処理,優先制御,高速パルス処理,シーケンスコントローラ 同 志の並列運転,上位計算機との接続など,複雑な制御が容易となる。

2.3 高信頼性であること

(a) 完全無接点化もできる

集積回路 (SSI, MSI, LSI) を主体として、プロセス入出力を除いて、完全に半導体化しているために、可動分がなく長寿命である。なおプロセス入出力についても、無接点形を選択すると完全無接点化ができる。

(b) 非破壊読み出し メモリ の採用

シーケンスを記憶する メモリ には、 非破壊読み出しである ワイヤメモリを使用しているので、記憶内容が誤って変わることなく、安定している。試運転中の システムディバッグ 中は RAM とし、完了後は ROM とすることによって、高信頼性が得られる。

(c) パリティチェック

メモリ から読み出される情報に対して、パリティチェック を行ない、情報の確認を行なっている。

(d) プログラムメモリ の 再読出 し

(e) シーケンス の渋滞監視

演算制御部は Watch Dog Timer (WDT) によって、一巡 \mathfrak{b} ーケンスが、規定時間内にあることを監視し、規定時間を越えた場合は \mathfrak{p} ラーム する。

(f) 耐 ノイズ 対策

プロセス との インタフェース 部である プロセス 入出力部は, 従来の強電 用制御機器の経験を十分に生かし, 耐 ノイズ 対策をほどこし,強電 回路との直接接続ができる。

2.4 融通性があること

(a) ソフトウェア と ハードウェア を完全に分離し、ハードウェア は共通化して、各仕様ごとの シーケンス は、メモリ へ書き込む、 いわゆる プログラム によって、仕様に合った シーケンス を作成する ストアード プログラム 方式であるために、 シーケンス の変更を必要とする場合も、配線変更することなく、メモリ の書き換えだけでよい。

また、メモリへの書き込みは、製造の最終工程となるので、仕様決定のスケジュールと ハードウェア 製作の工程は別に管理できるので、仕様の検討を十分に行なう余裕をもつことができる。

- (b) プロセス入力、出力、タイマなどの各ュニットはビルディングブロック式に増設できるから、システムの規模にあわせて、最適な点数を実装すればよい。
- (c) 入力・出力点数が各々 2,048 点, タイマが 1,024 点, メモリが 8 kW と容量が大きいので, 大規模な制御が容易に実現される。
- (d) 各ユニットは MELSEC-310 と互換性がある。
- (e) 特殊 プロセス 入出力 ユニット によって、パルスカウント、プリセット カウント 制御等、パルス 計数制御もできる。また、 シーケンスカウンタ によって、組合せ論理形の シーケンス のみならず、順序形 シーケンス も簡単に プログラム できる。
- (f) オフライン コンピュータ を使って、 アセンブラ によって プログラム し、プログラムリスト 作成、紙 r-ブ の作成が自動的にできる。 この紙 r-ブ を紙 r-ブリーダ にかけて、高速で yモリ への書き込みを行なうことができる。

3. MELSEC-710 の基本構成と機能

3.1 機能と構成

MELSEC-710 の システムブロック 図を図3.1 に示す。この図によっ

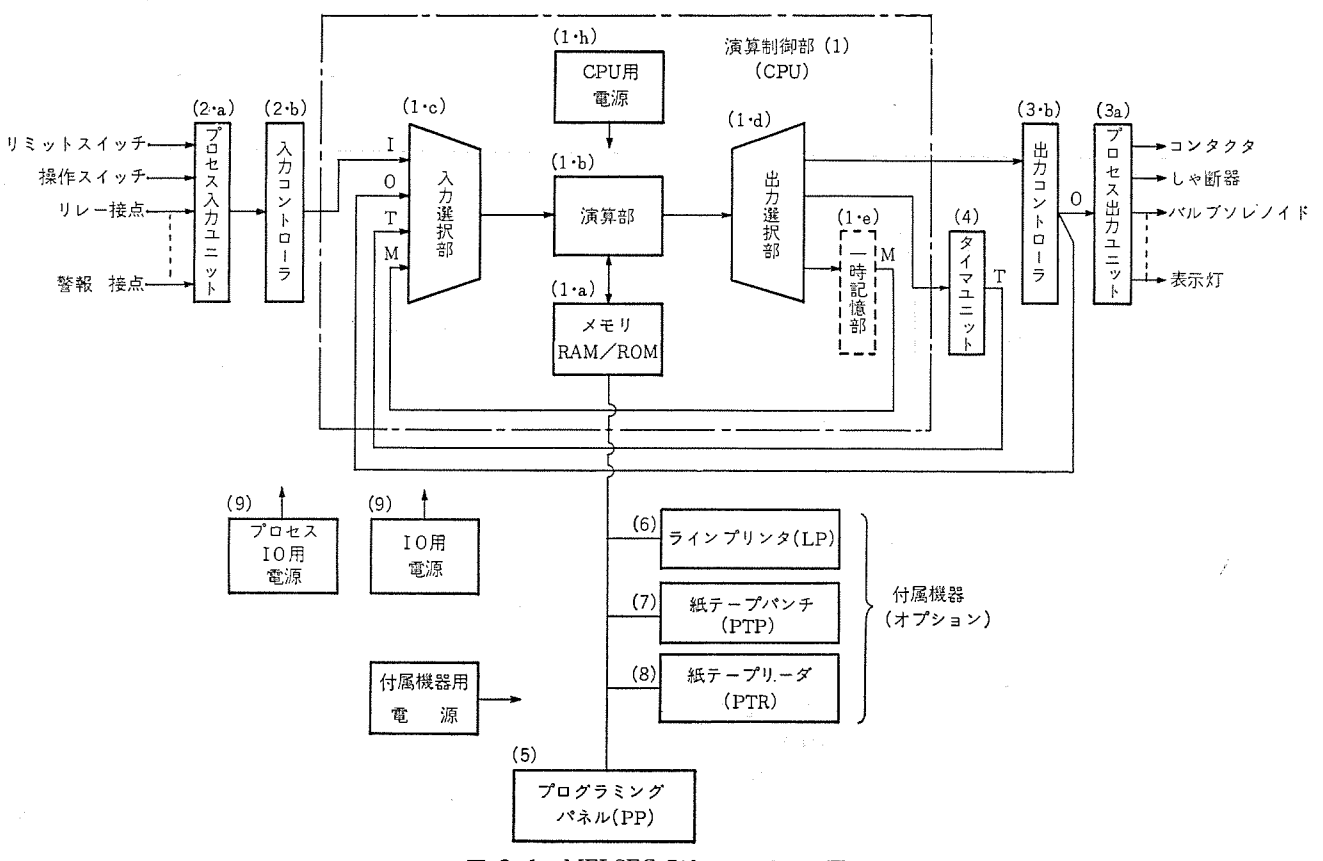


図 3. 1 MELSEC-710 システムブロック 図 MELSEC-710 system block diagram.

て各ブロックの機能の概要を説明する。

3.1.1 演算制御部 (CPU)

MELSEC-710 の中枢となる部分で、シーケンスの演算を実行し、プロセス機器への指令を出す部分であり、メモリ $(1 \cdot a)$ 、演算部 $(1 \cdot b)$ 、入力選択部 $(1 \cdot c)$ 、出力選択部 $(1 \cdot d)$ 、一時記憶部 $(1 \cdot e)$ から構成される。

(1・a) メモリ

実行すべき \mathfrak{d} ーケンス が、記憶されている部分で、 この情報を $\mathbb{C}P$ $\mathbb{C}P$

- (i) メモリの読み出しの場合, メモリの内容が、読み出しごとに 破壊されて再書き込みを要する コアメモリ と異なり、 この メモリ は、 破壊せずに読み出す"非破壊 メモリ"であるために、安定度が高い。
- (ii) スイッチ 操作のみによって、RAM、ROM の切換えが可能であるから、ディバック 完了後は ROM としておけば、不要意に メモリが書き換えられることがない。
- (iii) メモリの予備品に、常用品と同じ内容を記憶させておき、万一の メモリトラブル 時に、ダウンタイム を最少にとどめることができる。

(1·b) 演算部

メモリの情報を解読して、入力選択部からの信号を演算処理し、その結果を出力選択部へ送る。

(1·c) 入力選択部

減算部で指定した入力信号を選択する部分で,入力の種類として,プロセス入力 ユニット からの信号(I), 出力 コントローラ からの フィードバック 信号(O),タイマユニット からの信号(T), 一時記憶部からの信号(M)があり,との中で 1 点を選択し,演算部へ送出する。

(1·d) 出力選択部

演算部で演算処理された信号を送り出す出力点の選択を行なうと ころで、出力の種類として、プロセス出力(O)、 タイマユニット(T)、 一時記憶部(M)がある。

(1·e) 一時記憶部

演算処理の際,一時的に記憶する場合に用いるもので,補助リレーによる自己保持回路に相当するものである。

基本として 768 点が標準, オプション として最大 1,280 点まで増設可能である。なお、一時記憶部の次の番地は特殊用として使用する。

3.1.2 入力部

入力部はプロセス入力ユニット(2・a) と入力コントローラ(2・b) からなる。

プロセス機器からの信号をプロセス入力ユニットによって、IC の動作電圧レベルに変換し、入力コントロールによって、1点を選択して、演算制御部へ信号を送る。プロセス入力ユニットは表 3.1 に示すような標準品が完備しており、システムに応じて、この中から選択することができる。

3. 1. 3 出力部

出力部は プロセス 出力 ユニット (3・a) と出力 コントローラ(3・b) からな

出力 コントローラは、 演算制御部からの信号を出力の選択された 1 点に信号を出すもので、 プロセス出力 ユニットは、 その信号をプロセス機器を駆動することのできる信号 レベル に増幅するものである。 プロセス 出力 ユニットは、 表 3. 2 に示すような標準品が完備しており、 システム に応じて、 その中から選択することができる。

3. 1. 4 タイマユニット

ソフトウェアタイマであり、時限の設定 (0.05 秒~950 秒)、 タイマの セット、リセット、タイマの状態検出すべて プログラム で処理することができる。

割込処理を利用することによって、1個の タイマ の多重使用が可能である。

そのほかに、時限の設定を可変抵抗器によって行なう アナログタイマ もあり、用途に応じて、これらの特長を生かすように選定すること ができる。

3. 1. 5 プログラミング パネル (PP)

これは、演算制御部内の メモリ の プログラム を書き込んだり、 メモリ の内容を読み出したりするほかに、演算制御部の チェック、オンライン シーケンス チェック などを行なうことができる。

更に、ラインブリンタ、紙 テープパンチ、紙 テープリーダ を使うと、プログラムの再生、コピー を行なうことができる。(詳細については4章を参照

表 3.1 プロセス 入力 ユニット

Process input unit.

アイテ	形名	入力信号(5	プロセス側)	出力信号		入出	力間絶縁	プロセス	との接続	実装	特 長	用 途
テム	形名	電 圧	電 流	(CPU側)	有	無	方 式	コネクタ	端子台	点数	10 10	711 1205
1	(PIAF)	AC 110V	10mA	IC レベル(5V)	0		トランス	0	_	16) ACスカ	プロセス一般
	PIAA (PIBF)	AC 110V AC 220V	1 0mA	IC レベル(5V) ICレベル(5V)	0		トランス	0	0	16	トランス絶縁	リミットスイッチ } } 等
2	PIAB	AC 220V	10mA	IC・レベル(5V)	0		トランス	-	0		」無接点式	1) V J
3	PICA	DC 48V	10mA	IC レベル(5V)	0		リードリレー	_	0	16	DC入力 リレー絶縁	コンピュータとの接点
4	PICB	DC 100V	l OmA	IC レベル(5V)	0		リードリレー		0	16	有接点式	
5	PIDA	DC 12V 24V DC 12V 24V	1 0m A			0		_	0	16	DC入力	近接スイッチ ディジタルスイッチ
											無接点式	ロジックレベル

表 3. 2 プロセス 出力 ユニット

Process output unit.

アイテ	形名	出力信号(プロセス側)	入 力 信 号		入出	力間の絶縁	プロセス	との接続	実装	, I. 4.	
テム	/// 13	電源電圧	負荷電流	(CPU側)	有	無	方 式	コネクタ	端子台	点数	特 長	用 途
,	(POAF)	AC 110V	2A	IC レベル(5V)	0		パルストランス	0		8)AC出力	プロセス一般
	POAA	AC 110V	2A	IC レベル(5V)	0		パルストランス	_	0	8	無接点式	ACバルブ用
2	(POBF)	AC 220V	2A	IC レベル(5V)	0		バルストランス	0		8	BCR使用	
2	PÖAB	AC 220V	2A	IC レベル(5V)	0		パルストランス		0	8		
3	(POCF)) 4 00007) 0 . 0	IC レベル(5V)	0		リレー	0	_	8) 接点出力	8点独立接点
١	POCA	AC220V 110V	S-50 コンタクタ以下 SD-112	IC WW(5V)	0		リレー	-	0	8		
4		DC100V	以下	48,474,41								8点コモン接続
	POCB			IC レベル(5V)	0		リレー		0	8		8点トランスファ
5		DC48V 以下	低レベル									コンピュータ用
	POCC	21		IC レベル(5V)	0		リレー		0	8	, <u> </u>	低レベル用
	· ·	DC 100 V	2A				パルストランス			8	DC出力	DCバルプ
6	POBA			IC レベル(5V)	0			-	0		無接点 AC電源	クラッチ ブレーキ DCコンタクタ

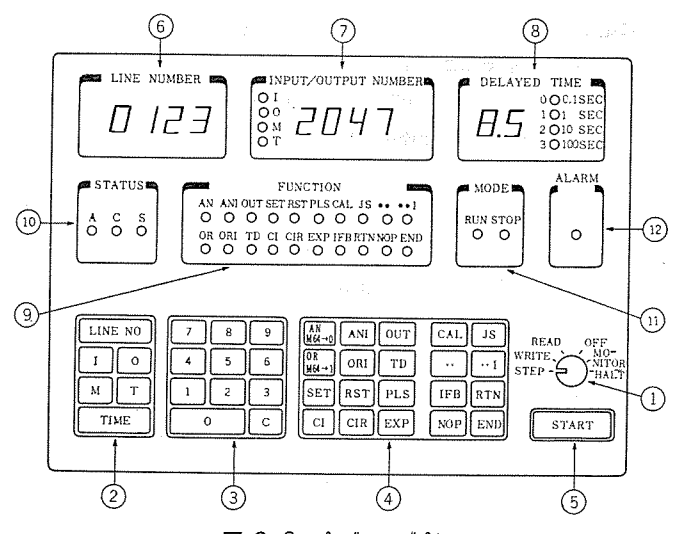


図 3. 2 プログラミングパネル Programming panel.

のてと)

プログラミング パネル は、マンマシンインタフェース であり、使い易いことを 第一目標において、次のことを実現している。

- (i) テンキー 押し ボタンスイッチ を採用。
- (ii) 10 進表示としている。
- (iii) +- 配置は,人間工学的に設計されている。
- (iv) 持ち運びが容易となるよう、アタッシュケースに収納している。 3.1.6 ラインプリンタ (LP)

演算制御部内の メモリ の記憶内容 (機械語で記憶) を人間が理解し易い アセンブラ 言語に変換して、 プリントアウト する。

演算制御部を使用しない(オフライン 使用)で, プログラミング パネル と 紙 F-プパンチで, あらか じめ プログラム を紙 F-プ にする場合も, その 内容を プリントアウト することができる。

3.1.7 紙テープパンチ (PTP)

演算制御部内の メモリ の記憶内容を紙 テープ に写し取る(メモリダンプ) ことができるので、 システムディバッグ 後の メモリ の内容を紙 テープ で保存し、メモリ へ再書き込みを必要とする場合、紙 テープリーダ を使用して、簡単に処理できる。

上述のように、オフラインで、 プログラミング パネル と紙 テープパンチ を使

表 3. 3 MELSEC-710 仕様一覧表 Specification of MELSEC-710.

	方:	ストアード プログラム式
演	アドレス方式	メモリ直接アドレス式 入力,出力,タイマ,一時記憶に対しては,相対ア ドレス式
算	命令実行時間	10 μs
制	命 令 語	18 秘類
御.	制御メモリ素子	ワイヤメモリ (非酸蝦形)
部	制御メモリ容量	2k, 4k, 8k語
	一 時 記 憶	IC メモリ, 基本 768 点, 最大 1,280 点, 256 点単位
	割 込 機 能	ーレベル,9要因 とのうち禁止可7点
プロ	実 装 点 数	最大 2,048 点 16 点単位
セス人	種類および仕様	表による
部	入力ユニット収納フレーム	128 点/フレーム入力専用 64 点/フレーム入出力混在
プロ	実 装 点 数	最大 2,048 点 8 点单位
セス	種類および仕様	表による
出力部	出力ユニット収納フレーム	128 点/フレーム入力専用 32 点/フレーム入出力混在
g.	方 式	ディジタル式ソフトタイマ
1 7	実 装 点 数	最大 1,024 点 8 点単位 最大 128 点/フレーム 1 個のタイマの多重使用可
付	プログラミングバネル	機 能ブログラム書込, 読出, 1ステップ実 行, ホールトオンラインモニタ 外 形可撤形
属	紙 テ ー ブ バ ン チ (オプション)	速 度最大 1,800 字/分 紙テープ 8 単位 25.4 mm 福 規 格ISO
機	紙 テ ー プ リ ー ダ (オプション)	速 度最大 2,000 字/分 紙テープ 8 単位 25.4 mm 幅 規 格…~ISO
器	プ リ ン タ (オブション)	機 能ブログラミング バネル操作記録 ブログラムメモリ ハードコピー 速 度350 ms/ライン けた 数18けた, 89 mm 幅
∄	アナログタイマ	設定範囲;最大 50 ms~200 s 手動設定 ディジタルソフトタイマと互換性有
ブシ	シーケンスカウンタ	方 式;直列歩進, 並列歩進 ステップ数;7ステップ/単位, 28ステップ/カード
9 ン	プリセットカウ ンタ	ブリセット方式;直接およびリモートブリセット けた数;10 進 4 けた PI/O と互換性有
能	ラッチ 出力	実装点数;最大256点,4点単位 外部出力有 最大512点,8点単位 外部出力無 PI/Oと互換性有

用して、プログラムの作成も可能である。

3.1.8 紙テープリーダ (PTR)

紙 テープパンチ や オフライン コンピュータ で作成した紙 テープ の内容 を 演 算制御部内のメモリへ書き込むものである。

以上に MELSEC-710 の主機能について述べたが、これらをまと めたものが表 3.3 に示す主仕様一覧表である。

3.2 命令体系

命令の詳細については表 3.4 を参照, 大別すると, 次のように なる。

- (1) 論理命令: AND, OR とそれらの否定からなる命令であ る。
- (2) 機能命令: タイマ 設定, セット, リセット, 共通 インタロック 設定 とその解除、微分検出命令が含まれる。
- (3) 出力命令: OUT 命令がある。
- (4) プログラム 制御命令: 判断分岐, 無条件分岐, 無効, 終了

表 3.4 MELSEC-710 命令表 List of instructions for MEI SEC-710

大別		シンボル	マシン コード	内容
論理	論理積(肯) (否)	AN ANI	/B 8* /BC*	現在の演算結果と入力との論理積をとる 入力には I, O, T, M があり出力命令後は 入力読込指令となる
命令	論理和(背) (否)	OR ORI	/B 0* /B 4*	現在の演算結果と入力との論理和をとる 入力には I, O, T, M があり出力命令後は 入力読込命令となる
檓	タイマ設定	TD	01	0.05 秒~950 秒のセットが可能 タイマへのセット,リセットは現在の演算結 果による
能	条件出力	SET RST	/A 8* /AC*	条件が満たされた時のみこの指令セット, リセットは有効 出力先には O, M がある
命	共通インタ ロック設定	CI CIR	/C 0* /E 4*	共通条件のセット, リセット指令でとの条件 は出力命令時のインタロックとなる. 条件と して I, O, T, M を指定できる
令	微分検出	PLS	/F 8*	入力信号の立上り,立下り微分をとらえるバルスカット指令
出力命令	無条件出力	OUT	/A 4*	現在の演算結果を無条件に出力する 出力先は O, M
プ	判断分鼓	IFB	100	条件が満たされればオペラントに指定したブログラム No. にシーケンスを移向させる
ログラ・	無条件分鼓			IFBの前に強制的に"1"を読込む操作をしてやれば IFB で指定されたプログラム No. にシーケンスを無条件に移向
ム制御命	無 効	NOP	/FF	シーケンスの削除等に有効
令	終了	END	001	シーケンスを開始番地にもどす
特	サブルーチ ン 処 理	CAL JS 	110 /F 0* /E 0	相似形シーケンスの郡又は同一内容のシーケ ンス郡が存続又は依在する場合サブルーチン 処理によりプログラム数の大幅削減が可能
殊命	主ルーチン 復 帰	RTN	/E 8	サブルーチン→主ルーチンまたは割込ルーチ ン主ルーチンへの復帰に使用
令	拡 張	EXP	/00	入力,出力,タイマ,一時記憶の点数拡張に 使用,各 256 点ごとに更新を行なう

マシンコード中 / は 16 進表示,他は上位ビットの構成を示す

* は16進の下位2ビットを00とみなして表示

I……入力信号 O……出力フィードバック信号 T……タイマ出力信号

M……一時記憶の信号

命令が含まれる。

(5) 特殊命令: サブルーチン 処理命令, 拡張命令が含まれる。

4. 制 御

MELSEC-710 の制御盤は、図 4.1 の構成となる。外形寸法は 2,100(H)×800(W)×800(D) を標準とし, 図の左側は演算制御部の 収納盤を、右側は、入出力の収納盤を示す。

I ……プロセス 入力 フレーム 128 点/フレーム

〇……プロセス 出力 フレーム 64 点/フレーム

 $T \cdots g1$

128 点/フレーム

M……入出力混合 フレーム I:64 点, O:32 点

I, O, T, Mは上記4種のいずれかを任意に選択することができ る。タイマフレーム以外の、I、O、Mは同一配線となっている。

電源部は IO 電源 (+5 V) および PIO 電源 (+100 V, +48 V, +24 V, +12 V) のほかに、演算制御部の フレーム に、それの電源が 実装されている。

制御盤の設置条件:

電 源 AC 100 V/110 V + 10 %, -15 %

周囲温度 0~50°C

湿度

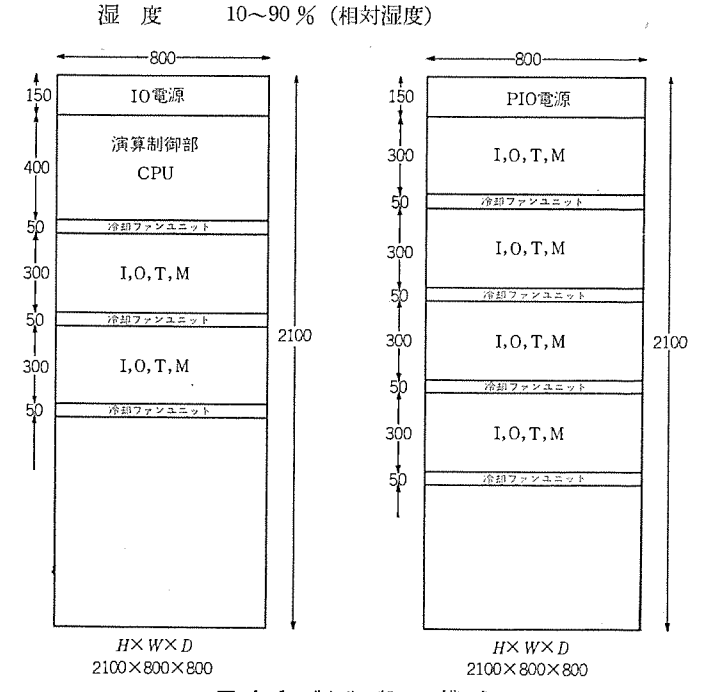


図 4.1 制 御 盤 の 構 成 Construction of control panel.

5. 応用と実例

5.1 プログラミング パネルからの書き込み操作

図 5.1 のような リレー 回路の プログラム 例について述べる。なお, これは、図5.2のような論理図に書き換えられる。

今との シーケンス を ラインナンバ 1000 から プログラミング パネル を用い て, メモリへ書き込む操作について述べる。(図 3.2 を参照のこと)

- (1) モードスイッチ ① を WRITE にする。
- (2) スイッチ②の LINE NO を押す。
- (3) スイッチ③で ラインナンバ 1000 を設定する。 [1]→[0]→[0]→[0] の順に押す。
- (4) スイッチ②の []を押す。
- (5) スイッチ③の ①を押す。

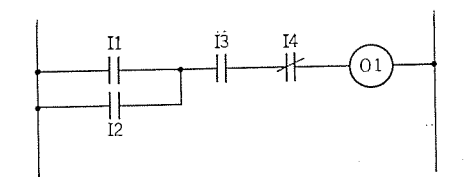


図 5.1 リレーシーケンス例 Example of relay sequence.

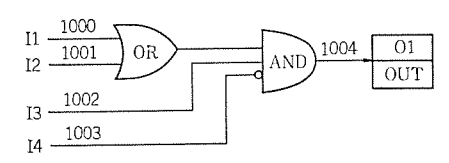


図 5.2 論理 シンボルシーケンス 例 Example of logical symbol sequence.

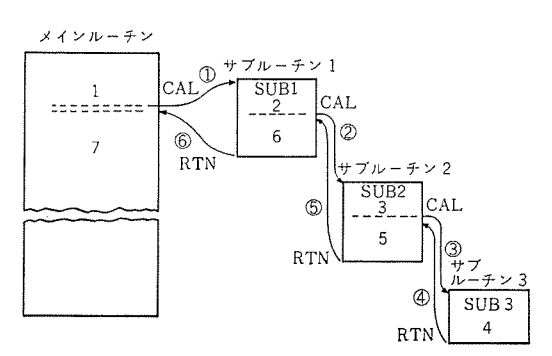


図 5.4 多重 サブルーチンフロー Flow of multiple subroutine.

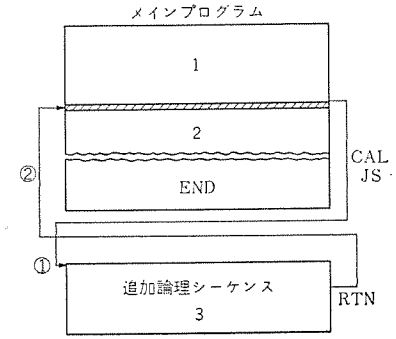


図 5.5 論理 シーケンス の追加 Insertion of logical sequence.

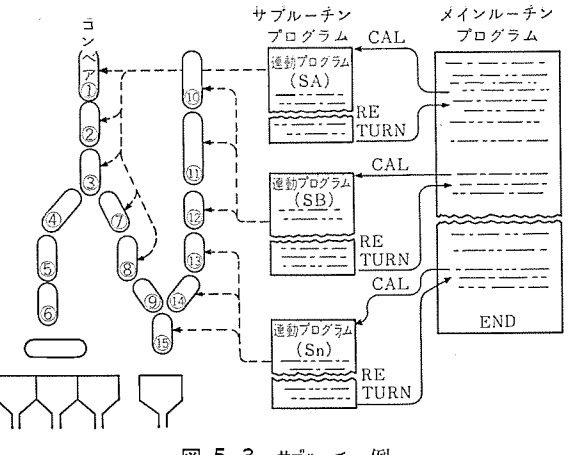
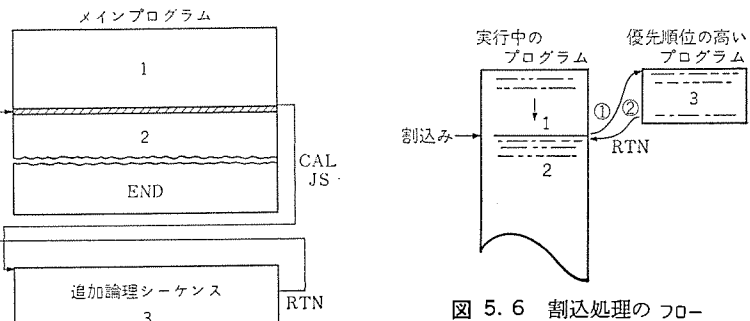


図 5.3 サブルーチン 例 Example of subroutine.



Flow of interrupt control.

- (6) スイッチ ④の OR を押す。
- (7) 表示器の内容を確認したうえで スイッチ ⑤の START を押 す。この時 ラインナンバは 1001 になる。
 - (8) スイッチ②の [[を押す。
 - (9) スイッチ ③の ②を押す。
 - (10) スイッチ ④ の OR を押す。
- (11) 表示器の内容を確認したうえで スイッチ ⑤ の START を押 す。この時 ラインナンバは 1002 になる。
 - (12) スイッチ②の [[を押す。
 - (13) スイッチ ③ の ③ を押す。
 - (14) スイッチ ④ の AN を押す。
- (15) 表示器の内容を確認したうえで スイッチ (5) の |START| を押 す。この時 ラインナンバは 1003 となる。
 - (16) スイッチ②の [[を押す。
 - (17) スイッチ ③の 昼を押す。
 - (18) スイッチ ④ の [ANI] を押す。
- (19) 表示器の内容を確認したらえで スイッチ ⑤ の [START] を押 す。この時 ラインナンバは 1004 となる。
 - (20) スイッチ②の回を押す。
 - (21) スイッチ ③ の 1 を押す。
 - (22) スイッチ ④ の OUT を押す。
- (23) 表示器の内容を確認したうえで スイッチ ⑤ の START を押 す。この時 ラインナンバは 1005 となる。

5.2 サブルーチン処理

図 5.3の コンベヤライン のように 通常各 モータの 運転 シーケンス は, ほぼ同じで代表的な数種の プログラム に分類され、 ここの例では サブ ルーチンSAはコンベヤ①②③⑦⑧に、サブルーチンSBは⑩⑪⑫というよ うに適用される。また多重サブルーチン(サブルーチンのサブルーチン化)の シーケンスフロー を図 5.4 に示す。 $1 \sim 7$ は実行される シーケンス の順 序、①~⑥はシーケンスの移行を示す。

またサブルーチンとは多少異なった処理の利用により論理シーケンスの 追加を追加後の シーケンス をずらすことなく容易にで きる。 図 5.5 にこの例を示す。斜線の部分(シーケンス1と2の区切り)に追加論理 シーケンス3を導入するが、2のラインナンバの変更は必要ない。

5.3 割込処理

図 5.6 に示すように実行中の プログラム(シーケンス1) を外部から の信号, つまり割込により1→2を一時中断し, 優先順位の高い プ ログラム(シーケンス3)を実行し、 その後もとの プログラム2を実行する。

6. む す び

以上 MELSEC-710 の概要を述べたが、 シーケンス 表現を簡易化で きる新 タイプの シーケンス 専用制御装置として出現したものが MELS EC-710 である。

最後に開発―製品化にあたって多大の御協力を賜った本重計(長 駐:船計) および長電の関係各位, また MELSEC 技術委員各位に 深く感謝する。

三菱マイクロコントローラ MELMIC-100

松村雅司*・伊藤祐暢*・森本克英*加川廣光*・近藤耕一*

MITSUBISHI Micro Controllers MELMIC-100

Communication Equipment Works

Masaji Matsumura • Sukenobu Itô • Katsuhide Morimoto
Hiromitsu Kagawa • Koichi Kondo

Since the outset of 1970 programmable logic controllers have come to draw attension as an important means of automatic control and labor saving and a variety of types have been developed and manufactured.

Micro controllers MELMIC-100 are the ones developed in use of inventive imaginations and techniques from the initial stage of the trend and applied in the various fields. They are used not only for sequence control and interlock control, but also for general purpose programmable logic controllers feasible to have arithmetic processing and data recording. They occupy a remarkable position in the field of automation and open out a new field of application different from the control by computers or wired logic systems.

l. まえがき

シーケンス制御装置は、従来、電磁リレーを用いてシーケンスの内容を個別に配線で処理する専用のリレーシーケンス盤により製作されていた。しかし、制御内容の複雑化・大規模化・高級化の要請にともない、1970年代に入って、制御装置を共通のハードウェアで構成し、制御内容をプログラムの形でメモリに記憶させて、それを順次読み出して実行することによりシーケンス制御の実現を図ろうとする"はん(汎)用シーケンス制御装置"(Programmable Logic Controller)が現われはじめた。

このような動きは、その目的や内容、規模、方法などの千差万別なシーケンス制御を、従来のようなリレーのコイルや接点の配線という一品料理的な製造方法で処理していたのでは、設計・製作・調整・試験などに要する労力の合理化を図ることは困難であり、また、制御装置の量産効果や工期の短縮は望むことができないという事情から生れてきたものである。この傾向は、量的に増大し質的にも多様化しているシーケンス制御盤の需要に対する専門のシーケンス制御設計技術者の相対的な不足と、最近特に顕著になっている人件費の高騰とがいっそう拍車をかけている。

このような形のはん用 シーケンス 制御装置の特長としては,

- (1) 本来,シーケンス制御はその性質上,ほとんどが一品料理的 色彩が強いが、これら制御内容の多様さに影響されない制御装置を 実現できる。いいかえれば、制御装置の設計・製作・調整が標準化 できるため、制御装置の ハードウェア および シーケンス 作成作業が標準 化でき、品質の均一な シーケンス 制御装置が得られる。
- (2) シーケンス 内容の仕様決定が遅れても、 ハードウエア は独立に製作できるため、納期に影響を与えない。
- (3) シーケンス内容の変更は メモリ 内容をかきかえるだけであり、また、入出力点数は ブロック単位で増設できるため、現地でのシーケンス変更や設備増設時の仕様変更が容易である。
- (4) ユーザ自身で シーケンス が組めるため、制御内容の機密保持が可能になる。

等をあげることができる。

一方、技術的な背景としては、電子計算機に代表される ディジタル

技術、および、その構成部品としての半導体素子特に集積回路(IC)が普及し、その信頼性が向上して オンライン 制御装置として適用可能になるにつれて、そこで開発された技術を シーケンス 制御の分野 に導入し、電子計算機のもつ長所を積極的に活用することによって はん用 シーケンス 制御装置の製作が可能になったとみることができる。

しかし、電子計算機の技術を利用しているとはいえ、 はん用 シーケンス 制御装置はあくまでも主要目的を「シーケンス 制御」にしぼった単能機であり、電子計算機とは次のような種々の差異が認められる。

- (1) シーケンス 制御向きの簡単な言語で プログラム できるので、 電子計算機につきまとう "ソフトウエア" 体系という イメージ はまった く必要としない。
- (2) 回路的に、 \mathfrak{d} \mathfrak{d} \mathfrak{d} \mathfrak{d} \mathfrak{d} \mathfrak{d} \mathfrak{d} ことができるため、動作も理解し易く、また、使用部品点数も少なくて済むため、高信頼化、小形化を図ることができる。
- (3) 操作が容易(ほとんど ワンタッチオペレーション)であり、誤操作防止を図ることができる。
- (4) 外部機器との接続,配線は,装置自身に耐環境,耐維音性の配慮がなされているため, 従来のリレーによる制御盤と同じ感覚で取扱うことができる。
- (5) 装置の基礎となっている計算機技術や エレクトロニクス などの知識を必要とせず, "Component" または "Black Box" とみなして, 所要の シーケンス を組むことができる。

マイクロコントローラ MELMIC-100 は、上記のような はん用 シーケンス 制御装置を主な目的として開発・製作されたが、従来の シーケンス 制御装置にはない新しい機能が付加されている。すなわち、単なる入出力状態の組み合せや順序制御だけでなく、

- (1) 数値 データの演算や処理
- (2) データの記録や作表
- (3) 上位計算機との接続

等も可能にした点でユニークな存在である。 MELMIC-100 のもつとれらの特長は、1971 年春、はん用シーケンス 制御装置の草創期に発表して以来、数多くの適用実績をみてもユニークなはん用シーケンス 制御装置として利用され、独自の応用分野を築いている。

* 通信機製作所

2. MELMIC-100

2.1 特 徴

(1) 演算機能を備えた シーケンス 制御装置である

通常の シーケンス 制御に必要な ビット 演算命令群に加えて、 算術演算機能を有しているので、 演算機能を必要とする シーケンス 制御 システム には最適である。

また、MELMIC-100 は上位の計算機との接続や数値データの処理、記録等も可能である。

(2) プログラミング ロジック である

MELMIC-100 による制御装置の設計は,その制御手順を直観的に取扱い易い シンボリック な命令で プログラム し, その内容を メモリ(読み出し専用 メモリ ROM カード,または リード ライトメモリ RAM カード)に記憶させるだけであり, 従来の ワイヤードロジック のような回路設計は不要である。

したがって システム の細部が決まらなくても、 ハードウェア の製作を 進めることができ、工期の短縮を図ることができる。

プログラム を記憶させる メモリ には ROM カード または RAM カードを使用している。 ROM カード は非破壊 メモリ なので、 誤操作や停電などによって、 その内容が破壊されることがなく半永久的に記憶されるので、 従来の ワイヤードロジック と同様な感覚で取扱うことができる。

プログラム や シーケンス の変更が予想される場合は RAM h-ドを使用すれば、 現場で簡単に変更することができる。 また RAM h-ドと ROM h-ドは互換性があり、 最初 RAM h-ドで プログラム を テスト し、現場での運用状況の結果をみてから ROM h-ドに変更することができる。

(3) システム の変更や設備の拡張に容易に対応できる

プログラム の変更や ブロック 別に構成された入出力用の プリント 基板を 増減するだけで システム の変更・拡張を行なうことができ、 従来の ワイヤードロジック 回路のような配線の変更を必要としない。

(4) 低価格, 超小形, 高信頼性である

回路素子に集積回路を使用しているため、超小形、高信頼性である。また制御 システム の規模に応じて入出力点数や、 メモリ 容量が決められるので、システム にむだがなく、また増設に対しても容易に変更できるため、価格面において非常に有利である。

さらに制御 システム に組込んだ状態では、 不必要になる メインテナンス パネル などは別装置として完全に分離できるので、信頼性や価格の 点でも有利である。

(5) 豊富な周辺装置が完備されている

多種の制御 システム に対応できるように、多数の周辺装置が完備されている (表 2.2 参照)。

2.2 構成

MELMIC-100 は、演算制御 ユニット を中心としてその周辺に各種の周辺装置を接続することができる。構成を図 2.2 に示す。

2.3 仕 様

(1) 演算制御 ユニット

回路素子: TTL/DTL 集積回路, MSI, LSI

制御手順: 読出し専用内部 プログラム 記憶方式

演算方式: 2進並列, 固定小数点

命令種類: 基本 27 種 (表 2.1)

演算速度: 1命令当たり 4 μs 語 長: 16 ビット

図 2. 1 マイクロコントローラ MELMIC-100 Micro controller MELMIC-100.

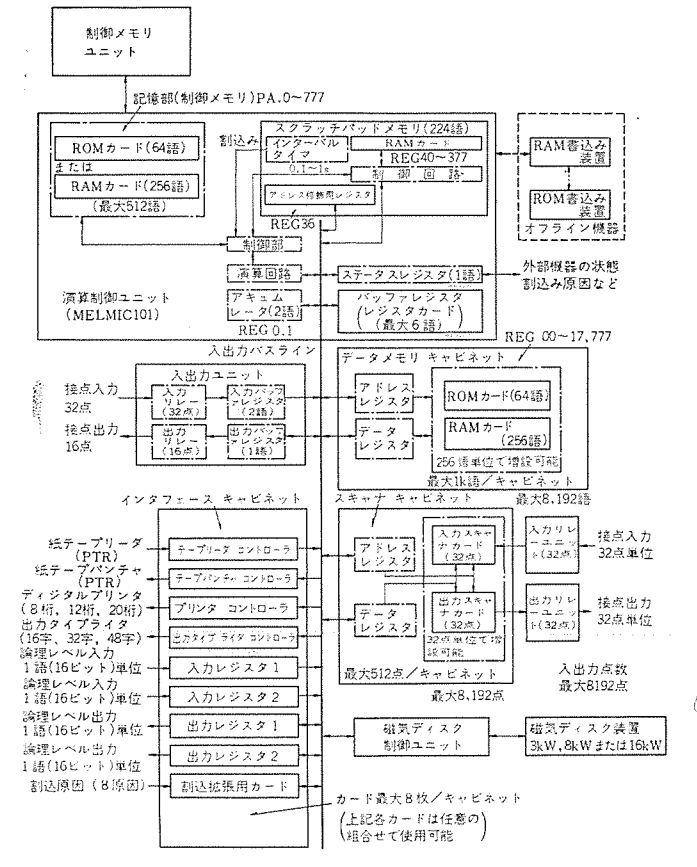


図 2. 2 MELMIC-100 の構成 Block diagram of MELMIC-100.

メモリ:

制御手順記述(制御 メモリ); 読出し専用 メモリ 256 語, ROM カード または RAM カード 最大 1,024 語 まで拡張可能(ただし 512 語を越える場合は制御 メモリュニット に メモリ を収納)

レジスタ;IC レジスタ (内部・外部ともで最大 32 語)

内部 レジスタ

アキュムレータ 2 語 スティタスレジスタ 1 語

アドレス 修飾用 レジスタ

1 語增設可能

バッファレジスタ 外部 レジスタ 6 語接続可能 22 語接続可能

データ 記憶用

スクラッチパッドメモリ 224語,接続可能

割込み: 1レベル6原因(標準装備),割込み原因はさらに外

部增設可能

タイマ: 内蔵可能

形 状: 高さ 250, 幅 480, 奥行 410 mm, ラックマウントタイプ

電源: AC 100 V ±10 %, 1φ, 50/60 Hz

周囲条件: 温度 0℃~50℃

湿度95%以下(結露しないこと)

表 2.1 MELMIC-100 命令一覧表 Instruction list of MELMIC-100.

分類	シンボリッ クコード	名	称
算	A	加第	Add
術	AI	直接加算	Add Immediately
馘	s	诚 弈	Subtract
算	SI	直接波算	Subtract Immediately
論	AND	論 理 積	logical AND
理	ANI	直接論理積	logical AND Immediately
液	OR	論 理 和	logical OR
	ORI	直接論理和	logical OR Immediately
算	EOR	排他的論理和	Exclusive OR
転	L	読 出	Load to accumulator
	TFR	転 送	Transfer to register
送	LI	直接說出	Load to accumulator Immediately
ピッ	SEB	セットビット	Set Bit
F	REB	リセットビット	Reset Bit
算	TEB	ビット条件判定	Test Bit
け	SL	左シフト	Shift Left
た	SR	右 シ フ ト	Shift Right
移	SLD	倍額長左シフト	Shift Left Double word
動	SRD	倍語長右シフト	Shift Right Double word
इंग्रो	В	無条件飛越	Branch unconditionally
判	BNE	負条件飛越	Branch on accumulator Negative
	BZE	零条件飛越	Branch on accumulator Zero
断	вро	非負条件飛越	Branch on accumulator Positive or zero
	BIN	間接飛越	Branch Indirect
御	со	出 力 指 令	Command Output
	TM	割 込 復 帰	Terminate
御	NOP	無 動 作	No Operation

表 2. 2 周 辺 装 置 の 主 要 性 能 Fundamental characteristics of peripheral equipments.

名	称	∃E.	要	性	能
入出カユ	ニット	入力:32点,維	電器接点		
		出力:16点, 維	電器接点		
ディジタル	スキャナ	32 点単位で,入	出力点合計	设大 8,19	2 点
		接点または論理	レベル (0 V/	5 V) イン	· タフェース
データ	メモリ	256 語単位で、北	と大 8,192 語		
		RAM カードま	たは ROM カ	7 F	
磁気デ	ィスク	3,072 糖,8,192]	語または 16,3	884 語	
-		平均アクセスタイ	イム 60 Hz	の場合 8.	3 ms
			50 Hz	の場合 10	0 ms
入力レ	ジスタ	1 語単位の論理:	レベル (0 V/	5 V) -入っ	カインタフェース
出カレ	ジスタ	1 語単位の論理:	レベル (0 🏻	5 V) 出	カインタフェース
紙テープ	リーダ	読取り速度 1,0	00 字/分		
紙テープバ	・ンチャ	さん孔速度 1,0	00 字/分		
ディジタル	プリンタ	1行あたり8,12	2 または 20 け	た	
M.		印字速度 最大	3 行/秒		
出力タイプ	'ライタ	印字種類 16,3	2,46種類		
		印字速度 最大	10 字/秒		
ROM 書		読出し専用メモ	(ROM)	へのプロク	グラム書込み装置
RAM 書	込 装 置	可変メモリ(RA	AM) へのブ	ログラムを	夢込み,およびプ
		ログラムデバック	グ用装置		

(2) 周辺装置

表 2.2 に各周辺装置の仕様を示す。

2.4 各部の機能

各コニットの機能は文献(1)に記載してあるのでことでは省略する。

2.5 シーケンス プログラム パッケージ

シーケンスプログラム パッケージ は、MELMIC-100 を シーケンス 制御(入出力条件の組合せや順序制御、インタロック制御)専用に使用する場合に、より便利に取扱うことができるよう開発された制御 プログラムで、これを使用すると、シーケンス 回路を AND、OR 等の ブール 代数式でリスト するだけで プログラム を作成することができる。 この場合、リストプログラム は データメモリ に記憶される。

シーケンス プログラム パッケージ を利用した システム の構成を 図 2. 3 に、命令を表 2. 3 に、シーケンス リスト プログラム の一例を図 2. 4 に示す。

シーケンスプログラム パッケージ は、 データメモリ にかかれた ブール 代数の形の リストプログラム を、演算制御 ユニット に収納された シーケンスプログラム パッケージ で解釈・処理するための マイクロプログラム とみることができる。

2. 6 MELMIC-101 B

演算制御 ユニット MELMIC-101 より更に メモリ 容量の増加な ど 改良した ユニット として、MELMIC-101 B がある。

この MELMIC-101 B の主要な特長は次のとおりである。

- (i) メモリ 容量を,最大 2,048 語まで MELMIC-101 B に内蔵可能とした。
- (ii) ROM $_{1-1}$ として、消去可能な ROM を採用したので、専用消去装置を用いれば、一度 ROM 化してしまっても、その内容を消去して別の内容を再び書込むことができる。

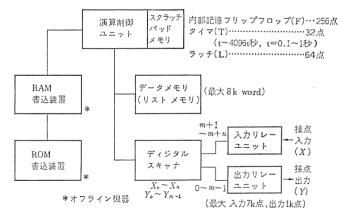


図 2. 3 シーケンス プログラム パッケージ 構成図 Block diagram of sequence program package.

表 2. 3 シーケンス プログラム パッケージ 命令一覧表 List of instructions on sequence program package.

	記号	命 令	檓	能	処理対照
	AND	為理積命令	• a		X, Y, F, L, T
論	OR	論理和命令	+a		X, Y, F, L, T
理	ANI	否定論理和命令	٠ā		X, Y, F, L, T
命	ORI	否定論理和命令	+ - - <u>-</u> <u>-</u>		X, Y, F, L, T
	L	出力命令	=a		Y, F, L, T
令	LI	ラッチ型FFリセット命令	=ā(但しラ 型FF	ッチ) 専用)	L
捌	тм	割込シーケンスリストの終了記号	データメモリ	のべー	- ジ
御	В	無条件飛越	(1	ベージ	=1,024語) 切換
命	NOP	無動作	入力、出力ス	キャナ	-のページ
令	COI	修飾命令	(1 ~~	ジ=256 点) 切換

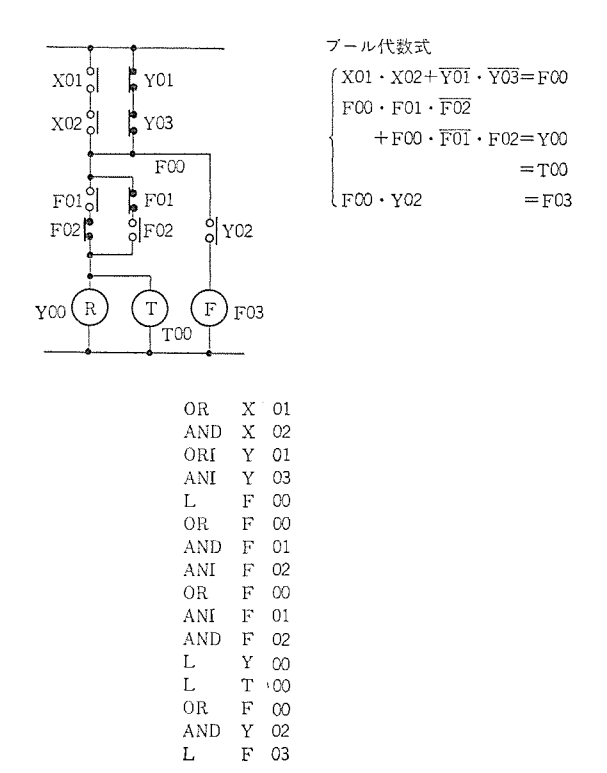


図 2.4 シーケンス リストプログラム 例 Example of sequence list program.

- (iii) 命令体系は MELMIC-101 と同じである。 したがって既存の ソフトウェア や RAM 書込装置をそのまま使用することができる。
- (iv) MELMIC-101 の周辺装置をそのまますべて接続することができる。

3. MELMIC-100 の応用

MELMIC-100 は、ブログラマブルロジックコントローラとして他社にさきがけて発表・製品化し、そのユニークなアイデア(RAM/ROM コンパティブル、算術演算処理能力やデータロギング機能を有したはん用シーケンス制御装置など)と豊富に準備された周辺装置などのために、制御システムを構成し易く、また、操作の容易さ、低価格、高信頼性等の長所から非常に広範囲の分野で利用されているが、これまでの適用実績を業種別および用途別に分類した結果を、表3.1 に示す。

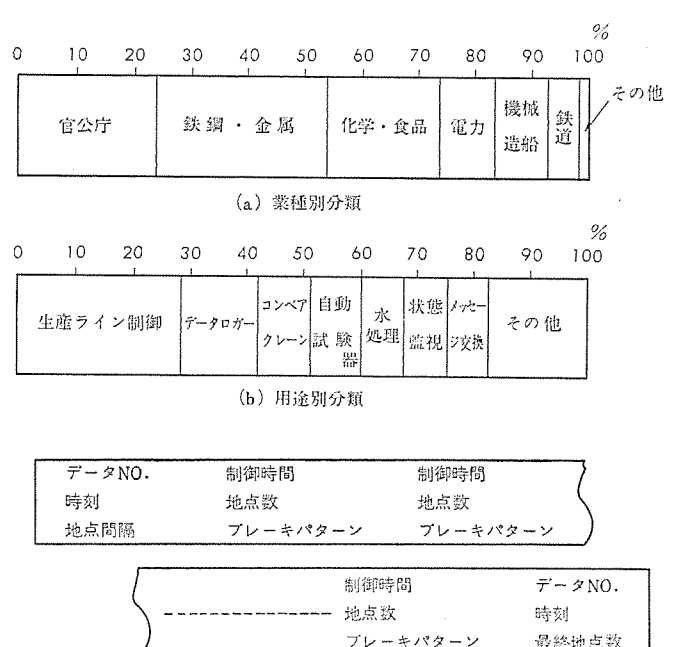
表 3.1 から分るように、非常に広範囲の分野に適用され、中でも、高い信頼性を絶対的な条件として要求される生産 ライン 制御、コンベアクレーン 等の自動倉庫・搬送 ライン 制御、水処理制御、メッセージ交換等の用途が多いことは、MELMIC-100 の性格をよく反映している。

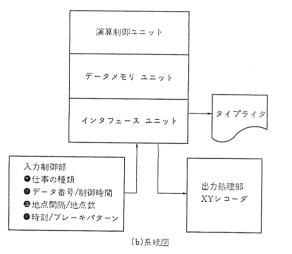
上述のように、MELMIC-100 の応用分野は非常に広いが、とこでは、単なる入出力条件の組合せや順序制御だけでなく、算術演算機能やデータの記録等の機能を必要とする制御例をいくつかあげて具体的に説明する。

(例1) 列車停止特性 モニタ 装置

これは電車の停止特性を E=g するもので, 毎日,入駅する数百台の電車に対し,図 3.1 (a) に示すような f=g f=g 番号,時刻,地点間隔,および一定の間隔で敷きつめてある地点信号を通過する際の時間,その地点番号および f=g f=g に記録しておき,あるまとまった f=g 収集後,これを f=g f=g

表 3.1 MELMIC-100 の応用分野 Application field of MELMIC-100.





(a)データフォーマット

図 3. 1 列車停止特性 モニタ 装置 Data processing system for stop characteristics monitoring of train.

軸に距離を、Y軸には時間と速度を2ペンで プロット する。更に停止 精度を検査するために、 収集した データ の停止位置の度数分布を求 め、印字することもできる。 また テープ から入力するだけでなく、 直接入力することもできる。

なおこの構成を図3.1(b)に示す。

(例2) 自動案内放送装置

駅構内などの案内放送を自動化するための装置で、与えられたデータに基づいて車種・行先・列車番号・発車時刻等を自由に変化させることができ、これらの変化部分を定形的な案内文の間にそう(挿)入して一つの完全な文章として編集しなおし、案内文として円滑に自動放送しようとするものである。したがって、放送内容の組み合せは非常に多種多様に変化させることができ、たとえば列車ダイヤ等の変更があっても、本装置には全く手を加える必要がなく、改正されたダイヤに対応したデータを入力するだけで、目的の放送を自動的に行なうことができる。

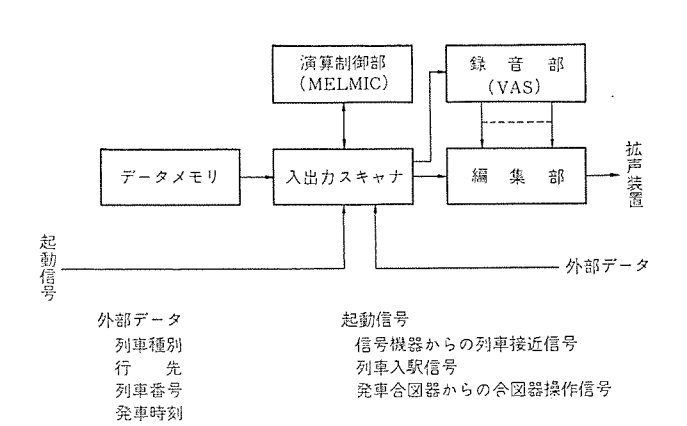
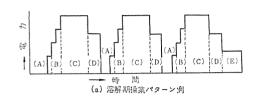


図 3.2 自動案内放送構成図 System block diagram.



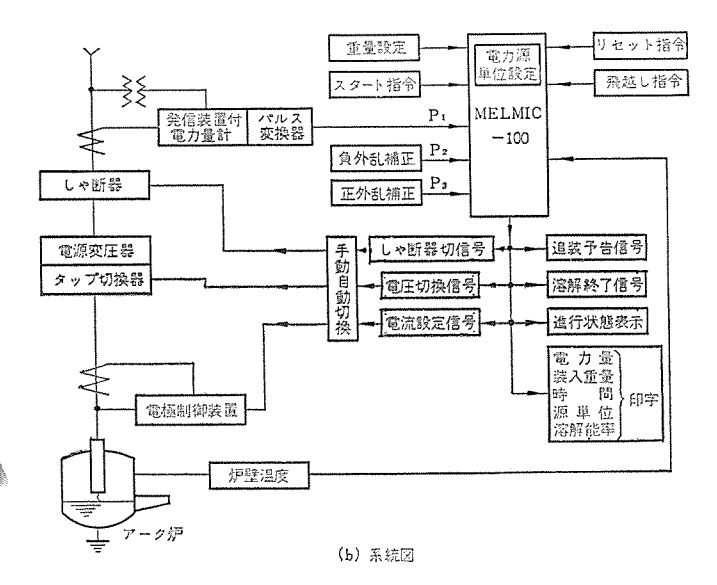


図 3.3 アーク 炉電力量 プログラム 制御 Program control of arc furnaces.

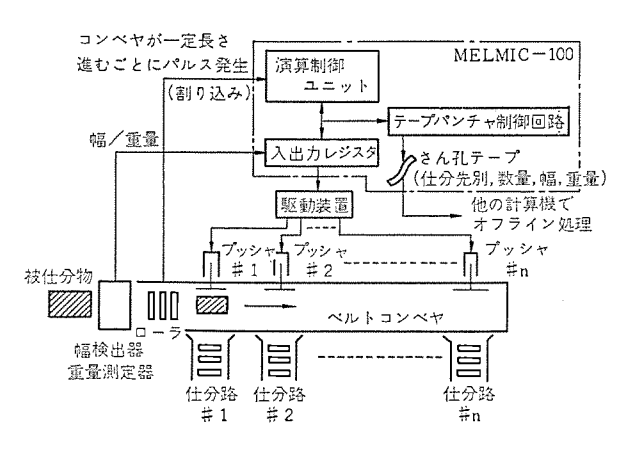


図 3.4 自動仕分装置 Automatic sorter.

ある駅の構内自動案内放送を一例にとると、列車通過・列車接近・入駅停車・発車を入力信号(放送開始信号)とし、上り8種類、下り9種類の文章にそう入文として、車種・列車番号(1号~999号)・行先(主要最終駅全部)・時刻(0時ちょうど発から23時59分発まで1分間隔で全部)が用意されている。

自動案内放送装置は,演算制御部として MELMIC-100 を, 音声記憶部として VAS を使用し, これに入力切換部・データメモリ・操作盤・Q信号検出部・編集ゲート などを組み合せた制御架 と 記憶架との 2 架構成となっている。

(例3) アーク 炉電力量 プログラム 制御

アーク炉の溶解期制御を、前もって決めておいた電力量を基準としたプログラムに従って、自動的に行ならもので、系統図を図3.3(b)に示す。溶解期のアーク炉の炉内状況は、溶解の進行に伴って、刻々変化するので、この変化をとらえ各状況に応じた最適な電力を投入する必要がある。炉況の変化と投入すべき電力はおよそ 図3.3(a)に示すような推移をたどる。実際の投入電力量を WH メータからパルス入力して、それを積算し、一方、基準電力量を記憶し、両者を比較しながら、トランスのタップを切り換えて、最適電力量を投入することにより、アーク炉を効率よく操業してゆく。また、本装置は投入材料の変更にも適応できる。

(例4) 自動仕分装置

これは、数種類の品物が生産 ライン等から流れてきて、これに品種指定を行なうことにより、対応する仕分路に仕分される機能を持つもので、ブロック図を図 3.4 に示す。 本装置の動作は、品種を区別した時、その時の シャフトエンコーダの数値をよみとり、 仕分したい仕分路の位置に対応する値を加えて記憶しておく。 一方、シャフトエンコーダの値を常時 モニタして、一致したところで プッシャー を駆動することにより仕分路に仕分けする。シャフトエンコーダは軸方向の動きを回転角に変換し、これを数値でとり出せる機能のものである。

4. む す び

以上のように、マイクロコントローラ MELMIC-100 は,

- (1) 省力化(人件費の節約,非熟練作業化)
- (2) 自動化――運転の確実化,迅速化および安全性の向上(人間による誤操作・誤運転の防止,危険作業からの人間解放)
- (3) 能率化――数値演算やフィードバック制御の併用による製品品質および生産効率の向上

を目指して開発・製作されたはん用 シーケンス 制御装置である。

この種のはん用シーケンス 制御装置は、国内では、1970年の後期から 1971年の前期にかけて各社から多数発表され、第1期のブームを作ったが、MELMIC-100はこの時期から既に製作発表された。 この時期には、主としてシーケンス 制御装置の メーカ の立場から製作されたものが多く、ユーザの立場からみて、はん用シーケンス制御装置のねらいとするところは十分理解しても、新しい分野の製品に対するなじみが薄いということもあり、頭初、適用に際してとまどいがみられたこともあったが、ユーザから指摘された各種要求事項の実現の努力等によりユーザの要求にマッチした形のものに改良が重ねられてきた。

MELMIC-100 は、草創期から発売したことによる豊富な フィールド 適用実績により、そこから得た知識と経験から、いっそう満足すべき制御装置にすべく改良を重ね、特に、ユーザ側の負担をできる限り軽減し、より使い易い装置にすべく努力を続けてきた。

このように、はん用 シーケンス 制御装置の分野にも他の製品と同様に、ユーザ・メーカ 双方からの協力により ユーザ の要求が反映され、一方他分野で利用された技術が導入されて新しい制御装置が誕生し、それがまた制御内容や制御の質を変えて新しい制御装置の出現を換起するという サイクル がくり返されるので、メーカの立場としては、ユーザからの適確な ニーズ を御教示いただけるようお願いして本文の結びとしたい。

参考文献

- (1) 松村:電子科学, 21, No. 9, 23 (昭 46)
- (2) 松村ほか: OHM, 58, No. 10, 2 (昭 46)
- (3) 合田ほか:三菱電機技報, 45, No. 11, 1,511 (昭 46)
- (4) 松村ほか:機械設計, 15, No. 12, 222 (昭 46)

- (5) 松村ほか:電気計算, 39, 臨, 287 (昭 46)
- (6) 田口ほか:三菱電機技報, 45, No. 7, 827 (昭 46)
- (7) 佐竹ほか:三菱電機技報, 45, No. 10, 1,351 (昭 46)
- (8) 山下ほか:電気学会自動制御研究会, AC-72-7 (昭 47)
- (9) 松村:電子展望, 9, No. 2, 55 (昭 47)
- (10) 久保田ほか:三菱電機技報, 46, No. 2, 263 (昭 47)
- (11) 松田ほか:自動化技術, 4, No. 5, 124 (昭 47)
- (12) 吉田ほか:機械技術, 20, No. 6, 36 (昭 47)
- (13) 六藤ほか:三菱電機技報, 46, No. 8, 957 (昭 47)
- (14) 渡辺ほか:三菱電機技報, 46, No. 9, 978 (昭 47)
- (15) 山下ほか:電気計算, 40, No. 11, 58 (昭 47)
- (16) 松村ほか:自動制御と システム, 1, No. 1, 58 (昭 48)
- (17) 正田ほか:三菱電機技報, 47, No. 5, 542 (昭 48)



超音波探傷試験法(5)

---超音波探傷の実際---その 1

河 野 勝 美*

1. まえがき

金属材料の内部欠陥を外部から超音波パルスを使って非破壊検査 する超音波探傷試験法は、最近、各方面で使用されるようになって きた。しかしながら、探触子の特性については、まだ十分理解され ていない面があり、その用途が最適と見られない場合が時折り見ら れる。ここでは、この場合に役立つよう探触子の選び方と使い方に ついて述べる。

2. 選 び 方

2.1 一般的な選び方

(1) 探触子の形式

探触子の形式(垂直探触子,分割形探触子,局部水浸探触子および斜角探触子など)は,原則として,被検材の材質・形状・寸法・表面状況,検出すべき欠陥の種類・形状・向き・大きさ・存在位置,探触子を接触させる面の範囲,要求する探傷精度および探傷作業の場所を考えて選定する。

次に一般的な選び方をあげる。

(a) 垂直探触子

垂直探触子は、超音波探傷でもっとも一般的に使用される探触子である。被検材の形状が、板材・角材・丸材・管材等で、超音波入射方向の距離が鋼材の場合約3~10 mm 以上の場合に使用される。検出し得る欠陥の大きさは、波長 λ に関係し、概略 λ/2 に近いと考えてよい。鋼材中の波長は、第1編、超音波探傷法(1)の表2.2 に記載されている。

(b) 局部水浸探触子

局部水浸探触子は、垂直探触子で達成できないような精密探傷または薄物探傷に使用される。局部水浸探触子の水中距離が 50 mm で、鋼材を探傷する場合、探傷距離は約 3~150 mm となる。被検材が、鋼材以外の材質の場合、探傷距離はその音速に関係し、上記と異なる。

(c) 分割形探触子

垂直探触子と局部水浸探触子で探傷できないような表面直下,た とえば鋼材の場合,約2~3mm部分または,それ以上の一定深さ を探傷する場合に使用される。

分割形探触子は、普通、遅延材付きのため、送信 パルス による不 感帯がなく、試験周波数を下げても、表面直下の検出能力は大であ る。探傷範囲は、一般に被検材が、鋼材の場合で表示されており、 他の材質の場合は異なる。

(d) 斜角探触子

斜角探触子は、被検材の形状、探傷面の状態および欠陥の方向性 により、垂直探触子、局部水浸探触子または分割形探触子が採用で きない場合に使用される。

斜角探触子の屈折角は、被検材の厚みと欠陥の方向性により決定され、一般に35~80度が使用される。なお、屈折角は、一般に鍋材の場合で表示されている。

(2) 試験周波数

試験周波数の上限は,被検材中の超音波減衰(底面 $_{\square}$ の出方)と林状 $_{\square}$ – (S/N 比)で決定し,下限は検出感度,分解能,指向性で決定する。

被検材の材質、外形寸法、探傷面の状態によって使用できる試験 周波数範囲の広いものと狭いものとがあり、超音波探傷試験の適用 が不可能な場合もある。

(3) 振動子の寸法

振動子の寸法は、次の点を考えて選定する。

- (a) 大形(大面積)の振動子の場合には、探傷範囲は近距離音場では広く、遠距離音場では指向性が良いためかえって狭くなる。逆に小形の振動子の場合には、探傷範囲は近距離音場では狭く、遠距離音場ではかえって広くなる。
- (b) 探傷面が粗い場合,小形の振動子の方が接触が安定して探傷しやすいことがある。ただ,小形の振動子の場合,遠距離音揚になると,急激に エコー 高さが小さくなる。
- (c) 同一周波数であっても、振動子の寸法が変わると、近距離音場限界距離が異なるため、欠陥 エコーと底面 エコー の現われ方が異なってくる。

(4) 振動子の材質

振動子の材質は、次の点を考えて選定する。

- (a) 垂直探触子の場合,水晶が一般的に使用される。超音波減衰が多い被検材または長尺物の被検材の場合は,水晶に比較して不感帯は広くなるが,感度の良い圧電 セラミックス が使用される。
- (b) 分割形探触子,局部水浸探触子および斜角探触子の場合, シュー または水柱による損失があるため, 水晶に比較して感度の 良い圧電 セラミック が使用される。

2.2 探触子の性能規格面からの選び方

次に、探触子の選択に参考となる性能規格を示す。

- (1) 感 度
- (a) 垂直探触子……試験周波数 $2\,\mathrm{MHz}$, 振動子直径 $30\,\mathrm{mm}$ の場合, $\mathrm{STB-N_I}$ の $\mathrm{ID-}$ 高さは $70\,\mathrm{\%}$ 以上のこと。(ただし, HPIS-F-109-72 による探傷感度を示す。以下, HPI と略す)
 - (b) 斜角探触子……試験周波数 2~5 MHz, 振動子寸法 10×

表 2.1 斜角探触子の感度

屈折角	試験周波数 (MHz)	振動子寸法 (mm)	Al感度 (dB)	A 2 感度 (dB)
45°	2~5	10×10~20×20	40 以上	40 以上
70°	2~5	10×10~20×20	40 以上	20 以上

表 2.2 垂直探触子用振動子の寸法

試験周波数 (MHz)	有 効 直 径 (mm)
0.4	30, 50
1	30, 40
2	20, 30
5	10, 20
10	10

表 2.3 斜角探触子用振動子の寸法

屈折角 試験周波数(MHz)	45°	60°	70°		
1	2 0×20				
2~5	10×10, 20×20				

10~20×20の場合, 表 2. 1 に示す値のとと。(NDIS-2404-70 による。以下, NDIS と略す)

- (2) 試験周波数
- (a) 垂直探触子……0.4, 1, 2, 5, 10 MHz (JIS-Z-2344-73 による。以下, JIS と略す)
 - (b) 斜角探触子……2, 5 MHz (NDIS による)
 - (3) 振動子の寸法
- (a) 垂直探触子……振動子の外形は円形とし、その有効直径は表 2.2 に示すとおりとする。(JIS による)
- (b) 斜角探触子……振動子の外形は角形とし、その有効寸法は表 2.3 に示すとおりとする。(JIS による)
 - (4) 遠距離分解能
- (a) 垂直探触子……試験周波数 2 MHz, 振動子寸法 20~30mm の場合, B 級以上のこと。(JIS による)
- (b) 斜角探触子……試験周波数 $2\sim5$ MHz, 振動子寸法 $10\times10\sim20\times20$ の場合, 15 dB 以上のこと。(NDIS による)

(5) 近距離分解能

試験周波数 $5\,\mathrm{MHz}$,振動子寸法 $20\,\mathrm{mm}$ で $\mathrm{STB-N_1}$ の $\mathrm{z}_{\mathrm{J-}}$ 高さを $50\,\mathrm{\%}$ にしたとき,振幅 $10\,\mathrm{\%}$ 点における送信 Muz の 幅 は, $12.5\,\mathrm{mm}$ 以下とする。(HPIS による)

(6) 屈折角

45, 60, 70度 (JIS による)

表 2.4 斜角探触子の不感帯

試験周波数(MHz) 振動子寸法(mm)	2 (mm)	5 (mm)
10×10	40 以下	20 以下
20×20	50 以下	30 以下

表 2.5 斜角探触子の接近限界長さ

屈 折 角 振動子寸法(mm)	45° (mm)	70° (mm)
10×10	15 以下	18 以下
20×20	25 以下	30 以下

ただし、公称屈折角と実際の屈折角との差異は ± 2 度以内である とと。(NDIS による)

- (7) 入射点
- (a) 入射点目盛は、両側につけること。(JIS と NDIS による)
- (b) 入射点目盛は、公称入射点の少なくとも±5 mm の範囲に 1 mm 間隔でつけること。(NDIS による)
- (注) +-の記号については規定されてい ない。JIS-Z-2347 の 4.2(4)の+-記号は、試験片に対する規定である。
- (8) 不感帯

斜角探触子の不感帯は、 妻 2.4 に示す値であること。(NDIS による)

(9) 接近限界長さ

斜角探触子の接近限界長さは、 \mathbf{z} 2. $\mathbf{5}$ に示す値であること。(\mathbf{N} DIS による)

(10) 一般表示

探触子の見やすい所に、周波数、振動子材質、振動子の大きさ、 形式および屈折角を表示すること。(JIS による)

その他、製造会社名またはマーク、製造番号などを表示すること。 (NDIS による)

3. 使 い 方

3.1 一般的な使い方

(1) 探傷器との組合わせ

探触子は、コネクタの形式・寸法、マッチングトランスの内蔵の有無、マッチングトランスの電気仕様および ダンパの仕様を適合させる 必要 があるため、使用する装置と同一製造会社のものを使用しなければならない。

探触子と装置間は,探触子 f - j ν で接続する。一般に,探触子が 大形の場合,太い f - j ν を,探触子が小形の場合,和い f - j ν を 使用する。

分割形探触子の場合、2本並行 ケーブル を使用する。これらの探触子 ケーブル は、いずれも規定長さのものを使用する必要がある。

(2) 被検材の探傷面温度

一般に, -5~+50 度の範囲内で使用しなければならない。 なお, 30 度以上の急激な温度変化をくり返し与えた場合, 振動子の接着不良を生ずる恐れがある。

斜角探触子のくさび(シュー)は、温度の変化につれて音速と超音 波滅衰が変化するため、屈折角と感度が変化する。従って使用温度 で入射点と屈折角をチェックすると共に、測定範囲と感度の設定をす ることが望ましい。

分割形探触子のくさび (\imath_{2a-}) も,温度変化について音速と超音 波滅衰が変化するため,探傷範囲, \imath_{2a-} の位置および感度が変化 する。従って使用温度で測定範囲と感度の設定をすることが望ましい。

- (3) 被検材との接触, その他
- (a) 直接接触形探触子の場合,接触状態により,感度差が生じるため,探傷面は50S以下とし,接触媒質はグリセリンまたは水を使用し,接触圧力は均一になるよう注意する必要がある。
- (b) 探傷面があらい場合,保護膜付きで使用する方が,実質感度が高くなる。
- (c) 探傷範囲が近距離音場限界距離以内の場合,点探傷だけでは欠陥をみのがすおそれがあるので, 探触子は数 ミリメートル のしゅう(摺)動操作を併用することが望ましい。

(4) 防水性

垂直探触子,局部水浸探触子,分割形探触子および斜角探触子とも,振動子部分以外は防水性がないので,水気に触れないよう注意する必要がある。

(5) その他

表 3.1 に被検材の各材質に対する試験周波数の目安を示す。

- 3.2 各種探触子の使い方
- (1) 垂直探触子
- (a) 探傷面があらい場合,露出形探触子を使用すると,振動子 面が損傷しやすい。現在,このため探触子が大形の場合,振動子部 分だけを交換するか,または振動子のはりかえが行なわれている。
- (b) 探傷面があらい場合,または曲面の場合,探傷面と振動子面とのなじみ,すなわち音響的結合をよくし,実質感度をよくするため,保護膜を装着することが望ましい。ただし,露出形探触子の場合,電極の代わりに金属はく(箔)を水晶面に取付けた後,保護膜を装着しなければならない。
- (c) セラミック 垂直探触子は、両面電極付振動子を使用している ため、マイナス 電極の損傷をふせぐため、保護膜を装着して使用する か、または電極面に最初から保護板が接着されているものを使用し なければならない。
 - (注) 保護膜を装着すると,(b),(c)の場合とも,感度は低下するが,一般に,あらかじめ試験片で感度設定して使用するため,実際の探傷では上記のように感度はよくなる。

表 3.1 超音波探傷試験の適用例

	被 検 材	試験周波数 (MHz)	超音波探傷試験法
	大 形 鍛 鍋 材	1~5	垂直法
	小 形 鍛 鋼 材	3~10	垂直法
	車軸など長尺物	1~2	垂直法 斜角法
	パイプ・砂傷	2~5	垂直法
	ゴースト	2~5	垂直法
Art- and	自然	2~5	垂直法
鉄鋼	大 形 鋳 鋼 材	0.4~2	垂直法 透過法
	小 形 鶴 鋼 材	2~5	垂直法
	鍵 鉄	0.4~1	垂直法 透過法
	銅材溶接部	2~5	垂直法 斜角法
	鋼 材 表 面 傷	2~5	垂直法 表面波法
	銅板ラミネーション	2~5	垂直法 板波法
	アルミニウム インゴット	2~5	垂直法
olle Art. A. For	軽合金押出 鍛造 材	2~10	垂直法
非鉄金属	銅 合 金	1~2	垂直法 透過法
	核燃料铍覆材料	5~15	垂直法 透過法
	タイヤ,ゴム,ボウリング珠	2 以下	垂直法
非金属	陶器・ガラス	1~10	垂直法 斜角法
Mr or III va	異種金属接着状況檢查	2~5	垂直法 透過法
特殊用途	滅譲度による材質判定	2~15	垂直法
	溶接部など疲労傷	1~5	垂直法 斜角法
(C) etc 46- pt	機核部品疲勞傷	2~10	垂直法
保守檢查	一般回転軸の傷	2~5	垂直法
	車軸クラック	2~5	垂直法 斜角法

- 注) 垂直法には分割形探触子法を含む
- (d) 垂直探触子による被検材の探傷は、普通、若干のしゅう動を含む点走査またはしゅう動による連続走査で行なう。
 - (2) 局部水浸探触子
- (a) 局部水浸探触子は、普通、振動子の上方に空気穴を設けて あるため、上向きにすると水がもれるので、下向きで使用する。
- (b) 局部水浸探触子の下部には、水を封入するため、 普通、ビニール 膜を装着しているが、ビニール 膜がよじれないよう平たんに装着しなければならない。
- (c) 局部水浸探触子による被検材の探傷は, 垂直探触子と同様 な走査法により行なう。
 - (3) 分割形探触子
- (a) コネクタ の所に、送信と受信の表示がある場合、その通り探触子 ケーブル を接続しなければ、振動子の感度を消失させるおそれがあるので注意しなければならない。
- (b) 検査範囲に応じた探傷可能範囲の探触子を使用すること。 また、探傷感度の設定には、探傷可能範囲に標準穴をもった試験片 を使用すること。
 - (c) 欠陥の広がり状態を,垂直探触子と等価にするためには,

振動子の分割面と平行に連続走査すること。

- (d) 被検材が丸材の場合,探触子は振動子の分割面と直角方向の向きにして,丸材の長さ方向に点走査または連続走査しなければならない。
 - (4) 斜角探触子
- (a) 屈折角は, 溶接部探傷の場合, 一般に母材の 板厚 40 mm 未満では 70 度を, 板厚 40 mm 以上では 45 度を使用する。

なお, 使用する ビーム 路程は, 一般に 250 mm 以下である。

(b) 屈折角が、70 度以上の場合、横波以外に表面波も発生するので、標準試験片で感度設定するとき、表面波だけ阻止するよう探触子前方を指でおさえた状態とする。

なお、感度設定のとき、試験片の標準穴へ入った接触媒質は除去 しておかなければならない。

(c) 低炭素鋼で決定した屈折角は、被検材がステンレス、 銅または アルミニウム の場合、次のように計算できる。

被検材の音速 V_2 がわかっている場合, 屈折角 ϕ_2 は, 斜角探触 子の ϑ_{2-} の音速 V_1 と入射角 ϕ_1 から,次式で計算できる。

$$\sin\phi_2 = \frac{V_2}{V_1}\sin\phi_1$$

ただし、 V_1 =2,720 m/s、 ϕ_1 =36.5° (A 45 のとき)、47.0° (A 60 のとき)、52.5°(A 70 のとき)

被検材の音速が不明の場合、図 3.1 の例のように被検材の端面 $_{\square}$ が最大になるように前後走査して斜角探触子の位置を決め、そのときの距離 $_{l}$ と厚み $_{t}$ により、屈折角 $_{\phi}$ は次式で計算できる。

$$\tan \phi = \frac{l}{2t}$$

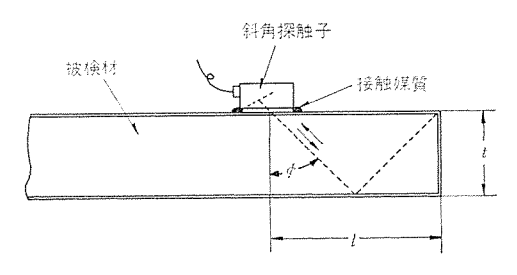


図 3.1 屈折角の測定例

- (d) 斜角探触子の シュー は、 破損しやすいため機械的衝撃を与えないように、また熱変形のおそれがあるため 70 度 以上の 温度を与えないように注意すること。
- (e) 斜角探触子の走査中,左右または斜め方向の偏摩耗が生じないように、シューの接触面が、できるだけ均等に接触するようしゅう動させること。
 - (注) 左右および斜め方向の偏摩耗の程度は、標準試験片では 測定できず、寸法検査または感度変化で判断する以外にな い。



新製品紹介

昨今,我々をとりまく自然環境はきわめて悪化し,大都市やその 近辺の都市においては,光化学スモッグをはじめとする大気汚染が大 きな社会問題となっている。

三菱電機ではこのような状勢に対応し、"公害を出さない、公害に犯されない" パッケージエアコン の開発をおこない、このほど 1 台のュニット で冷暖房が可能な大形 エアソースヒートポンプパッケージ・PAH 形 シリーズ を完成した。

PAH 形は室内 ユニット PAH 形と室外 ユニット KD 形で構成され, PAH-20+KD-20 (20 馬力), PAH-30+KD-30 (30 馬力), PAH-40+KD-40 (40 馬力) の 3 機種からなる シリーズ である。

PAH 形は特に暖房運転を安定させるために冷媒回路に 当社独自の Hi/Re/Li システム を採用した。

除霜方式はリバースサイクルを採用しており完全自動除霜を可能とした。さらに運転操作も ワンタッチ 全自動化し取り扱い易くしている。

■特長

(1) 無公害 パッケージ

暖房時にポイラなどの燃焼装置を使わないため、大気汚染等の公害を出さない

(2) スイッチーつで冷一暖切換えができる

大形電動四方弁を内蔵し、冷一暖切換えは スムース に行なうこと ができる

(3) 安定した暖房運転

表 1 室内 ユニット 仕様 PAH 形

				PAH-20	PAH-30	PAH-40	
電			源	3 相	200/220 V 50/60	Hz	
外形寸法	: }	割	ŧ	1,900	1,900	1,900	
$\mathbf{m}\mathbf{m}$	-	幅		1,440	1,780	1,980	
(最大寸)	į (;	处	行	1,190	1,290	1,320	
外			装	マンセル 5 YR 8/0.	5 マンセル 10 B 5/	8のツートンカラー	
	能力	J kc	al/h	43,000/48,000	64,500/72,000	81,000/91,000	
能獎员	能力	J kc	al/h	50,000/55,000	75,000/82,000	95,000/104,000	
圧縮	機形式	X台	数	密閉式×1	密閉式×1	密閉式×1	
冷 電動	電動機出力 (kW) 室内コイル 冷 媒 制 御 冷 媒		機出力 (kW) 14/15 20.5/22		28/30		
媒室内			プレートフィン式				
回冷草				Hi/Re/Li システム			
路冷				. R-22			
冷飞	機油	1			スニソ 4 G		
室 送風	機形式	×台		· · · · · · · · · · · · · · · · · · ·	シロッコファン×2		
内国	盘(m³/n	in)	180	270	360	
	静風日	mn	ıAq	25	25	25	
機電動	機出力	1	kW	3.7	5.5	7.5	
エア	フィ	N	9		ハニカム綾		
温度	34	M	80		付 属		
保部	Ë È	装	置	高低圧開閉器	圧縮機・送風機	過電流 リレー	
製品	M f	ik .	kg	1,150	1,300	1,500	

浜命房能力は吸込空気 $DB=27^{\circ}C$, $WB=19.5^{\circ}C$, 外気温 $DB=35^{\circ}C$ の時を示す 浜暖房能力は吸込空気 $DB=21^{\circ}C$, 外気温 $DB=7^{\circ}C$, $WB=6^{\circ}C$ の時を示す 浜命暖房能力は配管相当長さ 5 m のときを示す

冷媒回路に当社独自の Hi/Re/Li システムを採用しているので、特に暖房時の低外気温度でも安定した運転を行なう

- (4) リバースサイクル による完全自動除霜
- (5) 全自動運転

標準装備の サーモスタット により全自動運転を行なう

(6) 万全な保護装置

高低圧圧力開閉器,圧縮機・送風機電動機用 過電流継電器,吐 出 ガスサーモ を備え,万全を期している

(7) 低騒音室外 ユニット 低騒音形送風機の採用により静粛運転を行なう

图 什 辩

表 1,表 2 をを参照

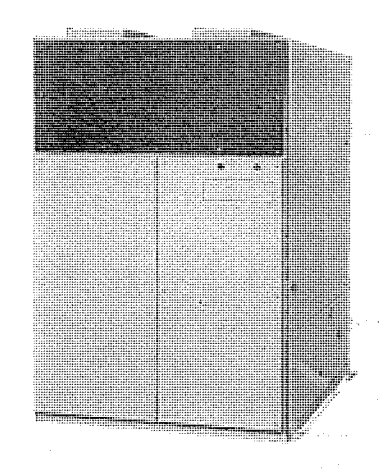


図 1 エアソース ヒートポンプ パッケージ PAH-20 形 (室内 ユニット)

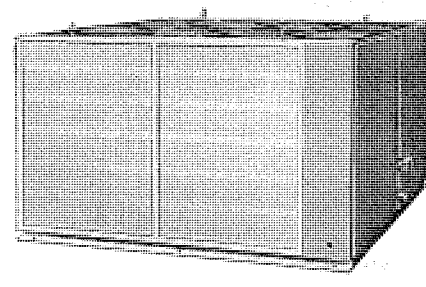
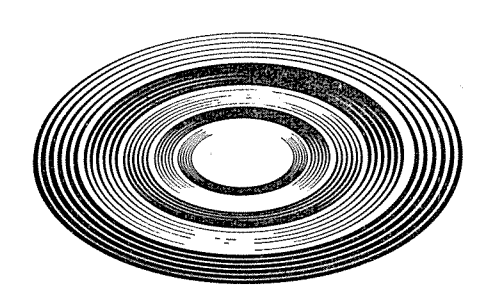


図 2 空冷凝縮器 KD形 (室外ュニット)

表 2 室外 ユニット 仕様 KD 形

		KD-20	KD-30	KD-40	
Ħ	源		200/220 V 50/60 H	z	
室 外:	コイル	プレートフィン式(空冷式)			
室外送風機	形式×台	有圧換気扇×8	有圧換気扇×5	有压换気扇×6	
並升及與核	電動機出力	0.1 kW×8	0.4 kW×5	0.4 kW×6	
除	霜		リバースサイクル		
騒音(予想) Aスケール		60/64 ポン	. 71/74 ホン	71/74 ホン	
SD(E) (1.723)	AAY-W	ユニットカ	· ら 3 m 離れ高さ 1	5 m の位置	
保 躨	装 置	送風機用ヒューズ付刃形開閉器			
製品面	拉 kg	550	650	790	

[長崎製作所]



NEWS FLASH

関西電力(株)姫路第二発電所納め5号 670,000 kVA タービン発電機運転開始

関西電力(株)姫路第二発電所 5 号 $670,000 \, \text{kVA}$ 9-じ 2 発電機は,振動調整を含む各種の現地試験および試運転を完了し営業運転を開始した。 本機は, 固定子 1 コイル k 2 列 ペットチューブ, 回転子 $1 \text{ コイル } \text{ k 2 Pressurized } \text{ Gap 冷却方式を採用した内部冷却機で, <math>9 \text{ シェデム} \text{ or } 9-じ$ 2 発電機としてわが国最大級のものである。 $2,800 \, \text{kW}$, $505 \, \text{rpm}$ の電動直流励磁機もとの形式として最大級のものである。

形 式 : 横置円筒回転界磁形

容 量 : 670,000 kVA

電 圧 : 19,000 V

周波数 : 60 Hz

回転数 : 3,600 rpm

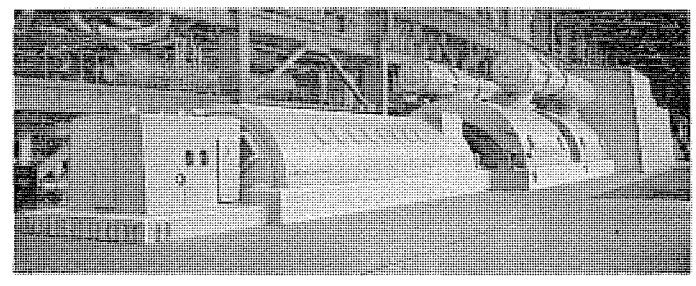
力率: 90% 短絡比: 0.58

冷却方式: 固定子水素内部冷却 2列 ベットチューブ 式

回転子水素内部冷却 Pressurized Gap 方式

励磁方式: 電動直流励磁機

[神戸製作所]



運転を開始した 670,000 kVA タービン 発電機

九州電力(株)玄海発電所向け 625,000 kVA タービン発電機完成

当社では、とのほど九州電力 (株) 玄海発電所向け 1 号機 625,000 kVA g-ビッ発電機を完成した。本機は三菱重工 (株) 高砂製作所製作の 559,260 kW g-ビッと直結されるもので、九州電力 (株) の原子力第 1 号機となる。

との gービッ 発電機は、 非対称 スロット 配置を採用した最初の機械 であり、これにより負荷時空げき(隙)磁束波形の改善・リアクタンス の 減少を達成することができた。

固定子 コイル の冷却は 2 列 ベントチューブ 方式, 回転子 コイル の冷却は標準内部冷却であり, 固定子鉄心は軸方向通風を採用している。

形 式 : 横置円筒回転界磁形

容 量 : 625,000 kVA

電 圧: 19,000 V

周波数 : 60 Hz

回転数 : 1,800 rpm

力率: 90%

短絡比 : 0.58

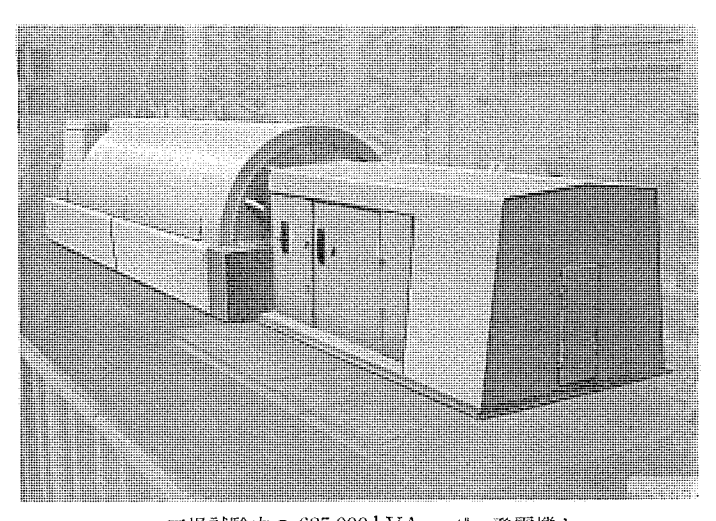
冷却方式: 固定子水素内部冷却 2列 ペントチューブ

回転子標準水素内部冷却

固定子鉄心軸方向通風

励磁方式: ブラシレス 2,300 kW, 440 V

[神戸製作所]



工場試験中の 625,000 kVA タービュ 発電機と 2,300 kW ブラシレス 励磁機 (手前)

本社・営業所・研究所・製作所・工場所在地

1

本 社 東京都千代田区丸の内2丁目2番3号(三菱電機ビル) (壺 100) (電) 東京(03) 218局2111番

```
大阪営業所
             大阪市北区梅田町 8 番地(西阪神ビル)(〒530)
                                                         (電)
                                                             大 阪
                                                                  (06)
                                                                       343局1231番
名古屋営業所
             名古屋市中村区広井町3丁目88番地(大名古屋ビル)(電 450)
                                                         (電)
                                                             名古屋
                                                                  (052)
                                                                       565局3111番
 静岡営業所
             静 岡 市 伝 馬 町 16 の 3 番 地 (明治生命静岡支社) (壺 420)
                                                         (雷)
                                                             韸
                                                               畄
                                                                  (0542)
                                                                       54局4681番
福岡営業所
             福岡市中央区天神2丁目12番 | 号(天 神 ビ ル)(壺 810)
                                                         (電)
                                                             福
                                                               圌
                                                                  (092)
                                                                       72局2111番
 長崎営業所
             長崎市丸尾町7番8号(長崎底曳会館)(〒852)
                                                         (電)
                                                             長
                                                               袖
                                                                  (0958) 61局6101番
札幌営業所
             札幌市中央区北2条西4丁目1番地(北海道ビル)(〒060-91)
                                                         (電)
                                                             札
                                                               幉
                                                                  (011) 212局3711番
仙台営業所
             仙台市大町 | 丁目 | 番30号(新 仙 台 ビ ル)(壺 980)
                                                         (電)
                                                                  (0222)
                                                                       21局1211番
                                                             ήli
                                                               台
             富山市桜木町|番29号
富山営業所
                                                ( 930)
                                                         (雷)
                                                             癅
                                                                  (0764)
                                                                       31局8211番
                                                               Ш
広島営業所
             広島市中町 7番32号(日本生命ビル)(壺730)
                                                         (雷)
                                                               良
                                                                  (0822)
                                                                       48局5311番
                                                             広
             岡山市駅前町 | 丁目 9 番地 (明 治 生 命 館)(壺 700)
 岡山営業所
                                                         (雷)
                                                             田
                                                                  (0862)
                                                                       25局5171番
                                                               Ш
高松営業所
             高松市鶴屋町2番1号
                                                (55 760)
                                                         (雷)
                                                             离
                                                                  (0878)
                                                                      51局0001番
                                                               松
新潟営業所
             新潟市東大通1丁目2番地23号(北 陸
                                         ビ ル)(壺 950)
                                                         (雷)
                                                               澙
                                                                  (0252) 45局2151番
                                                             新
東京商品営業所
             東京都千代田区丸の内2丁目2番3号 (三菱電機ビル)(徳100)
                                                         (電)
                                                                  (03)
                                                                       218局2111番
                                                             車
                                                               京
関東商品営業所
             大宮市大成町 4 丁目 2 9 8 番地 (三菱電機大宮ビル) (売 330)
                                                         (電)
                                                                  (0486) 65局3211番
                                                             大
                                                               宮
大阪商品営業所
             大阪市北区堂島北町8番地の1
                                                (55 530)
                                                         (電)
                                                             \star
                                                               ߯
                                                                  (06)
                                                                       344局1231番
名古屋商品営業所
             名古屋市中村区広井町3丁目88番地(大名古屋ビル)(毎450)
                                                         (電)
                                                             名古屋
                                                                  (052)
                                                                      565局3111番
             福岡市中央区天神2丁目12番1号(天 神 ビ ル)(電 810)
福岡商品営業所
                                                         (電)
                                                             福
                                                               田
                                                                  (192)
                                                                       72局2111番
札幌商品営業所
             札幌市中央区北2条西4丁目1番地(北海道ビル)(〒060-91)
                                                         (電)
                                                             札
                                                               幌
                                                                  (011)
                                                                       212局3777番
             仙台市大町I丁目I番30号(新仙台ビル)(55980)
仙台商品営業所
                                                         (電)
                                                             仙
                                                               台
                                                                  (0222)
                                                                       21局1211番
北陸商品営業所
             金沢市小坂町西97番地
                                                ( 5 920)
                                                         (電)
                                                             金
                                                               沢
                                                                  (0762)
                                                                       52局1151番
             広 島 市 中 町 7 番 32 号 (日本生命ビル) (電 730)
広島商品営業所
                                                         (電)
                                                             広
                                                               島
                                                                  (0822)
                                                                       48局5311番
高松商品営業所
             高松市鶴屋町2番1号
                                                (55 760)
                                                         (電)
                                                             高
                                                               松
                                                                  (0878) 51局0001番
             東京都港区北青山 | 丁目2番3号(青
東京機器営業所
                                       Ш
                                         ビール)(面 107)
                                                         (電)
                                                             東
                                                               京
                                                                  (03)
                                                                       404局0336番
大阪機器営業所
             大阪市北区堂島北町8番地の1
                                                (35 530)
                                                         (電)
                                                             大
                                                               阪
                                                                  (06)
                                                                       344局1231番
名古屋機器堂業所
             名古屋市中村区広井町 3 丁目88番地 (大 名 古 屋 ビル) (墨 450)
                                                         (電)
                                                             名古屋
                                                                  (052)
                                                                       565局3111番
 静岡機器営業所
             静岡市小鹿2丁目1番22号
                                               (壶 420)
                                                         (電)
                                                             静
                                                               田
                                                                  (0542)
                                                                       82局2061番
 浜松機器営業所
            浜松市海老塚町 4 7 9 の |
                                               (55 430)
                                                         (電)
                                                             浜
                                                                  (0534)
                                                               松
                                                                       54局4121番
中央研究所
             尼崎市南清水字中野80番地
                                                ( 661)
                                                         (雷)
                                                             大
                                                               ߯
                                                                  (ns)
                                                                       491局8021番
生産技術研究所
             尼崎市南湾水空中野80番地
                                                (毎 661)
                                                         (電)
                                                             大
                                                               ߯
                                                                  (06)
                                                                       491局8021番
商品研究所
             鎌倉市大船2丁月14番40号
                                               (壺 247)
                                                         (電)
                                                             鎌
                                                               盒
                                                                  (0467) 44局6111番
神戸
    製 作
             神戸市兵庫区和田崎町|丁目|番2
                                                (亚 652)
                                                         (電)
                                                             神
                                                               戸
                                                                  (078)
                                                                      652局2121番
伊 丹 製
      作
         所
             尼崎市南清水字中野80番
                                                (電 661)
                                                         (電)
                                                             大
                                                               ß₽
                                                                  (06)
                                                                       491局8021番
 ----
   \blacksquare
      エ
         場
             Ξ
               田市
                   =
                      輪
                       囲丁
                          鈫
                            Þ
                              部
                                85
                                   番
                                               ( 55 669-13 )
                                                         (電)
                                                             =
                                                               Æ
                                                                  (07956) 3局4371番
   穂
      エ
         場
                  市
                     天
                       和
                          6
                                  番
                                     铷
                                               (₹ 678-02)
                                                         (電)
                                                             赤
                                                               穂
                                                                  (07914)
                                                                        3局2221番
長
 崎 製
      作
         所
             長
               舻
                  市
                     丸
                        尾
                          町
                             6
                                     뮭
                                                (55 850-91)
                                                         (電)
                                                             長
                                                               崎
                                                                  (0958) 61局6211番
  沢 製 作
         所
                沢
                       菾
                           町
                                     抽
                                                (亚 492)
                                                         (電)
                                                             稲
                                                               沢
                                                                  (0587)
                                                                       32局8111番
和歌山製作所
             和
               歌
                  山
                     市
                       畄
                          町
                                  番
                                     批
                                               ( 65 640-91)
                                                         (電)
                                                             和歌山
                                                                  (0734)
                                                                       36局2111番
鎌
 倉 製 作 所
             鎌
               愈
                 市
                    上 町 屋 3
                                 5
                                   番
                                     抽
                                               ( 247)
                                                         (電)
                                                             鎌
                                                               倉
                                                                  (0467) 44局1111番
通信機製作所
             尼
               崎市南濱水字中
                              野 80
                                   뀲
                                     批
                                               ( 661)
                                                         (雷)
                                                             大
                                                               阪
                                                                  (06)
                                                                      491局8021番
北伊丹製作所
               丹市瑞原4丁
                             目
                                - 1
                                   番
                                     批
                                               ( 664)
                                                         (雷)
                                                               P
                                                                  (0727)
                                                             伊
                                                                       82局5131番
 熊本第一工場
               本市竜田町弓削720番地
                                               ( 862)
                                                         (雷)
                                                             能
                                                               木
                                                                  (1963)
                                                                       38局72日森
 熊本第二工場
             熊本県菊池郡西合志町御代志997
                                               ( 861-11)
                                                         (雷)
                                                             能
                                                               木
                                                                 (19624) 2局(151番
名古屋製作所
             名古屋市東区矢田町18丁月1番地
                                               ( 461)
                                                         (雷)
                                                             名古屋 (052) 721局2111番
      エ
        場
                   旭
                      市
                        下
                            #
                               ĦΤ
                                  下
                                     #
                                               ( 488)
                                                         (雷)
                                                             屋礁旭
                                                                 (05615) 3局5101番
福岡
    製作
         所
              岡市西区今宿青木690番地
                                               ( 819-01)
                                                         (雷)
                                                            福岡今宿(09295) 6局0431番
福
  Ш
    刬
      作
         所
                ılı
                   市
                      緑
                        ⊞T
                                  8
                                                         (雷)
                            1
                                               (商 720)
                                                            福 山 (0849) 21局3211番
相
  模製
      作
         祈
             桕
               模原市宮下
                        |丁目|番
                                 5 7 号
                                               (亚 229)
                                                         (雷)
                                                            相模盾
                                                                  (0427) 72局5131番
姫
  路製
      作
         所
             姫
               路市千代田町
                            8
                              4
                                                         (雷)
                                 Ω
                                     抽
                                               (売 670)
                                                             加
                                                               攺
                                                                  (0792)
                                                                       23局1251番
韸
  岡 製 作
        所
               田
                 市 小 鹿 3
                          丁
                            日
                              18 番
                                   1
                                     뮥
                                                         (電)
                                                                  (0542)
                                               (元 420)
                                                             詻
                                                               紐
                                                                       85 局 11 11 番
中津川製作所
               津川市駒場町
                                悉
                                     뮥
                              1
                                   3
                                               (35, 508)
                                                         (電)
                                                            中津川
                                                                  (05736) 6局2111番
大
  船製作
        所
               倉市大船5丁目1番
                                     뮥
                                   - 1
                                                         (電)
                                               (商 247)
                                                            会藝
                                                               畲
                                                                  (0467) 44局6111番
  Ш
    製 作
        所
             訳
               山市栄町2番2
                                     뮥
                                               (# 963)
                                                         (電)
                                  5
                                                            綤
                                                               Ш
                                                                  (0249) 32局1220番
  馬
   製作
        所
            群馬県新田郡尾島町大字岩松800番地
                                               ( 370-04 )
                                                        (電)
                                                            尾島
                                                                  (02765) 2局1111番
   出
      T.
         塭
             藤岡市本郷字別所 1 1 7 3 番地
                                               (35 375)
                                                         (雷)
                                                            燕
                                                              畄
                                                                 (02742) 2局1185番
京都製作
        所
             京都府乙訓郡長岡町大字馬場小字図所工番地
                                               ( 617)
                                                         (電)
                                                            京都
                                                                 (075) 921局4111番
 長 野
      エ
        場
             長 野 市 大 字 南 長 池 字 村 前
                                               (亚 380)
                                                        (電)
                                                            長
                                                              野
                                                                 (0262) 43局1101番
札幌営
      業
        所
             札幌市中央区北2条東12丁目98番地
                                               (ѿ 060)
                                                        (電) 札 幌 (011) 231局5544番
   幌
```

次号予定

三菱電機技報 Vol. 47 No. 12

普 通 号

《普通論文》

- 500 kV ガス絶縁開閉装置の開発とその適用
- 新幹線試作電車 961 形用電機品
- 大容量全閉外扇形 誘導電動機
- LSH-E 形および S 形高圧配電箱とその特長
- ○20 GHz 帯扇形ビーム複反射鏡アンテナ
- 微少電力 TV サテライト装置
- 短波無線機用の混信に強いデータ伝送装置
- M-345 高性能カラーキャラクタディスプレイ 装置
- 等時間原則による 2 車種経路配分

- 行列処理言語システム MAXFORT
- 拡張型言語の実験的システム
- シリコン アバランシェホト ダイオードとその 応用装置
- ○ガラス半導体のスイッチング現象
- カセットデータレコーダ用フェライトヘッド
- ○ハロリン酸カルシウムけい光体の均質性

《技術講座》

- 超音波探傷試験法 (6)
 - 一超音波探傷の実際一その2

三菱電機技報編集委員会

委 員 長	正 木 茂	雄	常任委員	堀	謙		郎
副委員長	神崎	邇	"	湊	Ĭ	武	雄
常任委員	伊 藤 一	夫	″	武	縢		Œ
″	上田重	夫	″	吉	松言	誠	
″	宇佐見重	夫	委 員	粕	谷 -		雄
//	大 田 重	for 	"	武	田	忠	夫
″	北 川 和	人	″	林	=	昇	寿
″	古 賀	亨	″	待	鳥		Œ
″	外 野 範	吾	″	吉	武道	Œ	彦
<i>II</i> ·	塚 本 信	雄	″	若	宮(佐	
"	藤永	敦			(以上 5	50 音和	Ţ)

三菱電機技報 47 巻 11 号

昭和48年11月22日印刷 昭和48年11月25日発行「禁無断転載」定価1部金200円(送料別)

編集兼発行人

東京都千代田区丸の内2丁目2番3号

正 木 茂 雄

印刷所

東京都新宿区市谷加賀町1丁目12番地(郵便番号 162)

大日本印刷株式会社

印刷者

東京都新宿区市谷加賀町1丁目12番地

高 橋 武 夫

発 行 所

東京都千代田区丸の内2丁目2番3号 (郵便番号 100)

三菱電機株式会社内

「三菱電機技報社」 (電話) (03) 218局2323番

発 売 元

東京都千代田区神田錦町3丁目1番地(郵便番号 101) 株式会社 オーム社書店 (電話) (03) 291局 0912番 振替口座 東京 20018番